

การใช้กากของเสียจากการผลิตกระดาษสำหรับพอลิเอทิลีนความหนาแน่นสูงในเคลือบเซรามิก



นางสาวสุนีย์พร โพธิ์แก้ว

จุฬาลงกรณ์มหาวิทยาลัย

CHULALONGKORN UNIVERSITY

วิทยานิพนธ์นี้เป็นส่วนหนึ่งของการศึกษาตามหลักสูตรปริญญาวิทยาศาสตรมหาบัณฑิต

สาขาวิชาเทคโนโลยีเซรามิก ภาควิชาวัสดุศาสตร์

คณะวิทยาศาสตร์ จุฬาลงกรณ์มหาวิทยาลัย

ปีการศึกษา 2556

ลิขสิทธิ์ของจุฬาลงกรณ์มหาวิทยาลัย

บทคัดย่อและแฟ้มข้อมูลฉบับเต็มของวิทยานิพนธ์ตั้งแต่ปีการศึกษา 2554 ที่ให้บริการในคลังปัญญาจุฬาฯ (CUIR)

เป็นแฟ้มข้อมูลของนิสิตเจ้าของวิทยานิพนธ์ ที่ส่งผ่านทางบัณฑิตวิทยาลัย

The abstract and full text of theses from the academic year 2011 in Chulalongkorn University Intellectual Repository (CUIR) are the thesis authors' files submitted through the University Graduate School.

UTILIZATION OF WASTE FROM HIGH DENSITY POLYETHYLENE CATALYST
PRODUCTION IN CERAMIC GLAZE

Miss Suneeporn Pokaew

จุฬาลงกรณ์มหาวิทยาลัย

CHULALONGKORN UNIVERSITY

A Thesis Submitted in Partial Fulfillment of the Requirements
for the Degree of Master of Science Program in Ceramic Technology

Department of Materials Science

Faculty of Science

Chulalongkorn University

Academic Year 2013

Copyright of Chulalongkorn University

หัวข้อวิทยานิพนธ์	การใช้กากของเสียจากการผลิตกระดาษเคลือบสำหรับพอลิเอทิลีนความหนาแน่นสูงในเคลือบเซรามิก
โดย	นางสาวสุนีย์พร โพธิ์แก้ว
สาขาวิชา	เทคโนโลยีเซรามิก
อาจารย์ที่ปรึกษาวิทยานิพนธ์หลัก	ผู้ช่วยศาสตราจารย์ ดร.วันทนี พุกกะคุปต์
อาจารย์ที่ปรึกษาวิทยานิพนธ์ร่วม	ผู้ช่วยศาสตราจารย์ ดร.ธนากร วาสนาเพียรพงศ์

คณะวิทยาศาสตร์ จุฬาลงกรณ์มหาวิทยาลัย อนุมัติให้หัวข้อวิทยานิพนธ์ฉบับนี้เป็นส่วนหนึ่งของการศึกษาตามหลักสูตรปริญญาโท

.....คณบดีคณะวิทยาศาสตร์
(ศาสตราจารย์ ดร.สุพจน์ หารหนองบัว)

คณะกรรมการสอบวิทยานิพนธ์

.....ประธานกรรมการ
(ผู้ช่วยศาสตราจารย์ ดร.ศิริฉวี เจริญศิริเลิศ)

.....อาจารย์ที่ปรึกษาวิทยานิพนธ์หลัก
(ผู้ช่วยศาสตราจารย์ ดร.วันทนี พุกกะคุปต์)

.....อาจารย์ที่ปรึกษาวิทยานิพนธ์ร่วม
(ผู้ช่วยศาสตราจารย์ ดร.ธนากร วาสนาเพียรพงศ์)

.....กรรมการ
(อาจารย์ ดร.อุไรวรรณ ลีลาอติศร)

.....กรรมการภายนอกมหาวิทยาลัย
(ดร.จตุรงค์ จิตพุทธิ)

สุนีย์พร โพธิ์แก้ว : การใช้กากของเสียจากการผลิตคะตะลิสต์สำหรับพอลิเอทิลีนความหนาแน่นสูงในเคลือบเซรามิก. (UTILIZATION OF WASTE FROM HIGH DENSITY POLYETHYLENE CATALYST PRODUCTION IN CERAMIC GLAZE) อ.ที่ปรึกษาวิทยานิพนธ์หลัก: ผศ. ดร.วันทนีย์ พุกกะคุปต์, อ.ที่ปรึกษาวิทยานิพนธ์ร่วม: ผศ. ดร. ธารกร วาสนาเพียรพงศ์, 123 หน้า.

งานวิจัยนี้เป็นการศึกษาการใช้กากของเสียที่ได้จากการผลิตตัวเร่งปฏิกิริยาสำหรับกระบวนการผลิตพอลิเอทิลีนความหนาแน่นสูงมาใช้เป็นวัตถุดิบของเคลือบที่ขาวในผลิตภัณฑ์กระเบื้องเซรามิก องค์ประกอบหลักทางเคมีของกากของเสียประกอบด้วยไทเทเนียมไดออกไซด์ และมีสิ่งเจือปนอื่นๆ ซึ่งพบในส่วนผสมเคลือบที่ขาว งานวิจัยนี้แบ่งออกเป็น 2 ส่วนคือ การนำกากของเสียมาใช้เป็นส่วนผสมเคลือบโดยตรง และการใช้กากของเสียในฟrit โดยกากหลอมเป็นแก้วฟrit แล้วจึงนำฟrit ที่ได้ไปเตรียมเป็นเคลือบ ทำการศึกษาวิเคราะห์สมบัติต่างๆ ของเคลือบ ได้แก่ พฤติกรรมการหลอมตัว อุณหภูมิการหลอมตัวเฉพาะ ความแข็ง ความทนทานต่อการขีด ความทนทานต่อสารเคมี สัมประสิทธิ์การขยายตัวทางความร้อน และสี โดยเน้นที่จะใช้กากของเสียแทนที่สารประกอบไทเทเนียมไดออกไซด์ซึ่งมีราคาค่อนข้างสูงสำหรับกระบวนการเตรียมเคลือบ กากของเสียจะต้องนำไปเผาแคลไซน์ก่อนที่อุณหภูมิ 350 องศาเซลเซียส เพื่อกำจัดสารประกอบคลอไรด์ หลังจากนั้นเตรียมเคลือบที่ขาวมาตรฐานเพื่อเปรียบเทียบกับเคลือบที่ใช้กากของเสียเป็นวัตถุดิบซึ่งเผาที่ 1200 องศาเซลเซียส นอกจากนี้ยังได้ทำการปรับสูตรเคลือบและศึกษาบทบาทของวัตถุดิบต่างๆ ผลการทดลองชี้ให้เห็นว่ากากของเสียสามารถใช้ทดแทนวัตถุดิบทางการค้าในเคลือบได้ในสัดส่วนไม่เกิน 10 เปอร์เซ็นต์โดยน้ำหนัก ได้เคลือบสีขาวที่บ่งแสงที่มีค่าความขาวตั้งแต่ 90 เปอร์เซ็นต์ขึ้นไป อีกทั้งยังมีลักษณะสมบัติใกล้เคียงกับเคลือบมาตรฐานด้วย ส่วนการใช้กากของเสียมาเป็นวัตถุดิบในการเตรียมฟrit นั้น กากของเสียไม่ต้องผ่านการเผาแคลไซน์ อุณหภูมิในการหลอมส่วนผสมฟrit คือ 1450 องศาเซลเซียส แก้วฟrit ที่ได้จะถูกเตรียมเป็นน้ำเคลือบ เคลือบผิวผลิตภัณฑ์กระเบื้อง และเผาที่ 1120 องศาเซลเซียส หลังจากนั้นจึงทำการศึกษาวิเคราะห์ลักษณะสมบัติของเคลือบฟrit ที่เตรียมได้จากกากของเสีย สัดส่วนของกากของเสียที่ใช้ในส่วนผสมในแก้วฟrit คือประมาณ 10-15 เปอร์เซ็นต์โดยน้ำหนัก เคลือบฟrit ที่ได้มีลักษณะที่บ่งแสงที่มีค่าความขาวมากกว่า 90 เปอร์เซ็นต์เช่นกัน งานวิจัยนี้แสดงให้เห็นว่ากากของเสียจากตัวเร่งปฏิกิริยาสำหรับพอลิเอทิลีนสามารถนำมาใช้เป็นวัตถุดิบสำหรับเคลือบขาวที่บ่งแสงใช้ในผลิตภัณฑ์เซรามิกได้

ภาควิชา วัสดุศาสตร์

สาขาวิชา เทคโนโลยีเซรามิก

ปีการศึกษา 2556

ลายมือชื่อนิสิต

ลายมือชื่อ อ.ที่ปรึกษาวิทยานิพนธ์หลัก

ลายมือชื่อ อ.ที่ปรึกษาวิทยานิพนธ์ร่วม

กิตติกรรมประกาศ

สำหรับงานวิจัยและการเขียนเล่มวิทยานิพนธ์ในครั้งนี้ได้รับความเมตตาจากผู้ช่วยศาสตราจารย์ ดร.วันทนีย์ พุกกะคุปต์ อาจารย์ที่ปรึกษาวิทยานิพนธ์ และ ผู้ช่วยศาสตราจารย์ ดร.ธนากร วาสนาเพียรพงศ์ อาจารย์ที่ปรึกษาวิทยานิพนธ์ร่วม ที่ให้คำปรึกษา แนะนำ อบรม สั่งสอน ตลอดระยะเวลาในการทำวิจัย

ขอขอบพระคุณ คณะกรรมการสอบวิทยานิพนธ์ และคณาจารย์ทุกท่าน สำหรับการตรวจแก้ไขข้อบกพร่องของรูปเล่มวิทยานิพนธ์และคำแนะนำต่างๆ ทำให้วิทยานิพนธ์เล่มนี้ถูกต้องและสมบูรณ์มากยิ่งขึ้น

งานวิจัยนี้ได้รับทุนอุดหนุนจาก บริษัท เอสซีจี เคมิคอลส์ จำกัด ภายใต้โครงการวิจัยการใช้งานของเสียจากคะตะลิสต์ในการผลิตพอลิเอทิลีนความหนาแน่นสูงสำหรับงานเคลือบเซรามิก

ขอขอบคุณ ทุนอุดหนุนการศึกษาจาก ทุนศูนย์ความเป็นเลิศด้านเทคโนโลยีปิโตรเคมีและวัสดุ จุฬาลงกรณ์มหาวิทยาลัย

ขอขอบคุณ หน่วยปฏิบัติการวิจัยเซรามิกขั้นสูง ภาควิชาวัสดุศาสตร์ คณะวิทยาศาสตร์ จุฬาลงกรณ์มหาวิทยาลัย สำหรับเครื่องมือและอุปกรณ์การทำวิจัย

ขอขอบคุณ คุณสมคิด ทองศิลา และคุณวิรพงษ์ ทรัพย์นวม เจ้าหน้าที่ห้องปฏิบัติการเซรามิกส์ และคุณสมพงษ์ ชุตติกุลสวัสดิ์ เจ้าหน้าที่ห้องปฏิบัติการพอลิเมอร์ ที่ให้ความช่วยเหลือเป็นอย่างดีในการวิเคราะห์ทดสอบ

ขอขอบคุณ อาจารย์ ดร. อภิรัฐ ธีรภาพพิเศษพงษ์ ห้องปฏิบัติการแก้ว ที่ให้คำปรึกษา และให้ความช่วยเหลืออย่างดี

ขอขอบคุณสถาบันวิจัยโลหะและวัสดุ สำหรับอุปกรณ์ที่ใช้ในการทดสอบ

ขอขอบคุณ บริษัท เฟอร์โร (ประเทศไทย) จำกัด และ คุณรุ่งทิวา ดุษฎีรังสีกุล สำหรับคำแนะนำทางด้านเทคนิคการวิเคราะห์วัสดุ และเครื่องมือในการทดสอบ

ขอขอบคุณ บริษัท เซรามิคอุตสาหกรรมไทย จำกัด สำหรับกระเบื้องดิบ

ขอขอบคุณ คุณนิธิวัชร์ นวอัครฐานันท์ ที่ให้คำปรึกษา และช่วยเหลือมาโดยตลอด

ขอขอบคุณ พี่ น้อง และเพื่อน ภาควิชาวัสดุศาสตร์ คณะวิทยาศาสตร์ จุฬาลงกรณ์มหาวิทยาลัยทุกท่าน ที่คอยเป็นกำลังใจ ให้คำปรึกษา และช่วยเหลือมาโดยตลอด

สุดท้ายขอขอบพระคุณครอบครัวผู้วิจัย ที่คอยให้การสนับสนุน และเป็นกำลังใจมาโดยตลอด

สารบัญ

หน้า

บทคัดย่อภาษาไทย.....	ง
บทคัดย่อภาษาอังกฤษ.....	จ
กิตติกรรมประกาศ.....	ฉ
สารบัญ.....	ช
สารบัญตาราง.....	ฐ
สารบัญรูปภาพ.....	ฅ
บทที่ 1	1
บทนำ.....	1
1.1 ความเป็นมาและความสำคัญของปัญหา	1
1.2 วัตถุประสงค์ของการวิจัย.....	2
1.3 ขอบเขตของการวิจัย	2
1.4 ประโยชน์ที่คาดว่าจะได้รับ	2
บทที่ 2	3
ปริทัศน์วรรณกรรม.....	3
2.1 กระบวนการผลิตและการเกิดกากของเสียที่ได้จากกระบวนการผลิตพอลิเอทิลีนความหนาแน่นสูง	3
2.2 เคลือบเซรามิก.....	5
2.2.1 การเตรียมเคลือบ	6
2.2.2 การเคลือบ.....	8
2.2.3 เคลือบสำหรับผลิตภัณฑ์เผาครั้งเดียว	8
2.2.4 ปฏิกริยาที่เกิดขึ้นในการเผาเคลือบ	9
2.3 เคลือบฟريت.....	10
2.4 การทดสอบสมบัติของเคลือบ	11
2.4.1 พฤติกรรมการหลอมตัว (Melting behaviour).....	11
2.4.2 อุณหภูมิการหลอมตัวเฉพาะ (Characteristic temperatures)	12
2.4.3 สัมประสิทธิ์การขยายตัวทางความร้อน (Coefficient of thermal expansion).....	14
2.4.4 ความต้านทานต่อสารเคมี (Chemical resistance)	14

2.4.5 ความต้านทานต่อการขูดขีด (Abrasion resistance)	16
2.4.6 สี (Colour).....	17
2.5 ไทเทเนียมไดออกไซด์ (TiO ₂).....	18
2.6 แคลเซียมออกไซด์ (CaO)	19
2.7 อะลูมินา (Al ₂ O ₃).....	19
2.8 งานวิจัยที่เกี่ยวข้อง	19
บทที่ 3	23
วิธีดำเนินงานวิจัย	23
3.1 วัตถุประสงค์ สารเคมีและอุปกรณ์ที่ใช้ในการทดลอง	23
3.1.1 วัตถุประสงค์และสารเคมี	23
3.1.2 อุปกรณ์	23
3.2 ขั้นตอนการวิจัย	24
3.2.1 การเตรียมกากของเสียและวิเคราะห์สมบัติเบื้องต้นของกากของเสีย	24
3.2.1.1 การวิเคราะห์องค์ประกอบทางเคมี	24
3.2.1.2 การวิเคราะห์องค์ประกอบเฟส	24
3.2.1.3 การเปลี่ยนแปลงของปฏิกิริยาและการเปลี่ยนแปลงน้ำหนักที่เกิดขึ้นตาม อุณหภูมิ	25
3.2.1.4 ความหนาแน่นของผงกากของเสีย	25
3.2.1.5 น้ำหนักที่หายไปหลังการอบ	26
3.2.1.6 การกำจัดคลอรีนในกากของเสีย	26
3.2.2 การใช้กากของเสียเป็นวัตถุดิบทดแทนไทเทเนียมไดออกไซด์ในเคลือบเซรามิก	26
3.2.2.1 การเลือกสูตรเคลือบมาตรฐานและการปรับสูตรเคลือบที่มีกากของเสียเป็น วัตถุดิบทดแทน	26
3.2.2.2 การเตรียมเคลือบ การเคลือบและอุณหภูมิในการเผา	27
3.2.2.2.1 ความหนาแน่นของน้ำเคลือบ	27
3.2.2.2.2 กากค้างตะแกรงของเคลือบ.....	28
3.2.2.2.3 อัตราการไหลตัวของน้ำเคลือบ	28
3.2.2.2.4 การเคลือบและอุณหภูมิในการเผา.....	28

3.2.2.3 การทดสอบสมบัติของเคลือบหลังเผา	29
3.2.2.3.1 พฤติกรรมการหลอมตัว	29
3.2.2.3.2 อุณหภูมิการหลอมตัวเฉพาะ.....	30
3.2.2.3.3 องค์ประกอบทางเฟสของเคลือบหลังเผา.....	30
3.2.2.3.4 สัมประสิทธิ์การขยายตัวทางความร้อน.....	30
3.2.2.3.5 ความทนทานต่อสารเคมี	30
3.2.2.3.6 ความทนทานต่อการขีดขีด	31
3.2.2.3.7 ความแข็งของเคลือบ	31
3.2.2.3.8 สี.....	32
3.2.3 การใช้กากของเสียเป็นวัตถุดิบทดแทนไทเทเนียมไดออกไซด์ในเคลือบพริต	33
3.2.3.1 ทำการเลือกสูตรพริตมาตรฐาน และปรับสูตรพริตโดยใช้กากของเสียเป็น วัตถุดิบทดแทนในพริต	33
3.2.3.2 การเตรียมพริต	33
3.2.3.3 การเตรียมเคลือบพริต	33
3.2.3.4 อุณหภูมิในการเผาเคลือบ.....	33
3.2.3.5 การทดสอบสมบัติของเคลือบหลังเผา	33
3.3 แผนผังการทดลอง.....	34
บทที่ 4	36
การวิเคราะห์สมบัติเบื้องต้นของกากของเสีย	36
4.1 ผลการวิเคราะห์องค์ประกอบทางเคมีของวัตถุดิบ.....	36
4.2 ผลการวิเคราะห์องค์ประกอบทางเฟสของกากของเสีย	37
4.3 ปฏิกิริยาที่เกิดขึ้นเมื่อกากของเสียได้รับความร้อน	40
4.4 ความหนาแน่นของผงกากของเสีย	41
4.5 การสูญเสียน้ำหนักหลังการอบและหลังการเผาของกากของเสีย	41
บทที่ 5	42
การใช้กากของเสียเป็นวัตถุดิบในเคลือบเซรามิก.....	42
5.1 การเลือกสูตรเคลือบมาตรฐาน.....	42
5.2 สูตรทางเคมีของกากของเสีย.....	44

5.3 การใช้กากของเสียเป็นวัตถุดิบทดแทนไทเทเนียมไดออกไซด์ทางการค้าในสูตรเคลือบมาตรฐาน	45
5.3.1 พฤติกรรมการหลอมตัวและอุณหภูมิการหลอมตัวเฉพาะของเคลือบ	47
5.3.2 ลักษณะทางกายภาพและค่าสีของเคลือบ	48
5.3.3 องค์ประกอบทางเฟสของเคลือบหลังเผา	49
5.3.4 สัมประสิทธิ์การขยายตัวทางความร้อน	50
5.3.5 ความทนทานต่อสารเคมี	51
5.3.6 ความแข็งและความทนทานต่อการขีดขีด	52
5.4 การปรับสูตรเคลือบ	53
5.4.1 การปรับสูตรเคลือบโดยการเพิ่มปริมาณกากของเสียในสูตรเคลือบ โดยที่วัตถุดิบตัวอื่นๆ ลดลงในอัตราส่วนเท่าๆ กัน	53
5.4.1.1 อุณหภูมิการหลอมตัวเฉพาะของเคลือบ	53
5.4.1.2 ลักษณะทางกายภาพของเคลือบ	54
5.4.1.3 สัมประสิทธิ์การขยายตัวทางความร้อน	56
5.4.2 การปรับสูตรเคลือบโดยใช้แผนภาพ triaxial	57
5.4.2.1 การปรับสูตรเคลือบโดยการเพิ่มปริมาณกากของเสียในสูตรเคลือบ โดยที่ วัตถุดิบกลุ่ม II (ซิลิกาและโพแทสเซียมเฟลด์สปาร์) คงที่ และวัตถุดิบกลุ่ม III (ไดโลไมต์ หินปูน ซิงก์ออกไซด์ และเซอร์โคเนียมซิลิเกต) ลดลง	57
5.4.2.1.1 พฤติกรรมการหลอมตัวและอุณหภูมิการหลอมตัวเฉพาะของเคลือบ	58
5.4.2.1.2 ลักษณะทางกายภาพของเคลือบและค่าสีของเคลือบ	60
5.4.2.1.3 องค์ประกอบทางเฟสของเคลือบหลังเผา	61
5.4.2.1.4 สัมประสิทธิ์การขยายตัวทางความร้อน	62
5.4.2.1.5 ความทนทานต่อสารเคมี	63
5.4.2.2 การปรับสูตรเคลือบโดยการเพิ่มปริมาณวัตถุดิบกลุ่ม II ในสูตรเคลือบ โดยที่ ปริมาณกากของเสียคงที่ และวัตถุดิบกลุ่ม III ลดลง	65
5.4.2.2.1 พฤติกรรมการหลอมตัวและอุณหภูมิการหลอมตัวเฉพาะของเคลือบ	67
5.4.2.2.2 ลักษณะทางกายภาพของเคลือบ	69

5.4.2.2.3 องค์ประกอบทางเฟสของเคลือบหลังเผา	70
5.4.2.2.4 สัมประสิทธิ์การขยายตัวทางความร้อน	71
5.4.2.2.5 ความทนทานต่อสารเคมี	72
5.4.2.2.6 ความแข็งและความทนทานต่อการขีดขีด	72
5.4.2.3 การปรับสูตรเคลือบโดยการเพิ่มปริมาณวัตถุดิบกลุ่ม III ในสูตรเคลือบ โดยที่ ปริมาณกากของเสียคงที่ และวัตถุดิบกลุ่ม II ลดลง.....	73
5.4.2.3.1 พฤติกรรมการหลอมตัวและอุณหภูมิการหลอมตัวเฉพาะของ เคลือบ.....	74
5.5 สรุปผลการทดลองการใช้กากของเสียเป็นวัตถุดิบในเคลือบเซรามิก	77
บทที่ 6	78
การใช้กากของเสียเป็นวัตถุดิบในเคลือบฟrit	78
6.1 การเลือกสูตรฟritมาตรฐานและการปรับสูตรฟrit	78
6.2 ลักษณะสมบัติของฟritที่ได้	79
6.2.1 ลักษณะกายภาพของฟrit	79
6.2.2 ผลการวิเคราะห์อุณหภูมิการหลอมตัวเฉพาะของฟrit	81
6.3 ลักษณะสมบัติของเคลือบฟrit	82
6.3.1 ลักษณะทางกายภาพและค่าสีของเคลือบฟrit	82
6.3.2 องค์ประกอบทางเฟสของเคลือบหลังเผา	84
6.3.3 สัมประสิทธิ์การขยายตัวทางความร้อน	85
6.3.4 ความทนทานต่อสารเคมี.....	85
6.3.5 ความแข็งและความทนทานต่อการขีดขีด.....	86
6.4 สรุปผลการทดลองการใช้กากของเสียเป็นวัตถุดิบในการเตรียมฟritสำหรับเคลือบฟrit	87
บทที่ 7	88
สรุปผลการวิจัย อภิปรายผล และข้อเสนอแนะ.....	88
7.1 สรุปผลการวิจัย.....	88
7.2 ข้อเสนอแนะ.....	89
รายการอ้างอิง	90
ภาคผนวก.....	94

ภาคผนวก ก.....	95
ภาคผนวก ข.....	96
ภาคผนวก ค.....	107
ภาคผนวก ง.....	119
ประวัติผู้เขียนวิทยานิพนธ์.....	123



จุฬาลงกรณ์มหาวิทยาลัย
CHULALONGKORN UNIVERSITY

สารบัญตาราง

	หน้า
ตารางที่ 3.1 เนื้อกระเบื้องโมเสคของบริษัท เซรามิคอุตสาหกรรมไทย จำกัด	29
ตารางที่ 4.1 ปริมาณของธาตุองค์ประกอบในกากของเสีย	37
ตารางที่ 5.1 ส่วนผสมของวัตถุดิบในเคลือบมาตรฐาน (STD)	43
ตารางที่ 5.2 ส่วนผสมของสูตรเคลือบมาตรฐานที่มีการใช้กากของเสียทดแทนวัตถุดิบปกติ	46
ตารางที่ 5.3 พฤติกรรมการหลอมตัวของเคลือบ STD และเคลือบที่มีการใช้กากของเสียเป็นวัตถุดิบ สูตร A ที่อุณหภูมิ 1000 -1250 องศาเซลเซียส	47
ตารางที่ 5.4 การเปรียบเทียบอุณหภูมิการหลอมตัวเฉพาะของเคลือบมาตรฐาน STD และเคลือบที่มี การใช้กากของเสียเป็นวัตถุดิบสูตร A	48
ตารางที่ 5.5 ค่าสีของเคลือบมาตรฐาน STD และเคลือบที่มีการใช้กากของเสียเป็นวัตถุดิบสูตร A..	49
ตารางที่ 5.6 ค่าสัมประสิทธิ์การขยายตัวทางความร้อนของเนื้อดินและของเคลือบมาตรฐาน STD และเคลือบที่มีการใช้กากของเสียเป็นวัตถุดิบสูตร A.....	51
ตารางที่ 5.7 ระดับความทนทานต่อสารเคมีของของเคลือบมาตรฐาน STD และเคลือบที่มีการใช้ กากของเสียเป็นวัตถุดิบสูตร A	51
ตารางที่ 5.8 ความแข็งและความทนทานต่อการขีดข่วนของเคลือบมาตรฐาน STD และเคลือบที่มีการ ใช้กากของเสียเป็นวัตถุดิบสูตร A.....	52
ตารางที่ 5.9 ส่วนผสมของสูตรเคลือบที่ทำการปรับสูตรเคลือบ โดยเพิ่มปริมาณกากของเสียในสูตร เคลือบ และวัตถุดิบตัวอื่นๆ ลดลงในอัตราส่วนเท่าๆ กัน	53
ตารางที่ 5.10 อุณหภูมิการหลอมตัวเฉพาะของเคลือบที่มีการเพิ่มปริมาณกากของเสียในสูตรเคลือบ และวัตถุดิบตัวอื่นๆ ลดลงในอัตราส่วนเท่าๆ กัน.....	54
ตารางที่ 5.11 ส่วนผสมของสูตรเคลือบที่มีการปรับโดยการเพิ่มปริมาณกากของเสีย	58
ตารางที่ 5.12 พฤติกรรมการหลอมตัวของเคลือบที่มีการเพิ่มปริมาณกากของเสียในสูตรเคลือบที่ อุณหภูมิ 1000 -1250 องศาเซลเซียส	59
ตารางที่ 5.13 อุณหภูมิการหลอมตัวเฉพาะของเคลือบที่มีการเพิ่มปริมาณกากของเสียในสูตร เคลือบ.....	60
ตารางที่ 5.14 ค่าสีของเคลือบที่มีการเพิ่มปริมาณกากของเสียในสูตรเคลือบ	61
ตารางที่ 5.15 ค่าสัมประสิทธิ์การขยายตัวทางความร้อนของเคลือบเมื่อมีการเพิ่มกากของเสียใน สูตรเคลือบ	63
ตารางที่ 5.16 ระดับความทนทานต่อสารเคมีของเคลือบที่มีการเพิ่มปริมาณกากของเสียในสูตร เคลือบ.....	64
ตารางที่ 5.17 ความแข็งและความทนทานต่อการขีดข่วนของเคลือบที่มีการเพิ่มปริมาณกากของเสีย ในสูตรเคลือบ	65
ตารางที่ 5.18 ส่วนผสมของสูตรเคลือบที่มีการปรับโดยการเพิ่มปริมาณของซิลิกาและโพแทสเซียม เฟลด์สปาร์	66

ตารางที่ 5.19 พฤติกรรมการหลอมตัวของเคลือบที่มีปริมาณของวัตถุดิบกลุ่ม II เพิ่มขึ้น	68
ตารางที่ 5.20 อุณหภูมิการหลอมตัวเฉพาะของเคลือบที่มีปริมาณของวัตถุดิบกลุ่ม II เพิ่มขึ้น	68
ตารางที่ 5.21 ค่าสีของเคลือบสูตร a เปรียบเทียบกับเคลือบมาตรฐาน STD และเคลือบสูตร A.....	70
ตารางที่ 5.22 ค่าสัมประสิทธิ์การขยายตัวทางความร้อนของเคลือบสูตร a เปรียบเทียบกับ เคลือบมาตรฐาน STD และเคลือบสูตร A.....	71
ตารางที่ 5.23 ระดับความทนทานต่อสารเคมีของเคลือบสูตร a เปรียบเทียบกับเคลือบมาตรฐาน STD และเคลือบสูตร A.....	72
ตารางที่ 5.24 ความแข็งและความทนทานต่อการขีดข่วนของเคลือบสูตร a เปรียบเทียบกับเคลือบสูตร มาตรฐาน STD และเคลือบสูตร A.....	73
ตารางที่ 5.25 แผนภาพ triaxial ของสูตรเคลือบที่ปรับสูตรเคลือบโดยการเพิ่มปริมาณวัตถุดิบ กลุ่ม III.....	74
ตารางที่ 5.26 พฤติกรรมการหลอมตัวของเคลือบที่มีปริมาณของวัตถุดิบกลุ่ม III เพิ่มขึ้น เปรียบเทียบ กับเคลือบมาตรฐาน STD และเคลือบสูตร A.....	75
ตารางที่ 5.27 อุณหภูมิการหลอมตัวเฉพาะของเคลือบที่มีปริมาณของวัตถุดิบกลุ่ม III เพิ่มขึ้น เปรียบเทียบกับเคลือบมาตรฐาน STD และเคลือบสูตร A.....	76
ตารางที่ 6.1 ส่วนผสมของปริมาตรมาตรฐาน STD-Z	78
ตารางที่ 6.2 ส่วนผสมของวัตถุดิบของสูตรปริมาตรมาตรฐาน และสูตรปริตที่ทำการปรับ.....	79
ตารางที่ 6.3 อุณหภูมิการหลอมตัวเฉพาะของปริต.....	82
ตารางที่ 6.4 ค่าสีของเคลือบปริต	84
ตารางที่ 6.5 การเปรียบเทียบค่าความขาวและความอึมสีระหว่างเคลือบปริตที่มีการใช้ผงไทเทเนียม ไดออกไซด์ทางการค้าเป็นวัตถุดิบ และเคลือบปริตที่มีการใช้กากของเสียทดแทนไทเทเนียมได ออกไซด์ทางการค้า.....	84
ตารางที่ 6.6 ระดับความทนทานต่อสารเคมีของเคลือบปริตมาตรฐาน STD-Z เคลือบปริต T และ W	86
ตารางที่ 6.7 ค่าความแข็งและความต้านทานต่อการขีดข่วนของเคลือบปริตมาตรฐาน STD-Z เคลือบ ปริต T และ W	87

สารบัญรูปภาพ

หน้า

รูปที่ 2.1 กระบวนการเตรียมตัวเร่งปฏิกิริยาสำหรับกระบวนการผลิตเม็ดพลาสติกพอลิเอทิลีน ความหนาแน่นสูง	4
รูปที่ 2.2 ขั้นตอนการเตรียมเคลือบและการทดสอบสมบัติของเคลือบ	7
รูปที่ 2.3 โครงสร้างของวัสดุที่เปลี่ยนแปลงไปจากการเผาผืนึก	12
รูปที่ 2.4 การเปลี่ยนแปลงรูปทรงของชิ้นงานที่บันทึกได้จากกล้องจุลทรรศน์	13
รูปที่ 2.5 ตัวอย่างลักษณะการบันทึกรูปทรงของชิ้นงานและอุณหภูมิที่ได้จากการวิเคราะห์จาก เครื่อง heating microscope	14
รูปที่ 2.6 การจำแนกระดับความทนทานสารเคมีของเคลือบเซรามิก	16
รูปที่ 2.7 เครื่องทดสอบความทนทานต่อการขัดสี ตามมาตรฐาน ASTM D 968-93	17
รูปที่ 2.8 จักรวาลสีและการแบ่งสีของแกนทั้งสาม	18
รูปที่ 3.1 แผนภาพ triaxial ที่ใช้ในการปรับสูตรเคลือบ	26
รูปที่ 3.2 การอัดโคนเพื่อศึกษาพฤติกรรมการหลอมตัว	29
รูปที่ 3.3 ตัวอย่างที่กำลังหลอมตัวภายในเครื่อง Heating microscope	30
รูปที่ 3.4 การทดสอบความทนทานต่อสารเคมีของเคลือบ	31
รูปที่ 3.5 ลักษณะของหัวกดและเครื่องวัดความแข็งแบบวิกเกอร์ส	32
รูปที่ 3.6 แผนผังการเตรียมกากของเสียและการทดสอบสมบัติเบื้องต้นของกากของเสีย	34
รูปที่ 3.7 ขั้นตอนการเตรียมเคลือบเซรามิกและการวิเคราะห์สมบัติของเคลือบ	34
รูปที่ 3.8 ขั้นตอนการเตรียมฟريت เคลือบฟريت และการวิเคราะห์สมบัติของเคลือบฟريت	35
รูปที่ 4.1 องค์ประกอบธาตุของกากของเสีย (เมื่อทำการสุ่มตักกากของเสียเป็นจำนวน 10 ครั้ง มาทำการวิเคราะห์)	36
รูปที่ 4.2 องค์ประกอบทางเฟสของกากของเสียที่อุณหภูมิห้อง	38
รูปที่ 4.3 การเปรียบเทียบองค์ประกอบทางเฟสของกากของเสียที่ผ่านการอบแห้งและผ่านการเผา แคลไซน์ที่อุณหภูมิ 350 องศาเซลเซียส	39
รูปที่ 4.4 องค์ประกอบทางเฟสของกากของเสียที่ผ่านการเผาแคลไซน์ที่อุณหภูมิต่างๆ ตั้งแต่ 600-1100 องศาเซลเซียส	40
รูปที่ 4.5 ผลการวิเคราะห์การเปลี่ยนแปลงปฏิกิริยาเคมีและน้ำหนักของกากของเสียเมื่อได้รับ ความร้อน	41
รูปที่ 5.1 สูตร Seger Formula และลักษณะของเคลือบที่บิสขาวสูตรมาตรฐาน	43
รูปที่ 5.2 แผนภาพ triaxial ของเคลือบที่มีการใช้กากของเสียทดแทนวัตถุดิบในเคลือบมาตรฐาน .	46
รูปที่ 5.3 ลักษณะของเคลือบมาตรฐาน STD เเผาที่ 1250 °C และเคลือบที่มีการใช้กากของเสียเป็น วัตถุดิบสูตร A เเผาที่ 1200 °C	48
รูปที่ 5.4 องค์ประกอบทางเฟสของเคลือบสูตรมาตรฐาน STD และเคลือบที่มีการใช้กากของเสียเป็น วัตถุดิบสูตร A	50

รูปที่ 5.5 ลักษณะผิวของเคลือบมาตรฐาน STD ที่ผ่านการทดสอบความทนทานต่อสารเคมี.....	52
รูปที่ 5.6 ลักษณะผิวของเคลือบสูตร A ที่ผ่านการทดสอบความทนทานต่อสารเคมี	52
รูปที่ 5.7 ลักษณะการแตกกระแหงของเคลือบสูตร B* C* และ D*	54
รูปที่ 5.8 ลักษณะของเคลือบสูตร B* C* และ D* เปรียบเทียบกับเคลือบมาตรฐาน STD และเคลือบสูตร A	55
รูปที่ 5.9 การหดตัวของเคลือบภายในแบบสำหรับเตรียมชิ้นงานของเคลือบสูตร B* C* และ D* เปรียบเทียบกับเคลือบสูตร A	56
รูปที่ 5.10 แผนภาพ triaxial ของสูตรเคลือบที่มีการปรับสูตรเคลือบโดยการเพิ่มปริมาณกากของเสีย	57
รูปที่ 5.11 ลักษณะของเคลือบสูตร B และ C เปรียบเทียบกับเคลือบมาตรฐานและเคลือบสูตร A... ..	61
รูปที่ 5.12 องค์ประกอบทางเฟสของเคลือบหลังเผาเมื่อมีการเพิ่มปริมาณกากของเสียในสูตรเคลือบ	62
รูปที่ 5.13 ลักษณะของเคลือบสูตร B ที่ผ่านการทดสอบความทนทานต่อสารเคมี	64
รูปที่ 5.14 แผนภาพ triaxial ของสูตรเคลือบที่มีการปรับสูตรเคลือบโดยการเพิ่มปริมาณวัตถุบิกลุ่ม II ได้แก่ ซิลิกา และโพแทสเซียมเฟลด์สปาร์	66
รูปที่ 5.15 การหลอมตัวของเคลือบสูตร a b และ c ที่อุณหภูมิ 1200 องศาเซลเซียส.....	69
รูปที่ 5.16 ลักษณะของเคลือบสูตร a เปรียบเทียบกับเคลือบสูตรมาตรฐาน STD และเคลือบสูตร A	69
รูปที่ 5.17 องค์ประกอบทางเฟสของเคลือบสูตร a หลังเผา เปรียบเทียบกับเคลือบสูตรมาตรฐาน STD และเคลือบสูตร A	71
รูปที่ 5.18 ลักษณะของเคลือบสูตร ก ที่ผ่านการทดสอบความทนทานต่อสารเคมี	72
รูปที่ 5.19 แผนภาพ triaxial ของสูตรเคลือบที่มีการปรับสูตรเคลือบโดยการเพิ่มปริมาณวัตถุบิกลุ่ม III ได้แก่ โดโลไมต์ หินปูน ซิงก์ออกไซด์ และเซอร์โคเนียมซิลิเกต.....	74
รูปที่ 5.20 พฤติกรรมการหลอมตัวของเคลือบสูตร d e และ f.....	76
รูปที่ 6.1 ลักษณะของฟريتที่ได้หลังอบให้แห้งที่อุณหภูมิ 110 องศาเซลเซียส	80
รูปที่ 6.2 ลักษณะของฟريتเมื่อทำการบดให้ละเอียด	81
รูปที่ 6.3 ลักษณะของเคลือบฟريتมาตรฐาน STD-Z เคลือบฟريت T และ W ที่ทำการเผาที่อุณหภูมิ 1120 องศาเซลเซียส	83
รูปที่ 6.4 องค์ประกอบทางเฟสของเคลือบฟريتมาตรฐาน STD-Z เคลือบฟريت T และ W	85
รูปที่ 6.5 ลักษณะของผิวเคลือบฟريتสูตร T15 ที่ผ่านการทดสอบความทนทานต่อสารเคมี.....	86

บทที่ 1

บทนำ

1.1 ความเป็นมาและความสำคัญของปัญหา

ในปัจจุบันประชากรได้มีการขยายตัวอย่างเร็ว ทำให้ประเทศไทยมีความต้องการในการพัฒนาด้านเศรษฐกิจเป็นอย่างมาก ซึ่งส่งผลให้เกิดการขยายตัวของภาคอุตสาหกรรม ภาคอุตสาหกรรมเหล่านี้ก็ต้องการวัตถุดิบสำหรับขั้นตอนของกระบวนการผลิต ทำให้มีการใช้ทรัพยากรที่เพิ่มขึ้น นอกจากนี้ภาคอุตสาหกรรมยังก่อให้เกิดกากของเสียจำนวนมาก ซึ่งส่งผลกระทบต่อสิ่งแวดล้อม คือ ทำให้เกิดมลพิษทางด้านสิ่งแวดล้อม ทั้งมลพิษทางดิน อากาศ และน้ำ[1] จากเหตุผลที่ได้กล่าวมานั้น งานวิจัยนี้จึงได้มีความมุ่งเน้นเรื่องการนำกลับมาใช้ใหม่ของกากของเสีย ซึ่งถือเป็นการช่วยลดสาเหตุของการเกิดมลพิษสิ่งแวดล้อม ลดการใช้วัตถุดิบที่ได้จากธรรมชาติ ลดพลังงานในการกำจัดกากของเสีย เป็นการใช้กากของเสียเพื่อให้เกิดประโยชน์สูงสุด และเพื่อเพิ่มมูลค่าของกากของเสียอีกด้วย

อุตสาหกรรมเซรามิกในประเทศไทยนั้น ส่วนใหญ่เป็นอุตสาหกรรมที่มีการลงทุนภายในประเทศ และมีความแตกต่างกันไปในด้านขนาดอุตสาหกรรมและเทคโนโลยีในการผลิต โดยมีตั้งแต่อุตสาหกรรมในครัวเรือนที่มีขนาดเล็กไปจนถึงอุตสาหกรรมขนาดใหญ่ เช่น โรงงานผลิตกระเบื้องปูพื้น กระเบื้องบุผนัง และสุขภัณฑ์ เป็นต้น อุตสาหกรรมเซรามิกนี้มีการใช้วัตถุดิบในประเทศเป็นหลัก นอกจากนี้อุตสาหกรรมเซรามิกยังถือเป็นอุตสาหกรรมพื้นฐานที่รองรับอุตสาหกรรมอื่นๆ อีกด้วย[2] สำหรับกระบวนการผลิตผลิตภัณฑ์เซรามิกนั้นขั้นตอนที่สำคัญ คือ ขั้นตอนของการเตรียมเคลือบเซรามิก ทำให้ความต้องการวัตถุดิบที่นำมาใช้ทำเคลือบนั้นมีความต้องการเป็นอย่างมาก วัตถุดิบบางชนิดก็มีราคาสูง เคลือบเซรามิกเป็นวัสดุที่มีลักษณะเหมือนแก้ว ฉาบบางๆ บนผิวผลิตภัณฑ์เซรามิกอย่างต่อเนื่อง เกิดขึ้นจากการที่ส่วนผสมของสารประกอบซิลิเกตหลอมเหลว และยึดติดแน่นอยู่บนผิวผลิตภัณฑ์เซรามิก วัตถุประสงค์ของการเคลือบผลิตภัณฑ์ คือ เพื่อป้องกันการเกิดรอยบนผิว ป้องกันการซึมผ่านของของเหลว เพื่อให้สามารถทำความสะอาดผลิตภัณฑ์ได้ง่าย และเพื่อให้เกิดความสวยงาม[3]

ในกระบวนการผลิตพอลิเอทิลีนความหนาแน่นสูง ต้องมีการใช้สารตัวเร่งปฏิกิริยาที่เตรียมจากสารประกอบไทเทเนียมเอทอกซีคลอไรด์ อะลูมิเนียมเอทอกซีคลอไรด์ และตัวทำละลายเฮกเซนเป็นสารตั้งต้น ซึ่งนอกจากจะได้ตัวเร่งปฏิกิริยาพอลิเมอร์เซชันแล้ว ก็ยังก่อให้เกิดกากตะกอนของเสียที่มีสภาพเป็นกรดจำนวนมากอีกด้วย การปรับสภาพความเป็นกรดต่างด้วยน้ำและปูนขาว ทำให้กากของเสียมีหินปูนเจือปนอยู่ กากของเสียมีองค์ประกอบหลัก คือ ไทเทเนียมไดออกไซด์ (TiO_2) แคลเซียมออกไซด์ (CaO) อะลูมินา (Al_2O_3) และมีสารประกอบคลอไรด์อยู่ในปริมาณเล็กน้อย กากของเสียมีองค์ประกอบหลักคล้ายกับส่วนผสมของเคลือบที่บิวที่ใช้กันทั่วไปในการผลิตเคลือบเซรา

มิก ดังนั้นหากมีการนำกากของเสียนี้มาใช้เป็นวัตถุดิบในส่วนผสมเคลือบได้ ก็จะทำให้ปริมาณของกากของเสี่ยลดลง อีกทั้งเป็นการเพิ่มมูลค่า และเป็นการลดการใช้วัตถุดิบจากธรรมชาติอีกด้วย

1.2 วัตถุประสงค์ของการวิจัย

1. เพื่อศึกษาความเป็นไปได้ในการนำกากของเสียจากอุตสาหกรรมการผลิตพอลิเอทิลีนความหนาแน่นสูงมาใช้เป็นส่วนผสมเคลือบเซรามิกและเคลือบพริตในอุตสาหกรรมเซรามิก
2. เพื่อศึกษาวิธีการปรับปรุงกากของเสียที่ได้จากอุตสาหกรรมการผลิตพอลิเอทิลีนความหนาแน่นสูงให้มีสมบัติใกล้เคียงกับวัตถุดิบทางการค้า ได้แก่ ไทเทเนียมไดออกไซด์ ที่ใช้ในอุตสาหกรรมเซรามิก
3. เพื่อเป็นการนำกากของเสียที่ได้จากโรงงานอุตสาหกรรมมาใช้ให้เกิดประโยชน์ เป็นการเพิ่มมูลค่าของกากของเสีย และลดต้นทุนในการกำจัดกากของเสีย

1.3 ขอบเขตของการวิจัย

1. เตรียมเคลือบที่มาตรฐานที่มีการใช้วัตถุดิบทางการค้า และเคลือบที่มีการใช้กากของเสียทดแทนวัตถุดิบทางการค้า โดยมีการศึกษาสมบัติของกากของเสียเบื้องต้น ได้แก่ องค์ประกอบทางเคมี องค์ประกอบทางเฟส การเปลี่ยนแปลงของปฏิกิริยาเมื่อได้รับความร้อน ความหนาแน่นของผงกาก และปริมาณของแข็งและการสูญเสียน้ำหนักหลังการอบและการเผา หลังจากนั้นทำการเตรียมกากให้มีความเหมาะสม และทำการปรับสูตรเคลือบเพื่อให้ได้เคลือบขาวทึบแสงที่มีความสวยงาม
2. เตรียมพริตมาตรฐานที่มีการใช้วัตถุดิบทางการค้า และพริตที่มีการใช้กากของเสียทดแทนวัตถุดิบทางการค้า ทำการศึกษาเปรียบเทียบ ปรับสูตรพริต และเตรียมเคลือบพริตที่ให้ลักษณะขาวทึบ
3. ศึกษาลักษณะสมบัติทางกายภาพของเคลือบที่ได้จากการใช้กากของเสียเป็นองค์ประกอบ ได้แก่ สี ลักษณะผิวเคลือบ องค์ประกอบทางเฟส อุณหภูมิในการหลอมตัวเฉพาะของเคลือบ สมบัติการขยายตัวทางความร้อนของเนื้อดินและเคลือบ ความแข็งของผิวเคลือบ ความทนทานต่อสารเคมี และความทนทานต่อการขีดขีด

1.4 ประโยชน์ที่คาดว่าจะได้รับ

สามารถทดแทนวัตถุดิบทางการค้าในเคลือบเซรามิกด้วยกากของเสียที่ได้จากการผลิตตัวเร่งปฏิกิริยาสำหรับพอลิเอทิลีนความหนาแน่นสูง และพัฒนาสูตรเคลือบเซรามิก

บทที่ 2

ปรีทัศน์วรรณกรรม

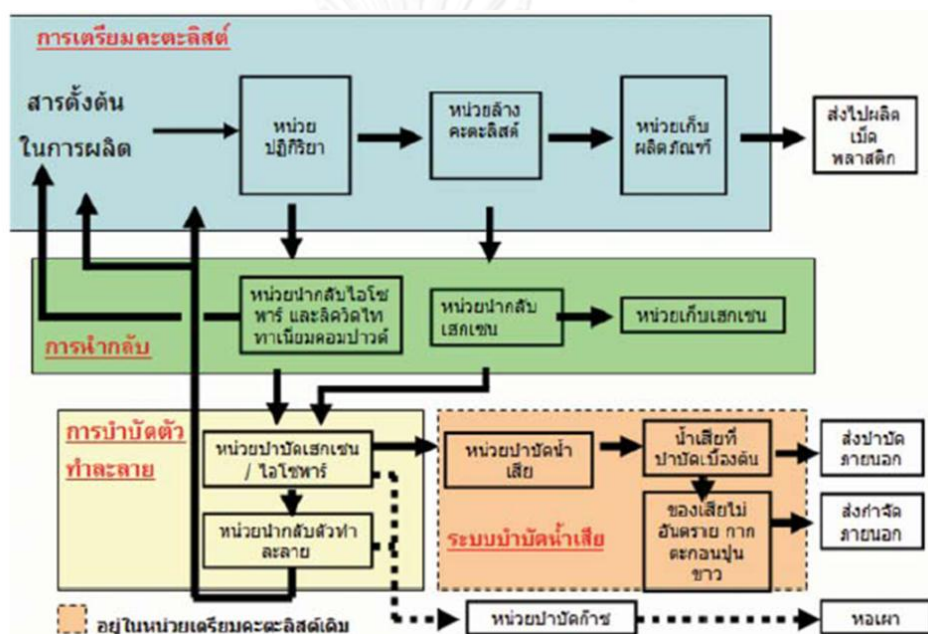
2.1 กระบวนการผลิตและการเกิดกากของเสียที่ได้จากกระบวนการผลิตพอลิเอทิลีนความหนาแน่นสูง

พอลิเอทิลีนความหนาแน่นสูง (High density polyethylene) หรือที่เรียกว่า HDPE เป็นพลาสติกที่มีความหนาแน่นสูง มีความเหนียวไม่แตกง่าย จุดหลอมเหลว คือ 135 องศาเซลเซียส มีความหนาแน่น 0.95-0.97 กรัมต่อลูกบาศก์เซนติเมตร สมบัติโดยทั่วไปของพอลิเอทิลีนความหนาแน่นสูง คือ มีความยืดหยุ่นดี เหนียวมากที่อุณหภูมิต่ำ มีความทนทานต่อสารเคมีได้ดีมาก ทนต่อสภาวะอากาศได้ดีพอสมควรอากาศสามารถซึมผ่านได้ดี เป็นฉนวนไฟฟ้าที่ดีมาก ผสมสีได้ง่าย ไม่มีกลิ่นและไม่มีรส เหมาะสำหรับผลิตถุงพลาสติกทั่วไป ถูขยชะ และถุงอุตสาหกรรม[4]

ปฏิกิริยาการเกิดพอลิเมอร์ เรียกว่า พอลิเมอไรเซชัน (Polymerization) ซึ่งเป็นปฏิกิริยาการรวมตัวของมอนอเมอร์ภายใต้สภาวะต่างๆ เช่น ตัวเร่งปฏิกิริยา อุณหภูมิ ความดัน เป็นต้น ทำให้เกิดพอลิเมอร์ชนิดต่างๆ ขึ้นมากมาย[5] โดยกระบวนการผลิตพอลิเอทิลีนความหนาแน่นสูงนั้น จำเป็นต้องมีการใช้ตัวเร่งปฏิกิริยาหรือที่เรียกว่าคะตะลิสต์ (Catalyst) คือ Ziegler - Natta ในกระบวนการผลิต[6] แผนผังการเตรียมตัวเร่งปฏิกิริยาดังรูปที่ 2.1 โดยกระบวนการเตรียมตัวเร่งปฏิกิริยาดังกล่าวมีขั้นตอน[7] ดังนี้

- หน่วยเก็บสารตั้งต้น เป็นหน่วยที่เก็บสารเคมีที่ใช้เป็นสารตั้งต้น และจะถูกส่งไปเก็บในถังพักเพื่อเตรียมใช้เป็นวัตถุดิบ
- การเตรียมสารตั้งต้น เป็นการเตรียมสารให้ได้ปริมาณและความเข้มข้นตามที่ต้องการก่อนที่จะส่งสารตั้งต้นไปยังหน่วยผลิต ซึ่งเป็นระบบปิด สารเคมีตั้งต้นที่ใช้ในกระบวนการผลิต ได้แก่ (1) สารละลายเฮกเซน (2) สารละลายไอโซพาร์ (3) แอลกอฮอล์ (4) ลิควิดไทเทเนียมคอมปาว (5) สารประกอบลิควิดซิลิกา (6) โซเดียมไฮดรอกไซด์ (7) สารประกอบอัลคิลไทเทเนียม และ (8) สารประกอบแมกนีเซียม
- หน่วยผลิตหลัก แบ่งออกเป็น 2 กระบวนการย่อย ได้แก่ (1) หน่วยทำปฏิกิริยาเคมี และ (2) หน่วยล้างคะตะลิสต์
 - หน่วยทำปฏิกิริยาเคมี เป็นหน่วยที่มีการเติมสารเคมีต่างๆ ที่เตรียมได้จากหน่วยเตรียมสารตั้งต้นภายใต้สภาวะควบคุมความดันและอุณหภูมิ ทำให้เกิดปฏิกิริยาเคมีได้เป็นตัวเร่งปฏิกิริยาที่มีลักษณะเป็นตะกอนสีขาว ในขั้นตอนการทำปฏิกิริยานี้จะก่อให้เกิดกากของเสียทั้งที่เป็นของแข็งและของเหลว โดยกากของเสียที่เป็นของแข็งนั้น จะถูกส่งไปที่หอบำบัดไอโซพาร์ ก่อนนำไอโซพาร์กลับมาใช้ใหม่ ส่วนของเสียที่เป็นของเหลว ได้แก่ น้ำเสีย จะถูกบำบัดด้วยระบบบำบัดน้ำเสียต่อไป

- หน่วยล้างตัวเร่งปฏิกิริยา เป็นหน่วยที่ทำความสะอาดตัวเร่งปฏิกิริยาที่ได้จากการทำปฏิกิริยาเคมีด้วยการเติมสารละลายไฮโซพาร์ ซึ่งสารละลายไฮโซพาร์ทำหน้าที่ชะล้างส่วนที่ทำปฏิกิริยาไม่หมด จากนั้นจึงตามด้วยการล้างโดยใช้เฮกเซน เพื่อให้ได้ตัวเร่งปฏิกิริยาที่นำไปใช้ในกระบวนการผลิตเม็ดพลาสติกพอลิเอทิลีนความหนาแน่นสูงต่อไป ส่วนสารละลายไฮโซพาร์และเฮกเซนจะถูกส่งไปหน่วยนำกลับและหน่วยบำบัด เพื่อนำมากลับมาใช้ใหม่



รูปที่ 2.1 กระบวนการเตรียมตัวเร่งปฏิกิริยาสำหรับกระบวนการผลิตเม็ดพลาสติกพอลิเอทิลีนความหนาแน่นสูง[7]

- หน่วยเก็บผลิตภัณฑ์ เป็นหน่วยที่ทำการเก็บตัวเร่งปฏิกิริยาที่ได้ผ่านการล้างเรียบร้อยแล้ว และพร้อมนำไปใช้ในกระบวนการผลิตเม็ดพลาสติกพอลิเอทิลีนความหนาแน่นสูง
- หน่วยนำกลับ สารละลายไฮโซพาร์และเฮกเซนที่ผ่านการใช้งานนั้นจะมีสารที่เป็นมลทินเจือปนอยู่ สารละลายไฮโซพาร์และเฮกเซนเหล่านี้จะถูกนำไปเก็บยังถังพัก แล้วจึงส่งมายังหน่วยนำกลับเพื่อทำให้สารละลายดังกล่าวมีความบริสุทธิ์ขึ้นด้วยการใช้หอกั่น แล้วจึงส่งกลับไปยังหน่วยผลิตเพื่อใช้งานใหม่อีกครั้ง
- หน่วยบำบัด แบ่งออกได้เป็น 2 หน่วยคือ (1) หน่วยบำบัดไฮโซพาร์และ (2) หน่วยบำบัดก๊าซ
 - หน่วยบำบัดไฮโซพาร์ เป็นการทำให้สารประกอบไทเทเนียมที่เจือปนอยู่ในสารละลายไฮโซพาร์หมดสภาพโดยการทำปฏิกิริยากับน้ำ จากนั้นจะดึงไฮโซพาร์

ออกจากน้ำแล้วนำกลับมาใช้ใหม่ ส่วนน้ำเสียที่เหลือจะถูกส่งไปยังหน่วยบำบัดน้ำเสียที่หน่วยเตรียมตัวเร่งปฏิกิริยาต่อไป

- หน่วยบำบัดก๊าซ เป็นหน่วยที่ทำการบำบัดก๊าซไนโตรเจนด้วยการฉีดพ่นด้วยสารละลายโซเดียมไฮดรอกไซด์ (NaOH) ก่อนปล่อยสู่บรรยากาศ

น้ำเสียที่เกิดจากการดึงเอาสิ่งเจือปนออกจากสารละลายมีฤทธิ์เป็นกรดเนื่องจากมีค่า pH ต่ำมาก จึงต้องมีการปรับ pH ให้มีความเป็นด่างมากขึ้นด้วยการเติมน้ำและหินปูน (CaCO_3) ทำให้เกิดเป็นตะกอนสีขาวชั้นที่เรียกว่า lime mud ซึ่งเป็นกากของเสียที่มีลักษณะเป็นของแข็ง มีหินปูนเจือปนอยู่ จากกระบวนการการผลิตตัวเร่งปฏิกิริยาจะเห็นได้ว่ากากของเสียนั้นน่าจะออกไซด์ที่ตกค้างเจือปนมากับกากตะกอน ซึ่งได้แก่ ไทเทเนียมไดออกไซด์ (TiO_2) แคลเซียมออกไซด์ (CaO) อะลูมินา (Al_2O_3) และมีสารประกอบคลอไรด์อยู่ในปริมาณเล็กน้อย

2.2 เคลือบเซรามิก

เคลือบคือ ชั้นแก้วบางๆ เกิดจากสารประกอบซิลิเกตซึ่งเมื่อถูกความร้อนแล้วเกิดการหลอมละลายเป็นเนื้อแก้ว และฉาบอยู่บนผิวของผลิตภัณฑ์หรือผิวของเนื้อดินปั้น (body) มีลักษณะโปร่งใส แข็งแกร่ง ทนทานต่อกรดและด่างได้เป็นอย่างดี จุดประสงค์ในการเคลือบ คือ เพื่อเป็นการตกแต่งผลิตภัณฑ์ให้มีความสวยงาม และทำให้ผลิตภัณฑ์มีความคงทน ความคงทนเป็นสมบัติซึ่งทำให้ผลิตภัณฑ์มีความแข็งแรงเพียงพอที่จะทนต่อการขีดข่วน ความทนทานต่อกรดและด่าง และทำความสะอาดได้ง่าย[8,9,10,11]

วัตถุดิบที่ใช้ในการเตรียมส่วนผสมของเคลือบนั้นสามารถแบ่งกลุ่มตามหน้าที่ของวัตถุดิบได้ดังนี้

- กลุ่มที่ทำให้เกิดโครงสร้างแก้วหรือโครงตาข่าย (Glass Former หรือ Network Former) แก้วเป็นวัสดุที่อึดทน และมีโครงสร้างแบบไร้ระเบียบหรือมีระเบียบในช่วงสั้นเท่านั้น โดยออกไซด์ที่สามารถทำให้เกิดโครงสร้างแก้วได้ดีที่สุด คือ ออกไซด์ของธาตุที่มีขนาดเล็กและมีประจุสูง ได้แก่ ซิลิกา (SiO_2) ซึ่งเป็นวัตถุดิบที่นำมาใช้ในเคลือบเพื่อทำให้เคลือบหลอมกลายเป็นเนื้อแก้ว ตัวอย่างวัตถุดิบดังกล่าว ได้แก่ ทราาย ควอตซ์ หินฟินม้า แก้วกลบ เป็นต้น
- กลุ่มที่ปรับโครงสร้างแก้วหรือฟลักซ์ (Network modifier) เนื่องจากการอุณหภูมิในการหลอมตัวของสารกลุ่มที่ทำให้เกิดเนื้อแก้วนั้นสูงมาก และเมื่อหลอมแล้วของเหลวที่ได้จะมีความหนืดที่สูงเกินไป เราจึงมีการใส่วัตถุดิบกลุ่มนี้เพื่อทำหน้าที่ลดจุดสุกตัวของเคลือบและลดความหนืดของแก้ว วัตถุดิบกลุ่มนี้ ได้แก่ ชี้เถ้า (Ash) หินปูน (Lime) โดโลไมต์ (Dolomite) ทัลค์ (Talc) ซิงก์ออกไซด์ (ZnO) แบเรียมออกไซด์ (BaO) ฯลฯ
- กลุ่มที่ทำให้เกิดความเสถียร (Intermediate elements) ทำหน้าที่เป็นตัวปรับความหนืดทำให้เนื้อแก้วที่ถูกสร้างขึ้นมาไม่ไหลหลุดไปจากผิวผลิตภัณฑ์ เคลือบสามารถเกาะติดผิวผลิตภัณฑ์ได้ดี และช่วยเพิ่มความทนทานต่อการกัดกร่อนและเพิ่มความแข็งแรงให้กับเคลือบ วัตถุดิบกลุ่มนี้ ได้แก่ อะลูมินา (Al_2O_3) ซึ่งได้จากดิน หินฟินม้า ฯลฯ

- กลุ่มที่ทำให้เกิดลักษณะพิเศษ หรือตัวเติมอื่นๆ ได้แก่
 - ตัวทำให้เกิดความทึบแสง ใส่เพื่อให้เคลือบมีลักษณะทึบแสง ได้แก่ เซอร์คอน ($ZrSiO_4$) เซอร์โคเนีย (ZrO_2) ไทเทเนียมไดออกไซด์ (rutile, TiO_2) และทินออกไซด์ (SnO_2)
 - ตัวที่ทำให้เกิดผลึก ได้แก่ ไทเทเนียมไดออกไซด์ (TiO_2) และคอปเปอร์ออกไซด์ (CuO)
 - ตัวที่ให้สี ได้แก่ ออกไซด์ของธาตุทรานซิชัน เช่น คอปเปอร์ออกไซด์ (CuO) ซึ่งให้สีฟ้าหรือสีเขียว เพอร์ริกออกไซด์ให้สีเขียว
 - ตัวช่วยประสาน ใช้เติมเพื่อให้การจับตัวระหว่างเนื้อดินและเคลือบเกิดได้ดีและเพิ่มความต้านทานการขูดขีด ตัวอย่างตัวช่วยประสาน เช่น เบนโทไนท์ (bentonite) โซเดียมหรือโพแทสเซียมซิลิเกต (Sodium/Potassium silicate) และคาร์บอกซีเมทิลเซลลูโลส (Carboxy methylcellulose)
 - ตัวช่วยกระจาย เช่น โซเดียมซิลิเกตหรือดิสเป็กซ์ (Dispex) และตัวช่วยจับตัว เช่น แคลเซียมคลอไรด์ ($CaCl_2$)

2.2.1 การเตรียมเคลือบ

การเตรียมเคลือบนิยมใช้วิธีบดเปียก โดยนำส่วนผสมและน้ำใส่ลงไป ในหม้อบดที่มีลูกบดอยู่ข้างใน น้ำเคลือบจำเป็นต้องการการบดที่เหมาะสม เพื่อให้ได้ความละเอียดและการไหลตัวที่เหมาะสมกับการใช้งาน ดังนั้นการทดลองจึงเป็นสิ่งจำเป็น ในการบดผสมนั้นมีปัจจัยที่ต้องคำนึงถึงได้แก่ (1) ปริมาณของวัตถุดิบที่มีความแข็ง (2) ปริมาณและชนิดของดิน (3) ขนาดของหม้อบด (4) จำนวนรอบต่อนาทีของหม้อบด (5) ขนาดและปริมาณของลูกบด และ (6) ปริมาณน้ำที่ใช้ สิ่งเหล่านี้เป็นส่วนสำคัญที่มีผลต่อประสิทธิภาพในการบด[11,12]

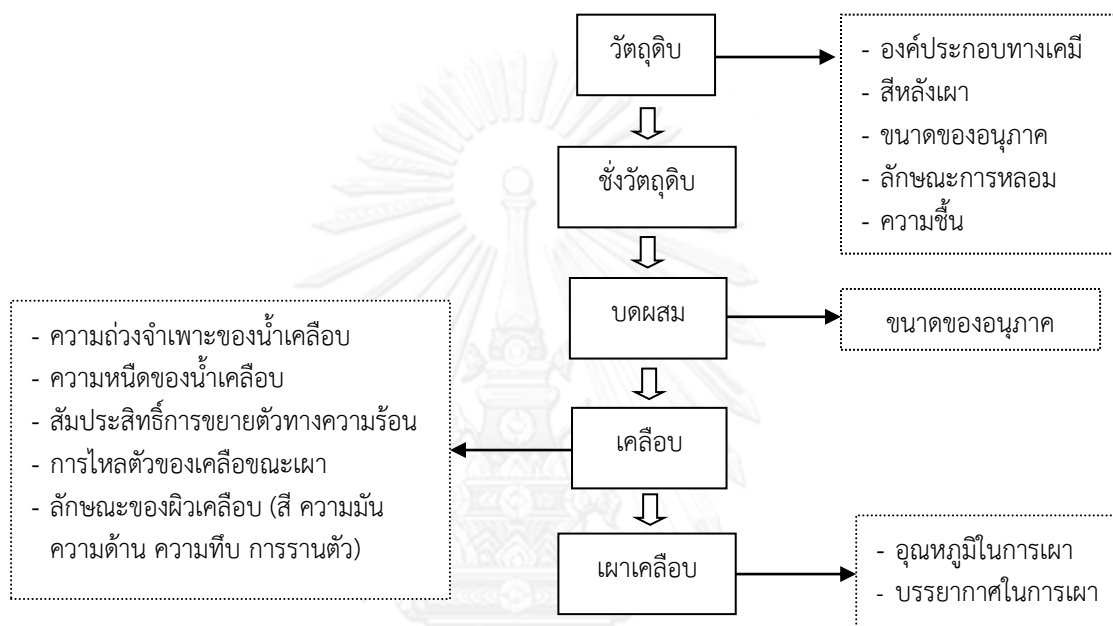
ความเร็วรอบของหม้อบด (Speed of the mill) ทำให้การเคลื่อนตัวของลูกบดแตกต่างกัน ดังนี้

- Slow Speed : ลูกบดจะถูกเหวี่ยงให้เคลื่อนตัวขึ้นเพียงเล็กน้อย และตกลงมา
- Normal Speed : ลูกบดจะถูกเหวี่ยงให้เคลื่อนตัวไปมากขึ้น และจะตกลงมากระทบกัน
- Rapid Speed : ลูกบดจะถูกเหวี่ยงไปรอบๆ หม้อบด

* การบดจะมีประสิทธิภาพสูงเมื่อพื้นที่ผิวของลูกบดเกิดการกระทบกันมากขณะทำการบด

ขั้นตอนในการบดเพื่อให้การบดมีประสิทธิภาพและลดเวลาในการบด ควรบดวัตถุดิบที่มีความแข็งและหยาบก่อน ซึ่งวัตถุดิบเหล่านี้ ได้แก่ ฟริต (frit) และสีออกไซด์ (colouring oxide) เป็นต้น และเพื่อป้องกันการจับตัวกันควรเติมดินในส่วนผสมที่ทำการบดด้วย โดยมีการใช้น้ำประมาณ 10–30 % ของน้ำหนักวัตถุดิบในหม้อบด และเมื่อได้ความละเอียดตามต้องการแล้ว จึงใส่วัตถุดิบที่เหลือซึ่งมีความแข็งน้อยและสามารถบดให้ละเอียดได้ง่ายลงไป เวลาที่ใช้ในการบดก็มีความสำคัญ

เช่นกัน โดยต้องใช้เวลาในการบดนานเพื่อให้ได้น้ำเคลือบที่มีการบดอย่างสมบูรณ์ ในการบดนั้นไม่สามารถกำหนดปริมาณของน้ำที่ใช้ได้แน่นอน เนื่องจากขึ้นอยู่กับวัตถุดิบของส่วนผสมด้วย จึงต้องมีการทดลองบดก่อนในการเตรียมเคลือบแต่ละสูตร เมื่อเคลือบผ่านกระบวนการบดแล้ว หลังจากนั้นจะนำน้ำเคลือบที่ได้มากรองผ่านตะแกรงขนาด 200 เมช เพื่อกรองวัตถุดิบส่วนที่บดไม่ละเอียดทิ้งไป ตัวอย่างขั้นตอนการเตรียมเคลือบและการทดสอบสมบัติของเคลือบ แสดงดังรูปที่ 2.2



รูปที่ 2.2 ขั้นตอนการเตรียมเคลือบและการทดสอบสมบัติของเคลือบ[11]

การควบคุมสภาพที่เหมาะสมของน้ำเคลือบทำได้โดยการควบคุมสมบัติของน้ำเคลือบได้แก่ (1) ความหนาแน่นหรือความถ่วงจำเพาะ ซึ่งบ่งบอกถึงปริมาณน้ำในเคลือบ มีผลต่อความหนืดและความหนาของเคลือบ โดยความหนาของเคลือบส่งผลต่อการเกิดตำหนิในเคลือบ และ (2) อัตราการไหลของน้ำเคลือบหรือความหนืด ซึ่งสัมพันธ์กับความหนาของเคลือบ วิธีการทดสอบความหนาของเคลือบสามารถทำได้โดยวัดอัตราการไหลของเคลือบ ด้วยเครื่อง Brookfield เป็นต้น หรือสามารถวัดได้ด้วยวิธีแบบง่าย คือ จับเวลาในการไหลตัวของน้ำเคลือบที่เราทราบปริมาตรแน่นอน หากน้ำเคลือบใช้เวลาในการไหลนานแสดงว่าน้ำเคลือบมีความหนืดสูง

สิ่งที่ควรคำนึงถึงในขั้นตอนการเตรียมเคลือบ คือ

1. เนื้อดินและเคลือบ ควรมีสัมประสิทธิ์การขยายตัวทางความร้อนที่ใกล้เคียงกัน มิฉะนั้นจะทำให้เกิดตำหนิในเคลือบ เช่น เกิดการรานตัว (Crazing) เคลือบไม่ติดบนเนื้อผลิตภัณฑ์ (Crawling) เคลือบเกิดการร่อนตามริมหรือตามขอบ (Shivering)

2. ควรทราบจุดสุกตัวของเนื้อดินก่อน เพื่อจะได้เลือกเคลือบที่เหมาะสม โดยเคลือบที่ใช้จำเป็นต้องมีอุณหภูมิการเผาไม่สูงกว่าจุดสุกตัวของเนื้อดิน

3. หากเนื้อดินที่เผาแล้วไม่ขาว แต่ต้องการให้ผลิตภัณฑ์มีสีขาวหรือไม่เห็นเนื้อผลิตภัณฑ์นั้น เคลือบที่ใช้ควรเป็นเคลือบทึบ ซึ่งสามารถปกปิดเนื้อของผลิตภัณฑ์ได้ดี

4. เนื้อดินอาจเติมตัวให้สีที่เกิดจากออกไซด์ (Coloring oxide) เพื่อให้เนื้อดินมีสี และเคลือบ ด้วยเคลือบใส

2.2.2 การเคลือบ

การเคลือบสามารถทำได้หลายวิธี การเลือกวิธีในการเคลือบนั้น ขึ้นอยู่กับลักษณะและขนาดของผลิตภัณฑ์ วิธีในการเคลือบ ได้แก่

วิธีการทาด้วยพู่กัน (Painting) ซึ่งเป็นวิธีที่เก่าแก่ที่สุด โดยยังมีการใช้วิธีนี้อยู่ในหมู่นักศิลปกรรมสมัยใหม่ ที่ต้องการลักษณะเฉพาะหรือเทคนิคพิเศษ ในการทาเคลือบนั้นควรทาไปทางไหนทางหนึ่งเท่านั้น และไม่ควรถาหน้าเคลือบซ้ำๆ กันหลายครั้ง เนื่องจากจะทำให้เกิดความไม่สม่ำเสมอของเคลือบ พู่กันที่ใช้จำเป็นต้องเป็นพู่กันที่มีขนยาวนุ่ม สามารถอมน้ำได้มาก

วิธีการจุ่ม (Dipping) วิธีนี้นิยมใช้มาก จำเป็นต้องใช้น้ำเคลือบปริมาณมากพอที่จะสามารถจุ่มผลิตภัณฑ์ได้ทั้ง การจุ่มเหมาะกับผลิตภัณฑ์ที่สามารถใช้มือจับได้ถนัด ต้องอาศัยความชำนาญในการเคลือบ เนื่องจากต้องมีการประมาณเวลาในการจุ่มเคลือบเพื่อให้ได้ความหนาที่เหมาะสม และต้องทราบถึงลักษณะของผลิตภัณฑ์ด้วย

วิธีการเทราด (Pouring) เป็นวิธีที่ใช้กับผลิตภัณฑ์กระเบื้อง โดยทำการวางกระเบื้องไว้บนถาด หลังจากนั้นจึงทำการเทน้ำเคลือบราดลงบนแผ่นกระเบื้อง และทำการตกแต่งขอบของกระเบื้องที่ได้ที่ละแผ่น วิธีนี้ช้าและสิ้นเปลืองมาก ปัจจุบันได้มีการพัฒนาให้มีการวางแผ่นกระเบื้องลงบนสายพาน และปล่อยน้ำเคลือบให้ไหลผ่านแผ่นกระเบื้องนั้นๆ พร้อมกับมีเครื่องมืออัตโนมัติในการตกแต่งเซ็ดถูขอบกระเบื้องทั้ง 4 ด้าน ในปัจจุบันวิธีนี้เป็นวิธีที่ใช้ในการเคลือบสำหรับอุตสาหกรรมการผลิตกระเบื้องมากที่สุด

วิธีการพ่น (Spraying) วิธีนี้เหมาะกับผลิตภัณฑ์ที่มีขนาดใหญ่ อุปกรณ์ที่ใช้ในการพ่นเคลือบ ได้แก่ ตัวพ่น (Spray gun) กระบอกใส่เคลือบ (Reservoir) ตู้พ่น (Spray booth) และที่วางของที่จะพ่น โดยจะทำการพ่นในตู้ที่มีพัดลมเพื่อให้ดูดละอองของเคลือบ และป้องกันการฟุ้งกระจายของเคลือบ หลักการ คือ ทำให้น้ำเคลือบพ่นออกมาเป็นฝอย และตกลงเกาะบนผิวของผลิตภัณฑ์ ผลิตภัณฑ์ที่เหมาะสมสำหรับการเคลือบด้วยวิธีนี้มีขนาดใหญ่และรูปร่างซับซ้อน ได้แก่ สุขภัณฑ์ อ่างล้างหน้า ฯลฯ

2.2.3 เคลือบสำหรับผลิตภัณฑ์เผาครั้งเดียว

การเผาผลิตภัณฑ์ครั้งเดียว (Once-firing) [11] มีข้อดี คือ ช่วยลดพลังงาน เนื่องจากไม่ต้องสูญเสียพลังงานที่ใช้ในการเผาดิบ และประหยัดแรงงานในการนำชิ้นงานเข้าและออกจากเตาเผา จะเห็นได้ว่าการเคลือบสำหรับผลิตภัณฑ์เผาครั้งเดียวนั้น ช่วยประหยัดทั้งพลังงานและแรงงาน โดย

เคลือบสำหรับผลิตภัณฑ์เผาครั้งเดียวนั้นมีการนำมาใช้สำหรับผลิตภัณฑ์เซรามิกประเภทกระเบื้อง แต่ก็ต้องมีข้อควรคำนึง ได้แก่

- 1) ชิ้นงานง่ายต่อการแตกหักเนื่องจากยังไม่ผ่านการเผา ทำให้การขนย้ายทำได้ยาก จึงต้องมีความระมัดระวังเป็นอย่างมาก
- 2) เคลือบที่ใช้สำหรับผลิตภัณฑ์เผาครั้งเดียวนั้น ต้องแน่ใจว่าเคลือบสามารถยึดติดได้ดีกับเนื้อดิน และมีการหดตัวที่ใกล้เคียงกัน โดยเคลือบสำหรับผลิตภัณฑ์เผาครั้งเดียวนั้นต้องมีปริมาณของดินในสูตรเคลือบมากกว่าเคลือบที่ใช้กับผลิตภัณฑ์เผา 2 ครั้ง
- 3) ผลิตภัณฑ์ที่เผาครั้งเดียวนั้น ผิวเคลือบมักมีตำหนิ เช่นเกิดเคลือบร่อน (Crawling) เกิดรูเข็ม (Pin hole) ฯลฯ

2.2.4 ปฏิกริยาที่เกิดขึ้นในการเผาเคลือบ

การเผาเคลือบจะทำให้เกิดการเปลี่ยนแปลงทั้งทางกายภาพและทางเคมี โดยการเปลี่ยนแปลงทางกายภาพนั้น ได้แก่ การละลาย การเดือด การระเหยหรือระเหิด และการเปลี่ยนแปลงเฟส ส่วนการเปลี่ยนแปลงทางเคมีนั้น ได้แก่ การเผาไหม้ของสาร การเกิดการสลายตัวของสารและเกิดเป็นสารใหม่ และการเกิดปฏิกิริยากลายเป็นสารใหม่ โดยการเปลี่ยนแปลงในแต่ละช่วงอุณหภูมิ[8,9,10] มีดังนี้

ช่วงอุณหภูมิที่เคลือบเริ่มมีอุณหภูมิสูงขึ้น

- จากอุณหภูมิห้อง - 600 องศาเซลเซียส : มีการปล่อยก๊าซเนื่องจากความชื้น การสลายตัวของสารช่วยประสานและสารอินทรีย์ในดิน โดยอุณหภูมิช่วงนี้เคลือบจะมีรูพรุนเพิ่มขึ้นประมาณ 30 -50 เปอร์เซ็นต์
- อุณหภูมิ 400 – 600 องศาเซลเซียส : เกิดปฏิกิริยาดูดความร้อนเนื่องจากกระบวนการขจัดกลุ่มไฮดรอกซิล (Dehydroxylation) ในดิน โดยมีการให้อุณหภูมิออกมา ทำให้สารมีมวลลดลง ชั้นของเคลือบพรุนตัวมากขึ้น
- อุณหภูมิ 700 องศาเซลเซียส เป็นต้นไป : สำหรับเคลือบฟritที่อุณหภูมิ 700 องศาเซลเซียส จะเป็นอุณหภูมิที่เคลือบเริ่มแข็งตัว แต่สำหรับเคลือบอื่นๆ การเกิดแก้วในเคลือบจะเกิดที่อุณหภูมิ 1100 องศาเซลเซียสขึ้นไป เกิดการสลายตัวของสารประกอบคาร์บอนเนต หรือซัลเฟต สารต่างๆ มีการละลาย เคลือบหลอมและหดตัว เคลือบเริ่มมีการเคลื่อนที่เพื่อปกปิดผิวของเนื้อดินและให้ผิวที่เรียบ รูพรุนในเคลือบเล็กลง ก๊าซต่างๆ ที่เกิดในเนื้อดินและเคลือบยังสามารถหลุดหนีออกไปได้ แต่ถ้าหากเคลือบมีความหนืดสูงนั้นกระบวนการนี้จะเกิดได้ช้า ทำให้มีฟองก๊าซหลงเหลืออยู่ในเคลือบหลังจากที่เคลือบนั้นเย็นตัวลง ส่งผลให้ความทึบแสงของเคลือบลดลง

ช่วงอุณหภูมิที่ปล่อยให้เคลือบเย็นตัวลง

- อุณหภูมิเผาเคลือบ – 600 องศาเซลเซียส : อุณหภูมิของเคลือบลดลงอย่างรวดเร็ว แต่หากกระบวนการในช่วงนี้เกิดขึ้นช้า อาจทำให้เกิดการเกิดผลึกในเคลือบได้ เคลือบมีการหดตัว แต่ยังคงเกิดความเค้นขึ้นในเคลือบ เนื่องจากการหดตัวระหว่างเนื้อดินและเคลือบไม่เท่ากัน (การเกิดความเค้นในเคลือบมากนั้นอาจทำให้เคลือบเกิดการเสียหาย โดยเคลือบมีความต้านทานต่อแรงอัดสูงและมีความต้านทานต่อแรงดึงต่ำ ส่งผลให้เกิดการร้าวตัวของเคลือบ)
- 1000 – 800 องศาเซลเซียส : หากต้องการให้เคลือบมีผลึก ควรลดอุณหภูมิช้าๆ ในช่วงนี้
- 600 องศาเซลเซียส – อุณหภูมิห้อง : เคลือบเกิดการแข็งตัวอย่างรวดเร็ว ความหนืดของเคลือบเพิ่มขึ้นอย่างมาก เกิดความเค้นในเคลือบ

2.3 เคลือบฟrit

ฟrit คือ แก้วหรือเคลือบเหมือนแก้ว เป็นการเตรียมส่วนผสมของวัตถุดิบและทำการหลอมก่อน หลังจากนั้นจึงนำฟritที่ได้ไปเป็นองค์ประกอบในการเตรียมเคลือบฟrit กระบวนการเตรียมเคลือบโดยใช้ฟritเป็นองค์ประกอบมีข้อได้เปรียบเคลือบที่เตรียมจากวัตถุดิบหลายประการ[9] ดังนี้

1. วัตถุดิบที่ละลายน้ำ เช่น อัลคาไลน์ คาร์บอเนต ไนเตรต บอเรต อื่นๆ ปกติจะไม่สามารถผสมลงในน้ำเคลือบได้ แต่ถ้านำวัตถุดิบเหล่านี้มาหลอมรวมกับวัตถุดิบอื่นๆ เพื่อทำให้ได้เป็นฟritซึ่งไม่ละลายน้ำก่อน ก็จะทำให้สามารถใช้ฟritที่ได้นี้ผสมลงในน้ำเคลือบได้

2. วัตถุดิบที่มีความเฉื่อยต่อปฏิกิริยาที่อุณหภูมิต่ำ เช่น สารประกอบของแบเรียมจะกลายเป็นตัวลวดจุดหลอมตัวอย่างรุนแรง เมื่อนำมาหลอมรวมเป็นฟrit ความสามารถในการเลือกใช้ทั้งปริมาณและชนิดของวัตถุดิบที่เป็นตัวลวดจุดหลอมตัว จะช่วยทำให้เลือกผลิตเคลือบที่มีจุดสุกตัวและมีสีต่างๆ อย่างกว้างขวาง

3. วัตถุดิบที่เป็นส่วนผสมของเคลือบที่เป็นพิษ สามารถทำให้พิษหมดไปได้เมื่อหลอมเป็นฟrit ด้วยกรรมวิธีที่เหมาะสม

4. ในน้ำเคลือบจะมีฟritมากที่สุด น้ำเคลือบที่มีฟritจะใช้ปริมาณน้อยกว่าน้ำเคลือบที่เตรียมจากวัตถุดิบที่เคลือบผลิตภัณฑ์ปริมาณเท่าๆ กัน น้ำเคลือบฟritมีสมบัติทางเคมีที่ไม่ว่องไว เพราะว่าการหลอมฟritได้ทำให้เกิดการแตกตัวและเกิดปฏิกิริยามาแล้วอย่างสมบูรณ์ ดังนั้นจะไม่ทำลายเนื้อผลิตภัณฑ์หรือแม้แต่วัตถุดิบที่ตกแต่งบนผลิตภัณฑ์ก่อนทำการชุบเคลือบ

5. การทำฟritจะทำให้ได้ความเป็นเนื้อเดียวกันอย่างสม่ำเสมอ ดังนั้นจึงป้องกันการเกิดการแยกตัวของวัตถุดิบในน้ำเคลือบ เนื่องจากมีความหนาแน่น ขนาดและรูปร่างหรือความแข็งแตกต่างกันไป ดังนั้นฟritจึงช่วยให้ผงสีเซรามิกกระจายตัวอย่างสม่ำเสมอ และช่วยป้องกันการเกิดจุดสีที่ต่างไป และนอกจากนี้ยังเป็นไปได้ที่จะได้เคลือบที่มีสีสุกใสมากขึ้น

นอกจากนี้เคลือบพริตที่ได้ยังดีกว่าเคลือบเซรามิก คือ เคลือบสุกตัวได้ดีมากกว่า เนื้อเคลือบมีความสม่ำเสมอมากกว่า โอกาสเกิดพิชจากสารตะกั่วน้อยกว่า โครงสร้างของเคลือบสม่ำเสมอมากกว่า และโอกาสในการเกิดตำหนิในเคลือบน้อยกว่า

2.4 การทดสอบสมบัติของเคลือบ

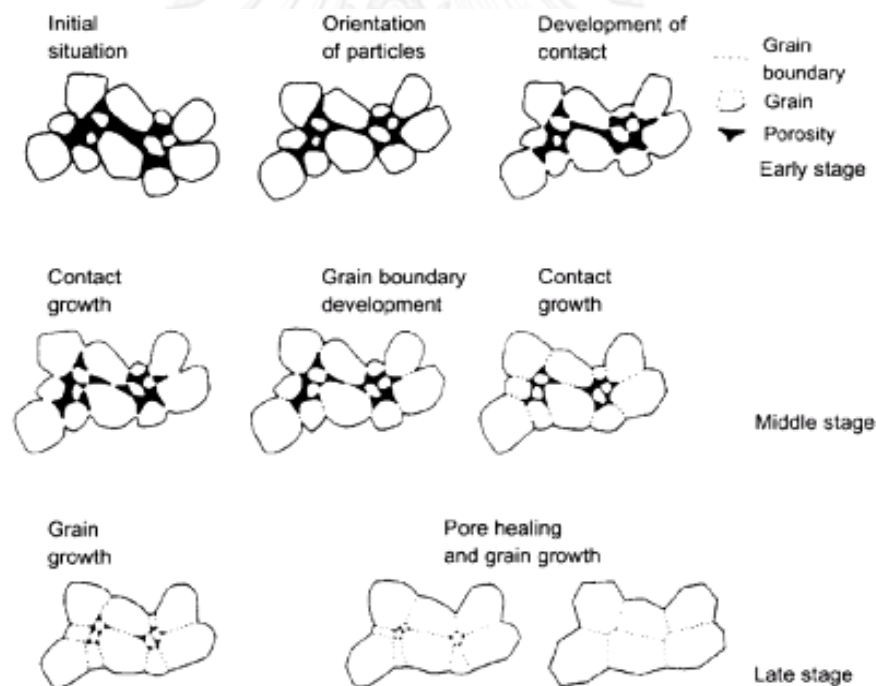
การทดสอบสมบัติของเคลือบ เพื่อต้องการให้เคลือบที่ได้นั้นมีสมบัติและลักษณะที่สม่ำเสมอ เช่น สี ความสุกตัว ความมันหรือด้าน ความทึบหรือใสของเคลือบ การควบคุมและการทดสอบเคลือบในขั้นตอนต่างๆ ของการผลิตมีความจำเป็นอย่างมาก

2.4.1 พฤติกรรมการหลอมตัว (Melting behaviour)

พฤติกรรมการหลอมตัวของเคลือบมีความสำคัญอย่างมากต่อกระบวนการผลิตผลิตภัณฑ์เซรามิก[13,14] พฤติกรรมการหลอมตัวเป็นการวิเคราะห์การเสียรูปหลังเผา ซึ่งมีความสัมพันธ์กับการใช้วัตถุดิบในการช่วยหลอม และเพิ่มการไหลตัวของเคลือบ และเป็นการคาดคะเนอุณหภูมิที่เหมาะสมในการเผาเคลือบ ปัจจัยสำคัญที่มีผลต่อพฤติกรรมการหลอมตัวของเคลือบ ได้แก่ องค์ประกอบทางเคมีของวัตถุดิบ สัดส่วนในการผสมวัตถุดิบ ขนาดของอนุภาค และอุณหภูมิในการเผา[15] พฤติกรรมการหลอมตัวนั้นเกี่ยวข้องกับกระบวนการที่เรียกว่ากระบวนการเผาผนึก ซึ่งเป็นกระบวนการทางความร้อนที่ทำให้อนุภาคของชิ้นงานที่มีความพรุนตัวมีความหนาแน่นเพิ่มมากขึ้นหรือเป็นการกำจัดความพรุนตัวของเนื้อวัสดุดังแสดงในรูปที่ 2.3 ที่อุณหภูมิปกติการขึ้นรูปชิ้นงานนั้นอนุภาคของวัสดุจะถูกอัดตัวกันและมีรูพรุนแทรกอยู่ โดยในช่วงแรกเมื่ออุณหภูมิสูงขึ้นอนุภาคของวัสดุจะเริ่มเกิดการหลอมเชื่อมติดกันเรียกว่าคอคอต (Necking) ขนาดของอนุภาคลดลงแต่รูปร่างไม่เปลี่ยนแปลง ต่อมาอนุภาคจะเกิดการจัดเรียงตัวใหม่และเคลื่อนใกล้กันมากขึ้นเนื่องจาก viscous flow นำไปสู่การเพิ่มความหนาแน่น (Densification) เกิดเกรน (Grain) และขอบเกรน (Grain boundary) รูพรุนในโครงสร้างกลายเป็นรูพรุนปิด ซึ่งในขั้นตอนนี้ชิ้นงานจะเกิดการหดตัวจากเดิม และในขั้นตอนสุดท้ายรูพรุนจะถูกกำจัดออกจากโครงสร้าง อนุภาคเกิดการเชื่อมต่อกันอย่างสมบูรณ์และเกรนใหม่มีขนาดใหญ่ขึ้น (Grain growth) สำหรับชิ้นงานที่เป็นแก้ว พริต หรือเคลือบนั้น ปัจจัยที่ช่วยส่งเสริมกระบวนการเผาผนึก คือ ระดับพลังงานอิสระที่พื้นผิวและแรงตึงผิวของเฟสเนื้อแก้วที่เกิดจากออกไซด์ที่มีหน้าที่ลดจุดหลอมตัว (Flux) ทำให้ชิ้นงานบิดเบี้ยวและเสียรูปทรงจนกว่าขั้นตอนการเพิ่มความหนาแน่นจะสิ้นสุด วัสดุที่มีเนื้อแก้วเป็นองค์ประกอบจะมีการเกิดเฟสของเหลวเนื้อแก้ว (Liquid glassy phase) ทำให้ชิ้นงานมีการเสียรูปทรงอย่างชัดเจน โดยการตรวจสอบอุณหภูมิที่ทำให้วัสดุเริ่มเกิดเนื้อแก้วนั้นสามารถพิจารณาได้จากรูปร่างของชิ้นงานที่เปลี่ยนแปลงไป 5 เปอร์เซ็นต์ จากรูปร่างตั้งต้นซึ่งมีการกำหนดให้เป็น 100 เปอร์เซ็นต์ อัตราในการเผาผนึกจะถูกควบคุมโดยความหนืดของเฟสของเหลวเนื้อแก้วเป็นหลัก

2.4.2 อุณหภูมิการหลอมตัวเฉพาะ (Characteristic temperatures)

อุณหภูมิการหลอมตัวเฉพาะเป็นการศึกษาการเปลี่ยนแปลงรูปร่างและขนาดของชิ้นงานที่เปลี่ยนแปลงไปตามอุณหภูมิซึ่งสามารถวิเคราะห์ได้ด้วยเครื่อง heating microscope[17] ตามมาตรฐานเยอรมนี DIN51730 โดยชิ้นงานจะถูกเตรียมด้วยการอัดขึ้นรูปผงเคลือบให้มีรูปร่างเป็นทรงกระบอกที่มีขนาดเส้นผ่าศูนย์กลาง 2 มิลลิเมตรและมีความสูง 3 มิลลิเมตรและวางลงบนแผ่นรองชิ้นงาน หลังจากนั้นนำเข้าเครื่อง heating microscope โดยเครื่องมีการให้ความร้อนเพื่อให้เคลือบเกิดการเปลี่ยนแปลง วิเคราะห์ภาพด้วยโปรแกรมคอมพิวเตอร์เป็นหลัก โปรแกรมทำหน้าที่วิเคราะห์ความสัมพันธ์ของการเปลี่ยนแปลงรูปร่าง ได้แก่ ความกว้าง ความสูง และมุมสัมผัสของชิ้นงานที่อุณหภูมิและเวลาการเผาต่างๆ ซึ่งบ่งบอกถึงการเปลี่ยนแปลงทางความร้อนของชิ้นงานระหว่างเผาได้ จากภาพที่กล้องทำการบันทึกไว้นั้นสามารถติดตามการเปลี่ยนแปลงรูปร่างเฉพาะ (Characteristic shape) ของเคลือบได้ [16,17]



รูปที่ 2.3 โครงสร้างของวัสดุที่เปลี่ยนแปลงไปจากการเผาผนึก^[16]

การเปลี่ยนแปลงรูปร่างและรูปร่างของชิ้นงานที่บันทึกจากกล้องจุลทรรศน์สอตกคล้องกับอุณหภูมิที่เพิ่มขึ้นและสามารถระบุอุณหภูมิที่เกี่ยวข้องแสดงดังรูปที่ 2.4 และ รูปที่ 2.5 ได้แก่

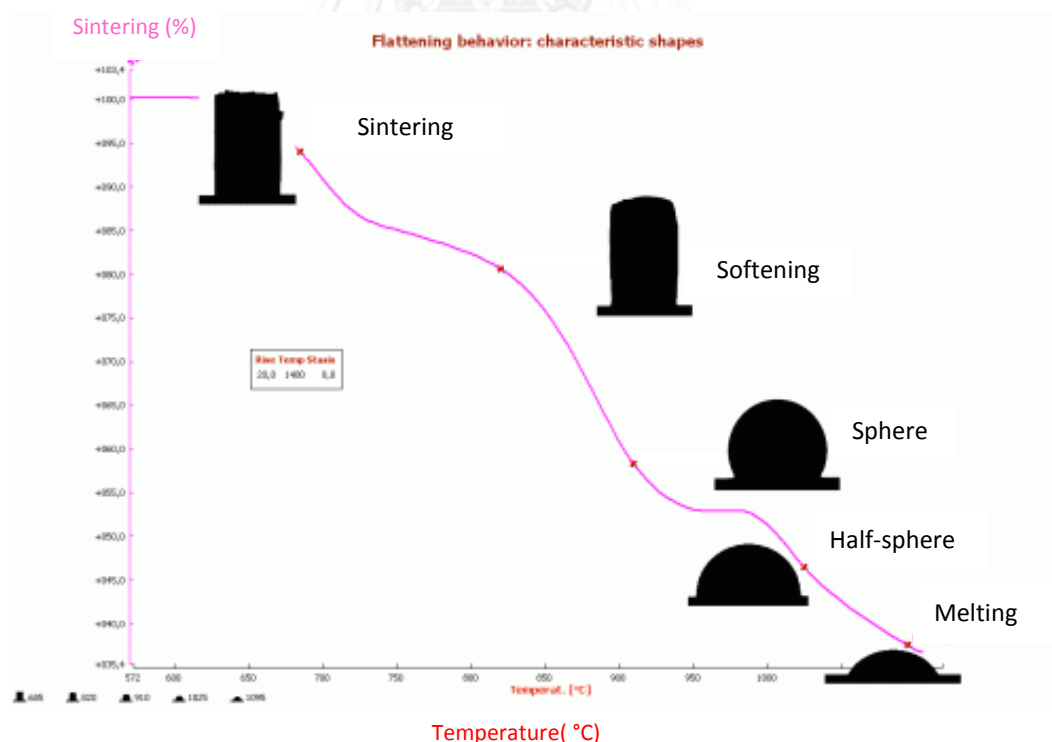
(1) อุณหภูมิการเผาผนึก (Sintering temperature) เป็นอุณหภูมิที่เคลือบเริ่มมีการหดตัว

(2) อุณหภูมิการอ่อนยวบ (Softening temperature หรือ Rounding temperature) ซึ่งเป็นจุดอุณหภูมิที่เคลือบเริ่มมีการหลอมตัว เนื่องจากความตึงผิวของเฟสของเหลว มุมของชิ้นงานเริ่มโค้งมนมากขึ้น






(3) อุณหภูมิที่ชิ้นงานเริ่มเป็นทรงกลม (Sphere temperature) เป็นอุณหภูมิที่เมื่ออุณหภูมิสูงขึ้นเคลือบจะเริ่มมีความเป็นแก้วมากขึ้น และมีการเปลี่ยนรูปทรงจากเดิมเป็นทรงลูกเต๋าไปเป็นลูกทรงกลมเนื่องจากชิ้นงานมีแรงตึงผิวสูงขึ้น แต่ชิ้นงานยังมีความสูงเท่าเดิม

(4) อุณหภูมิที่ชิ้นงานกลายเป็นครึ่งวงกลม (Half-sphere temperature) คือเมื่ออุณหภูมิสูงขึ้นอีก เคลือบเริ่มหลอมตัวมากขึ้นจนลูกทรงกลมเริ่มเกิดการแผ่เป็นรูปครึ่งวงกลม ความสูงของชิ้นงานลดลงเหลือเพียง 1/2 เท่าของความสูงตั้งต้นและมีมุมสัมผัสเท่ากับ 90 องศา

(5) อุณหภูมิในการหลอมละลาย (Melting temperature) เมื่อเคลือบได้รับความร้อนจนถึงจุดหลอมเหลวก็จะเริ่มไหลตัวจนกระทั่งแบนราบไปกับแผ่นรอง ความสูงของชิ้นงานลดลงเหลือเพียง 1/3 เท่าของความสูงตั้งต้น ชิ้นงานมีการหลอมตัวอย่างสมบูรณ์ ซึ่งเป็นจุดสุดท้ายที่เครื่องทำการบันทึก



รูปที่ 2.4 การเปลี่ยนแปลงรูปทรงของชิ้นงานตามอุณหภูมิที่บันทึกได้จากกล้อง heating microscope

Sintering		Rounding		Sphere		Half-sphere		Melting	
									
804°C 72°	94.89%	892°C 112°	81.82%	1086°C 65°	53.98%	1162°C 100°	42.33%	1242°C 117°	32.95%

รูปที่ 2.5 ตัวอย่างลักษณะการบั่นที่รูปทรงของชิ้นงานและอุณหภูมิที่ได้จากการวิเคราะห์จากเครื่อง heating microscope[14]

2.4.3 สัมประสิทธิ์การขยายตัวทางความร้อน (Coefficient of thermal expansion)

สัมประสิทธิ์การขยายตัวทางความร้อนของเคลือบ คือ ค่าความแตกต่างของความยาวหรือปริมาตรของชิ้นงานที่เปลี่ยนแปลงไปเมื่ออุณหภูมิเปลี่ยนแปลงไป 1 องศาเซลเซียส เมื่อเทียบกับความยาวหรือปริมาตรเริ่มต้น โดยสามารถวิเคราะห์ได้ด้วยเครื่องไดลาโตมิเตอร์ (Dilatometer)[18] การวิเคราะห์สัมประสิทธิ์การขยายตัวทางความร้อนของเคลือบและเนื้อดินมีความสำคัญมาก โดยเคลือบและเนื้อดินนั้นควรมีสัมประสิทธิ์การขยายตัวทางความร้อนที่ใกล้เคียงกัน เนื่องจากหากเคลือบมีการขยายตัวทางความร้อนต่ำกว่าเนื้อดินนั้น เคลือบจะอยู่ในสภาพแรงอัด (Compression) สูงเกินไป ซึ่งส่งผลให้เกิดการกะเทาะออกของเคลือบ หรือที่เรียกว่าเคลือบร่อน (Peeling) แต่หากเคลือบนั้นมีการขยายตัวทางความร้อนสูงกว่าเนื้อดิน เคลือบจะอยู่ในสภาพแรงดึง (Tension) ซึ่งจะส่งผลให้เคลือบอาจเกิดการร้าวได้ในอนาคต ด้วยเหตุผลที่ดังกล่าวมานี้จึงควรมีการปรับให้เคลือบและเนื้อดินมีสัมประสิทธิ์การขยายตัวทางความร้อนที่เหมาะสมกัน โดยทั่วไปเพื่อให้ได้ผลิตภัณฑ์ที่มีผิวเคลือบที่สวยงามนั้น จะมีการปรับให้เคลือบมีค่าสัมประสิทธิ์การขยายตัวทางความร้อนที่ต่ำกว่าเคลือบเล็กน้อย เพื่อให้เคลือบอยู่ในสภาพแรงอัด เนื่องจากมีความแข็งแรงสูงกว่า และช่วยลดปัญหาที่เกิดจากการขยายตัวของเนื้อดินเมื่อมีการดูดความชื้นย้อนกลับได้

2.4.4 ความต้านทานต่อสารเคมี (Chemical resistance)

วัสดุเซรามิก เช่น วัสดุเซรามิกแบบดั้งเดิม เป็นวัสดุประเภทออกไซด์ และไม่เกิดปฏิกิริยาทางเคมีกับออกซิเจนในอากาศเพราะเป็นออกไซด์อยู่แล้ว วัสดุเซรามิกสามารถทนทานต่อความชื้นและสภาพอากาศต่างๆ ทนทานต่อกรด เกลือ และด่างได้เกือบทุกชนิดได้ดีกว่าวัสดุโลหะและพอลิเมอร์ ระดับของการกัดกร่อนของสารเคมีขึ้นอยู่กับสมบัติของพื้นผิว และความแข็งแรงของโครงสร้างแก้ว รวมทั้งความเข้มข้นของสารเคมี เวลา และอุณหภูมิ

สำหรับวิธีการทดสอบความทนทานต่อสารเคมีของเคลือบสามารถทำได้ตามมาตรฐาน มอก. 2398 เล่ม 13-2553[19] มีวิธีการทดสอบดังนี้ ทำการวางวัสดุยารอยต่อ เช่น ดินน้ำมัน ที่ขอบกระบอกแก้ว หลังจากนั้นคว่ำกระบอกแก้วลงบนผิวเคลือบ และทำการกดวัสดุยารอยต่อรอบๆ

กระบอกแก้วให้แน่น เทสารละลายทดสอบ ได้แก่ สารละลายกรดไฮโดรคลอริก (HCl) ที่มีความเข้มข้น 3 เปอร์เซ็นต์ และสารละลายโพแทสเซียมไฮดรอกไซด์ (KOH) ที่มีความเข้มข้น 3 เปอร์เซ็นต์ โดยให้ระดับความสูงของสารละลาย 20 ± 1 มิลลิเมตร ทำการแช่ชุดทดสอบเป็นเวลา 4 วัน โดยทำการเขย่าชุดทดสอบเบาๆ วันละ 1 ครั้ง มีการควบคุมความสูงของสารละลายให้คงที่ เปลี่ยนสารละลายใหม่ทุก 2 วัน หลังจากนั้นอีก 2 วัน ให้ทำการนำกระบอกแก้วออก และทำความสะอาดผิวเคลือบด้วยตัวทำละลายที่เหมาะสมเพื่อล้างวัสดุยารอยต่อ หลังจากนั้นจึงทำการจำแนกระดับความทนทานต่อสารเคมี

การจำแนกระดับความทนทานต่อสารเคมี

(1) ทัวไป

ทำให้ผิวชั้นทดสอบแห้งก่อนทำการทดสอบด้วยดินสอ ใช้ดินสอขีดเส้น 2-3 เส้น บนผิวเคลือบบริเวณที่ไม่ถูกทดสอบ แล้วขีดรอยดินสอด้วยผ้าเปียก ถ้าไม่สามารถขีดรอยดินสอได้ แสดงว่าไม่สามารถจำแนกตามรูปที่ 2.6 ได้ ให้รายงานว่าไม่สามารถจำแนกกระดบแบบปกติได้ และต้องใช้วิธีการจำแนกกระดบตามข้อ (3)

(2) การจำแนกแบบปกติ

สำหรับการเบี่ยงที่ผ่านการทดสอบด้วยดินสอ ให้ทำการทดสอบต่อตาม ข้อ 2.1 ข้อ 2.2 และข้อ 2.3 แล้วจำแนกกระดบความทนทานสารเคมีตามรูปที่ 2.6

การวิเคราะห์ระดับความทนทานต่อสารเคมี

วิเคราะห์ผิวหน้าของชั้นทดสอบที่ระยะห่าง 25 เซนติเมตร ในแสงธรรมชาติหรือแสงจากหลอดไฟที่ความสว่างประมาณ 30 ลักซ์ หลีกเลียงแสงแดดโดยตรง ให้สังเกตความแตกต่างเปรียบเทียบกับผิวหน้าที่ไม่ถูกทดสอบ เช่นการสะท้อนแสงและความมันเงาที่เปลี่ยนไป ถ้าไม่พบความแตกต่างให้ทำการทดสอบด้วยดินสอตามข้อ 2.1 แต่ถ้าพบความแตกต่างให้ทำการทดสอบการสะท้อนแสงตามข้อ 2.2

2.1 การทดสอบด้วยดินสอ

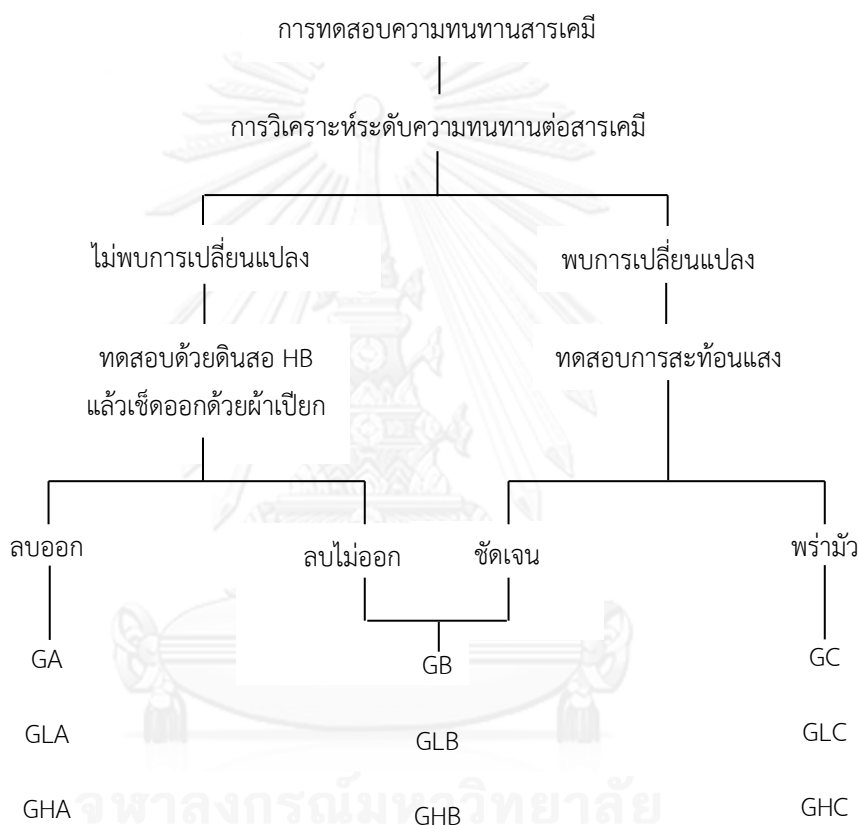
ใช้ดินสอ HB ขีดเส้น 2-3 เส้น บนผิวเคลือบบริเวณที่ถูกทดสอบและบริเวณที่ไม่ถูกทดสอบ แล้วขีดรอยขีดด้วยผ้าเปียก ถ้าสามารถขีดรอยดินสอออกจากผิวเคลือบบริเวณที่ถูกทดสอบได้ จัดเป็น A แต่ถ้าไม่สามารถขีดรอยดินสอได้ จัดเป็นระดับ B

2.2 การทดสอบการสะท้อนแสง

ถือกระเบื้องให้รูปของหลอดไฟสะท้อนลงบนผิวหน้าที่ไม่ถูกทดสอบ โดยมุมตกกระทบของแสงประมาณ 45 องศา ระยะห่างระหว่างกระเบื้องและหลอดไฟ 350 ± 100 มิลลิเมตร พิจารณาความคมชัดของการสะท้อนแสงโดยไม่ดูความสว่างของผิวกระเบื้อง ตำแหน่งของกระเบื้องต้องให้รูปหลอดไฟตกลงบนผิวหน้าทั้งส่วนที่ถูกทดสอบและไม่ถูกทดสอบพร้อมกัน แล้วพิจารณาความคมชัดในส่วนของกระเบื้องที่ถูกทดสอบ ถ้าการสะท้อนแสงชัดเจนเหมือนเดิม จัดเป็นระดับ B ถ้าการสะท้อนแสงพร่ามัว จัดเป็นระดับ C

(3) การจำแนกโดยการวิเคราะห์แบบอื่น
 กระเบื้องทดสอบที่ไม่ผ่านการทดสอบด้วยดินสอ ซึ่งรายงานว่าไม่สามารถใช้การจำแนกปกติได้ ให้จำแนกระดับความทนทานสารเคมี ดังนี้

- ระดับ GLA(V) : ไม่พบการเปลี่ยนแปลง
- ระดับ GLB(V) : พบการเปลี่ยนแปลงที่ผิวหน้าอย่างชัดเจน
- ระดับ GLC(V) : ผิวเคลือบบางส่วนหรือทั้งหมดถูกทำลาย



* หมายเหตุ: G หมายถึง เคลือบเซรามิก (glaze)

รูปที่ 2.6 การจำแนกระดับความทนทานสารเคมีของเคลือบเซรามิก[19]

2.4.5 ความต้านทานต่อการขูดขีด (Abrasion resistance)

ความทนทานต่อการขูดขีดของเคลือบเซรามิกบนผิวกระเบื้องประยุคต์มาจากการวัดความทนทานต่อการขัดสีของสารเคลือบผิวบนพื้นผิวระนาบ สำหรับการทดสอบการปกปิดผิวด้วยสี น้ำยาเคลือบผิว และสารเคลือบผิวที่ประกอบด้วยสารเคมีอินทรีย์ ทำการทดสอบตามมาตรฐาน ASTM D 968-93 [20] ใช้วิธีการทดสอบแบบ sand falling ทำได้โดยการนำแผ่นกระเบื้องเคลือบวางตั้งทำมุม 45 องศา กับพื้น และทำการปล่อยทรายซิลิคอนคาร์ไบด์ (SiC) ที่มีขนาดอนุภาค 80 เมช ให้ไหลลง

มากระแทกกับตัวอย่าง โดยมีการกำหนดปริมาตรของทรายที่ใช้ในการทดสอบแต่ละครั้งประมาณ 2000 ± 10 มิลลิลิตร อัตราการไหลของทรายอยู่ในช่วง 21 -23.5 วินาที ตัวอย่างกระเบื้องเคลือบจะถูกชั่งน้ำหนักก่อนและหลังทำการทดสอบเพื่อดูน้ำหนักที่หายไป การวิเคราะห์ความต้านทานต่อการขีดขีดของเคลือบสามารถรู้ได้จากน้ำหนักของเคลือบที่หายไป หากเคลือบมีน้ำหนักที่หายไปหลังทำการทดสอบในปริมาณน้อย แสดงว่าเคลือบสามารถทนทานต่อการขีดขีดได้ดี



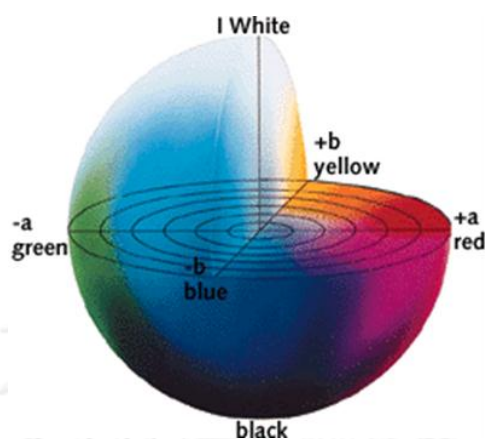
รูปที่ 2.7 เครื่องทดสอบความทนทานต่อการขีดสี ตามมาตรฐาน ASTM D 968-93 [21]

2.4.6 สี (Colour)

สีเป็นสมบัติทางกายภาพที่สามารถมองเห็นได้ด้วยตาเปล่า แต่สำหรับสีของเคลือบเซรามิกนั้นสามารถทำการวัดค่าสีได้ด้วยเครื่อง spectrophotometer เป็นการวัดค่าสีในช่วงความยาวคลื่น visible คือช่วงสเปกตรัมตั้งแต่ 380 - 750 นาโนเมตร ส่วนประกอบสำคัญของเครื่องวัดสีคือแหล่งกำเนิดแสงที่ใส่หลอดทำจากทังสแตน และมีการทำให้กลายเป็นลำสเปกตรัมด้วยปริซึม และควบคุมการสะท้อนแสงกลับที่ความยาวคลื่นต่างๆ ด้วยสลิต (slit) จากนั้นจึงวัดและคำนวณค่าแสงที่สะท้อนกลับจากผิวชิ้นงานที่ทำการทดสอบ โดยค่าที่ได้ออกมาในรูปของค่า L^* และ b^* ดังรูปที่ 2.8 และไม่สามารถระบุถึงลักษณะของพื้นผิว เช่น ขนาด ความเงามัน หรือความขรุขระได้

สำหรับค่า L^* และ b^* นั้น แกนตั้ง L เรียกว่าแกนความขาว (Whiteness) เป็นแกนที่บอกความขาว เทา และดำโดยไม่พิจารณาถึงค่าสี (hue) แกนจะมีค่าตั้งแต่ 0 - 100 โดยที่ ค่า 0 แสดงถึงค่าความดำ และค่า 100 แสดงถึงค่าความขาว ส่วนแกน a^* และ b^* เป็นแกนที่บ่งบอกค่าสีตามพิกัดที่นอกเหนือไปจากความสว่าง เรียกว่าค่าอิมสี (Chroma หรือ Saturation) ปลายของแกน a

แบ่งเป็น $-a$ และ $+a$ โดย $-a$ บ่งบอกถึงความเขียว และ $+a$ บ่งบอกถึงความแดง และแกน b ก็แบ่งออกเป็น $-b$ และ $+b$ เช่นกัน โดย $-b$ บ่งบอกถึงค่าความเป็นสีน้ำเงิน และ $+b$ บ่งบอกถึงค่าความเหลือง



รูปที่ 2.8 จักรวาลสีและการแบ่งสีของแกนทั้งสาม[22]

2.5 ไทเทเนียมไดออกไซด์ (TiO_2)

สารประกอบไทเทเนียมไดออกไซด์ (TiO_2) เป็นออกไซด์ที่มีสมบัติคล้ายกับซิลิกา (SiO_2) คือมีฤทธิ์เป็นกรดในปฏิกิริยาทางเคมีที่อุณหภูมิสูง ไทเทเนียมไดออกไซด์ที่อยู่ในธรรมชาตินั้นอยู่ในรูปของอะนาเทส (Anatase) และรูไทล์ (Rutile) รูไทล์เป็นเฟสที่เสถียรและมีค่าดัชนีการหักเหของแสงเท่ากับ 2.76 ซึ่งสูงกว่าอะนาเทสที่มีค่าดัชนีหักเหของแสงเท่ากับ 2.52 อะนาเทสดูดกลืนสีม่วงได้มากกว่าสีแดง และไม่เสถียรที่อุณหภูมิสูงกว่า 900 องศาเซลเซียส โดยจะกลายเป็นรูไทล์ที่อุณหภูมิสูง ไทเทเนียมไดออกไซด์มีการใช้อย่างกว้างขวางเพื่อเป็นวัตถุดิบสำหรับเคลือบพอร์ซเลน แต่ไทเทเนียมไดออกไซด์ไม่ได้ทำให้เกิดเคลือบที่มีสีขาว โดยสีเคลือบที่ได้จะมีสีตั้งแต่สีฟ้าไปจนถึงสีเหลือง ทั้งนี้ขึ้นอยู่กับสัดส่วนของรูไทล์ต่ออะนาเทสในการเผาเคลือบ สีเหลืองในเคลือบมีความสัมพันธ์กับอนุภาครูไทล์ขนาดใหญ่ ในขณะที่สีฟ้าในเคลือบเกี่ยวข้องกับอนุภาคขนาดเล็กของอะนาเทส ดังนั้นการใส่ไทเทเนียมไดออกไซด์ลงไปเคลือบจะช่วยให้สีในเคลือบเปลี่ยนไปแต่ไม่นิยมใช้เป็นตัวให้กำเนิดสีโดยตรง[23,24,25]

ไทเทเนียมไดออกไซด์จัดว่าเป็นตัวทึบแสง (Opacifier) ที่มีประสิทธิภาพดีตัวหนึ่ง ความทึบแสงของการใช้ไทเทเนียมไดออกไซด์เกิดจากการเติบโตของผลึก หากเคลือบสามารถไหลตัวได้ดีผลึกก็จะเติบโตได้ดีด้วย ปัจจัยที่ส่งผลต่อความทึบแสงของเคลือบที่มีไทเทเนียมไดออกไซด์เป็นองค์ประกอบมีหลายประการ ได้แก่ ขนาดของผลึก ปริมาณของไทเทเนียมไดออกไซด์ในส่วนผสมเคลือบ เวลาและอุณหภูมิที่ใช้ในการเผาเคลือบ และชนิดของโครงสร้างผลึกที่เกิดในเคลือบ

ความสามารถในการทึบแสงของไทเทเนียมไดออกไซด์ที่มีรูปลูกไม่เหมือนกันจะมีความแตกต่างกัน [9,26]

2.6 แคลเซียมออกไซด์ (CaO)

ในเคลือบเซรามิกเกือบทุกชนิดจะมีการใส่แคลเซียมออกไซด์ ซึ่งเป็นตัวที่ทำให้เคลือบที่สุกตัวดีแล้วมีความแข็งแรงสูงขึ้น ทนต่อการขีดขีด เพิ่มความต้านทานต่อการผุกร่อนเนื่องจากสิ่งแวดล้อม เมื่อใส่ลงในเคลือบในปริมาณที่เหมาะสม แคลเซียมออกไซด์จะเป็นตัวลดจุดสุกตัวของเคลือบ แต่ถ้าใส่ในปริมาณที่มากเกินไปส่งผลให้จุดสุกตัวของเคลือบสูงขึ้น นั่นคือมีความทนไฟมากขึ้น และเกิดการตกผลึกเล็กๆ ในเคลือบ ทำให้เกิดเคลือบด้าน[9]

2.7 อะลูมินา (Al₂O₃)

อะลูมินา (Alumina) [27,28,29,30] หรืออะลูมิเนียมออกไซด์ (Al₂O₃) ที่พบตามธรรมชาติ จะอยู่ในรูปคอร์ันดัม (α -Al₂O₃) มีความถ่วงจำเพาะประมาณ 3.9 - 4.1 และมีความแข็ง 9 โมส์สเกล มีความทนทานต่อการขีดขีด มีจุดหลอมเหลวอยู่ที่ประมาณ 2050 องศาเซลเซียส มีค่าสัมประสิทธิ์การขยายตัวทางความร้อนอยู่ในช่วง 7.5 - 8.5 × 10⁻⁶ ต่อองศาเซลเซียส และมีค่าการทนทานต่อการเปลี่ยนแปลงอุณหภูมิอย่างฉับพลันต่ำ ทนทานต่อการกัดกร่อนของกรดและด่าง อะลูมินามีความสำคัญมากในกระบวนการผลิตวัสดุเซรามิก เช่น วัสดุทนไฟ เบ้าหลอมแก้ว อิฐทนไฟ และแผ่นรองเผา ใช้เป็นวัตถุดิบในเคลือบเซรามิก และวัสดุอื่นๆ อีกมากมาย

ในเคลือบเซรามิกอะลูมินาเป็นตัวทำหน้าที่ในการควบคุมการไหลตัวของเคลือบที่หลอมเหลวให้เป็นไปอย่างคงที่และสม่ำเสมอที่อุณหภูมิสุกตัวของเคลือบ ไม่เช่นนั้นเคลือบจะไม่สามารถคลุมผิวผลิตภัณฑ์ได้ทั่วถึง หรืออาจจะไหลไปกองรวมกันบริเวณผิวที่ต่ำๆ หมด ปริมาณของอะลูมินาในเคลือบมีผลต่อความทนไฟ จึงส่งผลถึงจุดสุกตัวของเคลือบด้วย

2.8 งานวิจัยที่เกี่ยวข้อง

R.C. da Silva และคณะ [31] ได้ศึกษาการเตรียมเคลือบที่มีการใช้กากของเสียที่ได้จากอุตสาหกรรมที่แตกต่างกันเป็นวัตถุดิบ โดยกากของเสียที่ได้นำมาศึกษา คือ กระจกแผ่น (Float glass) หินแกรนิต (Granite) และแผ่นหินแคลเซียม (Lime shale) จากอุตสาหกรรมการผลิตหินน้ำมัน กากของเสียทั้ง 3 ชนิด มีซิลิกาเป็นองค์ประกอบมากกว่า 30 เปอร์เซ็นต์ และมีแหล่งกำเนิดของออกไซด์ที่ทำให้เกิดโครงสร้างแก้ว เช่น โซเดียมออกไซด์ (Na₂O) โพแทสเซียมออกไซด์ (K₂O) และแคลเซียมออกไซด์ (CaO) เป็นต้น งานวิจัยนี้มีการใช้กากของเสียดังกล่าวมาใช้แทนวัตถุดิบที่ได้จากธรรมชาติ โดยมีการแทนลงไปในส่วนเคลือบในสัดส่วน 50 เปอร์เซ็นต์โดยน้ำหนักขึ้นไป คำนวณเคลือบโดยใช้วิธีการคำนวณอย่างง่ายและทำการเคลือบด้วยวิธีการพ่นเคลือบ เเผาเคลือบที่อุณหภูมิ 1050 และ 1080 องศาเซลเซียส ตามลำดับ หลังจากนั้นทำการทดสอบสมบัติของเคลือบ ได้แก่ สัมประสิทธิ์การขยายตัวทางความร้อน ความทนทานต่อสารเคมี สมบัติเชิงแสง และความแข็ง

พบว่าเคลือบที่ได้จากการใช้กากของเสียเป็นวัตถุดิบนั้นมีสมบัติใกล้เคียงกับเคลือบที่มีการใช้วัตถุดิบที่ได้จากธรรมชาติ

N. Yalçın และ V. Sevinç [32] ได้ศึกษาการใช้กากของเสียบอกไซต์ (Bauxite) ซึ่งเป็นผลพลอยได้ที่ได้จากการสกัดแร่บอกไซต์เพื่อผลิตอะลูมินา (Al_2O_3) มาใช้เป็นวัตถุดิบในเคลือบเซรามิก กากของเสียบอกไซต์มีองค์ประกอบหลัก คือ ฮีมาไทต์และโซเดียมอะลูมิเนียมซิลิเกตไฮดรต โดยได้ศึกษาการใช้กากของเสียบอกไซต์เป็นวัตถุดิบในการผลิตเคลือบพอร์ซเลน (Porcelain) เคลือบสุขภัณฑ์ (Sanitary ware) เคลือบกระเบื้อง (Tile) และเคลือบสำหรับลูกถ้วยไฟฟ้า (Electrical porcelain) ทำการเผาเคลือบที่อุณหภูมิ 1000 – 1250 องศาเซลเซียส สมบัติของผิวเคลือบที่ทำการทดสอบ ได้แก่ ความทนทานต่อสารเคมี และความทนทานต่อการขีดข่วน พบว่าสามารถใช้กากของเสียบอกไซต์เป็นวัตถุดิบในส่วนผสมของเคลือบได้สูงสุดในสัดส่วนถึง 37 เปอร์เซ็นต์ขึ้นไปโดยน้ำหนัก สีของเคลือบที่ได้ คือ สีครีม สีน้ำตาลอ่อน สีเหลือง สีเหลืองเข้มออกน้ำตาล สีเขียว สีแดง สีน้ำตาล และสีดำ โดยผิวของเคลือบที่ได้นั้นมีความมันวาว ซึ่งทำให้เห็นว่ามีความเป็นไปได้ในการใช้กากของเสียบอกไซต์เป็นวัตถุดิบในการผลิตสีเคลือบและเคลือบเซรามิก

R.A. Kamarudin และ M. Shahir Zakaria [33] ได้ประยุกต์ใช้ยิปซัมแดง (Red gypsum) ซึ่งเป็นผลพลอยได้ที่ได้จากการสกัดแร่อิลเมไนต์ (Ilmenite) เพื่อผลิตไทเทเนียมไดออกไซด์ (TiO_2) มาใช้เป็นวัตถุดิบในการผลิตเคลือบ โดยยิปซัมแดงมีองค์ประกอบหลัก คือ แคลเซียมซัลเฟตไดไฮดรต ($CaSO_4 \cdot 2H_2O$) 70 เปอร์เซ็นต์โดยน้ำหนัก ทำการเผาเคลือบที่อุณหภูมิ 1200 องศาเซลเซียส งานวิจัยนี้มีการนำกากของเสียจากภาคอุตสาหกรรมต่างๆ มาใช้เป็นวัตถุดิบในเคลือบเซรามิก เพื่อเป็นการลดการใช้วัตถุดิบจากธรรมชาติ ช่วยลดสาเหตุของการเกิดมลพิษ และเพื่อช่วยเพิ่มมูลค่าของกากของเสีย

B. Karasu และคณะ [34] ได้ศึกษาผลของการใช้กากของเสียแอลไบท์ (Albite) ที่ได้จากอุตสาหกรรมต่างๆ ต่อสมบัติและโครงสร้างทางจุลภาคของเคลือบ กากของเสียแอลไบท์มีองค์ประกอบหลัก คือ ไทเทเนียมไดออกไซด์ โดยมีการใช้กากของเสียแอลไบท์เป็นวัตถุดิบเคลือบเพื่อทดแทนโซดาเฟลด์สปาร์ในสูตรเคลือบมาตรฐาน และทำการเผาเคลือบที่อุณหภูมิ 1200 - 1280 องศาเซลเซียส ในบรรยากาศออกซิเดชัน วิเคราะห์เฟสของผลึกในเนื้อเคลือบด้วยวิธี X-ray Diffractometry (XRD) และวิธี Scanning Electron Microscopy (SEM) จากงานวิจัยนี้พบว่า กากของเสียแอลไบท์มีประสิทธิภาพในการใช้เป็นวัตถุดิบทดแทนเฟลด์สปาร์ในเคลือบผลึกพอร์ซเลน โดยทำให้อุณหภูมิของการเกิดผลึกในเคลือบลดลงจาก 1280 องศาเซลเซียส เป็น 1250 องศาเซลเซียส คณะผู้วิจัยทีมเดียวกันนี้ยังได้ศึกษาการประยุกต์ใช้กากของเสียบอแรกซ์ซึ่งเป็นกากของเสียที่ได้จากอุตสาหกรรมการผลิตโบรอนมาใช้ในเคลือบเซรามิกสำหรับผลิตภัณฑ์เผาครั้งเดียว [35] โดยมีการเตรียมฟrittจากกากของเสียบอแรกซ์ หลังจากนั้นมีการเตรียมเคลือบมาตรฐานและเคลือบฟritt ที่มีการใช้ฟrittที่ได้จากการใช้กากของเสียบอแรกซ์เป็นวัตถุดิบ และทำการเผาเคลือบที่อุณหภูมิ 1200 องศาเซลเซียส ผลิตภัณฑ์สุดท้ายที่ได้ถูกนำมาทดสอบสมบัติมาตรฐาน ได้แก่ ความแข็ง ความทนทานต่อการเสียดสี สัมประสิทธิ์การขยายตัวทางความร้อน ความมันวาว และค่าสีของเคลือบ และได้ทำการศึกษาโครงสร้างทางจุลภาคและการเปลี่ยนแปลงเฟสของเคลือบหลังเผา ซึ่งพบว่า

เคลือบฟritที่มีการใช้กากของเสียบอแรกซ์เป็นวัตถุดิบนั้นได้เคลือบที่มีผิวเคลือบเงามาก มีความคงทนต่อการเสียดสีที่สูงและไม่มีรูพรุนอยู่ในผิวเคลือบ ทำให้มีความเป็นไปได้ในการใช้กากของเสียบอแรกซ์เป็นวัตถุดิบในเคลือบสำหรับผลิตภัณฑ์เคลือบเผาครั้งเดียวได้

สิรินาถ วรณคล้ำ และโสวรรณ มนัสกิจสำราญ [36] ศึกษาความเป็นไปได้ในการนำฝุ่นเหล็กที่ได้จากอุตสาหกรรมการรีไซเคิลเหล็กกล้าด้วยเตาหลอมอาร์คไฟฟ้ามาใช้เป็นวัตถุดิบในเคลือบเซรามิกที่มีซิงก์ออกไซด์ และเหล็กออกไซด์ในปริมาณมาก โดยฝุ่นเหล็กที่นำมาศึกษามีลักษณะเป็นผงละเอียดที่ประกอบด้วยออกไซด์หลัก ได้แก่ ซิงก์เฟอไรต์ ($ZnFe_2O_4$) และมีโลหะหนัก ได้แก่ ตะกั่ว โครเมียม และปรอท ปนอยู่ในปริมาณเล็กน้อย มีการศึกษาสมบัติของฝุ่นเหล็กเบื้องต้น ได้แก่ องค์ประกอบทางเคมี การหลอมตัวของฝุ่นเหล็กในเนื้อแก้วที่สัดส่วนและอุณหภูมิเผาเคลือบต่างๆ ได้มีการทดแทนวัตถุดิบปกติในเคลือบด้วยฝุ่นเหล็ก ทำการเผาเคลือบที่อุณหภูมิ 1230 องศาเซลเซียส และทดสอบสมบัติต่างๆ ของตัวเคลือบหลังเผา ลักษณะของเคลือบที่ปรากฏ ได้แก่ สี ความมันวาว และตำหนิ เช่น รูพรุนบนผิวเคลือบ และรอยแตก พร้อมทั้งทำการทดสอบความเป็นพิษของเคลือบด้วยวิธีการละลายในสารละลายกรดอ่อน พบว่าเคลือบที่ได้จากการใช้ฝุ่นเหล็กเป็นวัตถุดิบมีลักษณะใกล้เคียงกับเคลือบที่มีการใช้วัตถุดิบปกติ เคลือบที่ได้มีสีน้ำเงินเข้ม มีผลึกที่ผิวเล็กน้อย และไม่มีสารอันตราย เนื้อแก้วไม่มีการละลายของโลหะหนักออกมาเกินกว่ามาตรฐานที่กำหนด แสดงให้เห็นว่าฝุ่นเหล็กสามารถนำมาใช้ทดแทนวัตถุดิบปกติในเคลือบเซรามิกได้

บัวณา เกตุบุญเรือง [37] ได้ศึกษาการใช้ขี้เถ้าเตาเผาขยะจากจังหวัดภูเก็ตและขวดแก้วมาใช้เป็นวัตถุดิบในการเตรียมเคลือบเซรามิกอุณหภูมิต่ำ เพื่อช่วยลดอุณหภูมิในการเผาเคลือบ โดยขี้เถ้าเตาเผาขยะจากจังหวัดภูเก็ตมีแคลเซียมออกไซด์เป็นองค์ประกอบหลัก และมีตัวช่วยหลอมอื่นด้วย เช่น โซเดียมออกไซด์ และโพแทสเซียมออกไซด์ ส่วนขวดแก้วนั้นมีซิลิกาเป็นองค์ประกอบหลัก ทำการเตรียมเคลือบและเคลือบลงบนเนื้อดินสโตนแวร์และเนื้อดินอุณหภูมิต่ำ และเผาเคลือบที่อุณหภูมิ 950 และ 1000 องศาเซลเซียส หลังจากนั้นทำการวิเคราะห์สมบัติของเคลือบหลังเผา ได้แก่ การหลอมตัว การไหลตัว สมบัติการขยายตัวทางความร้อน องค์ประกอบทางเฟส และความทนทานต่อการเสียดสี จากงานวิจัยนี้พบว่าหากมีการใช้ปริมาณบอแรกซ์ในสูตรเคลือบ 20 เปอร์เซ็นต์โดยน้ำหนักขึ้นไป ก็จะสามารถใช้ขี้เถ้าเตาเผาขยะจากจังหวัดภูเก็ตเป็นวัตถุดิบในเคลือบได้สูงถึง 30 เปอร์เซ็นต์โดยน้ำหนักขึ้นไป โดยเคลือบที่ได้มีความสุกตัวและมันเงาสวยงาม

E. Karamanova และ A. Karamanov [38] ได้ศึกษาความเป็นไปได้ในการแทนที่โซเดียมเฟลด์สปาร์ในการเตรียมเคลือบสำหรับกระเบื้องเนื้อแดงไม่เคลือบ (Terracotta tile) ด้วยฟritที่ได้จากขี้เถ้าแกลบและเศษแก้ว ซึ่งเป็นผลพลอยได้จากกระบวนการผลิตกระเบื้องสโตนแวร์ โดยได้ทำการเตรียมกระเบื้องทนไฟ ที่มีการใช้ฟritที่ได้จากขี้เถ้าแกลบและเศษแก้วเป็นวัตถุดิบทดแทนโซเดียมเฟลด์สปาร์ในกระบวนการผลิต 2 แบบ คือ 1) ทำการแทนที่ 20 เปอร์เซ็นต์โดยน้ำหนัก ของโซเดียมเฟลด์สปาร์ด้วยฟrit และ 2) ทำการแทนที่โซเดียมเฟลด์สปาร์ทั้งหมดด้วยฟrit 35 เปอร์เซ็นต์โดยน้ำหนัก และกากทนไฟ 10 เปอร์เซ็นต์โดยน้ำหนัก และเปรียบเทียบสมบัติของกระเบื้องเคลือบที่ได้กับกระเบื้องเคลือบมาตรฐานที่ผลิตจากโรงงานในประเทศบัลแกเรีย ซึ่งมีการใส่โซเดียมเฟลด์สปาร์ 45 เปอร์เซ็นต์โดยน้ำหนัก หลังจากนั้นได้วิเคราะห์สมบัติ ได้แก่ การ

เปลี่ยนแปลงของปฏิกิริยาที่เกิดขึ้นที่อุณหภูมิต่างๆ ด้วย DTA-TG วิเคราะห์องค์ประกอบทางเฟส ด้วย X-ray diffraction และวิเคราะห์ความต้านทานการดัดโค้ง (Bending strength) ด้วยวิธี three-point bending method จากงานวิจัยนี้พบว่าการใช้ฟritที่ได้จากขี้เถ้าแกลบและเศษแก้ว เป็นวัตถุดิบทดแทนโซเดียมเฟลด์สปาร์นั้นทำให้อุณหภูมิและเวลาในการเผาผลาญ และสมบัติทางด้าน ความต้านทานการดัดโค้งดีขึ้น

B. Karasu และคณะ [39] ได้ศึกษาการประยุกต์ใช้กากของเสียบอแรกซ์เข้มข้นเพื่อทดแทนกรดบอริกในการเตรียมฟritเพื่อใช้ในกระบวนการผลิตเคลือบสำหรับกระเบื้องบุผนัง โดยเตรียมฟritมาตรฐานและมีการนำกากของเสียบอแรกซ์เข้มข้นทดแทนกรดบอริกในสูตรฟritมาตรฐาน และทำการเพิ่มปริมาณกากของเสียในสูตรฟrit หลังจากนั้นนำฟritที่ได้ไปเตรียมเคลือบ และทดสอบสมบัติของเคลือบฟritที่ได้ ได้แก่ ค่าสีและความสว่างโดยใช้ chromometer และความทนทานต่อสารเคมี (18% HCl และ 10% KOH) พบว่าเคลือบที่มีการใช้ฟritที่เตรียมได้จากกากของเสียในสูตรฟritมาตรฐานนั้นเคลือบที่ได้ไม่เกิดตำหนิบนผิวเคลือบ เคลือบสามารถทนทานต่อสารเคมีได้ดีในระดับ GHA และเมื่อมีการใส่กากของเสียในสูตรฟritมากขึ้น จะทำให้เกิดเคลือบด้าน เนื่องจากปริมาณของ CaO MgO Al₂O₃ และ SiO₂ ที่มีอยู่ในกากของเสียนั้นเป็นตัวที่ทำให้เกิดผลึก

S. Mestre และคณะ [40] ได้ศึกษาความเป็นไปได้ในการนำกลับมาใช้ใหม่ของซิงก์ออกไซด์ที่ได้จากกากของเสีย มาใช้เป็นวัตถุดิบทดแทนซิงก์ออกไซด์ปกติในการเตรียมฟrit หลังจากนั้นได้ทำการวิเคราะห์สมบัติของฟritที่ได้ ได้แก่ องค์ประกอบทางเฟส ด้วยเทคนิค X-ray Diffractometry และพฤติกรรมทางความร้อน (Thermal behaviour) ด้วย Hot State Microscopy และ Differential Thermal Analysis หลังจากนั้นทำการเตรียมเคลือบ โดยทำการผสมฟritและดินในอัตราส่วน 100:8 โดยน้ำหนัก และวิเคราะห์สมบัติของเคลือบที่ได้ ได้แก่ ค่าสีด้วย Spectrophotometer และความมันวาว ด้วย reflectrometer จากงานวิจัยนี้พบว่าฟritที่ได้จากการใช้ซิงก์ออกไซด์ที่ได้จากกากของเสียเป็นวัตถุดิบนั้นสามารถเตรียมฟritได้ที่อุณหภูมิต่ำกว่าฟritมาตรฐาน เนื่องจากฟritที่เตรียมได้จากซิงก์ออกไซด์ที่ได้จากกากของเสียนั้นมี characteristic temperature ที่ต่ำกว่าฟritมาตรฐาน แต่สีของเคลือบที่ได้จากฟritกากจะมีค่าความสว่างของสีที่ต่ำกว่าเคลือบที่เตรียมได้จากฟritที่ใช้ซิงก์ออกไซด์ปกติ ซิงก์ออกไซด์ที่ได้จากกากของเสียนั้นสามารถใช้ทดแทนซิงก์ออกไซด์ปกติในการเตรียมฟritได้ งานวิจัยเหล่านี้แสดงให้เห็นว่ากากของเสียจากภาคอุตสาหกรรมต่างๆ สามารถนำมาใช้ทดแทนวัตถุดิบในเคลือบเซรามิกและเคลือบฟritได้ในระดับหนึ่ง งานวิจัยนี้จึงเป็นการนำกากของเสียที่ได้จากกระบวนการผลิตพอลิเอทิลีนความหนาแน่นสูงมาใช้เป็นวัตถุดิบเคลือบเซรามิก และเคลือบ ฟrit ตลอดจนศึกษาวิธีการเตรียมกากของเสียและปรับปรุงส่วนผสมของเคลือบให้เหมาะสมกับการใช้งานในงานเคลือบเซรามิก

บทที่ 3

วิธีดำเนินงานวิจัย

ในบทนี้จะกล่าวถึงวัตถุดิบ สารเคมีและอุปกรณ์ที่ใช้ในการวิจัย รวมถึงขั้นตอนการทดลอง และการวิเคราะห์ทดสอบสมบัติต่างๆ

3.1 วัตถุดิบ สารเคมีและอุปกรณ์ที่ใช้ในการทดลอง

3.1.1 วัตถุดิบและสารเคมี

- กากของเสีย (Waste, SCG Chemicals Co., Ltd.)
- กระเบื้องดิน (Green tile, COTTO Co.,Ltd)
- โพลแทสเซียมเฟลด์สปาร์ ($K_2O \cdot Al_2O_3 \cdot 6SiO_2$, Sibelco Minerals (Thailand) Co.,Ltd.)
- โดโลไมต์ ($MgCO_3 \cdot CaCO_3$, Sibelco Minerals (Thailand) Co., Ltd.)
- หินปูน ($CaCO_3$, Sibelco Minerals (Thailand) Co., Ltd.)
- ซิลิกา (SiO_2 , Sibelco Minerals (Thailand) Co., Ltd.)
- ซิงก์ออกไซด์ (ZnO , Union Chemical 1986 Co., Ltd.)
- เซอร์โคเนียมซิลิเกต ($ZrSiO_4$, Union Chemical 1986 Co., Ltd.)
- ไทเทเนียมไดออกไซด์ (TiO_2 (rutile), Union Chemical 1986 Co., Ltd.)
- บอแรกซ์ (โซเดียมเตตระโบเรต) ($Na_2O \cdot 2B_2O_3 \cdot 10H_2O$, UNIVARTM)
- ดินขาวระนอง ($Al_2O_3 \cdot 2SiO_2 \cdot 2H_2O$, Sibelco Minerals (Thailand) Co., Ltd.)
- โพลแทสเซียมคาร์บอเนต (K_2CO_3 , UNILABTM)
- โซเดียมคาร์บอเนต (Na_2CO_3 , UNIVARTM)
- ทัลคัม ($3MgO \cdot 4SiO_2 \cdot H_2O$, T.C. Sathaporn Co., Ltd)
- Sodium tripolyphosphate (STTP)
- Carboxy Methyl Cellulose (CMC)
- น้ำกลั่น

3.1.2 อุปกรณ์

- เครื่องชั่งทศนิยม 2 ตำแหน่ง
- ปีกเกอร์
- ตะแกรงร่อน (Sieve) ขนาด 100 และ 325 เมช
- ถ้วยฟอ์ดคัพหมายเลข 2

- ถ้วยสแตนเลสสำหรับหาความหนาแน่น
- หม้ออบตะกั่วมินา
- ถ้วยเคลือบเซรามิก
- ตู้อบ
- เตาเผาลำดับอุณหภูมิ
- เตาเผาไฟฟ้า

3.2 ขั้นตอนการวิจัย

ในส่วนนี้ได้แบ่งออกเป็น 3 ส่วน คือ

ส่วนที่ 1 คือ การเตรียมกากของเสียและวิเคราะห์สมบัติเบื้องต้นของกากของเสีย

ส่วนที่ 2 คือ การใช้กากของเสียเป็นวัตถุดิบในเคลือบเซรามิก มีขั้นตอนการวิจัย 5 ขั้นตอน ดังนี้ 1) การกำจัดคลอรีน 2) การเลือกสูตรเคลือบมาตรฐาน 3) การใช้กากของเสียเป็นวัตถุดิบทดแทนในสูตรเคลือบมาตรฐาน และการปรับสูตรเคลือบที่มีกากของเสียเป็นวัตถุดิบทดแทน 4) การเตรียมเคลือบและการเตรียมชิ้นงาน และ 5) การทดสอบสมบัติต่างๆ ของเคลือบ

ส่วนที่ 3 คือ การใช้กากของเสียเป็นวัตถุดิบในเคลือบฟrit มีขั้นตอนการวิจัย 4 ขั้นตอน ดังนี้ 1) การเลือกสูตรฟritมาตรฐาน และการปรับสูตรฟritโดยใช้กากของเสียเป็นวัตถุดิบทดแทน 2) การเตรียมฟrit 3) การเตรียมเคลือบฟritและการเตรียมชิ้นงาน และ 4) ทดสอบสมบัติต่างๆ ของเคลือบ

3.2.1 การเตรียมกากของเสียและวิเคราะห์สมบัติเบื้องต้นของกากของเสีย

นำกากของเสียที่ได้จากกระบวนการผลิตพอลิเอทิลีนความหนาแน่นสูง มาอบให้แห้งที่อุณหภูมิ 110 องศาเซลเซียส เป็นเวลา 24 ชั่วโมง เพื่อไล่ความชื้นออกจากกากของเสีย จากนั้นบดกากของเสียด้วยโกร่งบด และร่อนผ่านตะแกรงมาตรฐานขนาด 100 เมช เพื่อให้ได้อนุภาคของกากของเสียที่มีขนาดเล็กลง ทำให้สะดวกต่อการวิเคราะห์สมบัติเบื้องต้นของกากของเสีย จากนั้นจึงนำกากของเสียไปทำการวิเคราะห์สมบัติเบื้องต้นดังนี้

3.2.1.1 การวิเคราะห์องค์ประกอบทางเคมี

เพื่อศึกษาองค์ประกอบทางเคมีของกากของเสียด้วยเทคนิค X-ray Fluorescence (XRF) ด้วยเครื่อง X-ray Fluorescence Spectrometer (Philips model PW2400)

3.2.1.2 การวิเคราะห์องค์ประกอบเฟส

เพื่อศึกษาองค์ประกอบเฟสของกากของเสียที่หลังอบให้แห้งแล้ว และผงกากของเสียที่ผ่านการเผาแคลไซน์ที่อุณหภูมิ 600 700 800 900 1000 และ 1100 องศาเซลเซียส ด้วยเทคนิค X-ray

Diffraction (XRD) ด้วยเครื่อง X-ray Diffractometer (Bruker รุ่น D8 Advanced) โดยใช้ Cu-K α radiation ด้วย Scanning speed 2.4 องศาต่อนาที ช่วง 2θ เท่ากับ 10-70 องศา

3.2.1.3 การเปลี่ยนแปลงของปฏิกิริยาและการเปลี่ยนแปลงน้ำหนักที่เกิดขึ้นตามอุณหภูมิ

เพื่อศึกษาการเปลี่ยนแปลงของปฏิกิริยาและการเปลี่ยนแปลงน้ำหนักที่เกิดขึ้นของกากของเสียที่อุณหภูมิต่างๆ ด้วยเทคนิค Thermogravimetric Analysis (TGA)

3.2.1.4 ความหนาแน่นของผงกากของเสีย

หาความหนาแน่นของผงกากของเสียโดยใช้ขวดพิคโนมิเตอร์ (Pycnometer) วิธีการทดสอบ ดังนี้

1. ออบขวดพิคโนมิเตอร์พร้อมฝาให้แห้งสนิท หลังจากนั้นชั่งน้ำหนัก โดยบันทึกน้ำหนักเป็นกรัม
2. เติมน้ำกลั่นและบันทึกอุณหภูมิเป็น T_1 (องศาเซลเซียส) ปิดฝาและชั่งน้ำหนัก บันทึกน้ำหนักเป็น W_1 (กรัม)
3. เทน้ำกลั่นทิ้ง และอบขวดให้แห้ง
4. ใส่ผงกากของเสียอบแห้งที่ผ่านการบดและร่อนผ่านตะแกรง 100 เมช และอบแห้งประมาณ 8-12 กรัม ลงในขวด หลังจากนั้นปิดฝา และชั่งน้ำหนัก บันทึกน้ำหนักเป็น W (กรัม)
5. เติมน้ำกลั่น บันทึกอุณหภูมิของน้ำกลั่นเป็น T_2 (องศาเซลเซียส) ปิดฝาและชั่งน้ำหนัก บันทึกน้ำหนักเป็น W_2 (กรัม)

หมายเหตุ : T_1 และ T_2 ควรต่างกันไม่เกิน 5 องศาเซลเซียส

6. คำนวณตามสูตร

$$\text{Density (D)} = \frac{[d_1 d_2 (W-P)]}{0.999973 [T_2 (W_1-P) - T_1 (W_2-W)]}$$

โดย ;

d_1 = ความหนาแน่นของน้ำที่อุณหภูมิ T_1 (กรัมต่อลูกบาศก์เซนติเมตร)

d_2 = ความหนาแน่นของน้ำที่อุณหภูมิ T_2 (กรัมต่อลูกบาศก์เซนติเมตร)

P = น้ำหนักของขวด + ฝาปิด (กรัม)

W = น้ำหนักของขวด + ฝาปิด + ตัวอย่าง (กรัม)

W_1 = น้ำหนักของขวด + ฝาปิด + น้ำกลั่น (กรัม)

W_2 = น้ำหนักของขวด + ฝาปิด + ตัวอย่าง + น้ำกลั่น (กรัม)

3.2.1.5 น้ำหนักที่หายไปหลังการอบ

ชั่งกากของเสียที่มีลักษณะเป็นของเหลวชั้นใส่ลงในปิกเกอร์ปริมาณ 50 กรัม ให้เป็น W_1 (กรัม) หลังจากนั้นนำไปอบให้แห้งที่อุณหภูมิ 110 องศาเซลเซียส และชั่งน้ำหนักอีกครั้งให้เป็น W_2 (กรัม) คำนวณปริมาณของแข็งตามสูตร

$$\text{Solid content (\%)} = \frac{(W_1 - W_2) \times 100}{W_1}$$

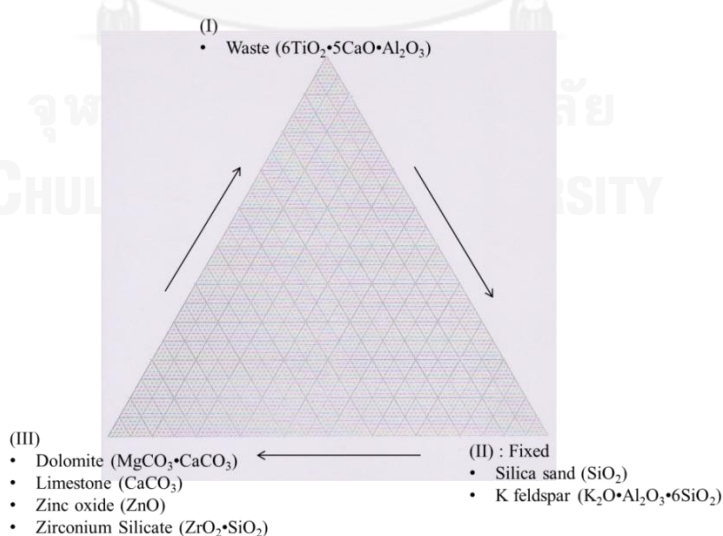
3.2.1.6 การกำจัดคลอรีนในกากของเสีย

สารประกอบแคลเซียมคลอไรด์สามารถเกิดการสลายตัวได้ที่อุณหภูมิประมาณ 300-350 องศาเซลเซียส [41,42] งานวิจัยนี้จึงทำการกำจัดคลอรีนด้วยการเผาแคลไซน์ที่อุณหภูมิ 350 องศาเซลเซียส อัตราการเพิ่มอุณหภูมิการเผาแคลไซน์เท่ากับ 5 องศาเซลเซียสต่อนาที และเย็นไฟที่อุณหภูมิสูงสุด เป็นเวลา 2 ชม. (ผลการวิเคราะห์การเปลี่ยนแปลงทางความร้อนแสดงในหัวข้อที่ 4.3)

3.2.2 การใช้กากของเสียเป็นวัตถุดิบทดแทนไทเทเนียมไดออกไซด์ในเคลือบเซรามิก

3.2.2.1 การเลือกสูตรเคลือบมาตรฐานและการปรับสูตรเคลือบที่มีกากของเสียเป็นวัตถุดิบทดแทน

การคำนวณสูตรเคลือบที่มีการใช้กากของเสียเป็นวัตถุดิบทดแทน และการปรับสูตรเคลือบ จะทำการปรับโดยใช้สามเหลี่ยม triaxial ดังรูปที่ 3.1



รูปที่ 3.1 แผนภาพ triaxial ที่ใช้ในการปรับสูตรเคลือบ

ทำการจัดกลุ่มวัตถุดิบออกเป็น 3 ส่วน ตามหน้าที่ในเคลือบ ได้แก่

- กลุ่มที่ 1 : กากของเสีย
- กลุ่มที่ 2 : วัตถุดิบที่ให้เนื้อแก้วและช่วยลดจุดสุกตัวของเคลือบที่เป็นอัลคาไลหมู่ที่ 1 ได้แก่ ซิลิกา (SiO_2) และโพแทสเซียมเฟลด์สปาร์ ($\text{K}_2\text{O}\cdot\text{Al}_2\text{O}_3\cdot 6\text{SiO}_2$)
- กลุ่มที่ 3 : วัตถุดิบที่ให้ความทึบแสงและช่วยลดจุดสุกตัวของเคลือบที่เป็นอัลคาไลหมู่ที่ 2 ได้แก่ โดโลไมต์ ($\text{MgCO}_3\cdot\text{CaCO}_3$) หินปูน (CaCO_3) ซิงก์ออกไซด์ (ZnO) และเซอร์โคเนียมซิลิเกต ($\text{ZrO}_2\cdot\text{SiO}_2$)

มีการใช้กากของเสียเป็นวัตถุดิบทดแทนไทเทเนียมไดออกไซด์ในเคลือบเซรามิก ดังนี้

1. การใช้กากของเสียทดแทนวัตถุดิบทางการค้าในเคลือบมาตรฐาน
2. การปรับสูตรเคลือบ แบ่งออกเป็น 2 ส่วน คือ
 - (2.1) เพิ่มปริมาณกากของเสียในสูตรเคลือบ โดยลดวัตถุดิบตัวอื่นๆ ในอัตราส่วนเท่าๆ กัน
 - (2.2) การปรับสูตรเคลือบโดยใช้แผนภาพสามเหลี่ยม triaxial
 - (2.2.1) เพิ่มปริมาณกากของเสียในสูตรเคลือบ โดยให้วัตถุดิบกลุ่ม II คงที่ และวัตถุดิบกลุ่ม III ลดลง
 - (2.2.2) เพิ่มปริมาณวัตถุดิบกลุ่ม II ในสูตรเคลือบ โดยให้ปริมาณกากของเสียคงที่ และวัตถุดิบกลุ่ม III ลดลง
 - (2.2.3) เพิ่มปริมาณวัตถุดิบกลุ่ม III ในสูตรเคลือบ โดยให้ปริมาณกากของเสียคงที่ และวัตถุดิบกลุ่ม III ลดลง

3.2.2.2 การเตรียมเคลือบ การเคลือบและอุณหภูมิในการเผา

ซึ่งส่วนผสมของวัตถุดิบตามสูตรเคลือบที่ใช้ และบดผสมเคลือบด้วยวิธีการบดเปียก โดยใส่น้ำประมาณ 80 เปอร์เซ็นต์โดยน้ำหนักของวัตถุดิบ บดด้วยหม้อบดอะลูมินา ใช้เวลาบด 20 นาที โดยมีการควบคุมคุณสมบัติของน้ำเคลือบให้น้ำเคลือบมีความถ่วงจำเพาะ (specific gravity) ให้อยู่ในช่วง 1.3 - 1.5 และความหนืดให้อยู่ในช่วง 10 - 12 วินาที หลังจากนั้นทำการกรองน้ำเคลือบผ่านตะแกรงร่อนขนาด 200 เมช เพื่อให้ได้น้ำเคลือบที่มีความละเอียดตามต้องการ

3.2.2.2.1 ความหนาแน่นของน้ำเคลือบ

หาความถ่วงจำเพาะของน้ำเคลือบด้วยการใช้ถ้วยหาความถ่วงจำเพาะของน้ำเคลือบ ซึ่งน้ำหนักถ้วยสแตนเลสและฝาซึ่งทราบปริมาตรที่แน่นอน บนที่ก้นน้ำหนักของถ้วยสแตนเลสเป็น W (กรัม) และปริมาตรของถ้วยเป็น V (ลูกบาศก์เซนติเมตร) หลังจากนั้นเทน้ำเคลือบลงในถ้วยสแตนเลสและปิดฝา แล้วชั่งน้ำหนักและบันทึกเป็น W_s (กรัม) คำนวณความถ่วงจำเพาะของน้ำเคลือบตามสูตร

$$\text{specific gravity} = \frac{(W_s - W)}{V}$$

เมื่อ $W_s =$ น้ำหนักของถ้วยสเตนเลส + ฝา + น้ำเคลือบ (กรัม)
 $W =$ น้ำหนักของถ้วยสเตนเลส + ฝา (กรัม)
 $V =$ ปริมาตรของน้ำเคลือบในถ้วยสเตนเลสขนาด 100 มิลลิลิตร (ลูกบาศก์เซนติเมตร)

3.2.2.2.2 กากค้างตะแกรงของเคลือบ

ชั่งน้ำเคลือบ 100 กรัม (W_1) และนำไปกรองผ่านตะแกรงขนาด 325 เมช หลังจากนั้นนำตะแกรงไปผ่านด้วยน้ำจนสะอาด นำกากค้างตะแกรงไปอบและชั่งน้ำหนัก (R_1) คำนวณเป็นเปอร์เซ็นต์กากค้างตะแกรงตามสูตร

$$\% \text{ residue} = \frac{R_1 \times 100}{A}$$

เมื่อ $R_1 =$ น้ำหนักของกากค้างตะแกรง 325 เมช (กรัม)
 $W_1 =$ น้ำหนักของน้ำเคลือบที่ใช้ในการทดสอบ (100 กรัม)
 $A = (W_1 \times 100) \times (\% \text{Dry})$

3.2.2.2.3 อัตราการไหลตัวของน้ำเคลือบ

วัดอัตราการไหลตัวของน้ำเคลือบโดยใช้ถ้วยฟอร์ตหมายเลข 2 ซึ่งเป็นถ้วยอะลูมิเนียม ปริมาตร 100 มิลลิลิตร ทางด้านก้นถ้วยมีลักษณะคล้ายกรวยและมีรูเพื่อให้น้ำเคลือบไหลออก วางเครื่องมือให้ไต่ระดับ ปิดรูที่ก้นถ้วยด้วยนิ้วมือ หลังจากนั้นเติมน้ำเคลือบลงไปให้ล้นถ้วยและใช้ไม้พายปาดส่วนที่ล้นออก หลังจากนั้นนำนิ้วที่ปิดรูออกเพื่อปล่อยให้ น้ำเคลือบไหล จับเวลาการไหลตัวของน้ำเคลือบตั้งแต่เคลือบเริ่มไหลตัวจนกระทั่งน้ำเคลือบไหลออกหมด บันทึกเวลาการไหลเป็นวินาที

3.2.2.2.4 การเคลือบและอุณหภูมิในการเผา

การเคลือบต้องมีการทำความสะอาดผิวของผลิตภัณฑ์ที่ต้องการนำมาเคลือบโดยเช็ดด้วยฟองน้ำที่ชุบน้ำหมาดๆ ผลิตภัณฑ์ที่ต้องการเคลือบ คือ กระเบื้องดินชนิดบุผนัง (wall tile) ขนาด 2x2 เซนติเมตร² หรือที่เรียกว่ากระเบื้องโมเสค (mosaic) ซึ่งเป็นกระเบื้องที่ยังไม่ผ่านการเผา (green tile) เนื้อกระเบื้องจัดอยู่ในประเภทพอร์ซเลน (porcelain body) เป็นเนื้อกระเบื้องสีขาว นอกจากนี้ผลิตภัณฑ์จะต้องเผาจนมีการดูดซึมน้ำต่ำมาก ส่วนผสมต้องใช้วัตถุดิบที่มีคุณภาพสูง สำหรับงานวิจัยนี้มีการใช้กระเบื้องโมเสคของบริษัท เซรามิกอุตสาหกรรมไทย (COTTO) จำกัด โดยส่วนผสมของเนื้อดินกระเบื้องโมเสคของบริษัท เซรามิกอุตสาหกรรมไทย จำกัด แสดงดังตารางที่ 3.1 กระเบื้องโมเสคผลิตด้วยวิธีเดียวกับกระเบื้องเซรามิกชนิดต่างๆ แต่แตกต่างกันที่ขนาดและอุณหภูมิในการเผา โดยกระเบื้องโมเสคเป็นกระเบื้องชนิดเผาครั้งเดียวที่อุณหภูมิประมาณ 1200 องศาเซลเซียส เป็นกระเบื้องที่มีเปอร์เซ็นต์การดูดน้ำต่ำ มีความแข็งแรงสูง และมีความทนทานต่อสารเคมีได้ดีกว่ากระเบื้องปูพื้นหรือบุผนังทั่วไป เนื่องจากกระเบื้องโมเสคใช้อุณหภูมิในการเผาที่สูงกว่า จึงสามารถใช้

วัตถุดิบที่ทนทานต่อสารเคมีได้ดีกว่ากระเบื้องชนิดอื่น แต่การใช้กระเบื้องโมเสคก็มีข้อเสีย คือ ความสะดวกสบายได้ยาก เนื่องจากกระเบื้องมีขนาดเล็ก ทำให้ในการติดตั้งจะเกิดรอยต่อระหว่างแผ่นที่เรียกว่า joint มาก และเป็นบริเวณที่มีการใช้ปูนซีเมนต์ขาวในการยาแนว หากดูแลหรือทำความสะอาดบริเวณนี้ไม่ทั่วถึงจะทำให้เกิดคราบสกปรก และเป็นที่สะสมของเชื้อโรคได้ [43,44]

ตารางที่ 3.1 เนื้อกระเบื้องโมเสคของบริษัท เซรามิคอุตสาหกรรมไทย จำกัด

ส่วนผสมของเนื้อกระเบื้อง	เปอร์เซ็นต์ (%)
SiO ₂	75.76 ± 0.40
Al ₂ O ₃	16.61 ± 0.40
Fe ₂ O ₃	1.15 ± 0.20
Na ₂ O	3.58 ± 0.20
Others	~3

งานวิจัยนี้ทำการเคลือบกระเบื้องด้วยวิธีการพ่นเคลือบ (Spraying) มีการควบคุมความหนาของชั้นเคลือบให้อยู่ระหว่าง 1-1.5 มิลลิเมตร ด้วยการกำหนดน้ำหนักของเคลือบบนกระเบื้องให้มีน้ำหนักประมาณ 8 กรัม คิดเป็น 26 เปอร์เซ็นต์ของน้ำหนักกระเบื้อง ทำการเผาเคลือบในเตาเผาไฟฟ้า อุณหภูมิที่ใช้ในการเผา คือ 1000-1200 องศาเซลเซียส โดยมีอัตราในการให้ความร้อนเท่ากับ 5 องศาเซลเซียสต่อนาที และยื่นไฟที่อุณหภูมิสูงสุดเป็นเวลา 20 นาที

3.2.2.3 การทดสอบสมบัติของเคลือบหลังเผา

3.2.2.3.1 พฤติกรรมการหลอมตัว

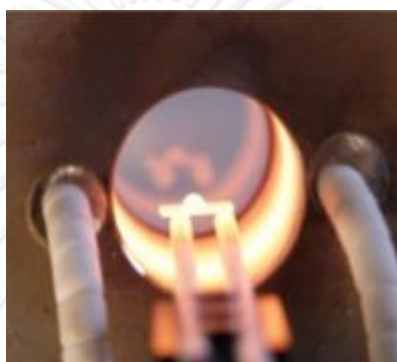
นำผงเคลือบมาบดผสมให้เข้ากันด้วยโถรงบตะลุมินา หลังจากนั้นนำมาอัดขึ้นรูปด้วยแม่พิมพ์ทองเหลือง ให้มีลักษณะเป็นโคนที่มีขนาดเส้นผ่าศูนย์กลางที่ฐาน 25 มิลลิเมตร สูง 30 มิลลิเมตร นำมาวางลงบนกระเบื้องปสิทิตตั้งรูปที่ 3.2 และนำไปเผาในเตาเผาลำดับอุณหภูมิ (Thermal gradient furnace) ที่อุณหภูมิ 6 อุณหภูมิ ได้แก่ 1000 1050 1100 1150 1200 และ 1250 องศาเซลเซียส ด้วยอัตราในการให้ความร้อน คือ 5 องศาเซลเซียสต่อนาที ยื่นไฟที่อุณหภูมิสูงสุดเป็นเวลา 20 นาที หลังจากนั้นสังเกตลักษณะการหลอมตัวของเคลือบ



รูปที่ 3.2 การอัดโคนเพื่อศึกษาพฤติกรรมการหลอมตัว

3.2.2.3.2 อุณหภูมิการหลอมตัวเฉพาะ

วิเคราะห์อุณหภูมิเฉพาะที่แน่นอนของการเปลี่ยนแปลงของเคลือบด้วยเครื่อง Heating Microscope (misura 3.32) การเตรียมตัวอย่างทำโดยนำผงเคลือบที่ผ่านการบดผสมด้วยโม่บดอะลูมินา มาร้อนผ่านตะแกรงร่อนขนาด 200 เมช หลังจากนั้นนำผงเคลือบที่ร่อนผ่านตะแกรงมาขึ้นรูปให้มีรูปร่างเป็นทรงกระบอกที่มีขนาดเส้นผ่าศูนย์กลาง 2 มิลลิเมตรและมีความสูง 3 มิลลิเมตร และนำเข้าเครื่อง Heating Microscope โดยเครื่องมีการให้ความร้อนเพื่อให้เคลือบเกิดการเปลี่ยนแปลงที่อุณหภูมิ 300-1350 องศาเซลเซียส แสดงในรูปที่ 3.3



รูปที่ 3.3 ตัวอย่างที่กำลังหลอมตัวภายในเครื่อง Heating Microscope ^[16]

3.2.2.3.3 องค์ประกอบทางเฟสของเคลือบหลังเผา

วิเคราะห์องค์ประกอบทางเฟสของเคลือบด้วยเทคนิค X-ray diffractometry (XRD) ด้วยเครื่อง X-ray Diffractometer โดยใช้ Cu-K α radiation เป็น X-ray source ด้วย Scanning speed 2.4 องศาต่อนาที และช่วง 2θ เท่ากับ 10-70 องศา

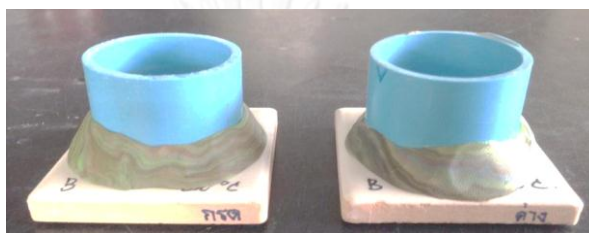
3.2.2.3.4 สัมประสิทธิ์การขยายตัวทางความร้อน

นำผงเคลือบไปอัดในแบบที่ทำจากคอร์เดียวไรท์และเผาที่อุณหภูมิที่ต้องการ คงอุณหภูมิสูงสุดเป็นเวลา 20 นาที หลังจากนั้นตัดชิ้นงานให้มีขนาด 0.5 x 0.5 x 2.5 มิลลิเมตร วิเคราะห์สัมประสิทธิ์การขยายตัวทางความร้อนในช่วงอุณหภูมิ 27 – 800 องศาเซลเซียส โดยใช้เครื่องไดลาโตมิเตอร์ (Dilatometer, รุ่น DIL 402C, Netzsch) อัตราในการให้ความร้อน 10 องศาเซลเซียสต่อนาที โดยทำการเปรียบเทียบกับวัสดุมาตรฐานที่ทำจากอะลูมินา

3.2.2.3.5 ความทนทานต่อสารเคมี

วางดินน้ำมันหนาประมาณ 3 มิลลิเมตรที่ขอบท่อ คว่ำท่อลงบนผิวเคลือบแล้วกดวัสดุยา รอยต่อรอบๆ ท่อให้แน่นดังรูปที่ 3.4 เทสารละลายกรดไฮโดรคลอริก (HCl) ที่มีความเข้มข้น 3

เปอร์เซ็นต์ และสารละลายโพแทสเซียมไฮดรอกไซด์ (KOH) ที่มีความเข้มข้น 3 เปอร์เซ็นต์ลงในท่อ ให้ระดับความสูงของสารละลาย 20 ± 1 มิลลิเมตร แช่สารละลายไว้ 4 วัน โดยให้เขย่าชุดทดสอบ เบาๆ วันละ 1 ครั้ง และตรวจสอบระดับความสูงของสารละลายไม่ให้เปลี่ยนแปลง เปลี่ยนสารละลาย ใหม่หลังจากครบ 2 วัน หลังจากนั้นอีก 2 วัน นำท่อออกแล้วทำความสะอาดผิวเคลือบด้วยตัวทำละลายที่เหมาะสมเพื่อล้างวัสดุยารอยต่อออกให้หมด และสังเกตสีและผิวของเคลือบ โดยทำการ จำแนกระดับความทนทานต่อสารเคมีตามมาตรฐาน มอก. 2398 เล่ม 13-2553 [19]



รูปที่ 3.4 การทดสอบความทนทานต่อสารเคมีของเคลือบ

3.2.2.3.6 ความทนทานต่อการขีดข่วน

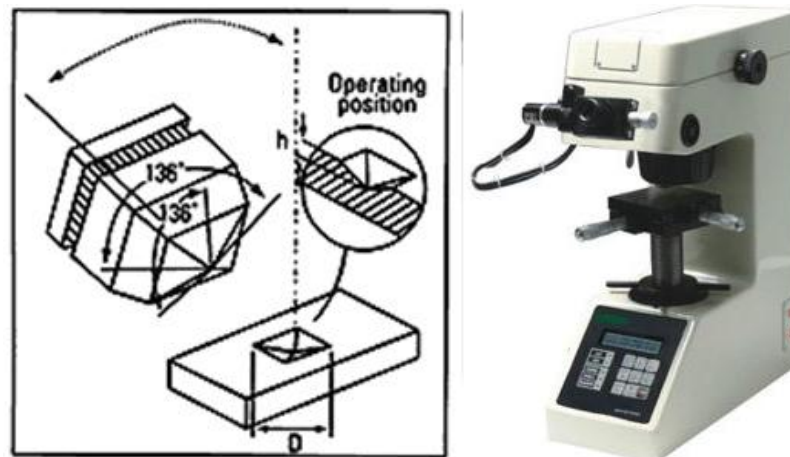
ความทนทานต่อการขีดข่วนทำการทดสอบด้วยวิธี sand blast test ด้วยเครื่อง sand blast test ซึ่งนำหน้ากระเบื้องก่อนทำการทดสอบ หลังจากนั้นนำแผ่นกระเบื้องมาตั้งท่ามุม 45 องศา แล้วพ่นทราย (SiC) ขนาด 80 เมช โดยกำหนดจำนวนของทราย 2000 ± 10 มิลลิลิตรต่อครั้ง อัตราการไหลของทราย 21 - 23.5 วินาที ค่าความทนทานต่อการขีดข่วน วัดโดยใช้ปริมาณของเคลือบที่หลุดลอกออกมา ซึ่งหาได้โดยชั่งน้ำหนักที่หายไปหลังจากทำการทดสอบ (D 968-93) [20]

3.2.2.3.7 ความแข็งของเคลือบ

วัดความแข็งของเคลือบตามมาตรฐาน ASTM C1327-08 ด้วยวิธี Vickers microhardness test [45] โดยมีการใช้หัวกดลงบนเคลือบโดยให้แรง 1 kgf เป็นเวลา 15 วินาที วัดขนาดของเส้นทแยงมุมของรอยกดที่ปรากฏบนผิวเคลือบและคำนวณความแข็งแบบวิกเกอร์ส (Hv) มีหน่วยเป็นกิกะปาสคาล (GPa) ลักษณะของหัวกดและเครื่องวัดความแข็งแบบวิกเกอร์สแสดงดังรูปที่ 3.5 งานวิจัยนี้เลือกใช้หัวกดแบบวิกเกอร์สและเครื่องวัดความแข็งวิกเกอร์ส (รุ่น HV50A ของ Laizhou Huayin) ในการทดสอบ คำนวณค่าความแข็งตามสูตร

$$H_v = \frac{1.8544 \times p}{d^2}$$

- เมื่อ H_v = ค่าความแข็ง (กิกะปาสคาล)
 p = แรงที่กดลงบนชิ้นงาน (นิวตัน, 1 กิโลกรัม = 9.8 นิวตัน)
 d = เส้นทแยงมุมเฉลี่ยของรอยแตก (มิลลิเมตร)



รูปที่ 3.5 ลักษณะของหัววัดและเครื่องวัดความแข็งแบบวิกเกอร์ส [46,47]

3.2.2.3.8 สี

ค่าสีของเคลือบ จะทำการวิเคราะห์เป็นค่า L a* และ b* โดยใช้เครื่อง Spectrophotometer ของ MACBETH รุ่น Colour-Eye 7000 ช่วงของแสง 360-750 nm โหมด reflectance การเปรียบเทียบสีจะถูกคำนวณออกมาเป็นผลต่าง[48] ดังนี้

$$\begin{aligned} dL &= L(\text{sample}) - L(\text{standard}) \\ da^* &= a^*(\text{sample}) - a^*(\text{standard}) \\ db^* &= b^*(\text{sample}) - b^*(\text{standard}) \end{aligned}$$

จากนั้นค่าผลต่างทั้งสามจะถูกคำนวณออกมาเป็นค่าสรุปหรือ dE^* อีกครั้งตามสูตร

$$dE^* = (dL^2 + da^{*2} + db^{*2})^{1/2}$$

ในการควบคุมคุณภาพสีประเภทที่ใช้ตกแต่ง (Decorating colours) ค่า dE^* ของสีที่สามารถยอมรับได้จะต้อง มีค่าเกิน 1.5 หน่วย เมื่อเทียบกับค่า dE^* ตัวอย่างมาตรฐาน (master Standard) แต่ละสีจะมีค่าที่แคบ และกว้างไม่เท่ากัน บางสี 0.5 หน่วย บางสี 1.5 หน่วย สีที่มีค่าแคบ 0.5 หน่วย ค่าของสีจะเปลี่ยนแปลงได้ง่าย สำหรับสีสะเตนมักจะจำกัดค่า dE^* ไม่เกิน 1.0 ขึ้นอยู่กับโครงสร้างของสีแต่ละชนิด

3.2.3 การใช้กากของเสียเป็นวัตถุดิบทดแทนไทเทเนียมไดออกไซด์ในเคลือบพริต

3.2.3.1 ทำการเลือกสูตรพริตมาตรฐาน และปรับสูตรพริตโดยใช้กากของเสียเป็นวัตถุดิบทดแทนในพริต

3.2.3.2 การเตรียมพริต

ซึ่งวัตถุดิบตามสูตรพริตที่ได้คำนวณ นำไปบดให้เข้ากันด้วยโกร่งบดอะลูมินา และเทใส่เข้าหลอมที่ทำจากอะลูมินา หลังจากนั้นนำไปใส่เตาหลอมแก้ว เพื่อหลอมพริตที่อุณหภูมิ 1450 องศาเซลเซียส เป็นเวลา 2 ชั่วโมง หลังจากนั้นทำให้เย็นตัวอย่างรวดเร็วในน้ำ นำพริตที่ได้ไปอบให้แห้งในเตาอบที่อุณหภูมิ 110 องศาเซลเซียส เมื่อแห้งแล้วจึงนำไปบดให้ละเอียดจนได้เป็นผงพริต

3.2.3.3 การเตรียมเคลือบพริต

นำพริตที่บดให้ละเอียดแล้วปริมาณ 90 เปอร์เซ็นต์โดยน้ำหนัก มาผสมกับดินขาว 10 เปอร์เซ็นต์โดยน้ำหนัก STTP 0.2 เปอร์เซ็นต์โดยน้ำหนัก CMC 0.2 เปอร์เซ็นต์โดยน้ำหนัก และน้ำ 30 เปอร์เซ็นต์โดยน้ำหนัก แล้วนำไปบดด้วยหม้อบดอะลูมินาเป็นเวลา 20 นาที โดยมีการควบคุมสมบัติของน้ำเคลือบให้มีความถ่วงจำเพาะประมาณ 1.7-1.8 และมีความหนืดประมาณ 50 วินาที หลังจากนั้นทำการกรองน้ำเคลือบผ่านตะแกรงร่อนขนาด 200 เมช เพื่อให้ได้น้ำเคลือบที่มีความละเอียดตามต้องการ โดยทำการทดสอบสมบัติของน้ำเคลือบเหมือนกับการวิเคราะห์สมบัติน้ำเคลือบเซรามิกที่ได้กล่าวมาในหัวข้อ 3.2.2.2

3.2.3.4 อุณหภูมิในการเผาเคลือบ

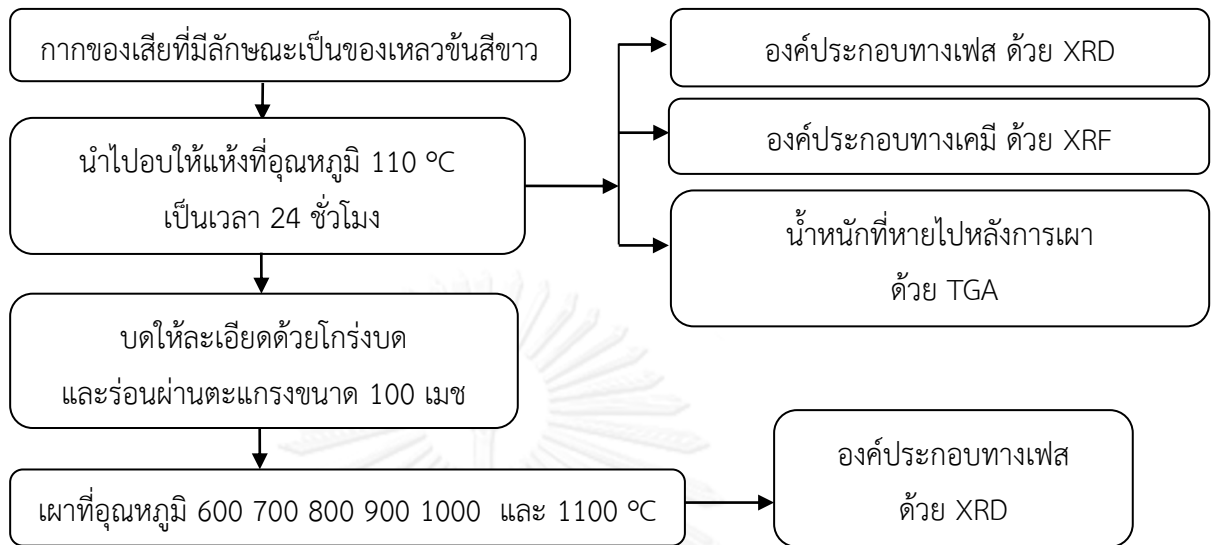
เผาด้วยเตาเผาไฟฟ้า โดยอุณหภูมิในการเผา คือ 1120 องศาเซลเซียส อัตราการให้ความร้อนเท่ากับ 5 องศาเซลเซียสต่อนาที และเย็นไฟที่อุณหภูมิสูงสุดเป็นเวลา 20 นาที

3.2.3.5 การทดสอบสมบัติของเคลือบหลังเผา

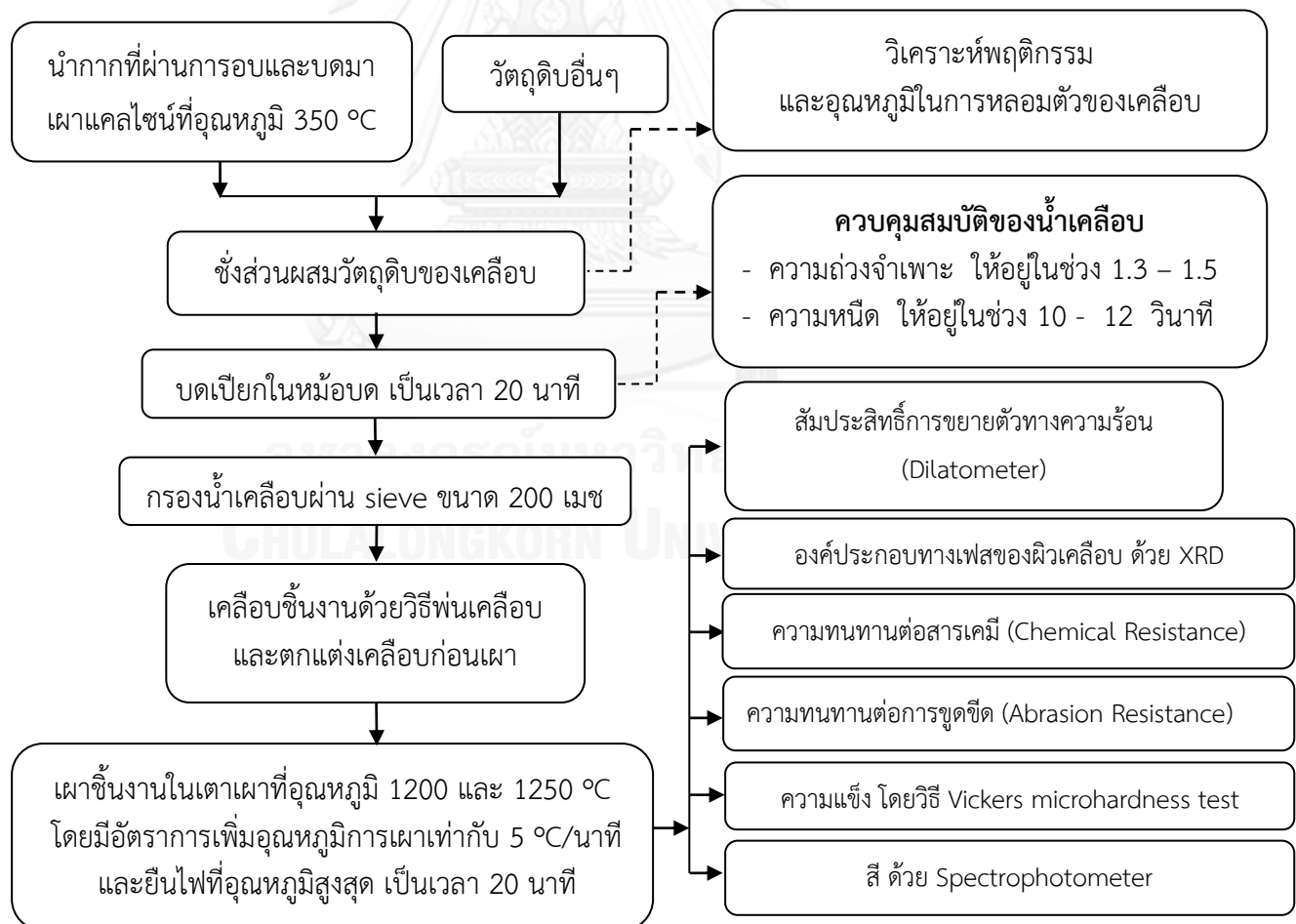
ทดสอบสมบัติของเคลือบหลังเผาตามข้อ 3.2.2.3 โดยสมบัติของเคลือบหลังเผาที่ทำการทดสอบ ได้แก่

- พฤติกรรมและอุณหภูมิในการหลอมตัวของเคลือบ
- องค์ประกอบทางเฟสของเคลือบหลังเผา
- ความทนทานต่อสารเคมี
- ความทนทานต่อการขีดขีด
- ความแข็งของเคลือบ
- ค่าสี (L a* b*)

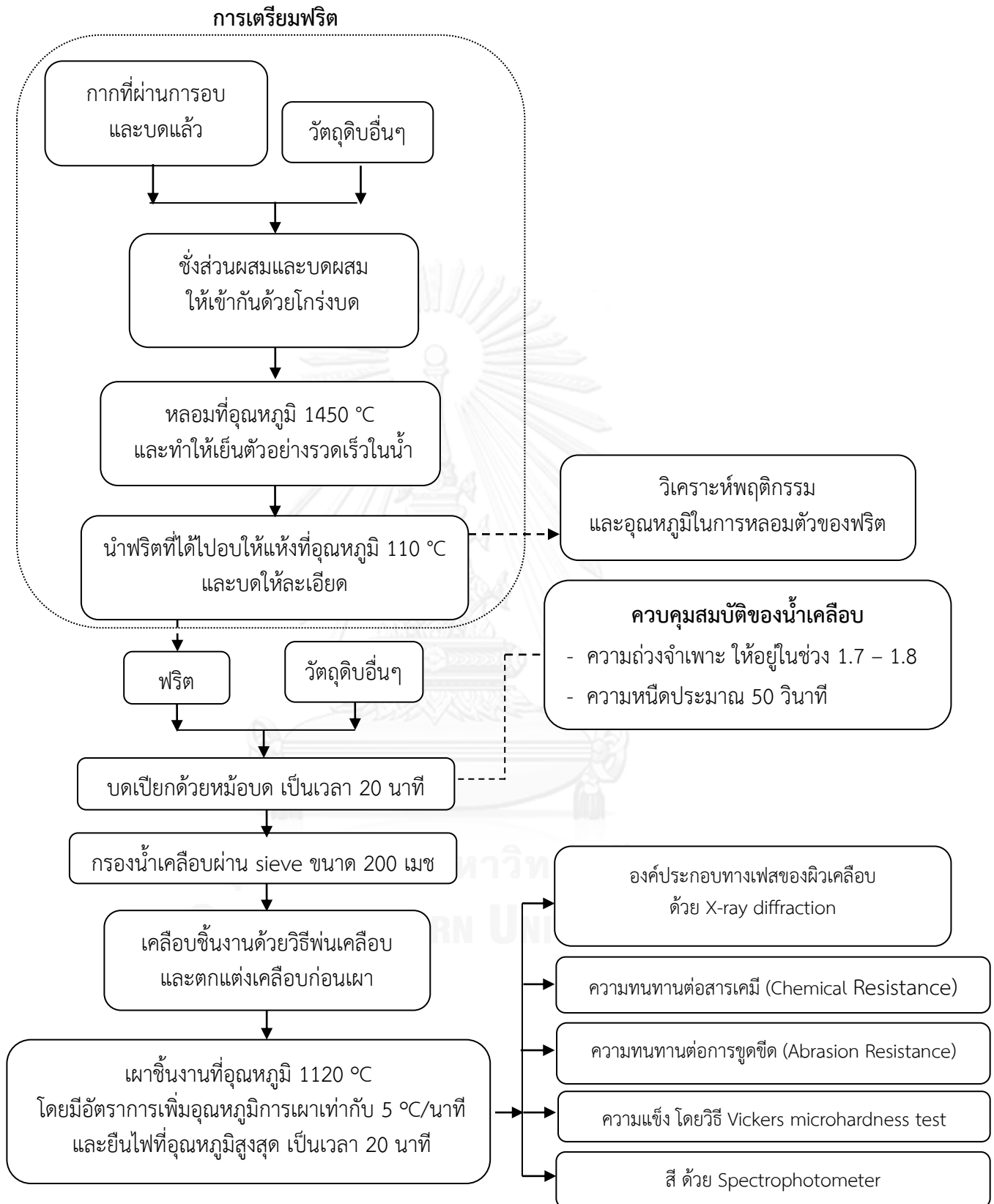
3.3 แผนผังการทดลอง



รูปที่ 3.6 แผนผังการเตรียมกากของเสียและการทดสอบสมบัติเบื้องต้นของกากของเสีย



รูปที่ 3.7 ขั้นตอนการเตรียมเคลือบเซรามิกและการวิเคราะห์สมบัติของเคลือบ



รูปที่ 3.8 ขั้นตอนการเตรียมฟريت เคลือบฟريت และการวิเคราะห์สมบัติของเคลือบฟريت

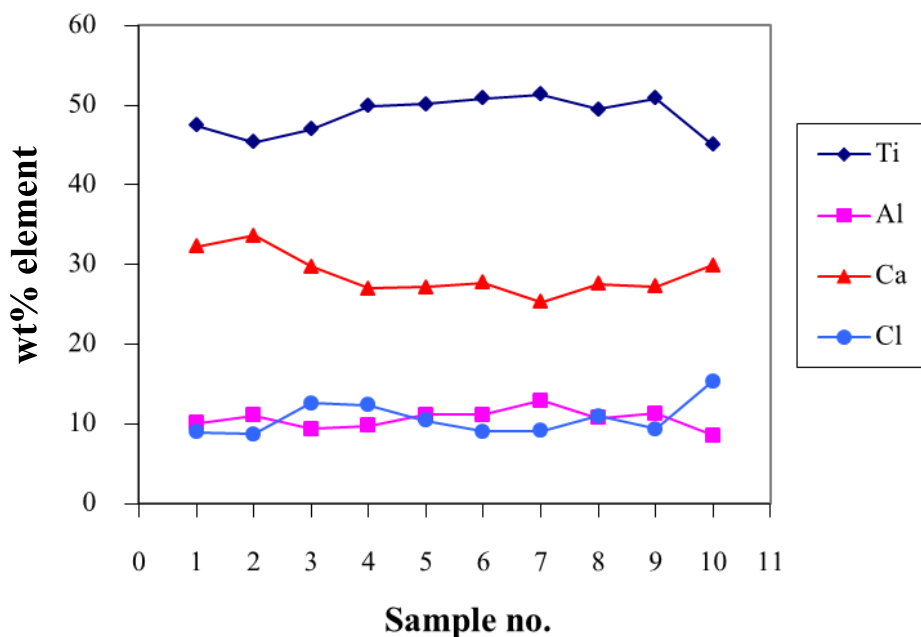
บทที่ 4

การวิเคราะห์สมบัติเบื้องต้นของกากของเสีย

บทที่ 4 ประกอบด้วย ผลการวิเคราะห์สมบัติเบื้องต้นของกากของเสีย ได้แก่ องค์ประกอบทางเคมี องค์ประกอบทางเฟส ปฏิกริยาที่เกิดขึ้นเมื่อกากของเสียได้รับความร้อน ความหนาแน่นของผงกากของเสีย และการสูญเสียน้ำหนักหลังการอบและหลังกากเผาของกากของเสีย

4.1 ผลการวิเคราะห์องค์ประกอบทางเคมีของวัตถุดิบ

จากการสุ่ม (sampling) ตักกากของเสียที่มีลักษณะเป็นของเหลวสีขาวข้นเป็นจำนวน 10 ครั้ง เพื่อยืนยันว่ากากของเสียที่ได้จากกระบวนการผลิตพอลิเอทิลีนความหนาแน่นสูงนั้นมีสมบัติที่คงที่ในทุกการผลิต ผลการวิเคราะห์องค์ประกอบทางเคมีของกากของเสียแสดงดังรูปที่ 4.1 และตารางที่ 4.1 พบว่าในกากของเสียประกอบด้วยธาตุหลัก 4 ธาตุ ได้แก่ ไทเทเนียม (Ti) แคลเซียม (Ca) อะลูมิเนียม (Al) และคลอรีน (Cl) และมีธาตุอื่นๆ อยู่น้อยมาก (ไม่เกิน 1 เปอร์เซ็นต์โดยน้ำหนัก) ธาตุหลักน่าจะอยู่ในรูปของสารประกอบออกไซด์ สารประกอบไฮเดรต (H_2O) ไฮดรอกไซด์ (OH) และสารประกอบคลอไรด์ (Cl) ซึ่งสารประกอบเหล่านี้จะเกิดการแตกตัวที่อุณหภูมิสูงขึ้น เหลือเพียงแต่สารประกอบออกไซด์ในกากของเสียเท่านั้น



รูปที่ 4.1 องค์ประกอบธาตุของกากของเสีย (เมื่อทำการสุ่มตักกากของเสียเป็นจำนวน 10 ครั้งมาทำการวิเคราะห์)

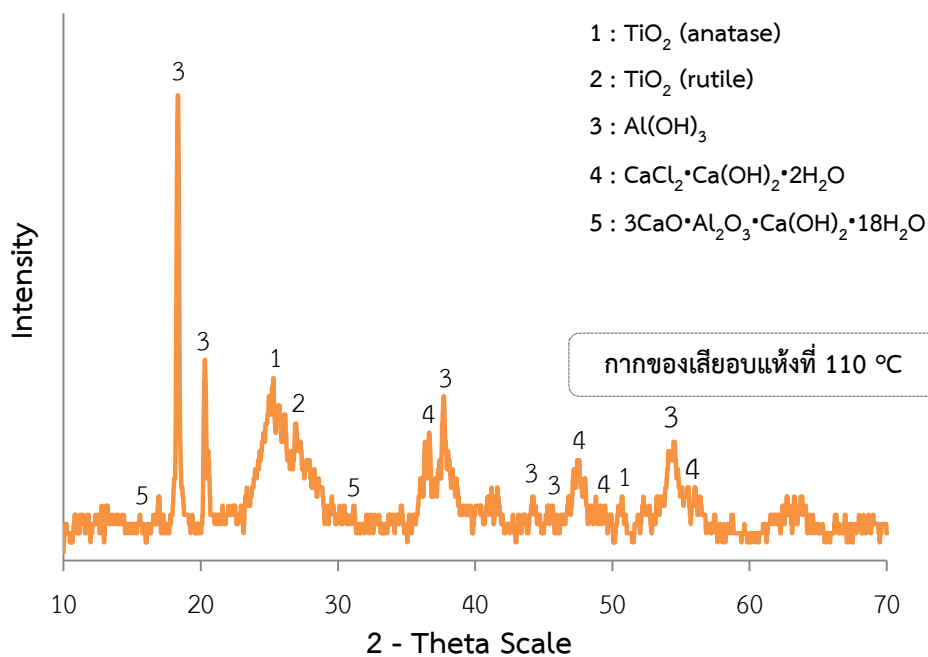
ตารางที่ 4.1 ปริมาณของธาตุองค์ประกอบในกากของเสีย

ธาตุ	ปริมาณ (wt%)	สารประกอบที่เป็นไปได้
Ti	48.75 ± 2.33	TiO ₂
Ca	28.77 ± 2.60	CaO, Ca(OH) ₂ , CaCl ₂
Al	10.61 ± 1.23	Al(OH) ₃ , Al ₂ O ₃
Cl	10.69 ± 2.17	CaCl ₂
Mg	0.49 ± 0.06	MgO, Mg(OH) ₂
Si	0.25 ± 0.02	SiO ₂
S	0.14 ± 0.02	SO ₂
Fe	0.24 ± 0.01	Fe ₂ O ₃
Cu	< 0.02	-
Zn	< 0.02	-
Zr	< 0.02	-

4.2 ผลการวิเคราะห์องค์ประกอบทางเฟสของกากของเสีย

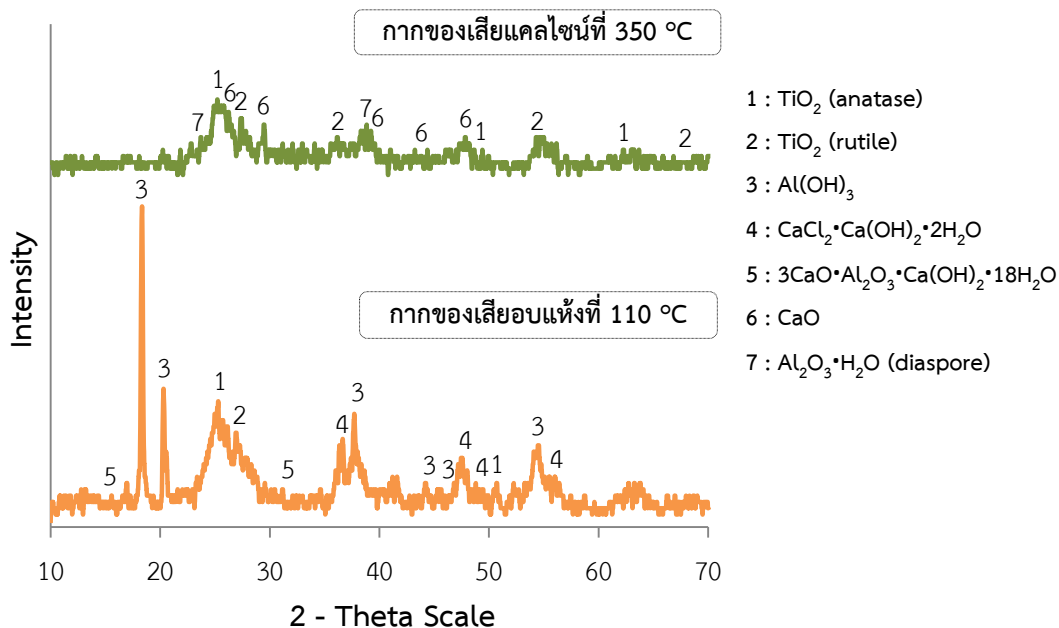
จากผลการวิเคราะห์องค์ประกอบทางเฟสของกากของเสียที่ทำการอบแห้งแสดงในรูปแบบที่ 4.2 พบว่าธาตุหลักที่อยู่ในกากของเสียนั้นอยู่ในรูปของสารประกอบออกไซด์ ไฮดรอกไซด์ (H₂O) ไฮดรอกไซด์ (OH) และสารประกอบคลอไรด์ โดยกากของเสียประกอบด้วยเฟสหลัก ได้แก่ ไทเทเนียมไดออกไซด์ (TiO₂) ในรูปของทั้งอะนาเทสและรูไทล์ กิบbsite (Al(OH)₃) แคลเซียมอะลูมิเนียมออกไซด์ไฮดรอกไซด์ไฮเดรต (3CaO·Al₂O₃·Ca(OH)₂·18H₂O) และแคลเซียมคลอไรด์ไฮดรอกไซด์ไฮเดรต (CaCl₂·Ca(OH)₂·H₂O) สารประกอบไฮดรอกไซด์เหล่านี้มีสมบัติในการดูดความชื้นได้ ทำให้เมื่อมีการนำกากของเสียไปทำการอบให้แห้งและตั้งทิ้งไว้ในอุณหภูมิห้อง พบว่ากากของเสียมีการดูดความชื้นกลับได้ และเมื่อมีการนำผงกากของเสียที่อบให้แห้งแล้วไปทำการร่อนผ่านตะแกรงร่อน (sieve) พบว่าตะแกรงร่อนถูกกากของเสียกีดกร่อนจนตะแกรงร่อนผุและเป็นสนิม เนื่องจากเกิดจากการกีดกร่อนของสารประกอบคลอไรด์ที่มีในกากของเสีย นอกจากนี้สารประกอบคลอไรด์ (CaCl₂) เมื่อนำมาใส่ลงในน้ำเกลือจะทำให้ น้ำเกลือมีความหนืดมากและไหลตัวได้ยากอีกด้วย เนื่องจากมีสมบัติเป็นอิเล็กโทรไลต์ ทำให้อุณหภูมิในน้ำเกลือเกิดการจับตัวเป็นกลุ่มก้อน เช่นเดียวกับกรดต่างๆ เช่น แมกนีเซียมซัลเฟต (MgSO₄) และโซเดียมคลอไรด์ (NaCl) [9] งานวิจัยนี้ต้องการใช้กากของเสียดังกล่าวเป็นวัตถุดิบทดแทนวัตถุดิบไทเทเนียมไดออกไซด์ทางการค้าในเกลือ จึงจำเป็นต้องกำจัดสารประกอบคลอไรด์ก่อน เพื่อจะได้ไม่เกิดปัญหาน้ำเกลือเกิดการตกตะกอนเร็ว เมื่อใช้กากของเสียเป็นวัตถุดิบในน้ำเกลือ สารประกอบแคลเซียมคลอไรด์เกิดการสลายตัวได้ที่อุณหภูมิประมาณ

300-350 องศาเซลเซียส [41,42] งานวิจัยจึงมีการนำกากของเสียไปทำการแคลไซน์ที่อุณหภูมิ 350 องศาเซลเซียส เพื่อกำจัดสารประกอบคลอไรด์



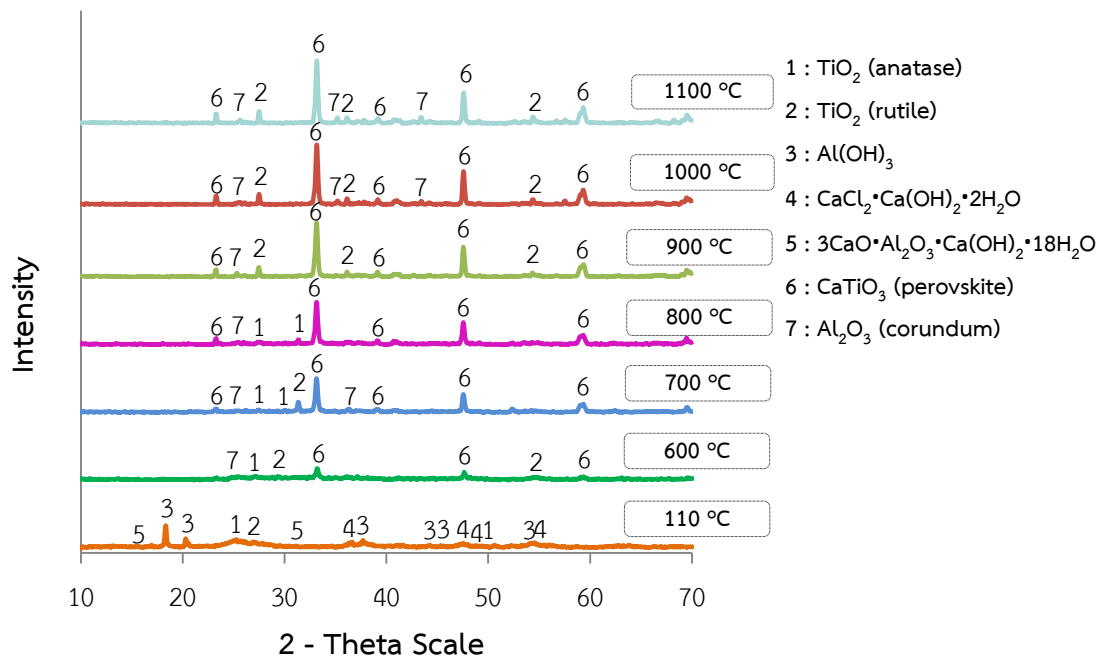
รูปที่ 4.2 องค์ประกอบทางเฟสของกากของเสียที่อุณหภูมิห้อง

เมื่อนำกากของเสียไปเผาแคลไซน์ที่อุณหภูมิ 350 องศาเซลเซียส และนำมาวิเคราะห์องค์ประกอบทางเฟสดังรูปที่ 4.3 พบว่าสารประกอบคลอไรด์ในกากของเสียเกิดการสลายตัวออกไปจนหมด และองค์ประกอบทางเฟสของกากของเสียที่ผ่านการแคลไซน์แล้วจะพบเพียงไทเทเนียมไดออกไซด์ (TiO_2) ที่อยู่ในรูปของทั้งอะนาทาสและรูไทล์ แคลเซียมออกไซด์ (CaO) และไดอะสเปอร์ ($\text{Al}_2\text{O}_3 \cdot \text{H}_2\text{O}$) เท่านั้น



รูปที่ 4.3 การเปรียบเทียบองค์ประกอบทางเฟสของกากของเสียที่ผ่านการอบแห้งและผ่านการเผาแคลไซน์ที่อุณหภูมิ 350 องศาเซลเซียส

เมื่อนำกากของเสียไปทำการแคลไซน์ที่อุณหภูมิต่างๆ ตั้งแต่ 600 – 1100 องศาเซลเซียส และนำมาวิเคราะห์องค์ประกอบทางเฟส ดังรูปที่ 4.4 พบว่าสารประกอบไฮดรอกไซด์ ไฮดรอกไซด์ และสารประกอบคลอไรด์ จะเกิดการสลายตัวกลายเป็นสารประกอบออกไซด์ทั้งหมด และที่อุณหภูมิสูงกว่า 1000 องศาเซลเซียส แคลเซียมออกไซด์ที่พบในกากที่เผาแคลไซน์ที่อุณหภูมิ 350 องศาเซลเซียส นั้น เมื่อทำการเผาแคลไซน์ที่อุณหภูมิสูงขึ้นแคลเซียมออกไซด์นี้จะเกิดปฏิกิริยากับไทเทเนียมไดออกไซด์เกิดเป็นเฟสแคลเซียมไทเทเนตที่มีโครงสร้างเป็นเพอโรฟสไกต์ (Perovskite) ดังนั้นในกากของเสียที่ผ่านการเผาแคลไซน์ที่อุณหภูมิสูงกว่า 1000 องศาเซลเซียส จะพบเพียงอะลูมินา แคลเซียมไททาเนต และไทเทเนียมไดออกไซด์เท่านั้น ไทเทเนียมไดออกไซด์พบเพียงเฟสที่เป็นรูไทล์ เนื่องจากเฟสอะนาเทสจะเกิดการเปลี่ยนเฟสเป็นรูไทล์ทั้งหมดที่อุณหภูมิ 900 องศาเซลเซียส เนื่องจากที่อุณหภูมิตั้งแต่ 900 องศาเซลเซียสขึ้นไป เฟสอะนาเทสจะไม่เสถียร นอกจากนี้ความเข้มของพีคในแต่ละพีคสูงขึ้นเมื่อเผาแคลไซน์ที่อุณหภูมิสูงขึ้น พีคในแต่ละอุณหภูมิมีความคล้ายคลึงกัน

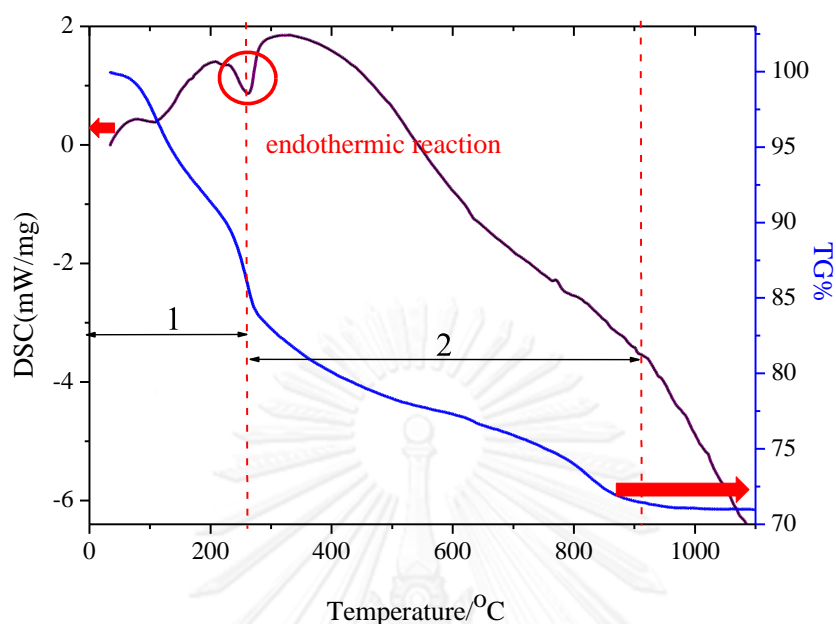


รูปที่ 4.4 องค์ประกอบทางเฟสของกากของเสียที่ผ่านการเผาแคลไซน์ที่อุณหภูมิต่างๆ ตั้งแต่ 600-1100 องศาเซลเซียส

4.3 ปฏิกริยาที่เกิดขึ้นเมื่อกากของเสียได้รับความร้อน

จากผลการวิเคราะห์การเปลี่ยนแปลงปฏิกริยาและน้ำหนักที่อุณหภูมิต่างๆ เมื่อกากของเสียได้รับความร้อน ดังแสดงในรูปที่ 4.5 พบว่าที่อุณหภูมิประมาณ 270 องศาเซลเซียส เกิดปฏิกริยาด้วยความร้อน ซึ่งแสดงการสลายตัวของสารประกอบไฮดรอกไซด์ และที่อุณหภูมิ 900 องศาเซลเซียส เกิดการเปลี่ยนเฟสของไทเทเนียมไดออกไซด์จากอะนาทาสเป็นรูไทล์ และเกิดการเกิดขึ้นของเพอโรฟสไกต์ นอกจากนี้ยังพบการเปลี่ยนแปลงของน้ำหนัก (เส้นสีน้ำเงิน) 2 ช่วง ได้แก่ ช่วงที่ 1 ที่อุณหภูมิ 300 องศาเซลเซียส: เกิดการสูญเสียน้ำหนักเนื่องจากความชื้นที่ถูกดูดกลับเข้ามาหลังการอบแห้ง และเกิดการสลายตัวของน้ำในโครงสร้างผลึกของเฟสกีบไซต์ ($\text{Al}(\text{OH})_3$) แคลเซียมอะลูมิเนียมไดออกไซด์ไฮดรอกไซด์ไฮดรอกไซด์ ($3\text{CaO} \cdot \text{Al}_2\text{O}_3 \cdot \text{Ca}(\text{OH})_2 \cdot 18\text{H}_2\text{O}$) และแคลเซียมคลอไรด์ไฮดรอกไซด์ไฮดรอกไซด์ ($\text{CaCl}_2 \cdot \text{Ca}(\text{OH})_2 \cdot \text{H}_2\text{O}$) ซึ่งเป็นเฟสหลักที่อยู่ในกากของเสียอบแห้ง และเกิดการสลายตัวของคลอไรด์ด้วย และช่วงที่ 2 ที่อุณหภูมิ 700 องศาเซลเซียส: เกิดการสลายตัวของน้ำในโครงสร้างผลึกไดอะสเปอร์ ($\text{Al}_2\text{O}_3 \cdot \text{H}_2\text{O}$) และน้ำในโครงสร้างผลึกที่ยังสลายตัวออกไม่หมดในช่วงแรก

จากผลการวิเคราะห์นี้ช่วยยืนยันได้ว่าสารประกอบคลอไรด์ในกากของเสียมีการสลายตัวได้อย่างสมบูรณ์ที่อุณหภูมิประมาณ 300 องศาเซลเซียส ดังนั้นการนำกากของเสียที่ผ่านการแคลไซน์ที่ 350 องศาเซลเซียส ไปใช้เป็นวัสดุดิบในน้ำเคลือบ จึงน่าจะไม่เกิดปัญหาที่ทำให้น้ำเคลือบเหนียวหรือไหลตัวได้ช้า เนื่องจากสารประกอบคลอไรด์เกิดการสลายตัวไปแล้ว



รูปที่ 4.5 ผลการวิเคราะห์การเปลี่ยนแปลงปฏิกิริยาเคมีและน้ำหนักของกากของเสียเมื่อได้รับความร้อน

4.4 ความหนาแน่นของผงกากของเสีย

ค่าความหนาแน่นของผงกากของเสียอบแห้งที่ได้ทำการวิเคราะห์โดยใช้ขวดพิคโนมิเตอร์ (Pycnometer) คือ 2.0114 กรัมต่อลูกบาศก์เซนติเมตร

4.5 การสูญเสียน้ำหนักหลังการอบและหลังการเผาของกากของเสีย

เมื่อนำกากของเสียที่ยังไม่ผ่านการอบแห้งอยู่ในลักษณะของเหลวชั้น 100 กรัม มาทำการอบให้แห้งที่อุณหภูมิ 110 องศาเซลเซียส พบว่ากากของเสียเหลือน้ำหนักหลังการอบเพียง 20 กรัมเท่านั้น จะเห็นได้ว่าในกากของเสียที่เป็นของเหลวนั้นมีเปอร์เซ็นต์ของของแข็งเพียง 20 เปอร์เซ็นต์เท่านั้น หลังจากนั้นนำกากของเสียไปแคลไซน์ที่อุณหภูมิ 1000 องศาเซลเซียส พบว่าจากเดิมที่มีกากของเสียแข็งอยู่ 20 กรัม แต่เมื่อนำไปแคลไซน์พบว่ากากของเสียเหลือเพียง 14 กรัมเท่านั้น จากผลการวิเคราะห์นี้สามารถกล่าวได้ว่ากากของเสียมีการสูญเสียน้ำหนักหลังการเผาประมาณ 30 เปอร์เซ็นต์ ซึ่งสอดคล้องกับการสูญเสียน้ำหนักของกากของเสียอบแห้งที่แคลไซน์จนถึงอุณหภูมิ 1000 องศาเซลเซียส ดังรูปที่ 4.5 ที่มีการสูญเสียน้ำหนักประมาณ 30 เปอร์เซ็นต์เช่นเดียวกัน ผลการวิเคราะห์ส่วนนี้มีความสำคัญในการคำนวณสูตรเคลือบ เมื่อมีการนำกากของเสียไปใช้เป็นวัตถุดิบในสูตรเคลือบ

บทที่ 5

การใช้กากของเสียเป็นวัตถุดิบในเคลือบเซรามิก

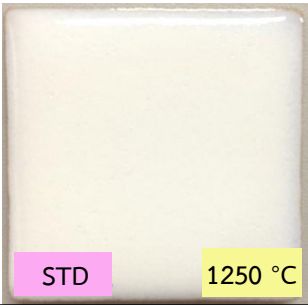
บทที่ 5 ประกอบด้วยผลการทดลองการใช้กากของเสียเป็นวัตถุดิบในเคลือบเซรามิก แบ่งออกเป็น 2 ส่วน ได้แก่ (1) การใช้กากของเสียเป็นวัตถุดิบทดแทนไทเทเนียมไดออกไซด์ทางการค้าในสูตรเคลือบมาตรฐาน และ (2) การปรับสูตรเคลือบ เพื่อศึกษาบทบาทของกากของเสียต่อสมบัติของเคลือบที่ได้

5.1 การเลือกสูตรเคลือบมาตรฐาน

เกณฑ์ในการเลือกสูตรเคลือบมาตรฐาน มีดังนี้

- (1) มีส่วนผสมของไทเทเนียมไดออกไซด์ แคลเซียมออกไซด์ และอะลูมินาในสูตรเคลือบ
- (2) ปริมาณโดยโมลของแคลเซียมออกไซด์และอะลูมิเนียมออกไซด์ ต้องใช้มากกว่าไทเทเนียมไดออกไซด์ เนื่องจากการใช้กากของเสียเป็นวัตถุดิบในเคลือบนั้น จะทำให้ได้ออกไซด์ 3 ชนิด ได้แก่ ไทเทเนียมไดออกไซด์ แคลเซียมออกไซด์ และ อะลูมินา นอกจากนี้ยังต้องมีการใส่วัตถุดิบอื่นๆ อีกเพื่อให้ได้เคลือบที่มีสมบัติตามต้องการ ซึ่งวัตถุดิบเหล่านั้นอาจให้แคลเซียมออกไซด์ และอะลูมินาด้วย หากไม่คำนึงในส่วนนี้ อาจทำให้ออกไซด์ที่ใส่ในเคลือบเกินความจำเป็นได้
- (3) ให้เคลือบที่บสีขาวที่เผาที่อุณหภูมิประมาณ 1200 องศาเซลเซียส ซึ่งเป็นอุณหภูมิที่ใช้ในการเผากระเบื้องโมเสค
- (4) มีชนิดของออกไซด์ในส่วนผสมไม่เกิน 10 ชนิด เพื่อให้ง่ายต่อการเตรียมส่วนผสม
- (5) ส่วนผสมวัตถุดิบอื่นๆ สามารถหาได้ง่ายไม่ซับซ้อน

ผู้วิจัยเลือกสูตรเคลือบที่มีไทเทเนียมไดออกไซด์เป็นองค์ประกอบและเข้าเกณฑ์การเลือกมากที่สุดโดยสูตรเคลือบ Seger Formula และลักษณะของเคลือบมาตรฐานที่ได้จะมีความสุขตัว และมีผิวมันเงาเมื่อเผาที่อุณหภูมิ 1250 องศาเซลเซียส ดังแสดงในรูปที่ 5.1



K ₂ O	0.15	Al ₂ O ₃	0.15	SiO ₂	1.88
MgO	0.17			TiO ₂	0.14
CaO	0.14			ZrO ₂	0.06
$T_{firing} = 1250\text{ }^{\circ}\text{C}$					

รูปที่ 5.1 สูตร Seger Formula และลักษณะของเคลือบที่บสีขาวสูตรมาตรฐาน

ส่วนผสมของวัตถุดิบของเคลือบมาตรฐาน แสดงในตารางที่ 5.1 มีการแทนการเรียกสูตรเคลือบมาตรฐานด้วยเคลือบ STD

ตารางที่ 5.1 ส่วนผสมของวัตถุดิบในเคลือบมาตรฐาน (STD)

วัตถุดิบ	สูตรเคมี	สัดส่วนเปอร์เซ็นต์ (wt%)
โพแทสเซียมเฟลด์สปาร์	$\text{K}_2\text{O}\cdot\text{Al}_2\text{O}_3\cdot 6\text{SiO}_2$	34.1
ซิลิกา	SiO_2	23.8
โดโลไมต์	$\text{CaCO}_3\cdot\text{MgCO}_3$	13.5
หินปูน	CaCO_3	9.5
ซิงก์ออกไซด์	ZnO	9.5
ไทเทเนียมไดออกไซด์ (รูไทล์)	TiO_2	4.8
เซอร์โคเนียมซิลิเกต	ZrSiO_4	4.8

5.2 สูตรทางเคมีของกากของเสีย

การเตรียมส่วนผสมของเคลือบมีความจำเป็นอย่างยิ่งที่จะต้องทราบถึงสูตรทางเคมีของวัตถุดิบทุกตัวรวมไปถึงออกไซด์ที่หลงเหลืออยู่ในเนื้อเคลือบภายหลังการเผา สำหรับการหาสูตรทางเคมีของกากของเสียนั้น จากองค์ประกอบทางเฟสที่พบที่อุณหภูมิการสูงตั้งรูปที่ 4.4 พบว่ากากของเสียมีองค์ประกอบหลัก คือ ไทเทเนียมไดออกไซด์ (TiO_2) แคลเซียมออกไซด์ (CaO) และอะลูมินา (Al_2O_3) กากของเสียจึงน่าจะมีสูตรทางเคมี คือ $a\text{TiO}_2 \cdot b\text{CaO} \cdot c\text{Al}_2\text{O}_3$ เมื่อ a b และ c เป็นจำนวนโมลของออกไซด์ในกากของเสียที่เผาที่ 1200 องศาเซลเซียส จากนั้นจึงคำนวณย้อนกลับว่าเมื่อเตรียมกากของเสียจะใส่กากของเสียลงในส่วนผสมเคลือบในรูปแบบใด ไม่ว่าจะเป็นกากที่อบแห้งหรือกากที่เป็นครีมขาวชั้นโดยอาศัยข้อมูลเปอร์เซ็นต์ของแข็งและการสูญเสียหลังเผา สำหรับงานวิจัยนี้จะมีการใช้กากของเสียในรูปของผงกากอบแห้ง ดังนั้นจำเป็นต้องระบุค่าของ a b และ c และหาอัตราส่วนระหว่าง $a : b : c$ เพื่อให้ทราบสูตรทางเคมีของกากของเสียที่แน่นอน

เมื่อมีการนำกากของเสียไปทำการวิเคราะห์องค์ประกอบทางเคมีด้วย X-ray Fluorescence (XRF) ผลในหัวข้อที่ 4.1.1 นั้นพบว่ากากของเสียมีธาตุ Ti Ca Al และ Cl เป็นองค์ประกอบหลัก

กากอบแห้ง 110 °C				
Ti	48.76 %	เผาสูงกว่า 1000 °C → ไม่มี Cl หลงเหลืออยู่	Ti	48.76
Ca	28.77 %		Ca	28.77
Al	10.61 %		Al	10.61
Cl	10.69 %		Cl	-
ธาตุอื่นๆ	น้อยมาก			
ทั้งหมด 100			ทั้งหมด 88.14	

มวลโมเลกุลของ TiO_2 CaO และ Al_2O_3 มีค่าเท่ากับ 79.88 56 และ 102 กรัมต่อโมล ตามลำดับ (มวลอะตอมของ Ti = 47.88 Ca = 40 Al = 27 และ O = 16 หน่วยเป็นกรัมต่อโมล)

ทำการคำนวณหาน้ำหนักของออกไซด์แต่ละชนิดจากน้ำหนักของธาตุแต่ละธาตุที่ยังคงหลงเหลือภายหลังการเผาเผาจะได้ว่า

$$\text{Ti } 48.76 \% \longrightarrow \frac{W_{\text{TiO}_2}}{W_{\text{Ti}}} = \frac{MW_{\text{TiO}_2}}{MW_{\text{Ti}}} \longrightarrow W_{\text{TiO}_2} = \frac{79.88}{47.88} \times 48.76 = 81.35 \text{ กรัม}$$

$$\text{Ca } 28.77 \% \longrightarrow \frac{W_{\text{CaO}}}{W_{\text{Ca}}} = \frac{MW_{\text{CaO}}}{MW_{\text{Ca}}} \longrightarrow W_{\text{CaO}} = \frac{56}{40} \times 28.77 = 45.71 \text{ กรัม}$$

$$\text{Al } 10.61 \% \longrightarrow \frac{W_{\text{Al}_2\text{O}_3}}{W_{\text{Al}}} = \frac{MW_{\text{Al}_2\text{O}_3}}{MW_{\text{Al}}} \longrightarrow W_{\text{Al}_2\text{O}_3} = \frac{102}{54} \times 10.61 = 20.04 \text{ กรัม}$$

$$\text{จากสูตร จำนวนโมล} = \frac{\text{น้ำหนัก}}{\text{มวลโมเลกุล}}$$

ทำการคำนวณอัตราส่วนโดยโมลของออกไซด์ที่มีในกากของเสีย โมลTiO₂ : โมลCaO : โมลAl₂O₃

- อัตราส่วนโดยโมลของออกไซด์ในกากของเสีย เท่ากับ 81.35/79.88 TiO₂: 45.71/56 CaO : 20.04/102 Al₂O₃
- ได้จำนวนโมลของออกไซด์ในกากของเสียโดยประมาณ เท่ากับ 1.02 TiO₂: 0.82 CaO: 0.19 Al₂O₃

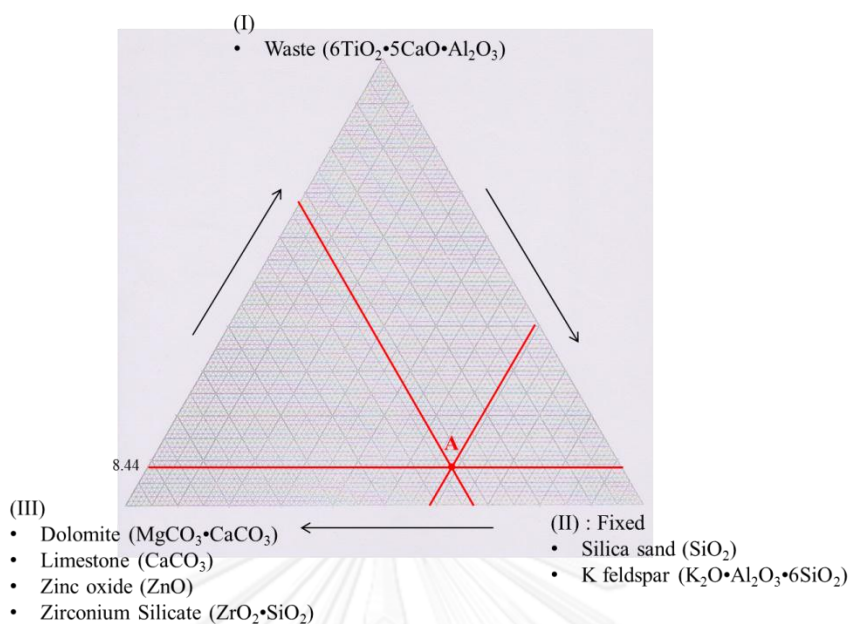
แสดงว่าค่าของ a = 1.02 b = 0.82 และ c = 0.19 เมื่อ a b และ c เป็นค่าจำนวนโมลของ TiO₂ CaO และ Al₂O₃ ตามลำดับ เมื่อทำให้เป็นอัตราส่วนอย่างง่ายของ a : b : c จะได้เป็น 6 : 5 : 1 โดยประมาณ ดังนั้นกากของเสียมีสูตรทางเคมีเป็น 6TiO₂•5CaO•Al₂O₃ และมีมวลโมเลกุลเท่ากับ 862 กรัมต่อโมล

เมื่อทราบสูตรทางเคมีของกากที่ผ่านการแคลไซน์แล้ว การเตรียมส่วนผสมทางเคมีจำเป็นต้องคำนวณย้อนกลับว่าน้ำหนักของกากอบแห้งเท่าใดจึงจะให้ได้ออกไซด์ตรงกับกากที่แคลไซน์แล้ว ตัวอย่างเช่น กากอบแห้ง 100 กรัมมีส่วนที่ไม่ใช่ Loss on ignition (LOI) 70 เปอร์เซ็นต์โดยน้ำหนัก (ส่วนที่เป็น Loss on ignition ประมาณ 30 เปอร์เซ็นต์โดยน้ำหนัก จากหัวข้อ 4.1.5) หากต้องการได้ออกไซด์ 100 กรัมต้องใช้กากอบแห้งเติมลงในส่วนผสม 142.8 กรัม เป็นต้น

5.3 การใช้กากของเสียเป็นวัตถุดิบทดแทนไทเทเนียมไดออกไซด์ทางการค้าในสูตรเคลือบ

มาตรฐาน

ในการทดลองส่วนนี้จะใช้กากของเสียเป็นวัตถุดิบทดแทนไทเทเนียมไดออกไซด์ทางการค้าในสูตรเคลือบมาตรฐาน โดยทำการเตรียมผงเคลือบและน้ำเคลือบสูตรมาตรฐาน แทนด้วย STD และสูตรที่มีการใช้กากของเสียเป็นวัตถุดิบทดแทนไทเทเนียมไดออกไซด์ทางการค้าในสูตรเคลือบมาตรฐาน แทนด้วย A ในสามเหลี่ยม triaxial ดังรูปที่ 5.2 โดยส่วนผสมของเคลือบที่เตรียมตามตารางที่ 5.2 โดยทั้งสองสูตรนี้เมื่อทำการเผาจะมีการให้ออกไซด์หลังการเผาเหมือนกัน อย่างไรก็ตามเคลือบทั้ง 2 สูตรนี้มีอุณหภูมิในการเผาที่แตกต่างกัน โดยเคลือบมาตรฐานมีอุณหภูมิในการเผาเคลือบคือ 1250 องศาเซลเซียส ในขณะที่เคลือบที่มีการใช้กากของเสียเป็นวัตถุดิบนั้นงานวิจัยนี้มีความมุ่งเน้นเพื่อนำไปใช้สำหรับกระเบื้องโมเสคซึ่งต้องการเผาที่อุณหภูมิ 1200 องศาเซลเซียส ดังนั้นเคลือบที่มีการใช้กากของเสียเป็นวัตถุดิบทดแทนจึงมีอุณหภูมิเป้าหมายในการเผา คือ 1200 องศาเซลเซียส ได้ทำการทดสอบสมบัติต่างๆ ของเคลือบ ผลการวิเคราะห์ ดังนี้



รูปที่ 5.2 แผนภาพ triaxial ของเคลือบที่มีการใช้กากของเสียทดแทนวัตถุดิบในเคลือบมาตรฐาน

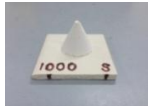
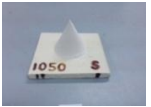
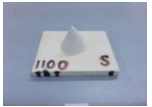
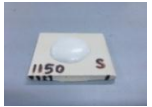
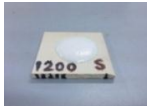
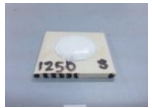


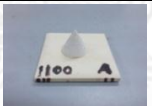



ตารางที่ 5.2 ส่วนผสมของสูตรเคลือบมาตรฐานที่มีการใช้กากของเสียทดแทนวัตถุดิบปกติ

วัตถุดิบ	สูตรเคมี	เคลือบมาตรฐาน (wt%)	เคลือบกาก : จุด A (wt%)
โพแทสเซียมเฟลด์สปาร์	$\text{K}_2\text{O} \cdot \text{Al}_2\text{O}_3 \cdot 6\text{SiO}_2$	34.1	35.5
หินปูน	CaCO_3	9.5	4.9
โดโลไมต์	$\text{CaCO}_3 \cdot \text{MgCO}_3$	13.5	13.5
ซิลิกา	SiO_2	23.8	23.5
ซิงค์ออกไซด์	ZnO	9.5	9.5
ไทเทเนียมไดออกไซด์ (รูไทล์)	TiO_2	4.8	-
เซอร์โคเนียมซิลิเกต	ZrSiO_4	4.8	4.7
กากของเสีย	$6\text{TiO}_2 \cdot 5\text{CaO} \cdot \text{Al}_2\text{O}_3$	-	8.4

5.3.1 พฤติกรรมการหลอมตัวและอุณหภูมิการหลอมตัวเฉพาะของเคลือบ

ทดสอบพฤติกรรมการหลอมตัวของเคลือบโดยการเผาเคลือบด้วยเตาเผาลำดับอุณหภูมิสำหรับเผาโคบอลต์เคลือบซึ่งแบ่งเป็น 6 อุณหภูมิ คือ 1000 1050 1100 1150 1200 และ 1250 องศาเซลเซียส ดังแสดงในตารางที่ 5.3 พบว่าทั้งเคลือบมาตรฐาน STD และเคลือบที่มีการใช้กากของเสียเป็นวัตถุดิบสูตร A นั้น ที่อุณหภูมิ 1000 และ 1050 องศาเซลเซียส เคลือบไม่เกิดการหลอมตัว เมื่อมีการสัมผัสชิ้นงานด้วยมือเปล่า ผงเคลือบมีการหลุดติดมือมา ที่อุณหภูมิระหว่าง 1100 – 1150 องศาเซลเซียส เคลือบทั้งสองสูตร เริ่มเกิดการหลอมตัว โดยเคลือบสูตรมาตรฐาน STD เกิดการหลอมตัวได้มากกว่าสูตร A ที่อุณหภูมิ 1050 องศาเซลเซียส ซึ่งดูได้จากการแผ่รัศมีของเคลือบ ยิ่งเคลือบสามารถแผ่ได้มาก แสดงว่ามีการหลอมตัวได้ดี และที่อุณหภูมิระหว่าง 1200 – 1250 องศาเซลเซียส เคลือบทั้งสองมีการหลอมตัวและลักษณะของผิวเคลือบที่ได้ใกล้เคียงกัน

ตารางที่ 5.3 พฤติกรรมการหลอมตัวของเคลือบ STD และเคลือบที่มีการใช้กากของเสียเป็นวัตถุดิบสูตร A ที่อุณหภูมิ 1000 -1250 องศาเซลเซียส




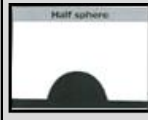

สูตร	อุณหภูมิการเผา					
	1000 °C	1050 °C	1100 °C	1150 °C	1200 °C	1250 °C
Standard (STD)						
A : waste 8.44 wt%						

ผลการวิเคราะห์อุณหภูมิการหลอมตัวเฉพาะของเคลือบมาตรฐาน STD และเคลือบที่มีการใช้กากของเสียเป็นวัตถุดิบสูตร A แสดงในตารางที่ 5.4 พบว่าเคลือบทั้งสองสูตรมีอุณหภูมิในการ sintering softening และ sphere ที่ใกล้เคียงกัน แต่มีอุณหภูมิ hemisphere และ melting ที่แตกต่างกัน โดยเคลือบที่มีการใช้กากของเสียเป็นวัตถุดิบสูตร A มีอุณหภูมิ melting ที่มากกว่าเคลือบมาตรฐาน STD ทั้งๆ ที่ทั้งสองสูตรนี้เมื่อเผาแล้วจะมีองค์ประกอบออกไซด์ที่เหมือนกัน อาจเป็นเพราะว่ากากของเสียที่ใส่ในเคลือบสูตร A มีไทเทเนียมไดออกไซด์ที่อยู่ทั้งในรูปของอะนาเทสและรูไทล์ จึงต้องมีการให้พลังงานในการเปลี่ยนแปลงเฟสจากอะนาเทสไปเป็นรูไทล์ที่อุณหภูมิ 900 องศาเซลเซียส และอาจเกิดจากสารประกอบอื่นๆ ที่เจือปนมากับกากของเสียมีความทนไฟ ทำให้เคลือบมี melting temperature ที่สูงกว่าเคลือบมาตรฐาน STD ขณะที่สูตรเคลือบมาตรฐาน STD มีการใช้ผงไทเทเนียมที่อยู่ในรูปของรูไทล์เพียงอย่างเดียวทำให้มีความสามารถในการเกิดเป็นเนื้อแก้วของเคลือบเกิดได้ง่ายกว่า

กากของเสียมีความเป็นไปได้ในการใช้เป็นวัตถุดิบทดแทนไทเทเนียมไดออกไซด์ทางการค้าในเคลือบมาตรฐาน STD เคลือบทั้งสองสูตรมีพฤติกรรมการหลอมตัวและอุณหภูมิการหลอมตัวเฉพาะที่

ใกล้เคียงกัน ผิวเคลือบที่ได้ทั้งสองสูตรคือเคลือบสีขาวทึบแสง แต่ผิวเคลือบที่ได้จากสูตรเคลือบ A มีความมันวาวมากกว่าเมื่อเทียบกับสูตร STD ที่อุณหภูมิเดียวกัน

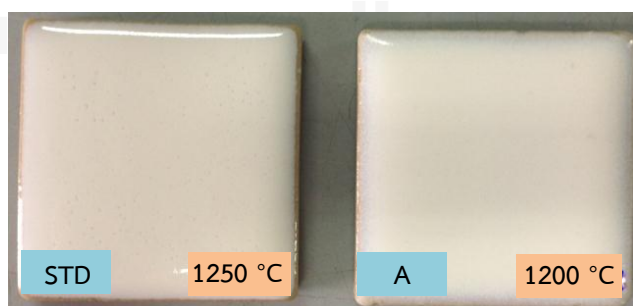
ตารางที่ 5.4 การเปรียบเทียบอุณหภูมิการหลอมตัวเฉพาะของเคลือบมาตรฐาน STD และเคลือบที่มีการใช้กากของเสียเป็นวัตถุดิบสูตร A

เคลือบ	Characteristic temperatures (°C)				
	sintering	softening	sphere	half-sphere	melting
					
STD	1097	1128	1163	1164	1182
A (8.44 wt%)	1080	1124	1173	1175	1216

wt% หมายถึงสัดส่วนของกากของเสียในส่วนผสมเคลือบ หน่วยเป็นเปอร์เซ็นต์โดยน้ำหนัก

5.3.2 ลักษณะทางกายภาพและค่าสีของเคลือบ



จากการสังเกตลักษณะของผิวเคลือบสูตรมาตรฐาน STD ที่เผาที่อุณหภูมิ 1250 องศาเซลเซียส และสูตรที่มีการใช้กากของเสียทดแทนวัตถุดิบทางการค้าในสูตรมาตรฐานสูตร A ที่เผาที่อุณหภูมิ 1200 องศาเซลเซียสแสดงดังรูปที่ 5.3 พบว่าผิวเคลือบที่ได้จากเคลือบทั้งสองชนิดได้เคลือบที่มีผิวมันเงาสีขาวทึบ จากการสังเกตด้วยตาเปล่าพบว่าเคลือบที่มีการใช้กากของเสียเป็นวัตถุดิบสูตร A จะมีความขรุขระน้อยกว่าเคลือบมาตรฐาน STD เล็กน้อย เคลือบทั้งสองสามารถปกปิดผิวของเนื้อกระเบื้องได้ดี ไม่เกิดการไหลเอิ้มของเคลือบ และไม่เกิดตำหนิบนเคลือบ เช่น การรานตัวหรือการเกิดรูพรุน ทั้งนี้เนื่องจากเคลือบทั้งสองชนิดน่าจะมีค่าสัมประสิทธิ์การขยายตัวทางความร้อนระหว่างเนื้อดินและเคลือบที่ใกล้เคียงกัน



รูปที่ 5.3 ลักษณะของเคลือบมาตรฐาน STD เผาที่ 1250 องศาเซลเซียส และเคลือบที่มีการใช้กากของเสียเป็นวัตถุดิบสูตร A เผาที่ 1200 องศาเซลเซียส

เมื่อเราสังเกตด้วยตาเปล่า จะเห็นว่าเคลือบสูตร A มีสีขาวกว่าเคลือบมาตรฐาน STD แต่เคลือบมาตรฐาน STD มีความทึบแสงมากกว่าเคลือบสูตร A เล็กน้อย สำหรับค่าสีของเคลือบที่วัดด้วยเครื่อง spectrophotometer แสดงในตารางที่ 5.5 โดยแสดงด้วยค่า L a^* และ b^* ค่า L^* บ่งบอกถึงค่าความสว่าง แกน a^* และ b^* บ่งบอกถึงค่าสี โดย $-a$ $+a$ $-b$ และ $+b$ จะแสดงความเป็นสีเขียว แดง น้ำเงิน และเหลืองตามลำดับ จากผลการวัดค่าสีพบว่า เคลือบมาตรฐาน STD มีค่าความสว่างมากกว่าเคลือบสูตร A ซึ่งมีค่าความสว่าง คือ 94.53 และ 91.95 เปอร์เซนต์ตามลำดับ และเคลือบสูตร A มีค่าความเขียวมากกว่าเคลือบมาตรฐาน STD สาเหตุที่เคลือบมีค่าความสว่างที่ต่ำกว่าเคลือบมาตรฐาน STD นั้น อาจเนื่องมาจากสิ่งเจือปนที่มากับกากของเสียที่ใส่เป็นวัตถุดิบในเคลือบ

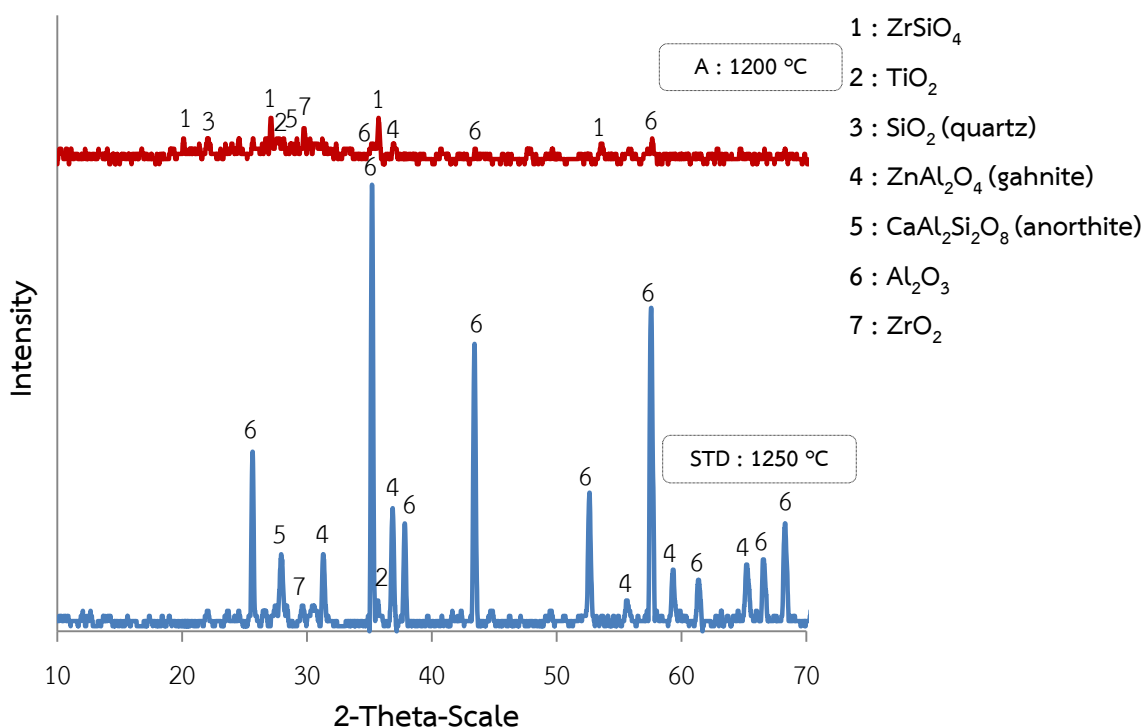
ตารางที่ 5.5 ค่าสีของเคลือบมาตรฐาน STD และเคลือบที่มีการใช้กากของเสียเป็นวัตถุดิบสูตร A

ค่าสี	เคลือบ	
	STD	A (8.44 wt%)
L (whiteness)	94.53	91.95
a^* (green-red)	-0.64	-1.72
b^* (blue-yellow)	1.81	-1.32
ลักษณะสีเคลือบ		
dL ($L-L_{STD}$)	-	2.58
da^* ($a-a_{STD}$)	-	1.08
db^* ($b-b_{STD}$)	-	3.13
dE*		4.198

wt% หมายถึงสัดส่วนของกากของเสียในส่วนผสมเคลือบ หน่วยเป็นเปอร์เซ็นต์โดยน้ำหนัก

5.3.3 องค์ประกอบทางเฟสของเคลือบหลังเผา

จากการวิเคราะห์องค์ประกอบทางเฟสของเคลือบหลังเผาของเคลือบมาตรฐาน STD และเคลือบที่มีการใช้กากของเสียเป็นวัตถุดิบทดแทนไทเทเนียมไดออกไซด์ทางการค้าสูตร A รูปที่ 5.4 พบว่าเคลือบทั้งสองชนิดมีเฟสองค์ประกอบที่คล้ายคลึงกัน คือพบเฟสของเซอร์โคเนียมซิลิเกต ($ZrSiO_4$) ไทเทเนียมไดออกไซด์ (TiO_2) ซิลิกา (SiO_2) ซิงก์อะลูมิเนต ($ZnAl_2O_4$) อะนอร์ไทต์ ($CaAl_2Si_2O_8$) และอะลูมินา (Al_2O_3) เนื่องจากเมื่อทำการเผาวัตถุดิบของเคลือบทั้งสองชนิดนั้นเคลือบทั้งสองชนิดจะให้ออกไซด์ที่เหมือนกัน แต่ฟิสิกของเคลือบมาตรฐาน STD มีความเป็นฟิสิกชัดเจนกว่าเคลือบสูตร A ทั้งนี้อาจเนื่องมาจากเคลือบสูตร A มีการใช้กากของเสียที่มีความเป็นผลึกต่ำเป็นวัตถุดิบนั่นเอง



รูปที่ 5.4 องค์ประกอบทางเฟสของเคลือบสูตรมาตรฐาน STD และเคลือบที่มีการใช้กากของเสียเป็นวัตถุดิบสูตร A

5.3.4 สัมประสิทธิ์การขยายตัวทางความร้อน

จากทฤษฎีที่ได้กล่าวไว้ว่าการที่เคลือบจะสามารถยึดเกาะผลิตภัณฑ์ได้ดี มีความแข็งแรง และไม่เกิดการแตกรานเมื่อใช้งานนั้น การขยายตัวทางความร้อนของเคลือบควรมีค่าต่ำกว่าเนื้อดิน เพื่อให้เคลือบอยู่ภายใต้สภาวะกดอัด (Compression) [9] จากการวิเคราะห์ค่าสัมประสิทธิ์ทางความร้อนของเนื้อดินและเคลือบดังแสดงในตารางที่ 5.6 พบว่าเมื่อเปรียบเทียบค่าสัมประสิทธิ์การขยายตัวทางความร้อนของเนื้อดินและเคลือบมาตรฐาน STD ที่เผาที่อุณหภูมิเดียวกัน คือ 1250 องศาเซลเซียส ค่าสัมประสิทธิ์การขยายตัวทางความร้อนของเคลือบมีค่าสูงกว่าเนื้อดิน โดยค่าสัมประสิทธิ์การขยายตัวทางความร้อนของเนื้อดินและเคลือบ คือ 7.98×10^{-6} และ 8.83×10^{-6} ต่อองศาเซลเซียส ตามลำดับ ทำให้เคลือบอยู่ในสภาวะแรงดึง (Tension) ซึ่งจะส่งผลให้เคลือบอาจเกิดการร้าวได้ในอนาคต และเมื่อเปรียบเทียบค่าสัมประสิทธิ์การขยายตัวทางความร้อนระหว่างเนื้อดินและเคลือบที่มีการใช้กากของเสียเป็นวัตถุดิบทดแทนไทเทเนียมไดออกไซด์ทางการค้าสูตร A ที่เผาที่อุณหภูมิเดียวกัน คือ 1200 องศาเซลเซียส พบว่าเคลือบมีค่าสัมประสิทธิ์การขยายตัวทางความร้อนที่ต่ำกว่าเนื้อดิน ทำให้เคลือบอยู่ในสภาวะแรงอัด ทำให้ได้เคลือบที่สามารถยึดติดกับเนื้อกระเบื้องโมเสคได้ดี เคลือบมีความแข็งแรง และไม่เกิดการร้าวเมื่อใช้งานในอนาคต จากส่วนนี้จะเห็นได้ว่าเคลือบที่เตรียมได้จากกากของเสียสูตร A นี้สามารถปิดคลุมผิวของผลิตภัณฑ์ได้ดีกว่าเคลือบมาตรฐาน STD

ตารางที่ 5.6 ค่าสัมประสิทธิ์การขยายตัวทางความร้อนของเนื้อดินและของเคลือบมาตรฐาน STD และเคลือบที่มีการใช้กากของเสียเป็นวัตถุดิบสูตร A

เคลือบ	coefficient of thermal expansion, COE ($\times 10^{-6} \text{ }^{\circ}\text{C}^{-1}$)	$\Delta\text{COE} (\text{COE}_{\text{body}} - \text{COE}_{\text{glaze}})$
body (1250 $^{\circ}\text{C}$)	7.98	
STD	8.83	-0.85
body (1200 $^{\circ}\text{C}$)	8.70	
A (8.44 wt%)	7.90	0.80

wt% หมายถึงสัดส่วนของกากของเสียในส่วนผสมเคลือบ หน่วยเป็นเปอร์เซ็นต์โดยน้ำหนัก

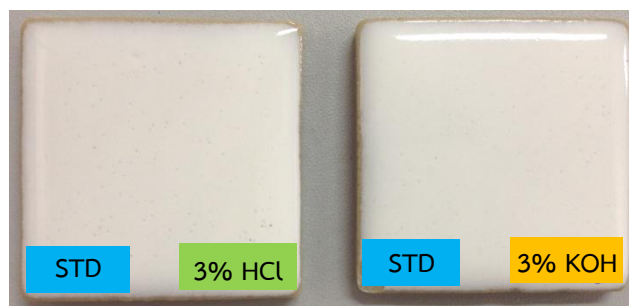
5.3.5 ความทนทานต่อสารเคมี

ระดับความทนทานต่อสารเคมีของเคลือบมาตรฐาน STD และเคลือบสูตร A แสดงดังตารางที่ 5.7 จากการทดสอบนั้นพบว่าเคลือบทั้ง 2 ชนิด สามารถทนทานต่อกรด (3% HCl) และด่าง (3% KOH) ได้ในระดับดีมาก โดยอยู่ในระดับ A คือ เมื่อทำการแช่กรดและด่างเป็นเวลา 4 วันแล้ว ปรากฏว่าสีและผิวของเคลือบไม่เกิดการเปลี่ยนแปลง เมื่อทำการเปรียบเทียบระหว่างผิวที่ถูกทดสอบและผิวที่ไม่ถูกทดสอบพบว่า การสะท้อนแสงของเคลือบยังสามารถสะท้อนแสงได้ดีเหมือนเดิม ลักษณะของผิวเคลือบที่ผ่านการทดสอบแล้วแสดงในรูปที่ 5.5 สำหรับเคลือบมาตรฐาน STD และรูปที่ 5.6 สำหรับเคลือบสูตร A

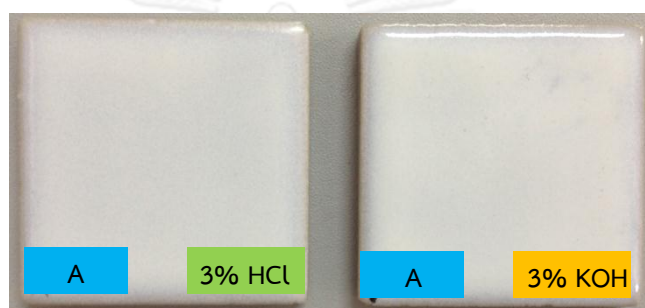
ตารางที่ 5.7 ระดับความทนทานต่อสารเคมีของเคลือบมาตรฐาน STD และเคลือบที่มีการใช้กากของเสียเป็นวัตถุดิบสูตร A

เคลือบ	ระดับความทนทานต่อสารเคมี	
	HCl 3%	KOH 3%
STD	GA	GA
A (8.44 wt%)	GA	GA

wt% หมายถึงสัดส่วนของกากของเสียในส่วนผสมเคลือบ หน่วยเป็นเปอร์เซ็นต์โดยน้ำหนัก



รูปที่ 5.5 ลักษณะผิวของเคลือบมาตรฐาน STD ที่ผ่านการทดสอบความทนทานต่อสารเคมี



รูปที่ 5.6 ลักษณะผิวของเคลือบสูตร A ที่ผ่านการทดสอบความทนทานต่อสารเคมี

5.3.6 ความแข็งและความทนทานต่อการขีดข่วน

ค่าความแข็งและความทนทานต่อการขีดข่วนของเคลือบแสดงในตารางที่ 5.8 เคลือบเซรามิกจัดเป็นวัสดุที่มีความเปราะ ดังนั้นจึงมีค่าความแข็งที่ไม่สูงมากนัก [49] เมื่อทดสอบความทนทานต่อการขีดข่วนของเคลือบด้วยเครื่อง sand falling เคลือบที่ทนทานต่อการขีดข่วนได้มาก จะมีการสูญเสียน้ำหนักของเคลือบต่ำ ค่าความแข็งและความทนทานต่อการขีดข่วนของเคลือบแสดงในตารางที่ 5.8 พบว่าเคลือบทั้งสองชนิดมีความแข็งที่ใกล้เคียงกัน แต่เคลือบมาตรฐาน STD สามารถทนทานต่อการขีดข่วนได้ดีกว่าเคลือบสูตร A เล็กน้อย

ตารางที่ 5.8 ความแข็งและความทนทานต่อการขีดข่วนของเคลือบมาตรฐาน STD และเคลือบที่มีการใช้กากของเสียเป็นวัตถุดิบสูตร A

เคลือบ	Vickers hardness, H_v (GPa)	น้ำหนักที่หายไปหลังทำการทดสอบ ความต้านทานต่อการขีดข่วน (%)
STD	4.5134 ± 0.2880	0.084 ± 0.030
A (8.44 wt%)	4.6021 ± 0.3390	0.101 ± 0.008

wt% หมายถึงสัดส่วนของกากของเสียในส่วนผสมเคลือบ หน่วยเป็นเปอร์เซ็นต์โดยน้ำหนัก

5.4 การปรับสูตรเคลือบ

5.4.1 การปรับสูตรเคลือบโดยการเพิ่มปริมาณกากของเสียในสูตรเคลือบ โดยที่วัตถุดิบตัวอื่นๆ ลดลงในอัตราส่วนเท่าๆ กัน

การทดลองส่วนนี้เป็นการปรับส่วนผสมของเคลือบ โดยมีการเพิ่มปริมาณของกากของเสียในสูตรเคลือบ และกำหนดให้วัตถุดิบตัวอื่นๆ ในสูตรนั้นลดลงในสัดส่วนคงที่ จากเดิมที่สูตร A มีปริมาณกากของเสีย คือ 8.44 เปอร์เซ็นต์โดยน้ำหนักนั้น ในส่วนนี้จะทำการเพิ่มปริมาณกากของเสียในสูตรเคลือบเป็น 15 20 25 และ 30 เปอร์เซ็นต์โดยน้ำหนัก และทำการแทนสัญลักษณ์แต่ละสูตรด้วย B* C* D* และ E* ตามลำดับ ส่วนผสมของวัตถุดิบแสดงใน ตารางที่ 5.9

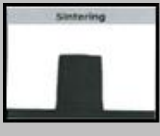


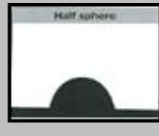

5.4.1.1 อุณหภูมิการหลอมตัวเฉพาะของเคลือบ

ค่าการหลอมตัวเฉพาะของเคลือบแสดงในตารางที่ 5.10 พบว่าค่าการหลอมตัวเฉพาะของเคลือบเมื่อทำการปรับสูตรเคลือบไม่แตกต่างกันมากนัก เนื่องจากเมื่อทำการปรับสูตรเคลือบแล้ว วัตถุดิบที่เป็นตัวลดจุดสุกตัวของเคลือบนั้นมีปริมาณที่ไม่แตกต่างกันมากนัก วัตถุดิบที่มีจุดหลอมเหลวสูงได้แก่ ซิลิกา ลดลง ในขณะที่หินปูนและไทเทเนียมไดออกไซด์ซึ่งเป็นตัวหนไฟเพิ่มขึ้น ดังนั้นวัตถุดิบที่มีผลต่ออุณหภูมิในการหลอมตัวจึงไม่แตกต่างกันไปจากเดิมด้วย จึงเป็นเหตุให้อุณหภูมิในการหลอมตัวไม่แตกต่างกัน

ตารางที่ 5.9 ส่วนผสมของสูตรเคลือบที่ทำการปรับสูตรเคลือบ โดยเพิ่มปริมาณกากของเสียในสูตรเคลือบ และวัตถุดิบตัวอื่นๆ ลดลงในอัตราส่วนเท่าๆ กัน

วัตถุดิบ	สัดส่วนโดยน้ำหนัก (wt%)				
	STD	A	B*	C*	D*
โพแทสเซียมเฟลด์สปาร์	34.13	35.52	32.98	31.04	29.10
ซิลิกา	23.81	23.49	21.81	20.52	19.24
โดโลไมต์	13.49	13.35	12.39	11.66	10.94
หินปูน	9.52	4.89	4.54	4.27	4.00
ซิงก์ออกไซด์	9.52	9.65	8.96	8.43	7.90
เซอร์โคเนียมซิลิเกต	4.76	4.67	4.34	4.08	3.83
ไทเทเนียมไดออกไซด์ (รูไทล์)	4.76	-	-	-	-
กากของเสีย	-	8.44	15.00	20.00	25.00

ตารางที่ 5.10 อุณหภูมิการหลอมตัวเฉพาะของเคลือบที่มีการเพิ่มปริมาณกากของเสียในสูตรเคลือบ และวัตถุดิบตัวอื่นๆ ลดลงในอัตราส่วนเท่าๆ กัน

เคลือบ (% ของกากของเสีย)	Characteristic temperature (°C)				
	sintering	softening	sphere	half-sphere	melting
					
STD	1097	1128	1163	1164	1182
A (8.44 wt%)	1080	1124	1173	1175	1216
B* (15 wt%)	1099	1149	1193	1194	1206
C* (20 wt%)	1133	1153	1188	1189	1205
D* (25 wt%)	1107	1152	1185	1186	1201

wt% หมายถึงสัดส่วนของกากของเสียในส่วนผสมเคลือบ หน่วยเป็นเปอร์เซ็นต์โดยน้ำหนัก

5.4.1.2 ลักษณะทางกายภาพของเคลือบ

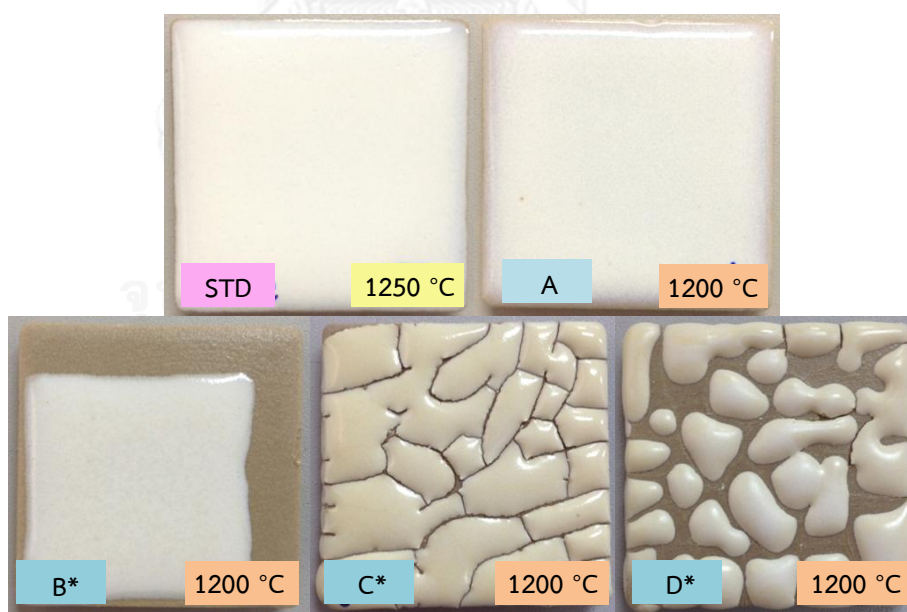
เมื่อมีน้ำในเคลือบสูตร B* C* และ D* มาเคลือบลงบนผิวผลิตภัณฑ์ และวางชิ้นงานที่เคลือบแล้วทิ้งไว้ให้แห้งในอากาศ พบว่าเคลือบเกิดการแตกร้าวดังรูปที่ 5.7 การยึดติดระหว่างชั้นเคลือบกับผลิตภัณฑ์ยึดติดได้ไม่ดี และเมื่อทำการหีบชิ้นงาน เคลือบมีการหลุดติดมือขึ้นมา ซึ่งแตกต่างกับเคลือบมาตรฐาน STD และเคลือบที่มีการใช้กากของเสียเป็นวัตถุดิบสูตร A ที่สามารถปกคลุมผิวของผลิตภัณฑ์ได้ดีและไม่เกิดการแตกร้าวหลังชุบเคลือบ ทั้งนี้เนื่องจากการปรับเคลือบของสูตร B* C* และ D* เคลือบที่ได้มีสมบัติในการยึดหยุ่นได้น้อย ทำให้เคลือบเกิดการแตกร้าวเนื่องจากความเครียด ส่งผลให้เคลือบเกิดการดึงตัวและผิวเคลือบผลิตภัณฑ์เป็นหย่อมๆ เนื่องจากกากของเสียที่มีการใช้เป็นวัตถุดิบเคลือบนั้นมีความละเอียด และเกิดการหดตัวหลังชุบเคลือบมากเกินไป ดังนั้นเมื่อมีการใส่กากของเสียในสูตรเคลือบในปริมาณมากขึ้น ก็ย่อมทำให้ชั้นเคลือบเกิดการแตกร้าวมากขึ้นด้วย การแก้ปัญหาทำได้ด้วยการแช่ผิวชิ้นงานก่อนทำการชุบเคลือบให้ชุ่มน้ำ ลดความหนาของชั้นเคลือบ หรืออาจเติมวัตถุดิบที่ทำหน้าที่เป็นตัวยึดเกาะ (Binder) ลงในเคลือบ [9]



รูปที่ 5.7 ลักษณะการแตกร้าวของเคลือบสูตร B* C* และ D* เมื่อแห้งแล้ว

เมื่อนำเคลือบสูตร B* C* และ D* ไปทำการเผาที่อุณหภูมิ 1200 องศาเซลเซียส แล้วเปรียบเทียบกับลักษณะเคลือบสูตร B* C* และ D* กับเคลือบมาตรฐาน STD และเคลือบสูตร A แสดงในรูปที่ 5.8 พบว่าเคลือบสูตร B* มีผิวเคลือบเรียบเนียนมันเงาสวยงาม แต่เคลือบเกิดการร้งตัวมากกว่าเนื้อดินอย่างเห็นได้ชัด จนเห็นผิวของผลิตภัณฑ์ ส่วนเคลือบสูตร C* และ D* ผิวเคลือบเกิดการดั่งร้งมากขึ้น เคลือบเกิดตำหนิที่เรียกว่าเคลือบร่น (Crawling) โดยเคลือบสูตร C* และ D* นั้นเกิดตำหนิที่รุนแรงมากจนเกิดการแตกของชั้นเคลือบ เห็นเนื้อของผลิตภัณฑ์อย่างชัดเจน สาเหตุของการเกิดเคลือบร่นเกิดจากการที่ขนาดอนุภาคของน้ำเคลือบมีความละเอียดมากเกินไป มีปริมาณของซิลิกาในเคลือบมากเกินไป ปริมาณดินในเคลือบมากเกินไปและการใช้วัตถุดิบบางตัว เช่น ซิงก์ออกไซด์ (ZnO) แมกนีเซียมคาร์บอเนต ($MgCO_3$) ทำให้เคลือบหดตัวมาก และการใช้วัตถุดิบที่มีความหดตัวมาก [50]

จากการปรับส่วนผสมของสูตรเคลือบในส่วนนี้ ได้ทำการปรับสูตรเคลือบโดยการเพิ่มปริมาณของกากของเสีย แต่วัตถุดิบตัวอื่นๆ ลดลง ดังนั้นการเกิดการร่นของเคลือบในส่วนนี้ จึงเกิดจากการที่ใช้กากของเสียที่มีความละเอียดและความหดตัวสูง ดังนั้นการใส่กากของเสียในเคลือบในปริมาณมาก เคลือบที่ได้หลังบดมีความละเอียดมากเกินไป และการหดตัวที่สูงของกากของเสียในเคลือบ ก็ส่งผลให้เคลือบที่ได้มีการหดตัวที่มากขึ้นตามไปด้วย

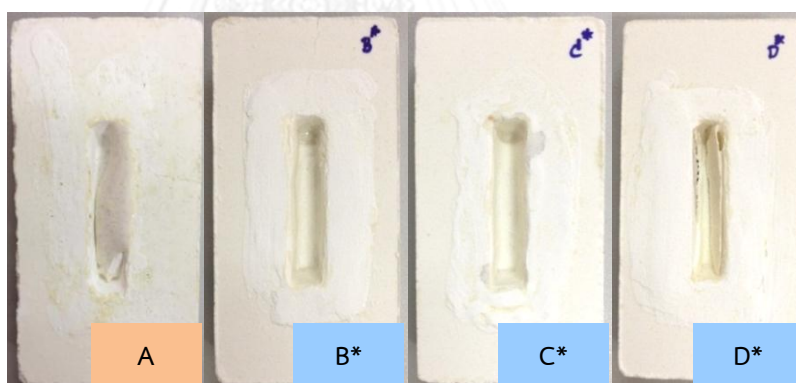


รูปที่ 5.8 ลักษณะของเคลือบสูตร B* C* และ D* เปรียบเทียบกับเคลือบมาตรฐาน STD และเคลือบสูตร A

นอกจากการเกิดตำหนิในเคลือบแล้ว ยังสังเกตได้ว่าเมื่อมีการใส่กากของเสียในสูตรเคลือบมากขึ้น ยังทำให้เคลือบมีสีเหลืองนวลอีกด้วย ทั้งนี้เนื่องจากการใส่ปริมาณกากเพิ่มขึ้น ทำให้ปริมาณของไทเทเนียมไดออกไซด์เพิ่มขึ้น ซึ่งไทเทเนียมไดออกไซด์นั้น นอกจากจะเป็นตัวที่ให้ความทึบแสงในเคลือบแล้ว ยังเป็นตัวที่ทำให้เกิดสีเหลืองในเคลือบด้วย นอกจากนี้เคลือบที่ได้ยังมีความมันวาวลดลง เนื่องจากปริมาณของซิลิกาที่เป็นตัวที่ทำให้เกิดเนื้อแก้วในเคลือบลดลง และมีไทเทเนียมไดออกไซด์ซึ่งเป็นตัวทนไฟเพิ่มขึ้น ทำให้ผิวเคลือบมีความมันวาวลดลง

5.4.1.3 สัมประสิทธิ์การขยายตัวทางความร้อน

จากลักษณะของเคลือบที่หดตัวมากนั้น จึงต้องทำการวิเคราะห์สัมประสิทธิ์การขยายตัวทางความร้อนของเคลือบเพิ่มเติม โดยเตรียมชิ้นงานด้วยวิธีตามข้อที่ 3.2.2.3.4 แต่ในขั้นตอนการเตรียมชิ้นงานพบว่าเคลือบสูตร B* C* และ D* มีการหดตัวมากเกินไป เคลือบหลอมและแกะติดตามขอบแบบ ซึ่งต่างจากเคลือบสูตร A ที่ชิ้นงานสามารถเตรียมและแกะออกจากแบบได้ง่าย ดังรูปที่ 5.9 ทำให้เคลือบสูตร B* C* และ D* ไม่สามารถเตรียมชิ้นงานสำหรับการวิเคราะห์หาค่าสัมประสิทธิ์การขยายตัวทางความร้อนได้



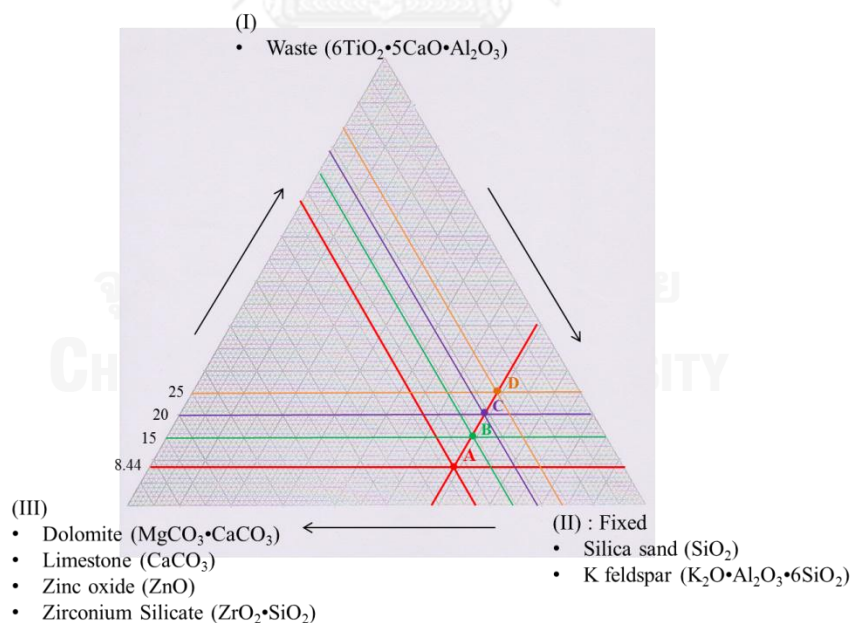
รูปที่ 5.9 การหดตัวของเคลือบภายในแบบสำหรับเตรียมชิ้นงานของเคลือบสูตร B* C* และ D* เปรียบเทียบกับเคลือบสูตร A

จากลักษณะของเคลือบที่ได้มีความหดตัวของเคลือบมาก และเคลือบที่ได้ไม่สวยงามตามต้องการ ทำให้การวิเคราะห์สมบัติของเคลือบอื่นๆ ไม่มีความจำเป็นต้องทำการวิเคราะห์และทดสอบ เพราะเคลือบที่ทำการปรับส่วนนี้ไม่มีแนวโน้มในการนำไปใช้เป็นเคลือบเซรามิกสำหรับกระเบื้องได้

5.4.2 การปรับสูตรเคลือบโดยใช้แผนภาพ triaxial

5.4.2.1 การปรับสูตรเคลือบโดยการเพิ่มปริมาณกากของเสียในสูตรเคลือบ โดยที่วัตถุดิบกลุ่ม II (ซิลิกาและโพแทสเซียมเฟลด์สปาร์) คงที่ และวัตถุดิบกลุ่ม III (โดโลไมต์ หินปูน ชิงก์ออกไซด์ และเซอร์โคเนียมซิลิเกต) ลดลง

ในการทดลองส่วนนี้จะมีการปรับสูตรเคลือบโดยการเพิ่มปริมาณกากของเสียในสูตรเคลือบ ในขณะที่วัตถุดิบกลุ่ม II ซึ่งเป็นวัตถุดิบที่ให้เนื้อแก้วและช่วยลดจุดสุกตัวของเคลือบที่เป็นอัลคาไลหมู่ที่ 1 ได้แก่ ซิลิกา และโพแทสเซียมเฟลด์สปาร์คงที่ และวัตถุดิบกลุ่ม III ซึ่งเป็นวัตถุดิบที่ให้ความทึบแสงและช่วยลดจุดสุกตัวของเคลือบที่เป็นอัลคาไลหมู่ที่ 2 ได้แก่ โดโลไมต์ หินปูน ชิงก์ออกไซด์ และเซอร์โคเนียมซิลิเกตลดลง ได้มีการกำหนดให้เคลือบสูตร A ที่เป็นสูตรที่มีการใช้กากของเสียเป็นวัตถุดิบทดแทนไทเทเนียมไดออกไซด์ทางการค้าในสูตรเคลือบมาตรฐาน STD โดยมีปริมาณของกากของเสียอยู่ในสูตรเคลือบเท่ากับ 8.44 เปอร์เซ็นต์โดยน้ำหนักเป็นสูตรตั้งต้น และทำการเพิ่มปริมาณกากของเสียในสูตรเคลือบเป็น 15 20 และ 25 เปอร์เซ็นต์โดยน้ำหนัก ซึ่งแสดงด้วยจุด B C และ D ตามลำดับ โดยได้แสดงสัดส่วนของวัตถุดิบในแผนภาพ triaxial ดังรูปที่ 5.10 และปริมาณของวัตถุดิบที่ได้คำนวณไว้ในตารางที่ 5.11 ได้ทำการทดสอบสมบัติต่างๆ ของเคลือบ มีผลการวิเคราะห์ ดังนี้



รูปที่ 5.10 แผนภาพ triaxial ของสูตรเคลือบที่มีการปรับสูตรเคลือบโดยการเพิ่มปริมาณกากของเสีย

ตารางที่ 5.11 ส่วนผสมของสูตรเคลือบที่มีการปรับโดยการเพิ่มปริมาณกากของเสีย

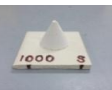
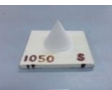
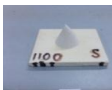
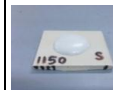
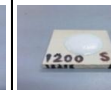

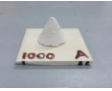
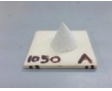
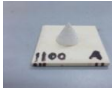
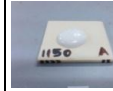
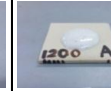

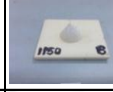





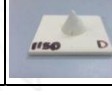


วัตถุดิบ	สัดส่วนโดยน้ำหนัก (wt%)			
	A	B	C	D
โพแทสเซียมเฟลด์สปาร์	35.5	35.5	35.5	35.5
ซิลิกา	23.5	23.5	23.5	23.5
โดโลไมต์	13.5	10.7	8.6	6.6
หินปูน	4.9	3.9	3.2	2.4
ซิงก์ออกไซด์	9.5	7.7	6.2	4.7
เซอร์โคเนียมซิลิเกต	4.7	3.7	3.0	2.3
กากของเสีย	8.4	15.0	20.0	25.0

5.4.2.1.1 พฤติกรรมการหลอมตัวและอุณหภูมิการหลอมตัวเฉพาะของเคลือบ

พฤติกรรมการหลอมตัวและอุณหภูมิการหลอมตัวเฉพาะของเคลือบแสดงในตารางที่ 5.12 และตารางที่ 5.13 ตามลำดับ ในการปรับสูตรเคลือบส่วนนี้ได้มีการกำหนดให้วัตถุดิบกลุ่ม II ได้แก่ ซิลิกาและโพแทสเซียมเฟลด์สปาร์ ซึ่งเป็นวัตถุดิบที่ทำให้เกิดเนื้อแก้วและช่วยลดจุดสุกตัวของเคลือบ คงที่ ดั้งนั้นสมบัติต่างๆ ของเคลือบจึงขึ้นอยู่กับสัดส่วนของวัตถุดิบ คือ กากของเสียที่มีสัดส่วนที่เพิ่มขึ้น และวัตถุดิบกลุ่ม III ได้แก่ โดโลไมต์ หินปูน ซิงก์ออกไซด์ และเซอร์โคเนียมซิลิเกตที่ลดลง จากการวิเคราะห์พฤติกรรมการหลอมตัวของเคลือบแสดงในตารางที่ 5.12 พบว่าที่อุณหภูมิ 1000 – 1100 องศาเซลเซียส เคลือบสูตร B C และ D ไม่เกิดการหลอมตัวเลย และเมื่อทำการสัมผัส โคนเคลือบ เคลือบมีการหลุดติดมือออกมาเป็นผง การเพิ่มปริมาณของกากของเสียในสูตรเคลือบจาก สูตร A ที่มีปริมาณกากของเสียเท่ากับ 8.44 เปอร์เซ็นต์โดยน้ำหนัก เป็น 15 20 และ 25 เปอร์เซ็นต์ โดยน้ำหนักนั้น ส่งผลให้ความสามารถในการหลอมตัวของเคลือบลดลง โดยพิจารณาได้จากอุณหภูมิ 1150 – 1250 องศาเซลเซียส คือ เมื่อมีการเพิ่มปริมาณกากของเสีย และลดวัตถุดิบกลุ่ม III เคลือบ หลอมตัวได้ยากขึ้น ดูได้จากการรัศมีการแผ่ของเคลือบ เคลือบมีรัศมีน้อยลง เมื่อเทียบกับเคลือบ มาตรฐาน STD และเคลือบสูตร A ทั้งนี้เนื่องจากการเพิ่มปริมาณกากของเสีย นอกจากจะทำให้ ปริมาณไทเทเนียมไดออกไซด์ในสูตรเคลือบเพิ่มขึ้นแล้ว ยังทำให้ปริมาณแคลเซียมออกไซด์ และ อะลูมินาเพิ่มขึ้นอีกด้วย เนื่องจากในกากของเสียมีส่วนประกอบหลัก คือ ไทเทเนียมไดออกไซด์ แคลเซียมออกไซด์ และอะลูมินา ไทเทเนียมไดออกไซด์เป็นตัวที่ทำให้เกิดความทึบแสง อะลูมินาเป็น ตัวที่มีความทนไฟสูงจึงทำให้เคลือบหลอมตัวได้ยาก และเป็นตัวทำให้เคลือบมีความหนืดสูง นอกจากนี้วัตถุดิบกลุ่ม III ที่มีวัตถุดิบหินปูน และโดโลไมต์ ซึ่งเป็นวัตถุดิบที่ให้แคลเซียมออกไซด์ใน เคลือบ เป็นตัวลดจุดหลอมตัวของเคลือบที่อุณหภูมิสูงยังคงลดลง และถึงแม้มีการทดแทนด้วยปริมาณ






ของแคลเซียมออกไซด์ที่ได้จากกากของเสีย แต่ก็ยังทดแทนได้ไม่เพียงพอ ก็ยิ่งช่วยส่งเสริมให้เคลือบหลอมตัวที่อุณหภูมิสูงขึ้นอีกด้วย

ตารางที่ 5.12 พฤติกรรมการหลอมตัวของเคลือบที่มีการเพิ่มปริมาณกากของเสียในสูตรเคลือบที่อุณหภูมิ 1000 -1250 องศาเซลเซียส

สูตร (กลุ่ม II คงที่ = 59 wt%)	อุณหภูมิการเผา					
	1000 °C	1050 °C	1100 °C	1150 °C	1200 °C	1250 °C
มาตรฐาน (STD)						
A : กากของเสีย 8.44 wt% กลุ่ม III : 31.6 wt%						
B : กากของเสีย 15 wt% กลุ่ม III : 26 wt%	← ไม่หลอมตัว →					
C : กากของเสีย 20 wt% กลุ่ม III : 21 wt%	← ไม่หลอมตัว →					
D : กากของเสีย 8.44 % กลุ่ม III : 15 wt%	← ไม่หลอมตัว →					

จากการวิเคราะห์อุณหภูมิการหลอมตัวเฉพาะในตารางที่ พบว่าเคลือบมีอุณหภูมิการหลอมตัวเฉพาะเพิ่มขึ้น เมื่อมีการเพิ่มปริมาณกากของเสีย และลดสัดส่วนกลุ่ม III ในสูตรเคลือบ ซึ่งตรงกับผลของการศึกษาพฤติกรรมการหลอมตัวของเคลือบในตารางที่ 5.12 ในส่วนของอุณหภูมิการหลอมตัวเฉพาะของเคลือบจะมีการอุณหภูมิในการหลอมตัวเป็นหลัก โดยเคลือบสูตร B C และ D หลอมตัวที่อุณหภูมิสูงกว่าเคลือบมาตรฐาน STD และเคลือบสูตร A โดยเคลือบ B C และ D เคลือบจะหลอมตัวที่อุณหภูมิ 1125 1257 และ 1256 องศาเซลเซียสตามลำดับ ส่วนเคลือบมาตรฐาน STD และเคลือบสูตร A จะหลอมตัวที่อุณหภูมิ 1182 และ 1216 องศาเซลเซียส ตามลำดับ อย่างไรก็ตามเคลือบ B C และ D ที่เผาที่อุณหภูมิ 1200 องศาเซลเซียสก็ยังไม่ให้เคลือบที่มีผิวสวยงาม เนื่องจากในการเผาจะมีการยืนไฟเป็นเวลา 20 นาที ทำให้เคลือบสามารถหลอมตัวและไหลตัวแผ่ได้บ้าง แต่เคลือบที่ได้จะมีความหนืดมากและหลอมตัวไม่ดีเท่าตรงจุดอุณหภูมิหลอมตัวเท่านั้นเอง จากการวิเคราะห์ในส่วนนี้จึงทำให้สามารถทราบได้ว่าเคลือบสูตร B C และ D นี้ สามารถใช้นำมาทำเคลือบเซรามิกได้จริง แต่น่าจะเหมาะกับผลิตภัณฑ์ที่เผาที่อุณหภูมิสูงกว่า 1200 องศาเซลเซียส ซึ่งงานวิจัยนี้มีจุดมุ่งหมายในการทำเคลือบสำหรับกระเบื้องโมเสกที่เผาที่อุณหภูมิ 1200 องศาเซลเซียส อย่างไรก็ตามเราก็ได้มีการเตรียมชิ้นงานเคลือบ และทำการเผาที่อุณหภูมิ 1200 องศาเซลเซียส ซึ่งเป็นอุณหภูมิที่ต้องการ เพื่อวิเคราะห์สมบัติอื่นๆ ของเคลือบต่อไป

ตารางที่ 5.13 อุณหภูมิการหลอมตัวเฉพาะของเคลือบที่มีการเพิ่มปริมาณกากของเสียในสูตรเคลือบ

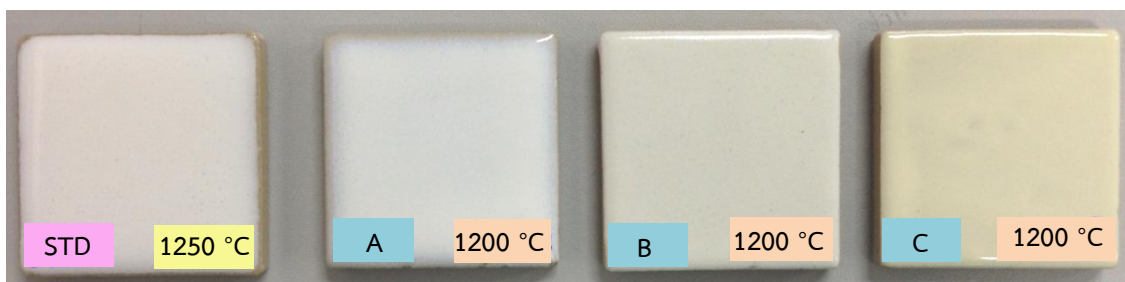
เคลือบ (%ของกากของเสีย)	Characteristic temperatures (°C)				
	sintering	softening	sphere	half-sphere	melting
					
STD	1097	1128	1163	1164	1182
A (8.44 wt%)	1080	1124	1173	1175	1216
B (15 wt%)	1095	1149	1192	1194	1225
C (20 wt%)	1118	1166	1217	1218	1257
D (25 wt%)	1131	1184	1237	1238	1256
E (30 wt%)	1161	1202	1276	1279	1306

wt% หมายถึงสัดส่วนของกากของเสียในส่วนผสมเคลือบ หน่วยเป็นเปอร์เซ็นต์โดยน้ำหนัก

5.4.2.1.2 ลักษณะทางกายภาพของเคลือบและค่าสีของเคลือบ



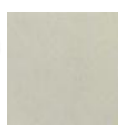
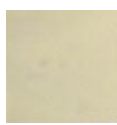
ลักษณะของเคลือบสูตร B และ C ซึ่งมีการเพิ่มปริมาณกากของเสีย และลดวัตถุบิกลุ่ม III ในสูตรเคลือบ และทำการเผาที่อุณหภูมิ 1200 องศาเซลเซียส เปรียบเทียบกับเคลือบมาตรฐาน STD และเคลือบสูตร A แสดงในรูปที่ 5.11 พบว่าผิวเคลือบที่ได้นั้นมีความมันวาวลดลง มีความทึบแสงเพิ่มขึ้น และเมื่อเพิ่มปริมาณกากของเสียมากขึ้นทำให้ได้เคลือบสีเหลืองนวล เนื่องจากไทเทเนียมไดออกไซด์ที่เพิ่มขึ้นจากการเพิ่มปริมาณกากของเสีย ไทเทเนียมไดออกไซด์นอกจากจะเป็นตัวให้ความทึบแสงแล้ว ยังก่อให้เกิดสีเหลืองในเคลือบเมื่อใส่ในปริมาณมากอีกด้วย นอกจากนี้เมื่อในสูตรเคลือบมีปริมาณของอะลูมินาซึ่งเป็นตัวทวนไฟเพิ่มขึ้น ให้ความมันวาวในเคลือบลดลง

เมื่อทำการวิเคราะห์ค่าสีของเคลือบที่มีการเพิ่มปริมาณกากของเสียในสูตรด้วยเครื่อง Spectrophotometer ดังแสดงในตารางที่ 5.14 พบว่าเคลือบที่มีการใช้กากของเสียเป็นวัตถุดิบนั้นมีค่าความขาว (L) ของเคลือบที่น้อยกว่าเคลือบสูตรมาตรฐาน STD และค่าความขาวของเคลือบที่มีการใช้กากของเสียเป็นวัตถุดิบนั้นจะลดลง เมื่อมีการใส่ปริมาณกากของเสียในสูตรเคลือบเพิ่มขึ้นโดยเคลือบสูตร A B และ C มีค่าความขาวเท่ากับ 91.95 90.61 และ 86.86 เปอร์เซนต์ ตามลำดับ และเคลือบมีค่าความเหลืองเพิ่มมากขึ้น เนื่องจากไทเทเนียมไดออกไซด์ที่เป็นตัวทำให้เกิดความทึบแสงนั้นเมื่อใส่ปริมาณมากในเคลือบจะทำให้เกิดสีเหลืองในเคลือบ เนื่องจากการเผาเคลือบที่อุณหภูมิสูงทำให้ผลึกของไทเทเนียมไดออกไซด์ใหญ่ขึ้น จึงทำให้เคลือบมีสีเหลืองมากยิ่งขึ้น [9] และค่าการเบี่ยงเบนของสี (dE*) ของเคลือบทุกสูตรนั้นมีค่ามากกว่า 1 และเบี่ยงเบนออกจากค่าของสูตรเคลือบมาตรฐาน STD มากขึ้นเมื่อปริมาณกากของเสียในสูตรเคลือบเพิ่มขึ้น ทำให้เห็นอย่างชัดเจนว่าสีของเคลือบมีการเปลี่ยนแปลงไปตามสัดส่วนของกากของเสีย



รูปที่ 5.11 ลักษณะของเคลือบสูตร B และ C เปรียบเทียบกับเคลือบมาตรฐานและเคลือบสูตร A

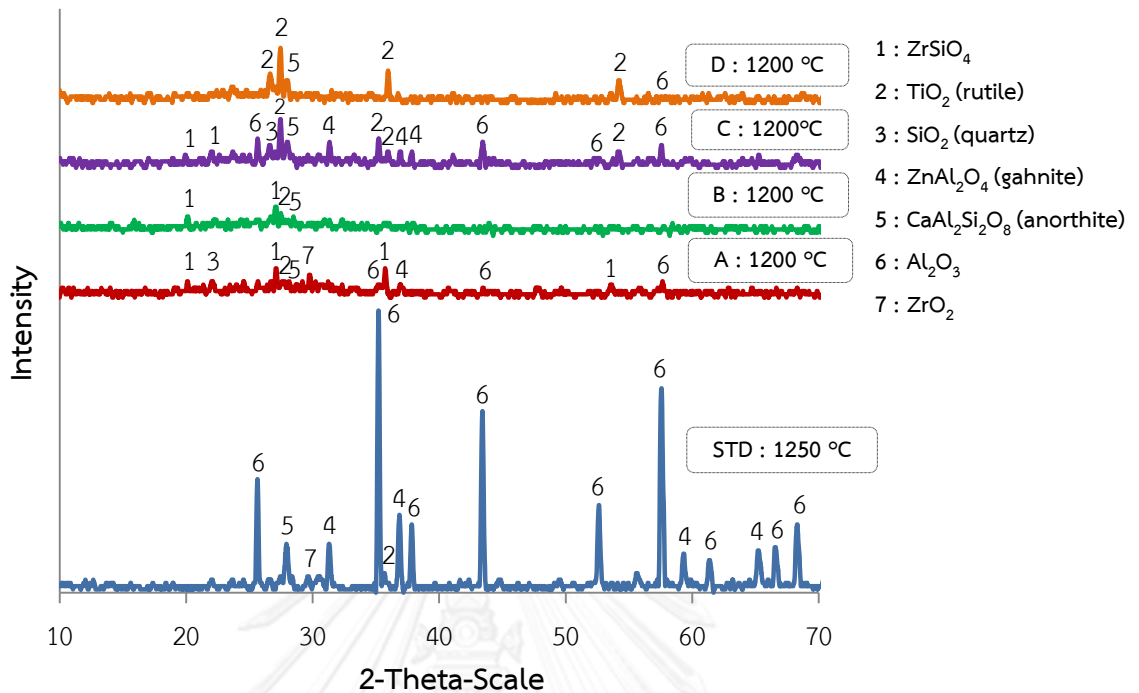
ตารางที่ 5.141 ค่าสีของเคลือบที่มีการเพิ่มปริมาณกากของเสียในสูตรเคลือบ

ค่าสี	เคลือบ			
	STD	A (8.44 wt%)	B (15 wt%)	C (20 wt%)
L (whiteness)	94.53	91.95	90.61	86.86
a* (green-red)	-0.64	-1.72	-1.14	-1.86
b* (blue-yellow)	1.81	-1.32	4.66	12.88
เคลือบ				
dL (L-L _{STD})	-	2.58	3.92	7.67
da* (a-a _{STD})	-	1.08	0.5	1.22
db* (b-b _{STD})	-	3.13	2.85	11.07
dE*	-	4.198	4.872	13.523

wt% หมายถึงสัดส่วนของกากของเสียในส่วนผสมเคลือบ หน่วยเป็นเปอร์เซ็นต์โดยน้ำหนัก

5.4.2.1.3 องค์ประกอบทางเฟสของเคลือบหลังเผา

จากผลการวิเคราะห์องค์ประกอบทางเฟสของเคลือบสูตร B C และ D เปรียบเทียบกับสูตรมาตรฐาน STD และเคลือบสูตร A ซึ่งเป็นสูตรตั้งต้นดังแสดงในรูปที่ 5.12 นั้น พบว่าองค์ประกอบทางเฟสของเคลือบสูตร B C และ D มีลักษณะคล้ายคลึงกับเคลือบสูตร A คือเกิดเฟสของเซอร์โคเนียมซิลิเกต ($ZrSiO_4$) ไทเทเนียมไดออกไซด์ (TiO_2) ซิลิกา (SiO_2) ซิงก์อะลูมิเนต ($ZnAl_2O_4$) อะนอร์ไทต์ ($CaAl_2Si_2O_8$) และอะลูมินา (Al_2O_3) โดยเมื่อมีการเพิ่มปริมาณกากของเสียลงในสูตรเคลือบพบว่าฟีดของไทเทเนียมไดออกไซด์ อะนอร์ไทต์และอะลูมินา มีความเข้มข้นของฟีดสูงขึ้น โดยเฉพาะเคลือบสูตร D ที่เป็นเช่นนี้เนื่องจากในกากของเสียที่ใส่เพิ่มเข้าไปในนั้นมีไทเทเนียมไดออกไซด์ แคลเซียมออกไซด์ และอะลูมินา เป็นองค์ประกอบหลัก จึงให้ฟีดดังกล่าวมีความเข้มข้นของฟีดมากขึ้น



รูปที่ 5.12 องค์ประกอบทางเฟสของเคลือบหลังเผาเมื่อมีการเพิ่มปริมาณกากของเสียในสูตรเคลือบ

5.4.2.1.4 สัมประสิทธิ์การขยายตัวทางความร้อน

จากการวิเคราะห์ค่าสัมประสิทธิ์การขยายตัวทางความร้อนของเคลือบดังแสดงในตารางที่ 5.15 เมื่อมีการเพิ่มปริมาณกากของเสียในสูตรเคลือบเปรียบเทียบกับของเนื้อดินที่เผาที่อุณหภูมิเดียวกันนั้น พบว่าเคลือบทั้ง 3 สูตร ได้แก่ สูตร A ที่เป็นสูตรตั้งต้น และสูตร B และ C ซึ่งมีปริมาณกากของเสียในสูตรเคลือบเพิ่มขึ้นนั้น มีค่าสัมประสิทธิ์การขยายตัวทางความร้อน คือ 7.90×10^{-6} , 8.05×10^{-6} และ 7.72×10^{-6} ต่อองศาเซลเซียส ตามลำดับ ส่วนของเนื้อดินเท่ากับ 8.70×10^{-6} ต่อองศาเซลเซียส เคลือบมีค่าสัมประสิทธิ์การขยายตัวทางความร้อนที่ต่ำกว่าเนื้อดินทุกสูตร เคลือบอยู่ในสถานะแรงอัด (compressive) จึงสามารถยึดติดกับเนื้อดินของกระเบื้องโมเสคได้เป็นอย่างดี มีความแข็งแรง และไม่เกิดการร้าวเมื่อใช้งานในอนาคต

ตารางที่ 5.15 ค่าสัมประสิทธิ์การขยายตัวทางความร้อนของเคลือบเมื่อมีการเพิ่มกากของเสียในสูตรเคลือบ

เคลือบ	coefficient of thermal expansion, COE ($\times 10^{-6} \text{ }^{\circ}\text{C}^{-1}$)	ΔCOE ($\text{COE}_{\text{body}} - \text{COE}_{\text{glaze}}$)
body (1250 $^{\circ}\text{C}$)	7.98	
STD	8.83	-0.85
body (1200 $^{\circ}\text{C}$)	8.70	
A (8.44 wt%)	7.90	0.80
B (15 wt%)	8.05	0.65
C (20 wt%)	7.72	0.98

wt% หมายถึงสัดส่วนของกากของเสียในส่วนผสมเคลือบ หน่วยเป็นเปอร์เซ็นต์โดยน้ำหนัก

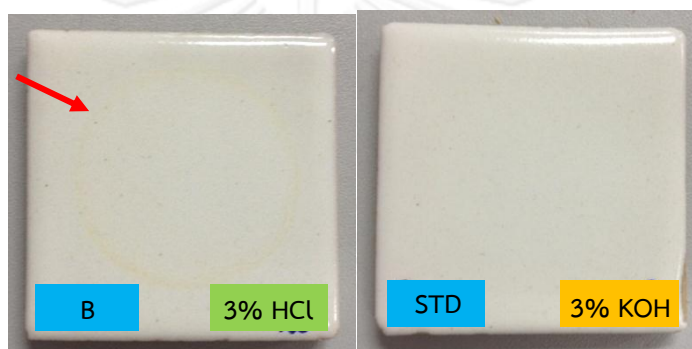
5.4.2.1.5 ความทนทานต่อสารเคมี

การทดสอบความทนทานต่อสารเคมี ชิ้นงานที่ใช้ในการทดสอบต้องมีผิวเคลือบที่เรียบ ไม่มีตำหนิ ดังนั้นในส่วนนี้จึงได้ทำการทดสอบเพียงเคลือบสูตร A B และ C ซึ่งมีผิวเคลือบที่เรียบเนียนและสวยงามเท่านั้น ระดับความทนทานต่อสารเคมีแสดงดังตารางที่ 5.16 จากการทดสอบเคลือบสูตร A และ C สามารถทนทานต่อกรดและด่างได้ในระดับ A คือ หลังจากทำการแช่สารเคมีกรดและด่างนั้น ผิวเคลือบไม่มีการเปลี่ยนแปลง และยังมีคุณสมบัติสะท้อนแสงได้ดีเช่นเดิม ส่วนเคลือบสูตร B มีความทนทานต่อกรดได้ในระดับ C คือเมื่อทำการแช่ผิวเคลือบในสารละลายกรดนั้น ผิวของเคลือบถูกทำลาย สีของเคลือบระหว่างบริเวณที่ทำการทดสอบและบริเวณที่ไม่ถูกทดสอบนั้นแตกต่างกันอย่างชัดเจน เคลือบบริเวณที่ถูกทดสอบสีของเคลือบเปลี่ยนแปลงไปจากสีขาวเป็นสีเหลือง และการสะท้อนแสงของเคลือบลดลง ส่วนระดับความทนทานต่อด่างนั้นอยู่ในระดับ B คือ ในตอนแรกที่เราทำการขีดรอยดินสอ HB ลงบนผิวเคลือบที่ยังไม่ผ่านการทดสอบแช่ด่างและทำการลบ ยังสามารถลบรอยดินสอได้ แต่หลังจากที่เราแช่ในสารละลายด่าง และทำการทดลองขีดรอยดินสอ HB อีกครั้งลงบนผิวเคลือบที่ผ่านการทดสอบแล้ว ปรากฏว่ารอยดินสอลบออกได้ยากมาก แสดงว่าผิวเคลือบถูกทำลายลงไปบางส่วน แต่การสะท้อนแสงของเคลือบยังเหมือนเดิม โดยลักษณะของเคลือบสูตร B ที่ผ่านการทดสอบแล้วแสดงในรูปที่ 5.13

ตารางที่ 5.16 ระดับความทนทานต่อสารเคมีของเคลือบที่มีการเพิ่มปริมาณกากของเสียในสูตรเคลือบ

เคลือบ	ระดับความทนทานต่อสารเคมี	
	HCl 3%	KOH 3%
STD	GA	GA
A (8.44 wt%)	GA	GA
B (15 wt%)	GC	GB
C (20 wt%)	GA	GA

wt% หมายถึงสัดส่วนของกากของเสียในส่วนผสมเคลือบ หน่วยเป็นเปอร์เซ็นต์โดยน้ำหนัก



รูปที่ 5.13 ลักษณะของเคลือบสูตร B ที่ผ่านการทดสอบความทนทานต่อสารเคมี

5.4.2.1.6 ความแข็งและความทนทานต่อการขีดข่วน

ความแข็งและความทนทานต่อการขีดข่วนของเคลือบเมื่อมีการเพิ่มปริมาณของกากของเสียในสูตรเคลือบแสดงในตารางที่ 5.17 เคลือบมาตรฐาน STD และเคลือบสูตร A ซึ่งมีการใช้กากของเสียเป็นวัตถุดิบทดแทนไทเทเนียมไดออกไซด์ทางการค้า นั้น มีค่าความแข็งที่ใกล้เคียงกัน โดยที่เคลือบสูตร A มีค่าความแข็งมากกว่าเคลือบมาตรฐาน STD เล็กน้อย โดยทั่วไปแล้ววัสดุที่มีความแข็งมากจะมีความทนทานต่อการขีดข่วนได้ดีด้วย ดังนั้นเคลือบเซรามิกที่มีความแข็งมากก็ย่อมทนทานต่อการขีดข่วนได้ดีเช่นกัน และเมื่อมีการเพิ่มปริมาณกากของเสียในสูตรเคลือบคือ เคลือบสูตร B และ C นั้น พบว่าเคลือบมีความแข็งและความทนทานต่อการขีดข่วนได้ดียิ่งขึ้น เนื่องจากการเพิ่มปริมาณกากของเสียในเคลือบทำให้ปริมาณของแคลเซียมออกไซด์เพิ่มมากขึ้น ซึ่งแคลเซียมออกไซด์เป็นตัวที่ทำให้เคลือบมีความแข็งแรงสูงขึ้น ทนต่อการขีดข่วน ดังนั้นเมื่อปริมาณของแคลเซียมออกไซด์เพิ่มขึ้น ค่าความแข็งและความทนทานต่อการขีดข่วนของเคลือบจึงเพิ่มขึ้นด้วย

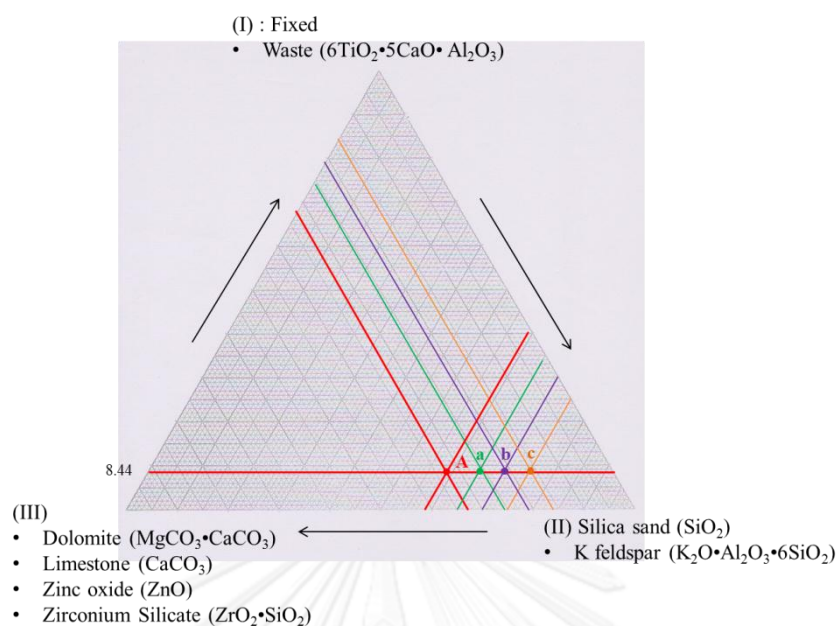
ตารางที่ 5.17 ความแข็งและความทนทานต่อการขีดข่วนของเคลือบที่มีการเพิ่มปริมาณกากของเสียในสูตรเคลือบ

เคลือบ	Vickers hardness, H_v (GPa)	น้ำหนักที่หายไปหลังทำการทดสอบความต้านทานต่อการขีดข่วน (%)
STD	4.5134 ± 0.2888	0.084 ± 0.030
A (8.44 wt%)	4.6021 ± 0.3390	0.101 ± 0.008
B (15 wt%)	4.6917 ± 0.2923	0.096 ± 0.030
C (20 wt%)	4.8433 ± 0.1609	0.070 ± 0.008

wt% หมายถึงสัดส่วนของกากของเสียในส่วนผสมเคลือบ หน่วยเป็นเปอร์เซ็นต์โดยน้ำหนัก

5.4.2.2 การปรับสูตรเคลือบโดยการเพิ่มปริมาณวัสดุบิกลุ่ม II ในสูตรเคลือบ โดยที่ ปริมาณกากของเสียคงที่ และวัสดุบิกลุ่ม III ลดลง

การทดลองส่วนนี้เป็นการศึกษาผลของวัสดุบิกลุ่ม II ได้แก่ ซิลิกาและโพแทสเซียมเฟลด์สปาร์ในเคลือบ มีการกำหนดให้เคลือบสูตร A เป็นสูตรตั้งต้น ทำการปรับวัสดุบิกลุ่ม II ให้มีปริมาณเพิ่มมากขึ้นในสูตรเคลือบ ในขณะที่วัสดุบิกลุ่ม III ซึ่งเป็นวัสดุบิที่ให้ความทึบแสงและช่วยลดจุดสกปรกตัวของเคลือบที่เป็นอัลคาไลน์หมู่ที่ 2 ได้แก่ โดโลไมต์ หินปูน ซิงก์ออกไซด์ และเซอร์โคเนียมซิลิเกตลดลง และมีการกำหนดให้ปริมาณของกากของเสียคงที่ โดยได้ทำการเพิ่มปริมาณของวัสดุบิกลุ่ม II จากเดิมที่สูตร A มี 59 เปอร์เซ็นต์โดยน้ำหนัก เป็น 65 70 และ 75 เปอร์เซ็นต์โดยน้ำหนัก โดยทำการแทนด้วย a b และ c ตามลำดับ สัดส่วนของวัสดุบิในเคลือบแสดงในสามเหลี่ยม triaxial ดังรูปที่ 5.14 และปริมาณของวัสดุบิที่ได้คำนวณแสดงในตารางที่ 5.18 หลังจากนั้นได้ทำการศึกษาสมบัติต่างๆ ของเคลือบ ดังนี้



รูปที่ 5.14 แผนภาพ triaxial ของสูตรเคลือบที่มีการปรับสูตรเคลือบโดยการเพิ่มปริมาณวัตถุดิบกลุ่ม II ได้แก่ ซิลิกา และโพแทสเซียมเฟลด์สปาร์

ตารางที่ 5.18 ส่วนผสมของสูตรเคลือบที่มีการปรับโดยการเพิ่มปริมาณของซิลิกาและโพแทสเซียมเฟลด์สปาร์

วัตถุดิบ	สัดส่วนโดยน้ำหนัก (wt%)			
	A	a	b	c
โพแทสเซียมเฟลด์สปาร์	35.5	39.1	42.1	45.1
ซิลิกา	23.5	25.9	27.9	29.9
โดโลไมต์	13.5	10.9	8.8	6.8
หินปูน	4.9	4.0	3.2	2.5
ซิงก์ออกไซด์	9.5	7.9	6.4	4.9
เซอร์โคเนียมซิลิเกต	4.7	3.8	3.1	2.4
กากของเสีย	8.4	8.4	8.4	8.4

5.4.2.2.1 พฤติกรรมการหลอมตัวและอุณหภูมิการหลอมตัวเฉพาะของเคลือบ

พฤติกรรมการหลอมตัวของเคลือบที่มีปริมาณของวัตุดิบกลุ่ม II ที่แตกต่างกันแสดงในตารางที่ 5.19 ในช่วงอุณหภูมิ 1000 – 1100 องศาเซลเซียสนั้นเคลือบทุกสูตรไม่เกิดการหลอมตัว และเคลือบเริ่มเกิดการหลอมตัวที่อุณหภูมิ 1150 องศาเซลเซียส เคลือบสามารถหลอมตัวได้ดีขึ้นเมื่ออุณหภูมิสูงขึ้น เมื่อทำการเปรียบเทียบลักษณะการหลอมตัวของเคลือบแต่ละสูตรในช่วงอุณหภูมิ 1150 – 1250 องศาเซลเซียส พบว่าเมื่อปริมาณของวัตุดิบกลุ่ม II ในเคลือบเพิ่มขึ้น ได้แก่ เคลือบสูตร a b และ c เปรียบเทียบกับเคลือบสูตร A ที่เป็นสูตรตั้งต้น เคลือบมีอุณหภูมิในการหลอมเคลือบที่สูงขึ้น เคลือบหลอมตัวได้น้อยลง สังเกตได้จากรัศมีการแผ่ของโคนที่หลอมตัวที่น้อยลง แต่ลักษณะของผิวเคลือบได้เคลือบที่สีขาวทึบแสงและผิวมันวาวสุกตัวได้ดีทุกสูตร เมื่อพิจารณาสัดส่วนของวัตุดิบที่เปลี่ยนแปลงไปนั้น การที่เคลือบสามารถหลอมตัวได้น้อยลง เมื่อเพิ่มปริมาณของวัตุดิบกลุ่ม II เกิดจากซิลิกาที่เพิ่มลงไปในสูตรเคลือบไม่มีผลในการลดจุดสุกตัว และยังเป็นตัวที่มีจุดหลอมสูง จึงทำให้เคลือบมีความหนืดมากขึ้น ไหลตัวได้น้อยลง เมื่อซิลิกาเพิ่มขึ้น จึงส่งผลให้เคลือบหลอมตัวได้ยากขึ้น ถึงแม้ว่าจะมีโพแทสเซียมฟอสเฟตซึ่งเป็นตัวลดจุดสุกตัวของเคลือบเพิ่มขึ้นก็ตาม แต่ก็ยังไม่เพียงพอ นอกจากนี้วัตุดิบกลุ่ม III ซึ่งถือว่าเป็นวัตุดิบที่ช่วยลดอุณหภูมิการเผาของเคลือบที่อุณหภูมิสูงยังลดลง เมื่อวัตุดิบกลุ่ม II เพิ่มขึ้น เนื่องจากมีการคำนวณแบบแทนที่กันของส่วนผสม วัตุดิบกลุ่ม III ลดลงด้วย จึงยังส่งผลให้เคลือบหลอมตัวได้ที่อุณหภูมิสูงขึ้นอีกด้วย ในส่วนนี้เคลือบสูตร a มีลักษณะการหลอมตัวใกล้เคียงกับเคลือบสูตร A มากที่สุด

จากการวิเคราะห์อุณหภูมิการหลอมตัวเฉพาะของเคลือบแสดงในตารางที่ 5.20 การเพิ่มปริมาณของวัตุดิบกลุ่ม II ในสูตรเคลือบที่มีการใช้กากของเสียเป็นวัตุดิบทำให้เคลือบหลอมตัวที่อุณหภูมิสูงขึ้น เคลือบสูตร A นั้นมีอุณหภูมิการหลอมตัวเฉพาะที่ใกล้เคียงกับเคลือบมาตรฐาน STD อุณหภูมิการหลอมตัวเฉพาะของเคลือบมาตรฐาน STD และเคลือบสูตร A เท่ากับ 1182 และ 1216 องศาเซลเซียสตามลำดับ และเมื่อทำการเพิ่มปริมาณของวัตุดิบกลุ่ม II ในสูตร ได้แก่ สูตร a b และ c เคลือบมีอุณหภูมิการหลอมตัวเฉพาะเพิ่มขึ้นอย่างชัดเจนเป็น 1369 1369 และ 1382 องศาเซลเซียสตามลำดับ ซึ่งสอดคล้องกับผลการศึกษาพฤติกรรมการหลอมตัวเฉพาะของเคลือบที่กล่าวมาก่อนหน้านี้

ตารางที่ 5.19 พฤติกรรมการหลอมตัวของเคลือบที่มีปริมาณของวัสดุติบกลุ่ม II เพิ่มขึ้น

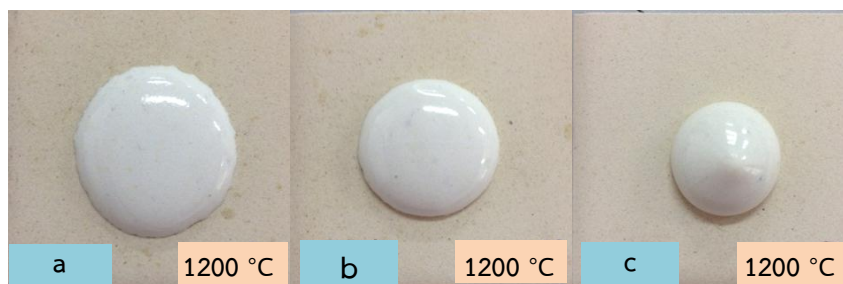
สูตร (*กากของเสียครั้งที่ = 8.44 wt%)	อุณหภูมิการเผา					
	1000 °C	1050 °C	1100 °C	1150 °C	1200 °C	1250 °C
มาตรฐาน (STD)						
(A) กลุ่ม II : 59 wt % กลุ่ม III : 32.6 wt%						
(a) กลุ่ม II : 65 wt % กลุ่ม III : 26.6 wt%						
(b) กลุ่ม II : 70 wt % กลุ่ม III : 21.6 wt%						
(c) กลุ่ม II : 75 wt % กลุ่ม III : 11.6 wt%						

ตารางที่ 5.20 อุณหภูมิการหลอมตัวเฉพาะของเคลือบที่มีปริมาณของวัสดุติบกลุ่ม II เพิ่มขึ้น

เคลือบ (% ของวัสดุติบกลุ่ม II)	Characteristic temperatures (°C)				
	sintering	softening	sphere	half-sphere	melting
STD	1097	1128	1163	1164	1182
A (59 wt%)	1080	1124	1173	1175	1216
a (65 wt%)	1093	1134	1204	1209	1369
b (70 wt%)	1095	1145	1224	1253	1369
c (75 wt%)	1097	1163	1263	1309	1382

wt% หมายถึงสัดส่วนของกากของเสียในส่วนผสมเคลือบ หน่วยเป็นเปอร์เซ็นต์โดยน้ำหนัก

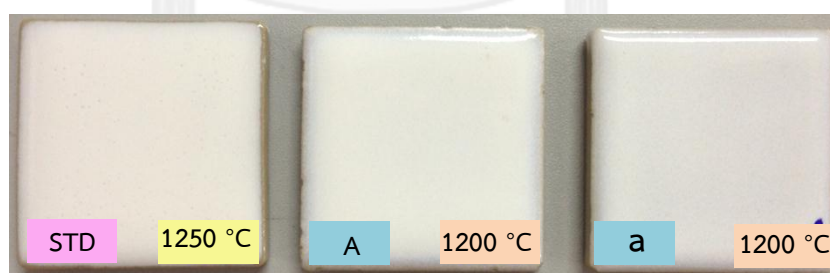
เคลือบสูตร a b และ c นั้นถึงแม้ว่าจะมีอุณหภูมิการหลอมตัวเฉพาะสูงกว่า 1300 องศาเซลเซียส แต่เมื่อทำการเผาที่อุณหภูมิ 1200 องศาเซลเซียส ซึ่งเป็นอุณหภูมิที่ต้องการเผาเคลือบปรากฏว่าเคลือบที่ได้ยังคงมีผิวขาวมันเงาเป็นเนื้อแก้ว และสูกตัวติดตั้งรูปที่ 5.15 ทั้งนี้อาจเนื่องจากมีการยื่นไฟระยะเวลา 20 นาที จึงทำให้เคลือบยังสามารถหลอมตัวและเกิดการสูกตัวได้ อีกทั้งซิลิกาและโพแทสเซียมเฟลด์สปาร์ก็ยังเป็นตัวที่ช่วยส่งเสริมกันทำให้เกิดเนื้อแก้ว นอกจากนี้โพแทสเซียมเฟลด์สปาร์นั้น เมื่อใส่ในเคลือบปริมาณมาก จะยิ่งทำให้เคลือบมีความสุกใสมากขึ้น [9]



รูปที่ 5.15 การหลอมตัวของเคลือบสูตร a b และ c ที่อุณหภูมิ 1200 องศาเซลเซียส

5.4.2.2 ลักษณะทางกายภาพของเคลือบ

เมื่อทำการเตรียมน้ำเคลือบของเคลือบสูตร a b และ c ที่ได้มีการปรับสัดส่วนของวัตถุดิบกลุ่ม II ได้แก่ ซิลิกาและโพแทสเซียมเฟลด์สปาร์เพิ่มขึ้น พบว่าน้ำเคลือบที่สามารถไหลตัวได้ดีนั้นมีเพียงเคลือบสูตร a เพียงสูตรเดียวเท่านั้น ส่วนเคลือบสูตร b และ c นั้นพบว่าน้ำเคลือบมีความหนืดมาก อนุภาควัตถุดิบมีการจับตัวกันเป็นก้อนๆ ทั้งนี้เนื่องจากปริมาณของซิลิกาที่เพิ่มขึ้นทำให้การไหลตัวของเคลือบลดลง จึงไม่สามารถเตรียมชิ้นงานเคลือบสูตร b และ c ได้ ชิ้นงานของเคลือบส่วนนี้จึงมีเพียงสูตรเคลือบ a ลักษณะของผิวเคลือบสูตร a เผาที่อุณหภูมิ 1200 องศาเซลเซียส เปรียบเทียบกับเคลือบมาตรฐาน STD และเคลือบสูตร A แสดงในรูปที่ 5.16 เคลือบสูตร a ได้เคลือบมีผิวที่สวอยงาม สีขาวมันเงาเป็นเนื้อแก้วมากกว่าเคลือบสูตร A และเคลือบมาตรฐาน STD เคลือบสูตร a ไม่มีการเกิดตำหนิบนผิวเคลือบ ผิวเคลือบมีความสวยงาม และเมื่อพิจารณาลักษณะทางกายภาพของเคลือบสูตร a แล้ว หลังจากนั้นจึงได้นำเคลือบสูตรนี้ไปวิเคราะห์สมบัติต่างๆ ของเคลือบ






รูปที่ 5.16 ลักษณะของเคลือบสูตร a เปรียบเทียบกับเคลือบสูตรมาตรฐาน STD และเคลือบสูตร A

ค่าสีของเคลือบที่ทำการวิเคราะห์ด้วยเครื่อง Spectrophotometer แสดงในตารางที่ 5.21 เคลือบสูตร a มีค่าความขาว (L) ที่ใกล้เคียงกับเคลือบสูตร A เนื่องจากว่าทั้งสองสูตรมีการใช้ปริมาณของกากของเสียในเคลือบเท่ากัน แต่เคลือบ a จะมีค่าความขาวที่น้อยกว่าเล็กน้อย เนื่องจากเคลือบสูตร a มีการปรับปริมาณของวัตถุดิบกลุ่ม 3 ซึ่งมีซิงก์ออกไซด์ และเซอร์โคเนียมซิลิเกตที่มีผลต่อการให้ความทึบแสงในเคลือบให้ลดลง ทำให้เคลือบสูตร a มีค่าความขาวที่น้อยกว่า ส่วนค่าเบี่ยงเบนสี

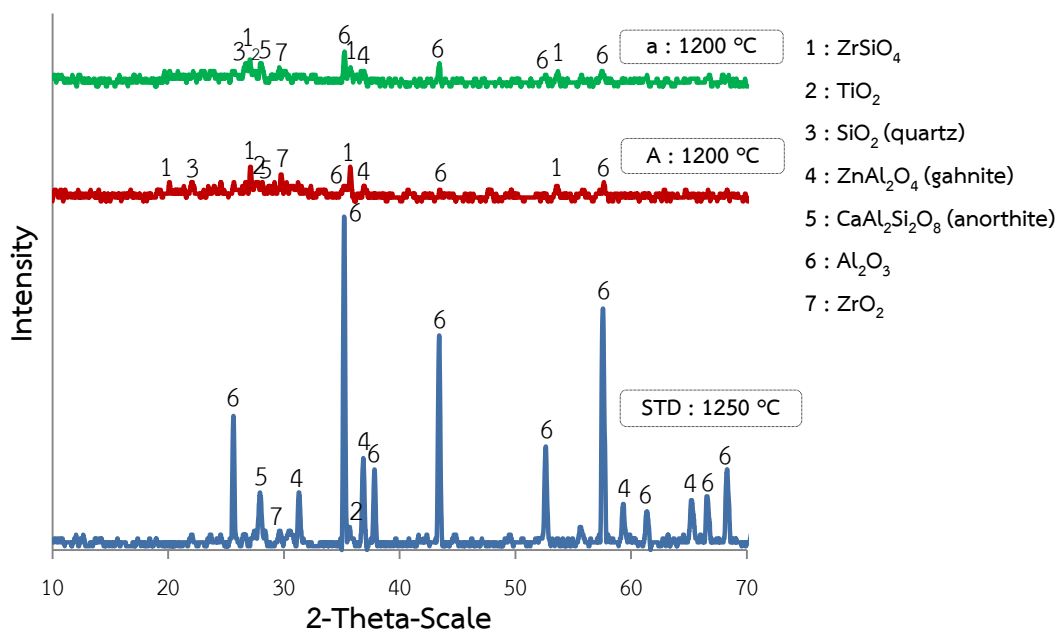
(dE^*) ของเคลือบสูตร A และ a ต่างก็เบี่ยงเบนออกจากเคลือบมาตรฐาน STD ทั้งคู่ และยังมีค่าที่ใกล้เคียงกันมาก บ่งชี้ได้ว่าเคลือบสูตร A และ a มีค่าสีของเคลือบที่คล้ายคลึงกันมาก

ตารางที่ 5.21 ค่าสีของเคลือบสูตร a เปรียบเทียบกับเคลือบมาตรฐาน STD และเคลือบสูตร A

ค่าสี	เคลือบ		
	STD	A	a
L (whiteness)	94.53	91.95	90.47
a* (green-red)	-0.64	-1.72	-1.25
b* (blue-yellow)	1.81	-1.32	0.92
เคลือบ			
dL ($L-L_{STD}$)	-	2.58	4.06
da* ($a-a_{STD}$)	-	1.08	0.61
db* ($b-b_{STD}$)	-	3.13	0.89
dE^*	-	4.198	4.201

5.4.2.2.3 องค์ประกอบทางเฟสของเคลือบหลังเผา

เมื่อทำการวิเคราะห์องค์ประกอบทางเฟสของเคลือบสูตร a หลังเผา ดังแสดงในรูปที่ 5.17 พบว่าเคลือบประกอบด้วยเฟสของเซอร์โคเนียมซิลิเกต ($ZrSiO_4$) ไทเทเนียมไดออกไซด์ (TiO_2) ซิลิกา (SiO_2) ซิงก์อะลูมินา ($ZnAl_2O_4$) อะนอร์ไทต์ ($CaAl_2Si_2O_8$) อะลูมินา (Al_2O_3) และเซอร์โคเนียมออกไซด์ (ZrO_2) ซึ่งคล้ายคลึงกับเฟสของเคลือบสูตร A แต่มีความเข้มข้นของเซอร์โคเนียมซิลิเกตและซิลิกาที่สูงขึ้น เนื่องจากผิวเคลือบสูตร a มีความเป็นเนื้อแก้วงามันมากกว่าเคลือบสูตร A เนื่องจากการเพิ่มปริมาณของซิลิกาและโพแทสเซียมเฟลด์สปาร์ในสูตร จึงทำให้พีดังกล่าวมีความเข้มสูงกว่า



รูปที่ 5.17 องค์ประกอบทางเฟสของเคลือบสูตร a หลังเผา เปรียบเทียบกับเคลือบสูตรมาตรฐาน STD และเคลือบสูตร A

5.4.2.2.4 สัมประสิทธิ์การขยายตัวทางความร้อน

ค่าสัมประสิทธิ์การขยายตัวทางความร้อนของเคลือบแสดงในตารางที่ 5.22 เคลือบสูตร a มีค่าสัมประสิทธิ์การขยายตัวทางความร้อนของเคลือบที่ต่ำกว่าเคลือบสูตร A เนื่องจากโพแทสเซียมเฟลด์สปาร์และซิลิกาที่เพิ่มขึ้นในสูตรเคลือบ ส่งผลให้เคลือบมีสัมประสิทธิ์การขยายตัวทางความร้อนลดลง และเมื่อเทียบเคลือบสูตร A และ a กับเนื้อดินที่เผาอุณหภูมิเดียวกันคือ 1200 องศาเซลเซียส เคลือบจะอยู่ในสภาวะแรงอัด (compressive) ทำให้เคลือบมีความแข็งแรง และไม่เกิดการแตกราน

ตารางที่ 5.22 ค่าสัมประสิทธิ์การขยายตัวทางความร้อนของเคลือบสูตร a เปรียบเทียบกับเคลือบมาตรฐาน STD และเคลือบสูตร A

เคลือบ	coefficient of thermal expansion, COE ($\times 10^{-6} \text{ }^{\circ}\text{C}^{-1}$)	$\Delta\text{COE} (\text{COE}_{\text{body}} - \text{COE}_{\text{glaze}})$
body (1250 °C)	7.98	
STD	8.83	-0.85
body (1200 °C)	8.70	
A (8.44 wt%)	7.90	0.80
a	7.74	0.96

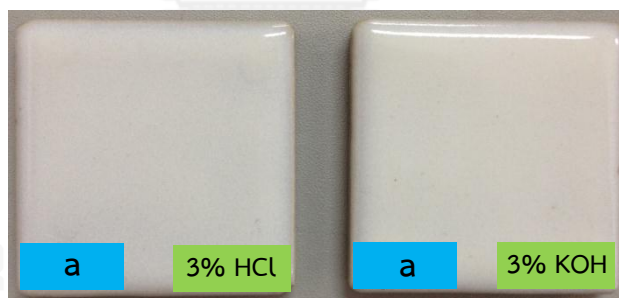
5.4.2.2.5 ความทนทานต่อสารเคมี

ระดับความทนทานของสารเคมีของเคลือบสูตร a แสดงในตารางที่ 5.23 เคลือบสูตร a สามารถทนทานต่อสารเคมีกรดต่างได้ในระดับเดียวกันกับเคลือบมาตรฐาน STD และเคลือบสูตร A คือ ระดับ A ผิวของเคลือบไม่เกิดการเปลี่ยนแปลงเมื่อทดสอบด้วยการแช่ในสารละลายกรดและด่าง เคลือบสามารถสะท้อนแสงได้เท่าเดิม โดยลักษณะของเคลือบสูตร a ที่ผ่านการแช่ด้วยกรดและด่าง แสดงในรูปที่ 5.18

ตารางที่ 5.23 ระดับความทนทานต่อสารเคมีของเคลือบสูตร a เปรียบเทียบกับเคลือบมาตรฐาน STD และเคลือบสูตร A

เคลือบ	ระดับความทนทานต่อสารเคมี	
	HCl 3%	KOH 3%
STD	GA	GA
A	GA	GA
a	GA	GA

wt% หมายถึงสัดส่วนของกากของเสียในส่วนผสมเคลือบ หน่วยเป็นเปอร์เซ็นต์โดยน้ำหนัก



รูปที่ 5.18 ลักษณะของเคลือบสูตร ก ที่ผ่านการทดสอบความทนทานต่อสารเคมี

5.4.2.2.6 ความแข็งและความทนทานต่อการขีดข่วน

ความแข็งและความทนทานต่อการขีดข่วนของเคลือบสูตร a เปรียบเทียบกับเคลือบมาตรฐาน STD และเคลือบสูตร A แสดงในตารางที่ 5.24 เคลือบสูตร a มีค่าความแข็งของผิวเคลือบที่ต่ำกว่าเคลือบมาตรฐาน STD และเคลือบสูตร A ทั้งนี้เนื่องจากเคลือบสูตร a มีความเป็นเนื้อแก้วที่มากกว่าเคลือบทั้งสองสูตร แก้วมีความแข็งและเปราะมากในเวลาเดียวกัน เมื่อมีการกดด้วยหัวกดวิกเกอร์สมิ ความแข็งและความแหลมที่ปลายหัวกด จึงทำให้เคลือบที่มีผิวเป็นเนื้อแก้วนั้นแตกได้ง่าย ค่าความแข็ง

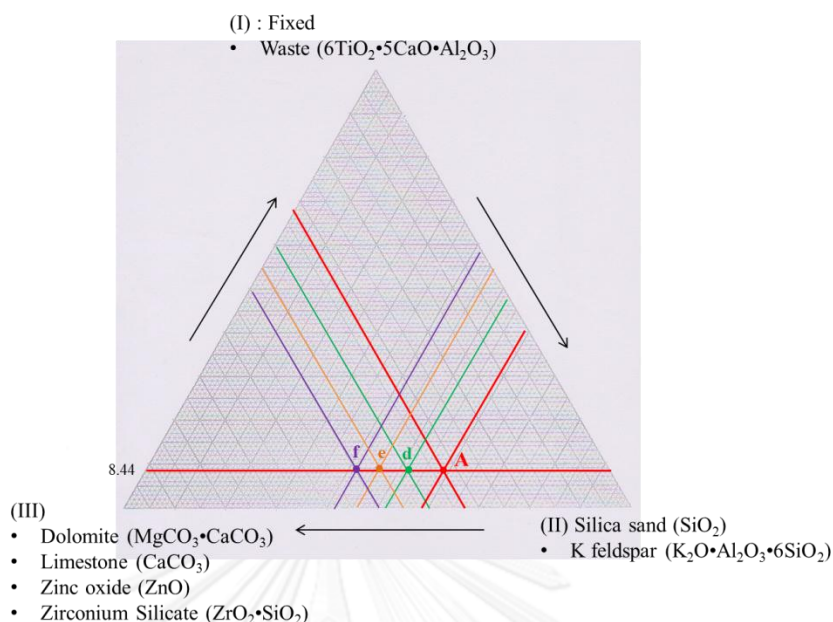
ของเคลือบที่ออกมาจึงมีค่าที่น้อยกว่า แต่ในทางกลับกันพบว่าเคลือบสูตร a ความทนทานต่อการขีดขีดได้มากกว่าเคลือบมาตรฐาน STD และเคลือบสูตร A สังเกตได้จากการสูญเสียน้ำหนักของเคลือบซึ่งสูตร a สูญเสียน้ำหนักหลังทำการทดสอบน้อยที่สุด

ตารางที่ 5.24 ความแข็งและความทนทานต่อการขีดขีดของเคลือบสูตร a เปรียบเทียบกับเคลือบมาตรฐาน STD และเคลือบสูตร A

เคลือบ	Vickers hardness, H_v (GPa)	น้ำหนักที่หายไปหลังทำการทดสอบ ความต้านทานต่อการขีดขีด (%)
STD	4.5134 ± 0.2888	0.084 ± 0.030
A	4.6021 ± 0.3390	0.101 ± 0.008
a	3.9555 ± 0.3825	0.082 ± 0.011

5.4.2.3 การปรับสูตรเคลือบโดยการเพิ่มปริมาณวัตถุดิบกลุ่ม III ในสูตรเคลือบ โดยที่ปริมาณกากของเสียคงที่ และวัตถุดิบกลุ่ม II ลดลง

การทดลองส่วนนี้เป็นการปรับสูตรเคลือบโดยการเพิ่มปริมาณของวัตถุดิบกลุ่ม III ซึ่งเป็นวัตถุดิบที่ให้ความทึบแสงและช่วยลดจุดสุกตัวของเคลือบที่เป็นอัลคาไลหมู่ที่ 2 ได้แก่ โดโลไมต์ หินปูน ซิงก์ออกไซด์ และเซอร์โคเนียมซิลิเกต วัตถุดิบกลุ่ม II ซึ่งเป็นวัตถุดิบที่ให้เนื้อแก้วและช่วยลดจุดสุกตัวของเคลือบที่เป็นอัลคาไลหมู่ที่ 1 ได้แก่ ซิลิกา และโพแทสเซียมเฟลด์สปาร์ลดลง และกำหนดให้กากของเสียมีปริมาณคงที่ และมีเคลือบสูตร A เป็นเคลือบตั้งต้น โดยทำการปรับวัตถุดิบกลุ่มที่ III จากสูตร A มี 32.6 เปอร์เซ็นต์โดยน้ำหนัก เป็น 40 45 และ 50 เปอร์เซ็นต์โดยน้ำหนัก และแทนแต่ละสูตรด้วยสูตร d e และ f ตามลำดับ สัดส่วนของวัตถุดิบแสดงในแผนภาพ triaxial ดังรูปที่ 5.19 และส่วนผสมของเคลือบแต่ละสูตรแสดงในตารางที่ 5.25 ทำการเตรียมผงเคลือบและเคลือบ หลังจากนั้นจึงทดสอบสมบัติต่างๆ ของเคลือบ ผลการวิเคราะห์ ดังนี้



รูปที่ 5.19 แผนภาพ triaxial ของสูตรเคลือบที่มีการปรับสูตรเคลือบโดยการเพิ่มปริมาณวัตถุดิบกลุ่ม III ได้แก่ โดโลไมต์ หินปูน ซิงก์ออกไซด์ และเซอร์โคเนียมซิลิเกต

ตารางที่ 5.25 แผนภาพ triaxial ของสูตรเคลือบที่ปรับสูตรเคลือบโดยการเพิ่มปริมาณวัตถุดิบกลุ่ม III


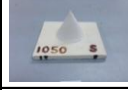
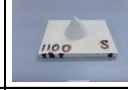
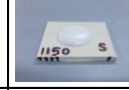


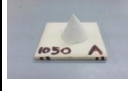
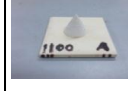
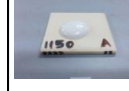
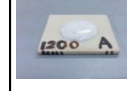
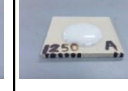

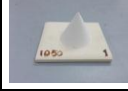
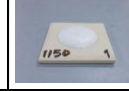


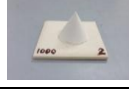
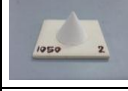
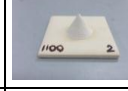
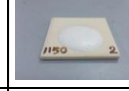
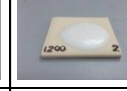
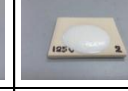
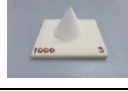
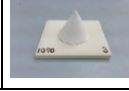
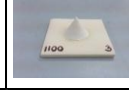
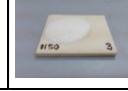
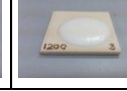

วัตถุดิบ	wt%			
	A	d	e	f
โพแทสเซียมเฟลด์สปาร์	35.5	31.04	28.03	25.02
ซิงก์ออกไซด์	9.5	11.86	13.34	14.82
โดโลไมต์	13.5	16.4	18.45	20.5
หินปูน	4.9	6.01	6.76	7.51
ซิลิกา	23.5	20.52	18.53	16.54
เซอร์โคเนียมซิลิเกต	4.7	5.74	6.45	7.17
กากของเสีย	8.4	8.44	8.44	8.44

5.4.2.3.1 พฤติกรรมการหลอมตัวและอุณหภูมิการหลอมตัวเฉพาะของเคลือบ

พฤติกรรมการหลอมตัวของเคลือบเมื่อทำการปรับสูตรเคลือบที่มีปริมาณของวัตถุดิบกลุ่มที่ III ที่แตกต่างกันนั้นแสดงในตารางที่ 5.26 ในช่วงอุณหภูมิ 1000 – 1100 องศาเซลเซียสนั้นเคลือบทุกสูตรไม่เกิดการหลอมตัว และเคลือบเริ่มเกิดการหลอมตัวที่อุณหภูมิ 1150 องศาเซลเซียส เคลือบ

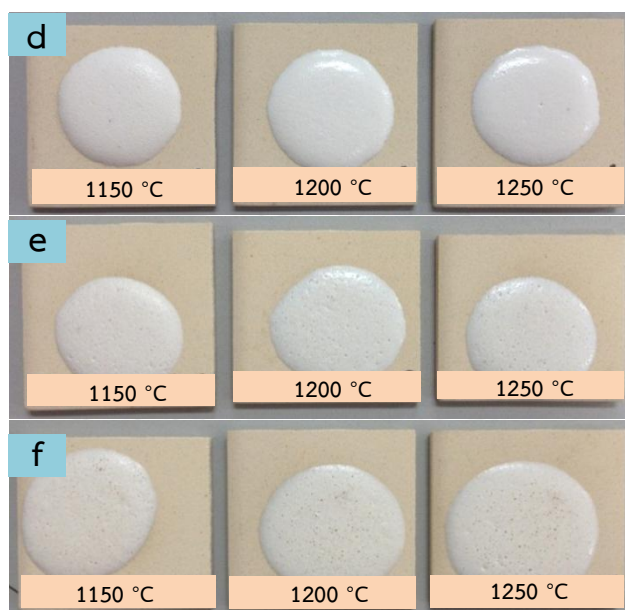
สามารถหลอมตัวได้ดีขึ้นเมื่ออุณหภูมิสูงขึ้น เมื่อเปรียบเทียบลักษณะการหลอมตัวของเคลือบแต่ละสูตรในช่วงอุณหภูมิ 1150 – 1250 องศาเซลเซียส พบว่าเมื่อปริมาณของวัตถุดิบกลุ่ม III ในเคลือบเพิ่มขึ้น ได้แก่ เคลือบสูตร d e และ f เปรียบเทียบกับเคลือบสูตร A ที่เป็นสูตรตั้งต้น เคลือบมีอุณหภูมิในการหลอมตัวต่ำลง เคลือบสามารถหลอมตัวได้มากขึ้น สังเกตได้จากรัศมีการแผ่ของเคลือบที่มากขึ้น ลักษณะของผิวเคลือบสูตร d e และ f ได้เคลือบที่มีผิวด้าน และเคลือบมีความต้านมากขึ้น เมื่อวัตถุดิบกลุ่ม III เพิ่มขึ้น เคลือบเกิดลักษณะของเคลือบเตีอดเนื่องจากเผาที่อุณหภูมิที่สูงกว่าอุณหภูมิในการหลอมตัว ส่งผลให้เคลือบเกิดตำหนิเป็นรูเข็มบนผิวเคลือบ (pinhole) ดังแสดงในรูปที่ 5.20 เมื่อพิจารณาสัดส่วนของวัตถุดิบที่เปลี่ยนแปลงไปนั้น การที่เคลือบสามารถหลอมตัวได้มากขึ้นเมื่อเพิ่มปริมาณของวัตถุดิบกลุ่ม III ได้แก่ โคลโลไมต์ หินปูน ซิงก์ออกไซด์ และเซอร์โคเนียมซิลิเกต โดยซิงก์ออกไซด์ และเซอร์โคเนียมซิลิเกตนั้นเป็นตัวที่ทำให้เคลือบมีความทึบแสง แมกนีเซียมออกไซด์ที่ได้จากโคลโลไมต์ ที่อุณหภูมิสูงจะทำหน้าที่เป็นตัวลดจุดหลอมตัวของเคลือบที่รุนแรง ทำให้เคลือบไหลตัวได้ดีมาก ช่วยส่งเสริมให้เกิดความทึบแสงของเคลือบ ส่วนแคลเซียมออกไซด์ที่ได้จากโคลโลไมต์และหินปูนเป็นตัวลดจุดหลอมตัวของเคลือบที่อุณหภูมิสูง เคลือบจะเคลือบตัวได้ดียิ่งขึ้นเมื่ออุณหภูมิสูงขึ้น แต่การใส่แคลเซียมออกไซด์มากเกินไปจะทำให้จุดสุกตัวของเคลือบสูงขึ้น คือ ทนไฟมากขึ้นและจะเกิดการตกผลึกเล็กๆ (อาจเป็นผลึกอะนอร์ไทต์) เป็น microcrystalline ขึ้นมาในผิวเคลือบ ซึ่งทำให้เกิดเคลือบด้าน[9] ดังนั้นการที่เคลือบทั้ง 3 สูตรมีจุดหลอมเหลวของเคลือบที่ต่ำ ทำให้สามารถหลอมตัวได้ดี และได้ผิวเคลือบด้านนั้นก็เนื่องมาจากวัตถุดิบกลุ่ม III ที่เพิ่มขึ้น และสมบัติต่างๆ ของวัตถุดิบที่ส่งผลต่อสมบัติของเคลือบนั่นเอง

ตารางที่ 5.26 พฤติกรรมการหลอมตัวของเคลือบที่มีปริมาณของวัตถุดิบกลุ่ม III เพิ่มขึ้น เปรียบเทียบกับเคลือบมาตรฐาน STD และเคลือบสูตร A

สูตร (*หากของเสียคงที่ : 8.44 wt%)	อุณหภูมิการเผา					
	1000 °C	1050 °C	1100 °C	1150 °C	1200 °C	1250 °C
Standard (STD)						
(A) Group II : 59 wt % Group III : 32.6 wt%						
(d) Group III : 40 wt % Group II : 51.6 wt%						
(e) Group III : 45 wt % Group II : 46.5 wt%						
(f) Group III : 50 wt % Group II : 41.6 wt%						

อุณหภูมิการหลอมตัวเฉพาะของเคลือบแสดงในตารางที่ 5.27 เมื่อเปรียบเทียบกับเคลือบสูตร A พบว่าเคลือบสูตร d e และ f มีอุณหภูมิการหลอมตัวเฉพาะที่ต่ำกว่าสูตรเคลือบ A อย่าง

ชัดเจน ซึ่งสอดคล้องกับผลการทดลองในส่วนพฤติกรรมการหลอมตัวของเคลือบในตารางที่ 5.26 และรูปที่ 5.20 และถึงแม้ว่าเคลือบสูตร d จะมีอุณหภูมิหลอมตัวเฉพาะหลอมตัวของเคลือบใกล้เคียงกับเคลือบมาตรฐาน STD ก็ตาม แต่ผิวของเคลือบสูตร d ที่ได้ ก็ไม่สวยงามเหมือนเคลือบมาตรฐาน STD



รูปที่ 5.20 พฤติกรรมการหลอมตัวของเคลือบสูตร d e และ f

ตารางที่ 5.27 อุณหภูมิการหลอมตัวเฉพาะของเคลือบที่มีปริมาณของวัตถุดิบกลุ่ม III เพิ่มขึ้น เปรียบเทียบกับเคลือบมาตรฐาน STD และเคลือบสูตร A

เคลือบ (% ของวัตถุดิบกลุ่ม III)	Characteristic temperatures (°C)				
	sintering	softening	sphere	half-sphere	melting
STD	1097	1128	1163	1164	1182
A (42.6 wt%)	1080	1124	1173	1175	1216
d (40 wt%)	1085	1115	1144	1152	1189
e (45 wt%)	1095	1100	1137	1138	1146
f (50 wt%)	1115	1119	1149	1152	1171

wt% หมายถึงสัดส่วนของกากของเสียในส่วนผสมเคลือบ หน่วยเป็นเปอร์เซ็นต์โดยน้ำหนัก

จากผลการทดลองในส่วนนี้ ทำให้เห็นแนวโน้มของลักษณะของเคลือบที่ได้จากสูตรเคลือบ d e และ f ว่าไม่เหมาะสมในการนำมาเตรียมชิ้นงานเคลือบ หรือวิเคราะห์สมบัติต่างๆ ของเคลือบต่อไป เนื่องจากเคลือบที่ได้ผิวเคลือบมีความต้าน และไม่ความสวยงาม

5.5 สรุปผลการทดลองการใช้กากของเสียเป็นวัตถุดิบในเคลือบเซรามิก

กากของเสียที่ได้จากกระบวนการผลิตตะกั่วสำหรับการผลิตพอลิเอทิลีนความหนาแน่นสูงสามารถนำมาใช้เป็นวัตถุดิบทดแทนวัตถุดิบทางการค้าสำหรับการผลิตเคลือบเซรามิกได้ และก่อนการนำกากของเสียไปใช้เป็นวัตถุดิบนั้น มีความจำเป็นต้องทำการกำจัดสารประกอบคลอไรด์ออกจากกากของเสียก่อน เนื่องจากสารประกอบคลอไรด์เป็นตัวทำให้น้ำเคลือบมีความหนืดมาก งานวิจัยนี้เลือกวิธีการกำจัดสารประกอบคลอไรด์ด้วยการนำกากของเสียไปผ่านการแคลไซน์ที่อุณหภูมิ 350 องศาเซลเซียส เนื่องจากสารประกอบคลอไรด์จะเกิดการสลายตัวที่อุณหภูมิ 300 – 350 องศาเซลเซียส การใช้กากของเสียในสูตรเคลือบเพื่อให้ได้เคลือบที่บสีขาวที่มีค่าความขาวตั้งแต่ 90 เปอร์เซนต์ขึ้นไป ควรใช้ปริมาณกากของเสียไม่เกิน 10 เปอร์เซนต์โดยน้ำหนัก โดยสมบัติของเคลือบที่ได้ ได้แก่ ความทนทานต่อสารเคมี ความแข็งและความทนทานต่อการขีด มีสมบัติใกล้เคียงกับเคลือบมาตรฐาน และหากมีการใส่ปริมาณกากของเสีย 10 เปอร์เซนต์โดยน้ำหนักขึ้นไป จะทำให้เคลือบหลอมตัวที่อุณหภูมิสูงขึ้น เคลือบที่ได้มีสีออกเหลืองนวล และความมันวาวลดลง เนื่องจากกากของเสียมีความทนไฟ และเคลือบที่ได้มีความแข็งเพิ่มขึ้นและสามารถทนทานต่อการขีดได้ดีขึ้น ในการเลือกสูตรเคลือบ ควรเลือกใช้สูตรเคลือบที่มีแคลเซียมออกไซด์ และอะลูมินาในสูตรเคลือบเนื่องจากการใช้กากของเสียเป็นวัตถุดิบ จะทำให้ได้แคลเซียมออกไซด์และอะลูมินาด้วย

บทที่ 6

การใช้กากของเสียเป็นวัตถุดิบในเคลือบพริต

บทที่ 6 ประกอบด้วยผลการทดลองการใช้กากของเสียเป็นวัตถุดิบในเคลือบพริต ผลของการปรับสูตรพริต และผลการวิเคราะห์สมบัติของเคลือบพริตหลังเผา

6.1 การเลือกสูตรพริตมาตรฐานและการปรับสูตรพริต

งานวิจัยนี้ได้ทำการเลือกสูตรพริตมาตรฐานที่มีเซอร์โคเนียมไดออกไซด์ (ZrO_2) เป็นตัวให้ความทึบแสง แทนด้วย STD-Z [40] โดยส่วนผสมของพริตมาตรฐานดังกล่าวแสดงในตารางที่ 6.1 เมื่อได้สูตรพริตมาตรฐานแล้ว จึงได้มีการปรับสูตรพริต โดยแบ่งออกเป็น 2 ส่วน คือ 1) สูตรพริตที่ทำการปรับโดยมีการใส่ TiO_2 แทน ZrO_2 ในสัดส่วน 5 10 และ 15 เปอร์เซ็นต์โดยน้ำหนัก โดยแทนด้วย T5 T10 และ T15 ตามลำดับ และ 2) สูตรพริตที่มีการใส่กากของเสียเป็นวัตถุดิบทดแทนไทเทเนียมไดออกไซด์ทางการค้าในสูตร T5 T10 และ T15 แทนด้วย W5 W10 และ W15 ส่วนผสมของวัตถุดิบของพริตที่ทำการปรับเมื่อเปรียบเทียบกับพริตมาตรฐาน แสดงในตารางที่ 6.2 หลังจากนั้นนำพริตที่ได้ไปเตรียมเป็นเคลือบพริต และศึกษาสมบัติของพริตและเคลือบพริตที่ได้

ตารางที่ 6.1 ส่วนผสมของพริตมาตรฐาน STD-Z [40]

วัตถุดิบ	สูตรเคมี	สัดส่วนโดยน้ำหนัก (wt%)
บอแรกซ์	$Na_2O \cdot 2B_2O_3 \cdot 10H_2O$	10.3
โพแทสเซียมคาร์บอเนต	K_2CO_3	0.7
หินปูน	$CaCO_3$	10.4
ทัลค์	$3MgO \cdot 4SiO_2 \cdot H_2O$	3.5
โซเดียมคาร์บอเนต	Na_2CO_3	13.6
ดินขาว	$Al_2O_3 \cdot 2SiO_2 \cdot 2H_2O$	9.4
เซอร์โคเนียมซิลิเกต	$ZrSiO_4$	14.1
ทรายแก้ว	SiO_2	38.0
ไทเทเนียมไดออกไซด์ (รูไทล์)	TiO_2	-

ตารางที่ 6.2 ส่วนผสมของวัตถุดิบของสูตรพริตมาตรฐาน และสูตรพริตที่ทำการปรับ

วัตถุดิบ	สูตร						
	STD-Z	T5	T10	T15	W5	W10	W15
บอแรกซ์	10.3	13.8	11.9	11.9	14.1	12.4	12.6
โพแทสเซียมคาร์บอเนต	0.7	0.1	0.7	0.6	0.1	0.7	0.6
หินปูน	10.4	10.1	12.9	11.9	5.2	3.9	-
ทัลค์	3.5	-	-	-	-	-	-
โซเดียมคาร์บอเนต	13.6	3.7	6.9	4.1	3.8	7.3	4.1
ดินขาว	9.4	12.3	10.4	10.0	9.9	6.0	2.7
เซอร์โคเนียมซิลิเกต	14.1	-	-	-	-	-	-
ทรายแก้ว	38.0	55.2	48.5	47.7	57.9	53.2	53.8
ไทเทเนียมไดออกไซด์ (รูไทล์)	-	4.8	8.8	13.9	-	-	-
กากของเสีย (อบแห้ง)	-	-	-	-	8.9	16.5	21.8

หมายเหตุ ตัวเลข 5, 10, 15 หลังอักษร T และ W แสดงปริมาณของไทเทเนียมไดออกไซด์ที่ปรากฏในสูตรพริตหลังการหลอม

6.2 ลักษณะสมบัติของพริตที่ได้

6.2.1 ลักษณะกายภาพของพริต

เมื่อทำการเตรียมพริตตามสูตรที่ได้คำนวณในตารางที่ 6.2 พบว่าลักษณะของพริตสูตรต่างๆ มีลักษณะดังรูปที่ 6.1 โดยพริตมาตรฐานที่มีการใช้เซอร์โคเนียมไดออกไซด์เป็นตัวให้ความทึบแสง หรือที่เรียกว่าพริตสูตร STD-Z นั้น เมื่อทำการหลอมจะได้พริตที่มีสีเขียวใส ในขณะที่เคลือบที่มีการใช้ไทเทเนียมไดออกไซด์ทางการค้าเป็นวัตถุดิบหรือที่เรียกว่าพริตสูตร T และเคลือบที่มีการใช้กากของเสียเป็นวัตถุดิบหรือที่เรียกว่าพริตสูตร W นั้น เมื่อทำการหลอมจะให้พริตที่มีสีเหลืองน้ำตาล และสีได้สีเข้มมากขึ้นเมื่อมีการใส่ไทเทเนียมไดออกไซด์ทางการค้าและกากของเสียในสูตรมากขึ้น ส่วนพริตสูตร W15 นั้น หากมีการทำให้พริตมีการเย็นตัวอย่างรวดเร็วในน้ำก็จะทำให้เกิดสีน้ำตาลเช่นเดียวกันกับสูตรอื่นๆ แต่ที่เห็นเป็นสีน้ำเงินอมม่วงนั้นก็เนื่องจากพริตที่ได้จากการหลอมมีความหนืดสูงมาก จึงไม่สามารถเทออกจากเบ้าหลอมได้ พริตสูตรนี้จึงถูกปล่อยให้เย็นตัวในอากาศ ทำให้พริตมีเวลาในการเกิดการเปลี่ยนแปลงและดูดกลืนแสงบางความยาวคลื่น [9] จึงทำให้พริตเกิดการเปลี่ยนสีจากสีน้ำตาลไปเป็นสีน้ำเงินอมม่วง จากขั้นตอนในการหลอมพริตทำให้ทราบว่าการใส่ไทเทเนียมไดออกไซด์และกากของเสียในสูตรพริตเพิ่มขึ้นนั้น นอกจากจะทำให้ได้พริตที่สีเข้มขึ้นแล้ว ยังทำให้พริตมีความหนืดที่สูงขึ้นอีกด้วย พริตที่มีการไหลตัวดีและหลอมตัวดีนั้นควรมีอัตราส่วนของ RO:RO₂ อยู่ระหว่าง 1:1 ถึง 1:3 [9] แต่เนื่องจากการปรับสูตรพริตนี้มีการเพิ่มวัตถุดิบที่ให้ไทเทเนียมไดออกไซด์ ทำให้สัดส่วนของ RO:RO₂ ไม่อยู่ระหว่าง 1:1 ถึง 1:3 โดยการเพิ่มวัตถุดิบไทเทเนียมไดออกไซด์จะเป็นการ

เพิ่มวัตุดิบกลุ่ม RO_2 จึงทำให้พริตเกิดการหลอมตัวและไหลตัวได้ยากขึ้น ลักษณะของพริตหลังการบดแสดงในรูปที่ 6.2 เมื่อทำการบดพริตทุกสูตร พบว่าสีของผงพริตที่ได้ไม่แตกต่างกันมากนัก ส่วนพริตสูตร W15 นั้น ไม่สามารถทำการเตรียมผงพริตได้ เนื่องจากพริตมีความหนืดจึงไม่สามารถเทออกจากเบ้าหลอมได้ดังที่กล่าวมาก่อนหน้านี้



รูปที่ 6.1 ลักษณะของพริตที่ได้หลังอบให้แห้งที่อุณหภูมิ 110 องศาเซลเซียส

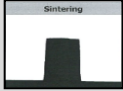

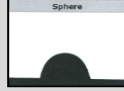
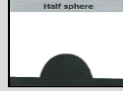



รูปที่ 6.2 ลักษณะของฟริตเมื่อทำการบดให้ละเอียด

6.2.2 ผลการวิเคราะห์คุณสมบัติการหลอมตัวเฉพาะของฟริต

คุณสมบัติการหลอมตัวเฉพาะของฟริตสูตรต่างๆ แสดงในตารางที่ 6.3 พบว่าฟริตมาตรฐาน STD-Z มีคุณสมบัติการหลอมตัวเฉพาะที่ต่ำที่สุด คือ 1164 องศาเซลเซียส ในขณะที่ฟริตที่มีการปรับใช้ไทเทเนียมไดออกไซด์ทางการค้า T5 T10 และ T15 มีคุณสมบัติการหลอมตัวเฉพาะเท่ากับ 1320 1216 และ 1260 องศาเซลเซียส ตามลำดับ และฟริตที่มีการใช้กากของเสียเป็นวัตถุดิบ คือ ฟริต W5 W10 และ W15 มีคุณสมบัติการหลอมตัวเฉพาะเท่ากับ 1292 1228 และ 1310 องศาเซลเซียส ตามลำดับ และเมื่อเปรียบเทียบคุณสมบัติการหลอมตัวเฉพาะระหว่างฟริต T และ W ฟริต T10 และ W10 มีคุณสมบัติการหลอมตัวเฉพาะที่ใกล้เคียงกัน และต่ำกว่าสูตรอื่นๆ ทั้งนี้เมื่อทำการวิเคราะห์จากสัดส่วนของวัตถุดิบในสูตรฟริต พบว่าฟริตสูตร T10 และ W10 มีปริมาณของโพแทสเซียมคาร์บอเนตและโซเดียมคาร์บอเนตที่ทำหน้าที่เป็นตัวลดจุดหลอมตัวที่ค่อนข้างรุนแรงมากกว่าสูตรอื่นๆ จึงทำให้ฟริต 2 สูตรนี้มีจุดหลอมตัวเฉพาะต่ำ ทำให้สามารถคาดคะเนได้ว่าฟริตสูตร T10 และ W10 น่าจะเป็นสูตร ฟริตที่ทำการปรับที่ดีที่สุดในการนำมาเตรียมเคลือบฟริตต่อไป

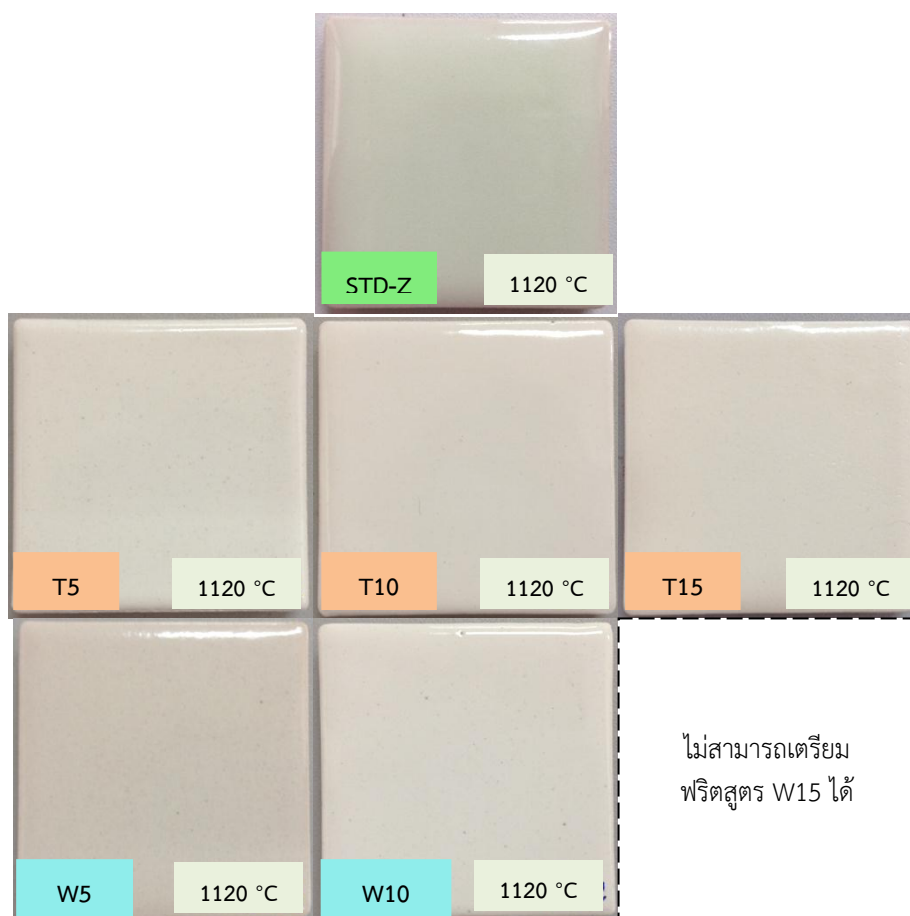
ตารางที่ 6.3 อุณหภูมิการหลอมตัวเฉพาะของฟritt

ฟritt		Characteristic temperatures (°C)				
		Sintering 	Softening 	Sphere 	Half sphere 	Melting 
ใช้ ZrO ₂ (STD-Z)		770	856	998	1098	1164
ใช้ TiO ₂ ทางการค้า	T5	834	918	1083	1254	1320
	T10	775	846	1155	1199	1216
	T15	875	985	1207	1239	1260
ใช้กากของเสีย ทดแทน TiO ₂ ทางการค้า	W5	844	965	1162	1250	1292
	W10	835	926	1116	1176	1228
	W15	917	1035	1225	1285	1310

6.3 ลักษณะสมบัติของเคลือบฟritt

6.3.1 ลักษณะทางกายภาพและค่าสีของเคลือบฟritt

เมื่อนำฟrittแต่ละสูตรที่ได้ไปทำการเตรียมชิ้นงานเคลือบและเผาที่อุณหภูมิเดียวกันทุกสูตรคือ 1120 องศาเซลเซียส พบว่าลักษณะของเคลือบในแต่ละสูตรเป็นดังรูปที่ 6.3 เคลือบฟrittมาตรฐาน STD-Z ซึ่งมีการใช้เซอร์โคเนียมไดออกไซด์เป็นตัวให้ความทึบแสงให้เคลือบทึบที่มีสีเขียวอมเทาและผิวมันวาวสวยงาม นอกจากนี้ยังพบว่าเคลือบสูตรนี้เกิดการหดตัวตามขอบกระเบื้องเล็กน้อย ส่วนเคลือบที่มีการใช้ไทเทเนียมไดออกไซด์ทางการค้า และกากของเสียเป็นวัตถุดิบนั้นจะให้เคลือบทึบที่มีสีขาว โดยเคลือบสูตร T5 T10 W5 และ W10 ผิวของเคลือบมีความมันวาวสวยงาม ส่วนเคลือบสูตร T15 ได้เคลือบที่มีผิวออกมันกึ่งด้าน เคลือบ T และ W ทุกสูตรเคลือบสามารถปิดชิ้นงานได้ดี สาเหตุที่เคลือบฟrittมาตรฐาน STD-Z ได้เคลือบที่มีสีเขียวอมเทาก็เนื่องจากฟrittสูตรนี้มีการใส่เซอร์โคเนียมซิลิเกต ที่ให้ ZrO₂ ซึ่งนอกจากจะทำให้ได้เคลือบทึบ ยังทำให้เกิดสีเขียวในเคลือบด้วย อีกทั้งฟritt STD-Z ยังมีการใส่ทัลค์ที่มีสูตรเคมีคือ 3MgO·4SiO₂·H₂O ซึ่งให้ MgO และ SiO₂ ในสูตรเคลือบ MgO เป็นตัวที่ช่วยส่งเสริมการเกิดสีเขียวอีก จึงทำให้เคลือบ STD-Z ได้เคลือบที่มีสีเขียวอมเทาได้^[9] หรืออาจเกิดจากการที่มีเหล็กออกไซด์เจือปนมากับวัตถุดิบบางตัว เช่น ดินขาว เป็นต้น


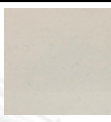






รูปที่ 6.3 ลักษณะของเคลือบฟริตมาตรฐาน STD-Z เคลือบฟริต T และ W ที่ทำการเผาที่อุณหภูมิ 1120 องศาเซลเซียส

ค่าสีของเคลือบที่ได้จากเครื่อง Spectrophotometer แสดงในตารางที่ 6.4 เคลือบฟริตสูตร T และเคลือบฟริตสูตร W ให้เคลือบสีขาวที่มีความขาวมากกว่าเคลือบฟริตมาตรฐาน STD-Z เคลือบฟริตสูตร W10 มีความขาวที่มากกว่าเคลือบฟริตสูตร W5 เคลือบที่มีค่าความขาวสูงที่สุดนั้น ได้แก่ เคลือบสูตร T10 และ W10 โดยมีค่าความขาวของเคลือบสูงถึง 95.41 และ 96.09 เปอร์เซ็นต์ ตามลำดับ ในส่วนของเคลือบฟริตนั้นไม่มีแนวโน้มว่าการใช้กากของเสียเป็นวัตถุดิบในปริมาณเพิ่มขึ้น ในสูตรเคลือบจะส่งผลให้เกิดสีเหลืองในเคลือบมากขึ้นเหมือนกับในส่วนของเคลือบเซรามิก

เมื่อเปรียบเทียบค่าความขาวและความอิ่มสีระหว่างเคลือบฟริตที่มีการใช้ผงไทเทเนียมไดออกไซด์ทางการค้าเป็นวัตถุดิบสูตร T และเคลือบฟริตที่มีการใช้กากของเสียทดแทนไทเทเนียมไดออกไซด์ทางการค้าสูตร W ดังแสดงในตารางที่ 6.5 พบว่าเคลือบฟริตสูตร T10 และ W10 มีสีของเคลือบใกล้เคียงกันมากที่สุด เนื่องจากมีค่าความต่างของค่า L^* และ b^* น้อยมาก และเคลือบฟริตทั้ง 2 สูตรนี้ก็เป็นเคลือบฟริตที่สวยงามและมีความมันวาวมาก และมีจุดหลอมตัวของสูตรฟริตที่ต่ำที่สุดด้วย

ตารางที่ 6.4 ค่าสีของเคลือบฟريت

ค่าสี	เคลือบฟريت						
	STD-Z	T5	T10	T15	W5	W10	W15
L (whiteness)	80.57	94.98	95.41	93.94	88.41	96.09	n/a
a* (green-red)	-1.97	-0.38	0.41	-0.61	0.89	-0.24	n/a
b* (blue to yellow)	10.08	3.17	2.1	11.98	5.67	3.35	n/a
เคลือบ							n/a

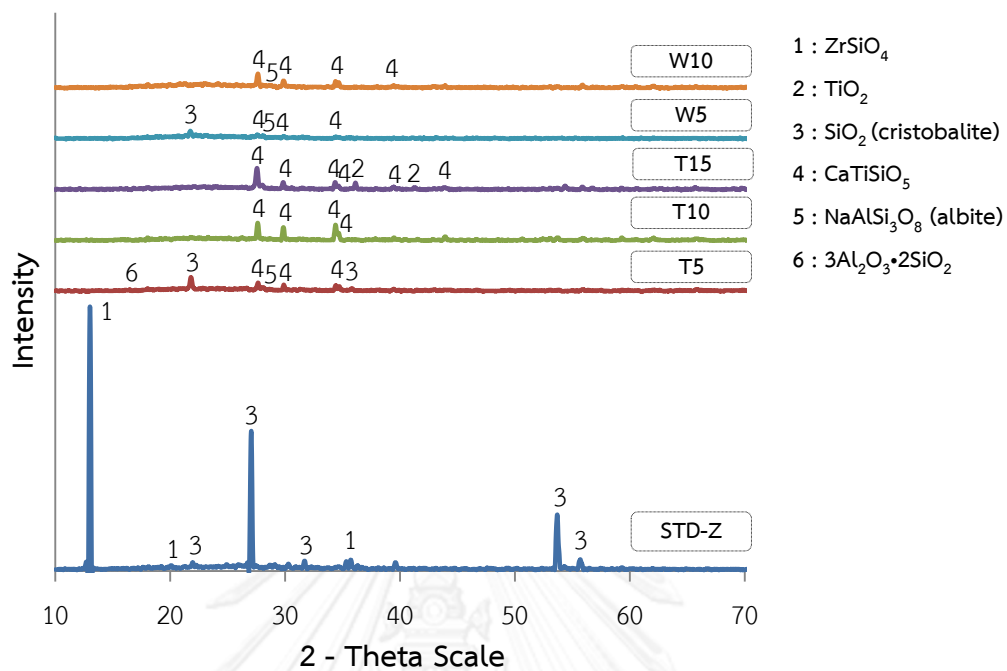
n/a คือ ไม่สามารถเตรียมฟريتและเคลือบฟريتได้

ตารางที่ 6.5 การเปรียบเทียบค่าความขาวและความอิ่มสีระหว่างเคลือบฟريتที่มีการใช้ผงไทเทเนียมไดออกไซด์ทางการค้าเป็นวัตถุดิบ และเคลือบฟريتที่มีการใช้กากของเสียทดแทนไทเทเนียมไดออกไซด์ทางการค้า

ค่าเปรียบเทียบ	T5 / W5	T10 / W10
dL	6.57	0.68
da*	1.27	0.65
db*	2.5	1.25
dE*	7.143	1.564

6.3.2 องค์ประกอบทางเฟสของเคลือบหลังเผา

องค์ประกอบทางเฟสของเคลือบฟريتหลังเผาสูตรมาตรฐาน STD-Z เคลือบฟريت T และเคลือบฟريت W แสดงในรูปที่ 6.4 เคลือบฟريتมาตรฐานสูตร STD-Z มีเฟสของเซอร์โคเนียมซิลิเกตปรากฏอยู่ซึ่งแตกต่างจากสูตรอื่นๆ เนื่องจากเคลือบมาตรฐาน STD-Z มีการใช้เซอร์โคเนียมซิลิเกตเป็นวัตถุดิบเพื่อให้เกิดความทึบแสงในเคลือบ เคลือบฟريتสูตร T5 และ W5 ซึ่งมีส่วนประกอบของออกไซด์ที่เหมือนกันนั้นมีองค์ประกอบทางเฟสของเคลือบที่คล้ายคลึงกัน คือมีการเกิดเฟสของไทเทนาइट (CaTiSiO_5) อัลไบต์ ($\text{NaAlSi}_3\text{O}_8$) และซิลิกา (SiO_2) เฟสที่ปรากฏอย่างชัดเจนในเคลือบฟريتสูตร W5 และ W10 คือ ไทเทนาइट และอัลไบต์ ส่วนเคลือบฟريتสูตร W15 นั้น ไม่สามารถเตรียมได้เนื่องจากฟريتสูตร W15 มีความหนืดมากทำให้ไม่สามารถเทฟريتออกจากเบ้าหลอมได้



รูปที่ 6.4 องค์ประกอบทางเฟสของเคลือบฟritมาตรฐาน STD-Z เคลือบฟrit T และ W

6.3.3 สัมประสิทธิ์การขยายตัวทางความร้อน

ค่าสัมประสิทธิ์การขยายตัวทางความร้อนของเคลือบฟritที่ได้มาจะมีความใกล้เคียงกับเนื้อดินกระเบื้อง เนื่องจากเคลือบสามารถปกคลุมผิวของชิ้นงานได้อย่างสวยงาม และไม่เกิดตำหนิของเคลือบ ดังนั้นค่าสัมประสิทธิ์การขยายตัวทางความร้อนของเคลือบฟritชุดนี้จึงไม่ได้ทำการตรวจวัดค่าด้วยเครื่อง dilatometer

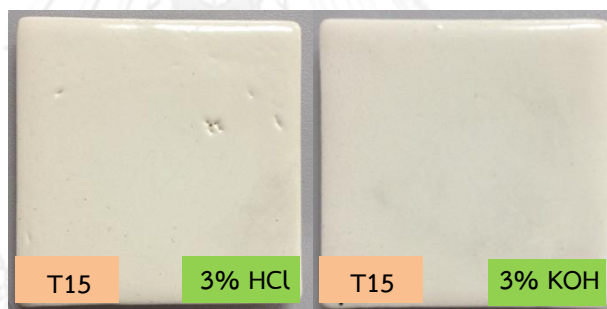
6.3.4 ความทนทานต่อสารเคมี

ระดับความทนทานต่อสารเคมีกรดและด่างของเคลือบฟritมาตรฐาน STD-Z เคลือบฟrit T และ W แสดงในตารางที่ 6.6 เคลือบเกือบทุกสูตรมีความทนทานต่อสารละลายกรด 3%HCl และสารละลายด่าง 3%KOH อยู่ในระดับ A ซึ่งหมายความว่าเคลือบสามารถทนทานต่อสารเคมีได้ดี ผิวของเคลือบไม่ถูกทำลาย ไม่มีความแตกต่างระหว่างผิวที่ไม่ถูกทดสอบและผิวที่ถูกทดสอบ เคลือบมีความสะท้อนได้ดีเหมือนเดิม และมีเพียงเคลือบฟritสูตร T15 ซึ่งมีการใช้ไทเทเนียมไดออกไซด์ในสูตรมากที่สุดเท่านั้น ที่มีระดับความทนทานต่อกรด 3%HCl อยู่ในระดับ B คือเมื่อทำการทดสอบพบว่าผิวของเคลือบเกิดการเปลี่ยนแปลง เมื่อทำการทดสอบบริเวณผิวที่ถูกทดสอบด้วยการขีดด้วยดินสอ HB และทำการลบ ปรากฏว่าไม่สามารถลบรอยดินสอบนผิวได้ แต่การสะท้อนแสงของผิวเคลือบเหมือนเดิมไม่เปลี่ยนแปลง ลักษณะของผิวเคลือบฟritสูตร T15 ที่ผ่านการทดสอบแสดงในรูปที่ 6.5

ตารางที่ 6.6 ระดับความทนทานต่อสารเคมีของเคลือบพริตมาตรฐาน STD-Z เคลือบพริต T และ W

เคลือบ	ระดับความทนทานต่อสารเคมี	
	HCl 3%	KOH 3%
STD-Z	GA	GA
T5	GA	GA
T10	GA	GA
T15	GB	GA
W5	GA	GA
W10	GA	GA
W15	n/a	n/a

n/a คือ ไม่สามารถเตรียมพริตและเคลือบพริตได้



รูปที่ 6.5 ลักษณะของผิวเคลือบพริตสูตร T15 ที่ผ่านการทดสอบความทนทานต่อสารเคมี

6.3.5 ความแข็งและความทนทานต่อการขีดข่วน

ค่าความแข็งและความทนทานต่อการขีดข่วนของเคลือบพริตมาตรฐาน STD เคลือบ พริต T และ W แสดงในตารางที่ 6.7 เคลือบพริตมาตรฐาน STD-Z มีค่าความแข็ง คือ 4.5584 GPa เคลือบพริต T และ W มีค่าความแข็งที่ใกล้เคียงกัน เคลือบพริต T ที่มีการใช้ไทเทเนียมไดออกไซด์ทางการค้าเป็นวัสดุเติมพบว่าเมื่อมีการเพิ่มปริมาณไทเทเนียมไดออกไซด์ในสูตร ความแข็งของเคลือบจะลดลง ในทางกลับกันเคลือบกลับมีความทนทานต่อการขีดข่วนเพิ่มมากขึ้นเมื่อเพิ่มปริมาณไทเทเนียมไดออกไซด์ เคลือบพริต T มีค่าความแข็งและความทนทานต่อการขีดข่วนที่น้อยกว่าเคลือบพริตมาตรฐาน STD-Z และเคลือบพริต W โดยที่เคลือบพริตมาตรฐาน STD-Z และเคลือบ พริต W มีค่าความแข็งและความทนทานต่อการขีดข่วนที่ใกล้เคียงกัน โดยมีค่าความแข็งอยู่ที่ 4.4079 - 4.9577 GPa และมีการสูญเสียน้ำหนักหลังทำการทดสอบเพียง 0.046 - 0.050 เปอร์เซ็นต์ ซึ่งถือว่าน้อยมาก

ในขณะที่เคลือบ T มีค่าความแข็งเพียง 3.9883 – 4.3023 GPa และมีการสูญเสียน้ำหนักอยู่ในช่วงกว้างสูงกว่า คือ 0.058 – 0.079 เปอร์เซ็นต์ แสดงให้เห็นว่าเคลือบพริต W ที่มีการใช้กากของเสียเป็นวัตถุดิบให้สมบัติของเคลือบพริตทางด้านความแข็งและความทนทานต่อการขีดที่ใกล้เคียงกับเคลือบพริตมาตรฐาน STD-Z มากที่สุด ในทางทฤษฎีนั้นเคลือบพริตก็มีความแข็งและความทนทานมากกว่าเคลือบเซรามิก เนื่องจากเคลือบพริตมีการหลอมพริตให้เป็นเนื้อเดียวกันก่อน เคลือบที่ได้จึงมีความเสถียร

ตารางที่ 6.7 ค่าความแข็งและความต้านทานต่อการขีดของเคลือบพริตมาตรฐาน STD-Z เคลือบพริต T และ W

เคลือบพริต	Vickers hardness, H_v (GPa)	น้ำหนักที่หายไปหลังทำการทดสอบ ความทนทานต่อการขีด (%)
STD-Z	4.5584 ± 0.5499	0.042 ± 0.002
T5	3.9883 ± 0.7562	0.058 ± 0.016
T10	4.2387 ± 0.3448	0.067 ± 0.003
T15	4.3023 ± 0.2867	0.079 ± 0.001
W5	4.9577 ± 0.6199	0.046 ± 0.010
W10	4.4079 ± 0.2790	0.050 ± 0.003
W15	n/a	n/a

n/a คือ ไม่สามารถเตรียมพริตและเคลือบพริตได้

6.4 สรุปผลการทดลองการใช้กากของเสียเป็นวัตถุดิบในการเตรียมพริตสำหรับเคลือบพริต

กากของเสียที่ได้จากกระบวนการผลิตอะลูมิเนียมสำหรับการผลิตอลูมิเนียมความหนาแน่นสูงสามารถนำมาใช้เป็นวัตถุดิบในการเตรียมพริตสำหรับเคลือบพริตได้ โดยกากของเสียสามารถใช้เป็นผงกากของเสียโดยตรงได้เลย ไม่จำเป็นต้องมีการเผาแคลไซน์เพื่อกำจัดคลอรีน เนื่องจากคลอรีนจะสลายตัวในขั้นตอนการหลอมพริต การใช้กากของเสียเป็นวัตถุดิบในพริต จำเป็นต้องมีการใส่วัตถุดิบที่เป็นตัวลดจุดหลอมตัวด้วย เนื่องจากพริตที่เตรียมได้จากกากของเสียจะมีจุดหลอมตัวที่สูง การใช้กากของเสียเป็นวัตถุดิบทดแทนไทเทเนียมไดออกไซด์ทางการค้าเป็นวัตถุดิบอย่างมาก มากไปกว่านั้นเคลือบพริต W ยังให้เคลือบที่มีความแข็งและความทนทานต่อการขีดได้ดีมากกว่าเคลือบพริตสูตร T และยังใกล้เคียงกับพริตมาตรฐาน STD-Z อีกด้วย โดยปริมาณของกากของเสียที่ใช้ในสูตรพริตที่เหมาะสมคือ 10 เปอร์เซ็นต์โดยน้ำหนัก เมื่อนำพริตมาทำการเตรียมเคลือบนั้น ได้เคลือบพริตที่บสีขาวที่มีค่าความขาวมากกว่า 90 เปอร์เซ็นต์

บทที่ 7

สรุปผลการวิจัย อภิปรายผล และข้อเสนอแนะ

7.1 สรุปผลการวิจัย

จากการทดลองที่ได้มีการใช้กากของเสียที่ได้จากการผลิตกระดาษลิสต์สำหรับการผลิตพอลิเอทิลีนความหนาแน่นสูงมาใช้เป็นวัตถุดิบทดแทนไทเทเนียมไดออกไซด์ทางการค้าในเคลือบเซรามิกและเคลือบฟريت และได้เตรียมชิ้นงานเคลือบสูตรต่างๆ ตลอดจนทำการวิเคราะห์และทดสอบสมบัติต่างๆ ของเคลือบ สามารถสรุปผลการทดลองได้ ดังนี้

- 7.1.1 ในการใช้กากของเสียเป็นวัตถุดิบในเคลือบดิบ มีความจำเป็นต้องกำจัดสารประกอบคลอไรด์ก่อน ด้วยการเผาแคลไซน์กากของเสียที่อุณหภูมิ 350 องศาเซลเซียส เพราะสารประกอบคลอไรด์ทำให้น้ำเคลือบมีความหนืดมาก ไหลตัวได้ยาก เนื่องจากมีสมบัติเป็นอิเล็กโทรไลต์ ทำให้อนุภาคในน้ำเคลือบเกิดการจับตัวเป็นก้อน
- 7.1.2 ในการศึกษาสัดส่วนของกากของเสียที่ใช้เป็นวัตถุดิบในเคลือบเซรามิก พบว่าปริมาณที่เหมาะสมของกากของเสียในสูตรเคลือบเมื่อเปรียบเทียบกับสูตรเคลือบมาตรฐานและทำให้เคลือบได้สมบัติที่ดี คือ 8.44 เปอร์เซ็นต์โดยน้ำหนัก ไม่ควรใส่เกิน 10 เปอร์เซ็นต์โดยน้ำหนัก เพราะการใส่กากของเสียในปริมาณที่มากเกินไปจะทำให้เคลือบมีจุดหลอมตัวที่สูงขึ้น เนื่องจากกากของเสียมีอะลูมินาซึ่งเป็นตัวทนไฟอยู่ด้วย และเคลือบที่ใช้กากของเสียเป็นวัตถุดิบสามารถเผาได้ที่ 1200 องศาเซลเซียส เพื่อให้เกิดเคลือบที่บสีขาว มีความมันวาว
- 7.1.4 ในการใช้กากของเสียเป็นวัตถุดิบทดแทนในการหลอมฟريت ไม่จำเป็นต้องผ่านการเผาแคลไซน์ก่อนเหมือนในกรณีใช้ทดแทนไทเทเนียมไดออกไซด์ในเคลือบดิบ เนื่องจากสารประกอบคลอไรด์สามารถสลายตัวได้ระหว่างหลอม เคลือบฟريتที่มีการใช้กากของเสียเป็นวัตถุดิบทดแทน ให้สมบัติของเคลือบที่ใกล้เคียงกับเคลือบที่มีการใช้ไทเทเนียมไดออกไซด์ทางการค้าเป็นวัตถุดิบ โดยปริมาณที่เหมาะสมในการใช้กากของเสียเป็นวัตถุดิบทดแทนไทเทเนียมไดออกไซด์ ไม่ควรเกิน 10 เปอร์เซ็นต์โดยน้ำหนัก เมื่อเปรียบเทียบกับสูตรเคลือบฟريتมาตรฐาน และเผาเคลือบที่อุณหภูมิ 1120 องศาเซลเซียส
- 7.1.5 การใช้กากของเสียเป็นวัตถุดิบในฟريت จำเป็นต้องใส่ตัวช่วยลดจุดหลอมตัว เนื่องจากฟريتที่มีการเติมกากของเสียจะมีจุดหลอมตัวสูง เพราะมีอะลูมินาที่มีสมบัติต้านการทนไฟ

7.2 ข้อเสนอแนะ

- 7.2.1 ในกากของเสียมีองค์ประกอบหลัก ได้แก่ โทเทเนียมไดออกไซด์ แคลเซียมออกไซด์ และอะลูมินาเป็นส่วนประกอบหลัก ดังนั้นในการเลือกใช้สูตรเคลือบและฟritt จำเป็นต้องเลือกสูตรที่มีออกไซด์ 3 ชนิดนี้อยู่ในสูตรด้วย
- 7.2.2 อาจทำการปรับเปลี่ยนวัตถุดิบอื่นๆ ในสูตรเคลือบ เพื่อให้ได้เคลือบที่มีสมบัติตามต้องการ



จุฬาลงกรณ์มหาวิทยาลัย
CHULALONGKORN UNIVERSITY

รายการอ้างอิง

- [1] Zimmer, A. Ceramic Products from Waste Ceramic Materials (2010): 215-228.
- [2] สมนึก ศิริสุนทร. (2553). สถานภาพอุตสาหกรรมเซรามิกของประเทศไทยในปัจจุบัน. เซรามิกส์ 14: 43-53.
- [3] ปรีดา พิมพ์ขาวขำ. เคลือบเซรามิกส์. พิมพ์ครั้งที่ 2. กรุงเทพมหานคร: สำนักพิมพ์อักษรเจริญทัศน์, 2530.
- [4] พลาสติกประเภท HDPE โพลีเอทิลีนชนิดความหนาแน่นสูง[Online]. 2552. แหล่งที่มา: <http://greeniebag.blogspot.com/2009/03/hdpe-130-0.html>[4 มี.ค. 57]
- [5] พอลิเมอร์[Online]. แหล่งที่มา: <http://www.nmt.ac.th/home/chemistry/08.html>[4 มี.ค. 57]
- [6] Wolf, C. R., Forte, M. M. d. C. and dos Santos, J. H. Z. Characterization of the nature of chemical species of heterogeneous Ziegler-Natta catalysts for the production of HDPE. Catalysis Today 107-108 (2005): 451-457.
- [7] บริษัท เอสซีจี เคมิคอลส์ จำกัด, เอกสารการประชุมเรื่องการกำหนดขอบเขตและแนวทางการประเมินผลกระทบต่อสิ่งแวดล้อมและสุขภาพโดยสาธารณะ, 2553.
- [8] เอ็ดทสึโช คาโต. หลักการทำเคลือบเซรามิก (The Fundamentals of the Glaze Preparation). พิมพ์ครั้งที่ 2. กรุงเทพมหานคร: สำนักพิมพ์แห่งจุฬาลงกรณ์มหาวิทยาลัย, 2553.
- [9] ปรีดา พิมพ์ขาวขำ. เซรามิกส์. พิมพ์ครั้งที่ 3. กรุงเทพมหานคร: สำนักพิมพ์จุฬาลงกรณ์มหาวิทยาลัย, 2535.
- [10] ดร.ณิ วัฒนศิริเวช. การวิเคราะห์แร่ดิน เคลือบ และตำหนิในผลิตภัณฑ์เซรามิก. พิมพ์ครั้งที่ 1. กรุงเทพมหานคร: สำนักพิมพ์แห่งจุฬาลงกรณ์มหาวิทยาลัย, 2552.
- [11] วรณา ต.แสงจันทร์ และลดา พันธุ์สุขุมนานา. เคลือบเซรามิก[Online]. แหล่งที่มา: <http://lib3.dss.go.th>[4 มี.ค. 57]
- [12] สุรศักดิ์ โกสียพันธ์. น้ำเคลือบเครื่องปั้นดินเผา. พิมพ์ครั้งที่ 2. กรุงเทพมหานคร: วัฒนาพานิช, 2531.
- [13] Ahmed, M. and Earl, D. A. Characterizing glaze melting behavior via HSM. American Ceramic Society Bulletin 81(2002): 47.
- [14] Salem, Sh., Jazayeri, S.H., Bondioli, F., Allahverdi, A. and Shirvani, M. Characterizing thermal behavior of ceramic glaze containing nano-sized cobalt-aluminate pigment by hot stage microscopy. Thermochimica Acta 521(2011): 191-196.
- [15] Froberg, L., Kronberg, T., Hupa, M. Influence of firing parameters on phase composition of raw glazes. Journal of the European Ceramic Society (2007): 1671-1675.
- [16] Latorre, K. Glaze talk[Online]. 2010. Available from: <http://www.docstoc.com> [2014, January 3]

- [17] Reed, J. S. Principles of Ceramics Processing. 2nd ed. London: Chapman & Hall, 1995.
- [18] คชินท์ สายอินทวงศ์. สัมประสิทธิ์การขยายตัวเนื่องจากความร้อน[Online]. 2551. แหล่งที่มา: http://www.ceramicsociety.com/ch_heat.php[2 พ.ย.56]
- [19] ISO 3585:1991., มาตรฐานผลิตภัณฑ์อุตสาหกรรมกระเบื้องเซรามิก 2553.
- [20] ASTM D968-93., Abrasion resistance of coating.
- [21] Gardner Falling Sand Abrasion Tester[Online]. Available from: <http://www.abtek.com>[2014, January 3]
- [22] L a* b*: Color Space in 3D[Online]. Available from: <http://www.thyon.com/blog/gamut-lets-get-techni-colour.com>[2014, January 3]
- [23] Casasola, R., Rincon, J.M., Romero, M. Glass-ceramic glazes for ceramic tiles – a review Journal of Materials Science 47(2012): 553-582.
- [24] Eppler, R. A. Microstructure of Titania-Opacified Porcelain Enamels. American Ceramic Society 54(12) (2006): 595-600.
- [25] Eppler, R.A. and Mcleran Ja. W. A. Kinetics of Opacification of a TiO₂-Opacified Cover Coat Enamel. American Ceramic Society 50(3) (2006): 152-156.
- [26] Teixeira, S. and Bernardin, A.M. Development of TiO₂ white glazes for ceramic tiles. Dyes and Pigments 80(2009): 292-296.
- [27] Heimann, R. B. Oxide Ceramics: Structure, Technology, and Applications. Classic and Advanced Ceramics (2010): 175-252.
- [28] ฉัตรชัย โรจนไพฑูรย์ และ วนิดา ถาวรประดิษฐ์. การเตรียมอะลูมินาจากอลูมิเนียมไฮดรอกไซด์ที่ได้จากการขุดผิวชิ้นงานอลูมิเนียม. 2544.
- [29] สุจินต์ พรราวพันธ์. อะลูมินากับการนำไปใช้ในงานเซรามิก[Online]. 2554. แหล่งที่มา: <http://soclaimon.wordpress.com/2011/07/23/อะลูมินากับการนำไปใช้งาน>[3 ธ.ค.56]
- [30] ไพจิตร อังศิริวัฒน์. เนื้อดินเซรามิก. พิมพ์ครั้งที่ 1. โอ.เอส. พรีนติ้ง เฮาส์: สำนักพิมพ์โอเดียน สโตร์, 2541.
- [31] da Silva, R. C., Pianaro, S. A. and Tebcherani, S. M. Preparation and characterization of glazes from combinations of different industrial wastes. Ceramics International 38(4) (2012): 2725-2731.
- [32] Yalçın, N. and Sevinç, V. Utilization of bauxite waste in ceramic glazes. Ceramics International 26(5) (2000): 485-493.
- [33] Kamarudin, R. A. and Shahir Zakaria, M. The utilization of red gypsum waste for glazes. The Malaysian Journal of Analytical Sciences 11(2007): 57-64.
- [34] Karasu, B., Çakı, M. and Yeşilbaş, Y. G. The effect of albite wastes on glaze properties and microstructure of soft porcelain zinc crystal glazes. Journal of the European Ceramic Society 21(8) (2001): 1131-1138.

- [35] Karasu, B., Kaya, G., Cakir, A. and Yesilay, S. Utilization of borax solid waste in fast single-firing porcelain tile glass - ceramic glazes under industrial working conditions. The Minerals & Materials Society (2008): 379-387.
- [36] สิรินาถ วรรณคล้ำ และ โสวรรณ มนต์กิจสำราญ. การนำฝุ่นเหล็กจากเตาหลอมอาร์คไฟฟ้ามาประยุกต์ใช้ในเคลือบเซรามิก. โครงการงานเฉพาะเรื่องปริญญาบัณฑิต, ภาควิชาวัสดุศาสตร์ คณะวิทยาศาสตร์ จุฬาลงกรณ์มหาวิทยาลัย. 2554.
- [37] ปวีณา เกตุบุญเรือง. การพัฒนาสูตรเคลือบเซรามิกอุณหภูมิต่ำโดยใช้วัสดุเหลือทิ้ง. วิทยานิพนธ์ปริญญาโทบัณฑิต, ภาควิชาวัสดุศาสตร์ คณะวิทยาศาสตร์ จุฬาลงกรณ์มหาวิทยาลัย. 2553.
- [38] Karamanov, E. and Karamanov, A. Glass-ceramic frits from fly ash in terracotta production. Waste Management & Research 27(2009): 87-92.
- [39] Karasu, B., Kaya, G. and Kozulu, R. Utilization of concentrator waste of Etibor Kirka Borax Company in the recipe of an opaque frit used for wall tile glazes as an acid boric replacement. Key Engineering Materials 264-268(2004): 2505-2508.
- [40] Mestre, S., Gómez, M.P., Agut, P., Barba, A. and Añó, E. Synthesis of Frits with ZnO Made from Zamak Waste. CASTELLÓN (SPAIN) (2008): 257-272.
- [41] Castro, A., Soares, D., Vilarinho, C., Soares, D., Maçães, C., Sousa, C. and Castro, F. Kinetic study of thermal de-chlorination of PVC-containing waste. WASTES: Solutions, Treatments and Opportunities (2011)
- [42] Castro, A., Soares, D., Vilarinho, C. and Castro, F. Kinetics of thermal de-chlorination of PVC under pyrolytic conditions. Waste Management 32(5) (2012): 847-851.
- [43] คชินท์ สายอินทวงศ์. แนวทางในการเลือกใช้งานกระเบื้องเซรามิก[Online]. 2557. แหล่งที่มา: http://www.thaiceramicsociety.com/pd_tile_way2.php[3 ธ.ค.56]
- [44] กระเบื้องปูผนังได้หรือไม่ แล้วจะเลือกใช้อย่างไร[Online]. 2556. แหล่งที่มา: www.scghomesolution.com/home_society_detail.php?ci=52[3 ธ.ค.56]
- [45] ASTM C1327.08., Vickers Microhardness[Online]. 2555. แหล่งที่มา: <http://www.tonanasia.com>[3 ธ.ค.56]
- [46] Tonan Asia Autotech Co., LTD. การทดสอบแบบ Vickers[Online]. 2555. แหล่งที่มา: <http://www.tonanasia.com>[3 ธ.ค.56]
- [47] Digital Micro Hardness Tester Model : ISH - DV1000[Online]. 2555. Available from: <http://www.scghomesolution.com>[2013, December 7].
- [48] ไพจิตร อิงศิริวัฒน์. รวมสูตรเคลือบเซรามิกส์. พิมพ์ครั้งที่ 2. กรุงเทพมหานคร: สำนักพิมพ์โอเดียนสโตร์ 2547.
- [49] Groover, M. P. Fundamentals of Modern Manufacturing: Materials, Processes, and Systems. America: Wiley, 2010.

[50] Ece, O. I. and Zenbe, E. Bending strength of porcelains. Ceramics International 28(2) (2002): 131-140.



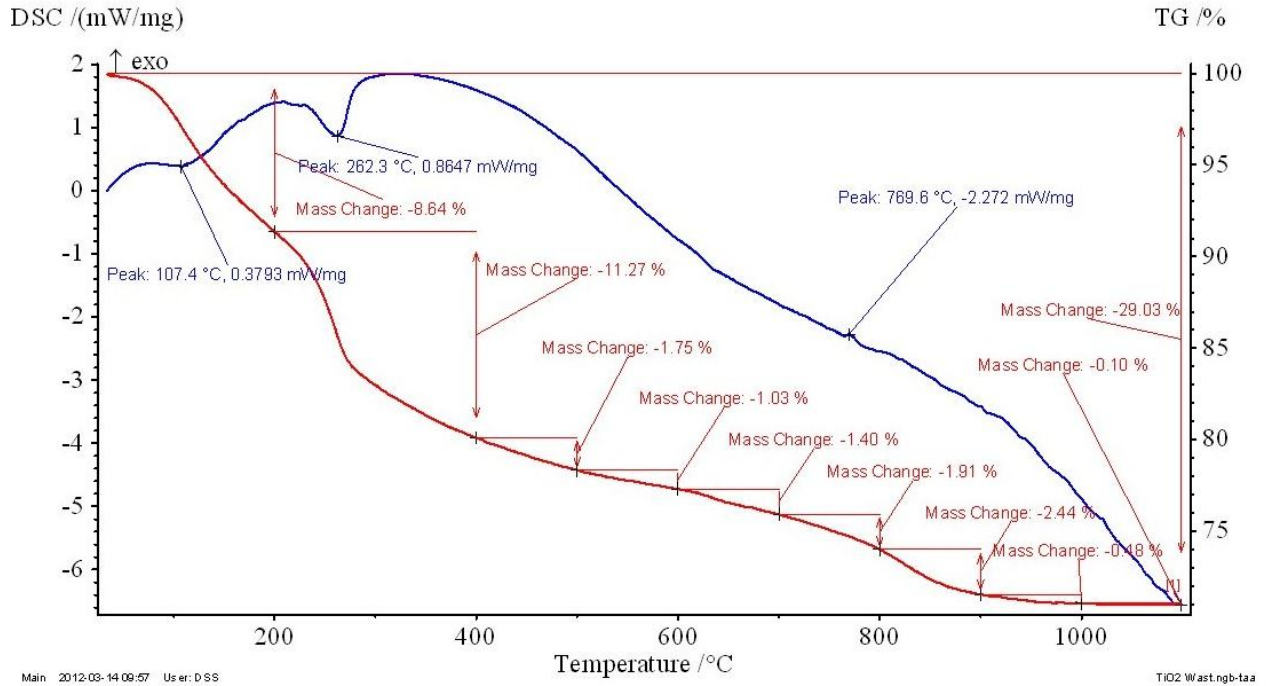


ภาคผนวก

จุฬาลงกรณ์มหาวิทยาลัย
CHULALONGKORN UNIVERSITY

ภาคผนวก ก

การเปลี่ยนแปลงเชิงอุณหภูมิจึงน้ำหนักที่เปลี่ยนไปของกากของเสียที่อุณหภูมิต่างๆ



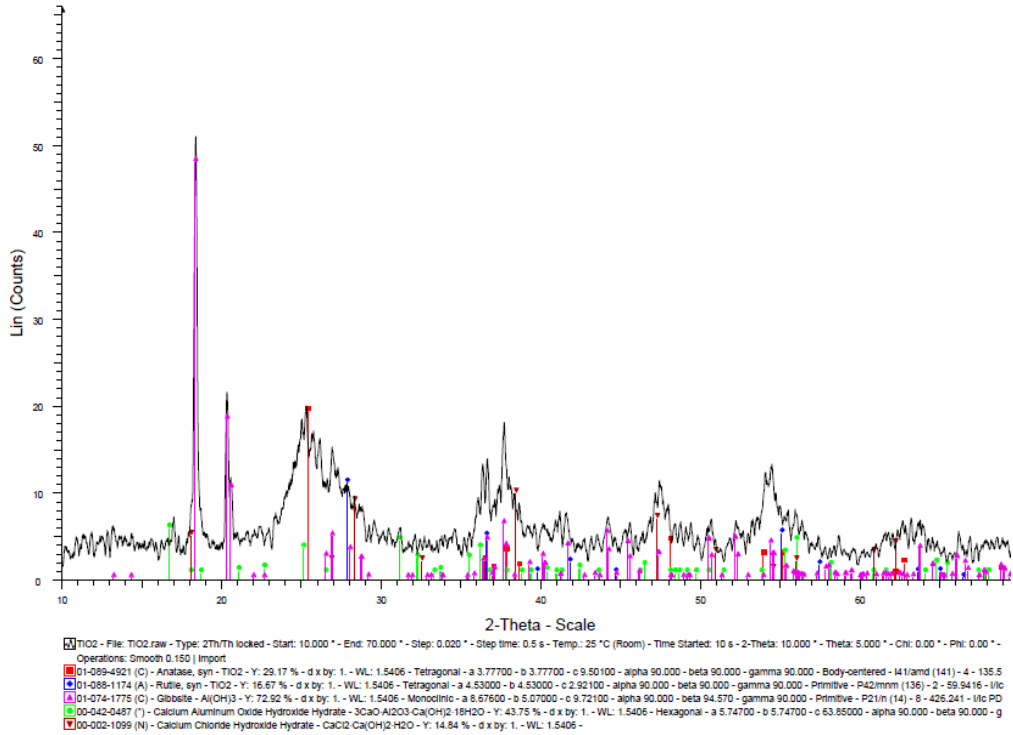
Main 2012-03-14 09:57 User: DSS

TID2 Wast.ngb-1aa

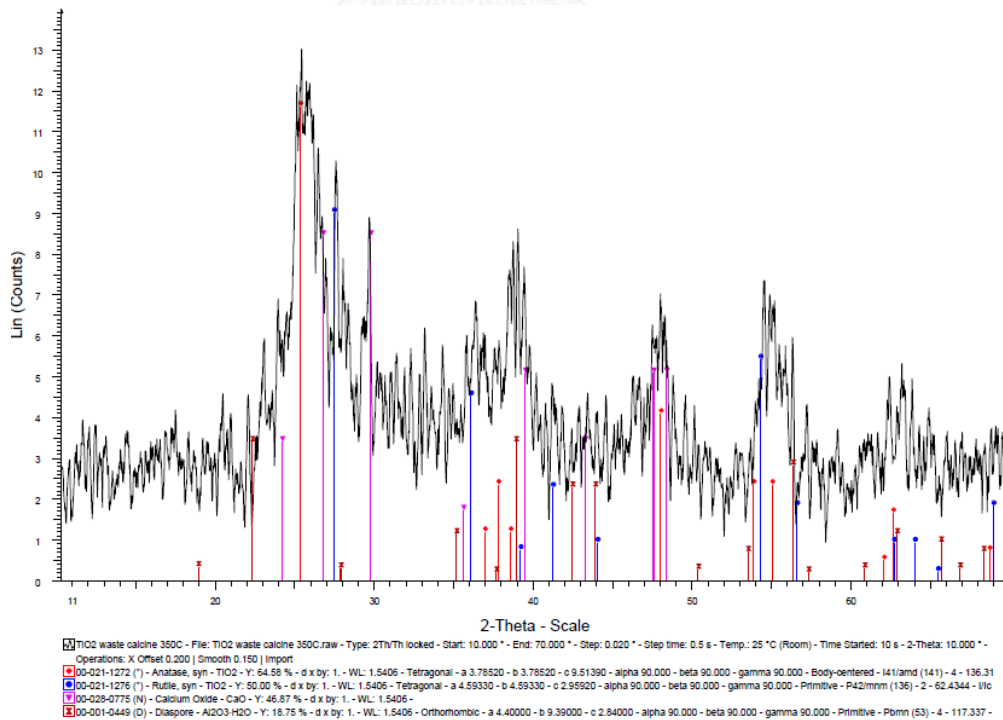
ภาพที่ ก การเปลี่ยนแปลงเชิงอุณหภูมิจึงน้ำหนักที่เปลี่ยนไปของกากของเสียที่อุณหภูมิต่างๆ

ภาคผนวก ข

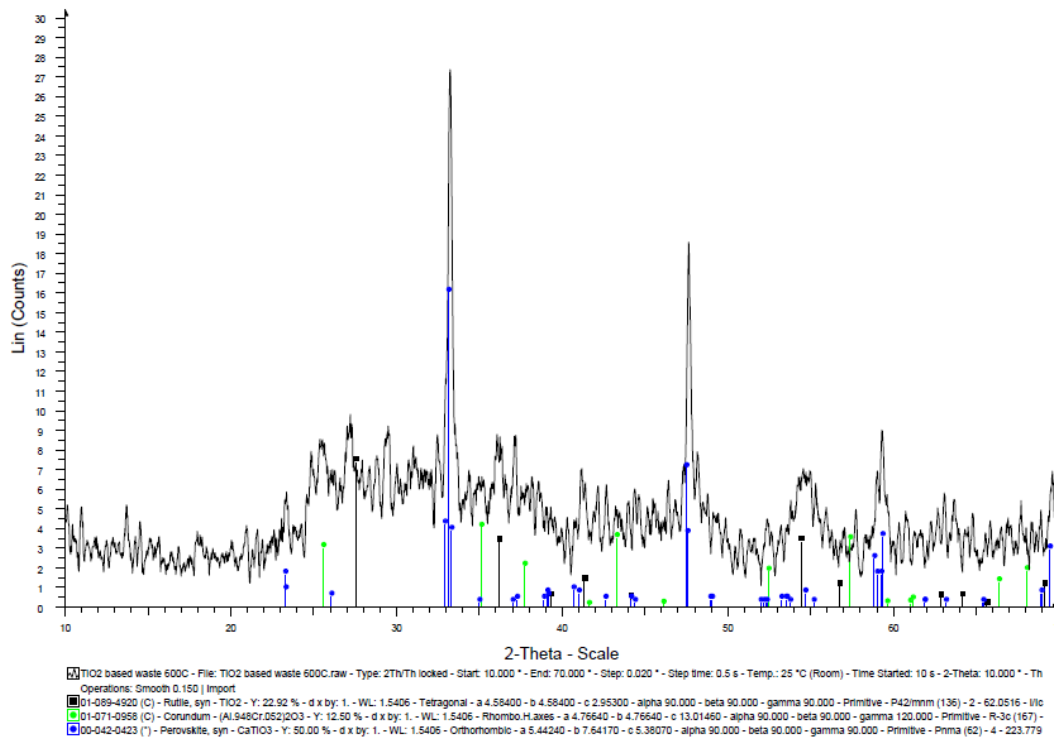
องค์ประกอบทางเฟส



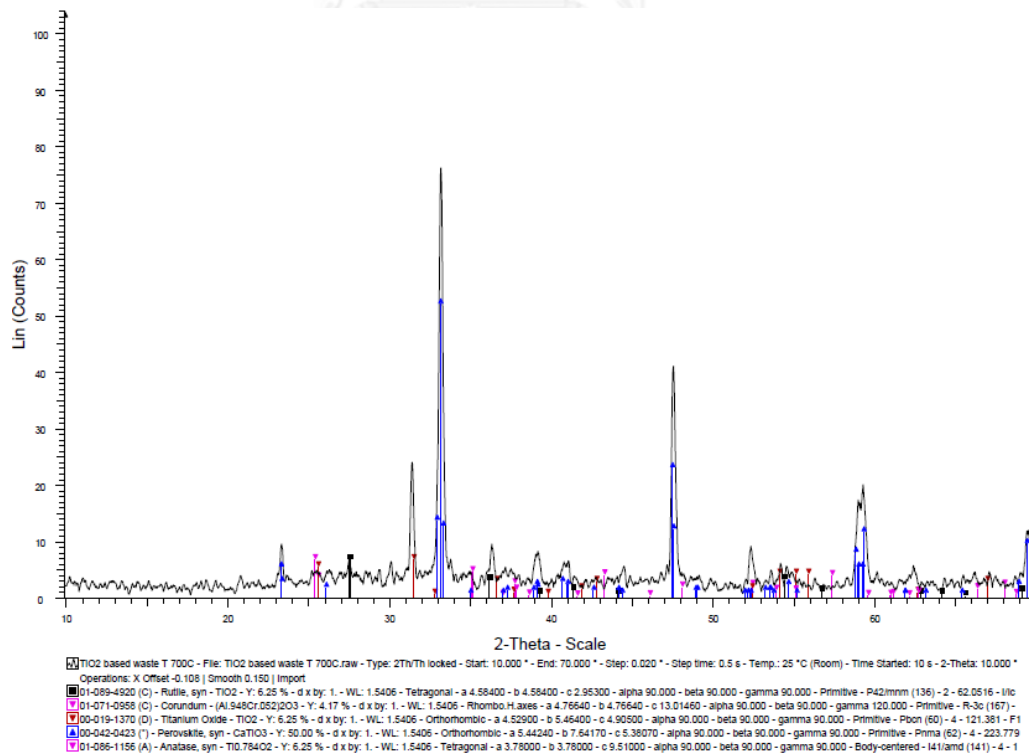
ภาพที่ ข.1 องค์ประกอบทางเฟสของกากของเสียที่ผ่านการอบให้แห้งที่อุณหภูมิ 110 °C



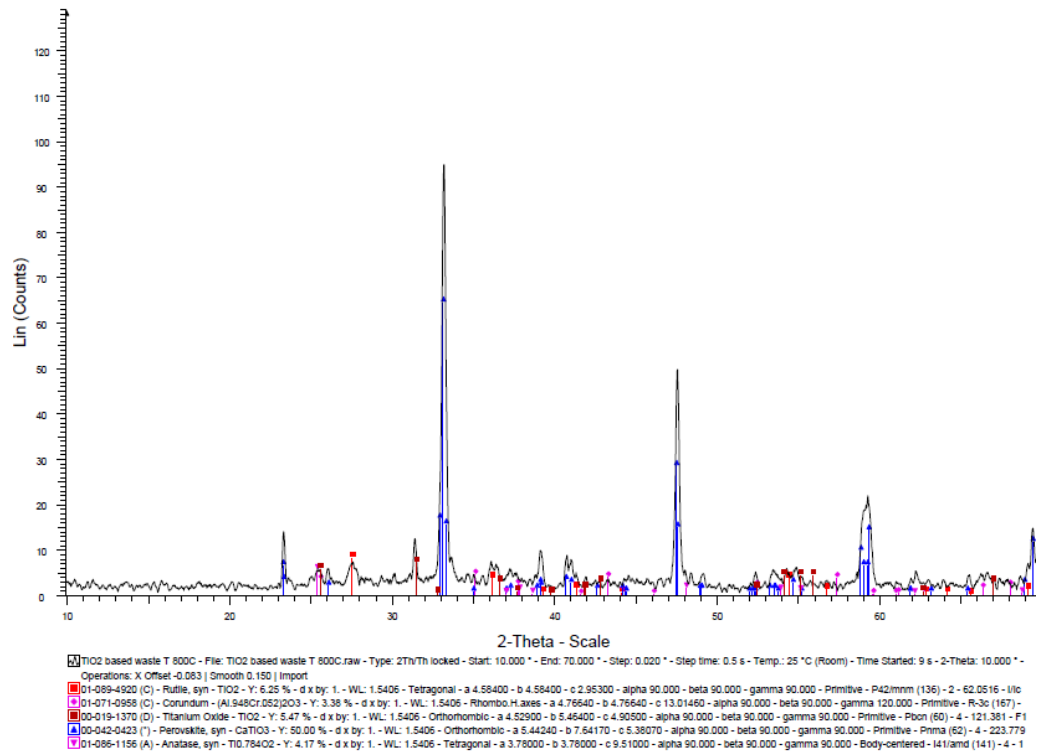
ภาพที่ ข.2 องค์ประกอบทางเฟสของกากของเสียที่ผ่านการเผาแคลไซน์ที่อุณหภูมิ 350 °C



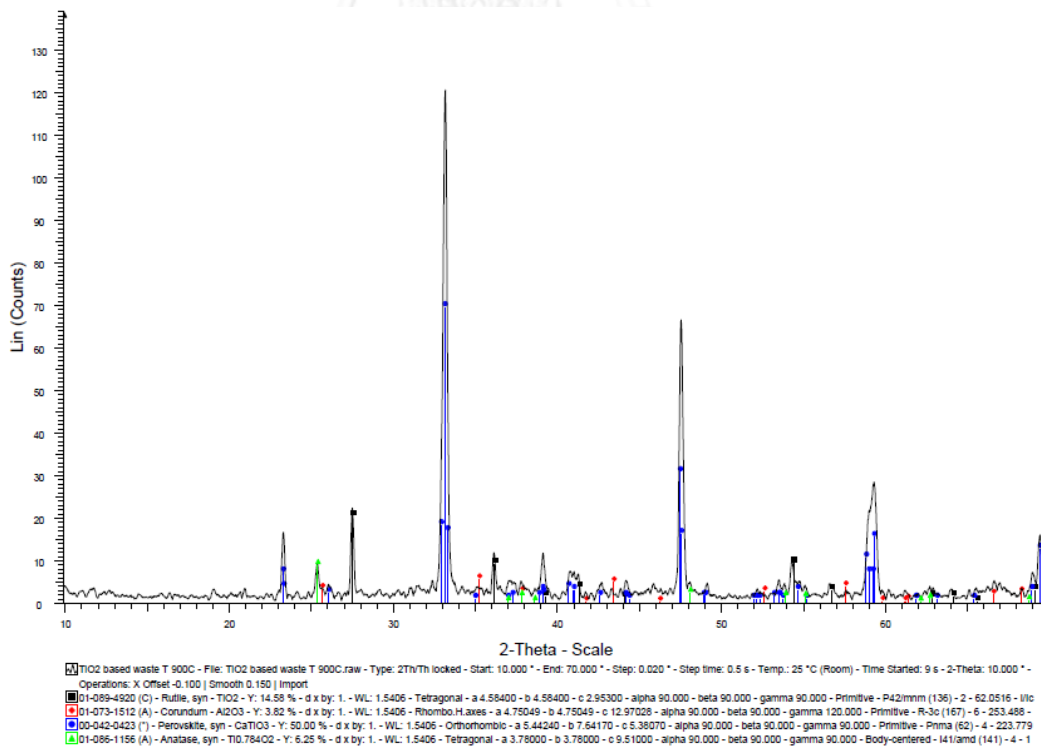
ภาพที่ ข.3 องค์ประกอบทางเฟสของกากของเสียที่ผ่านการเผาแคลไซน์ที่อุณหภูมิ 600 °C



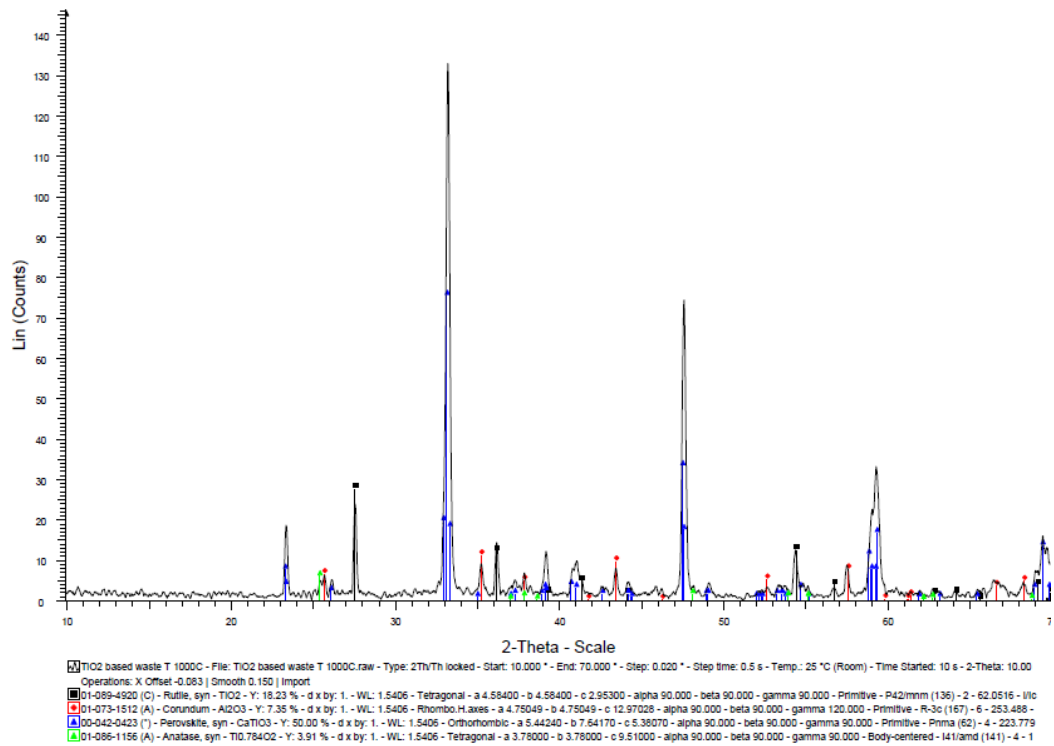
ภาพที่ ข.4 องค์ประกอบทางเฟสของกากของเสียที่ผ่านการเผาแคลไซน์ที่อุณหภูมิ 700 °C



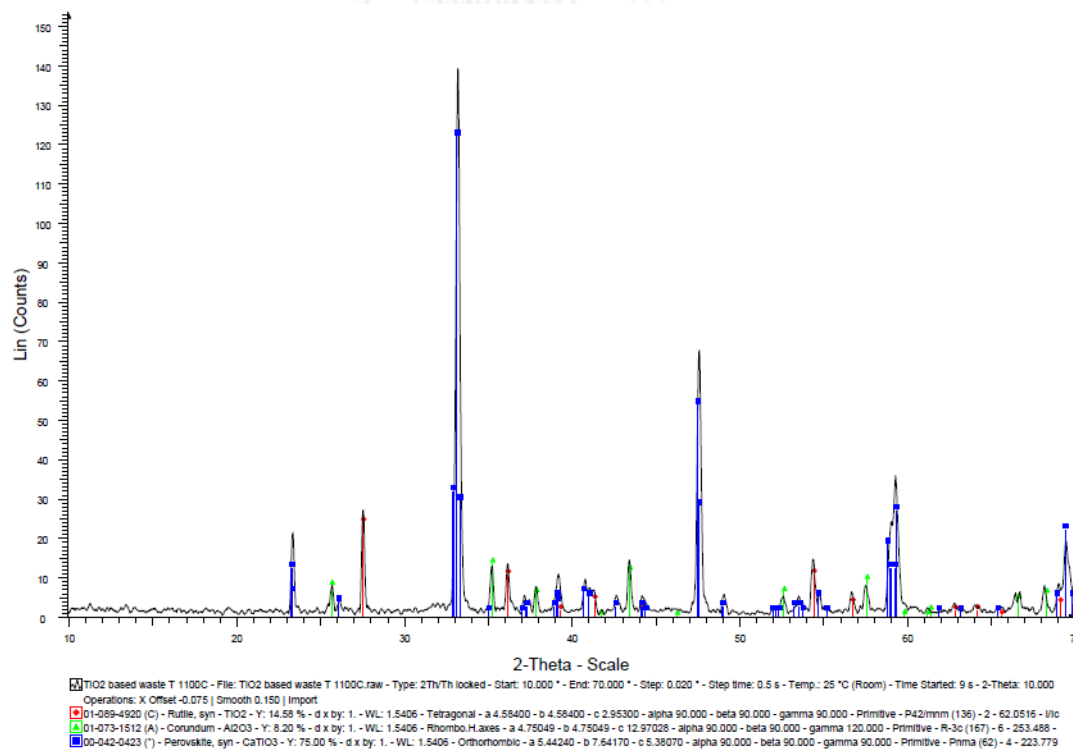
ภาพที่ ข.5 องค์ประกอบทางเฟสของกากของเสียที่ผ่านการเผาแคลไซน์ที่อุณหภูมิ 800 °C



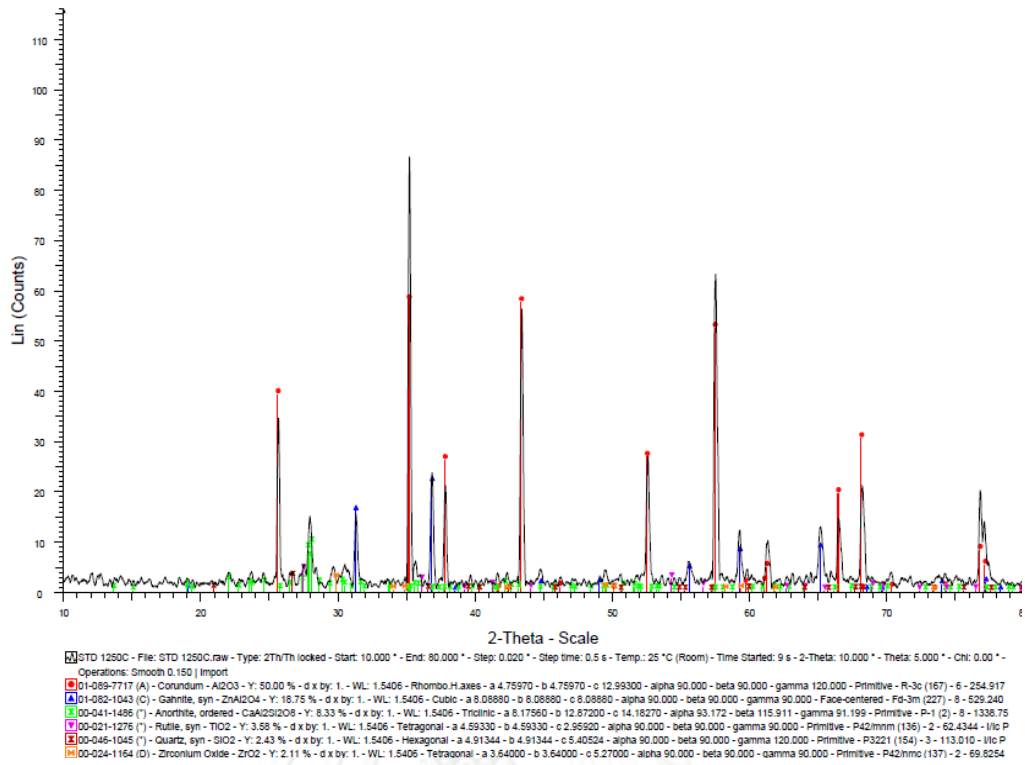
ภาพที่ ข.6 องค์ประกอบทางเฟสของกากของเสียที่ผ่านการเผาแคลไซน์ที่อุณหภูมิ 900 °C



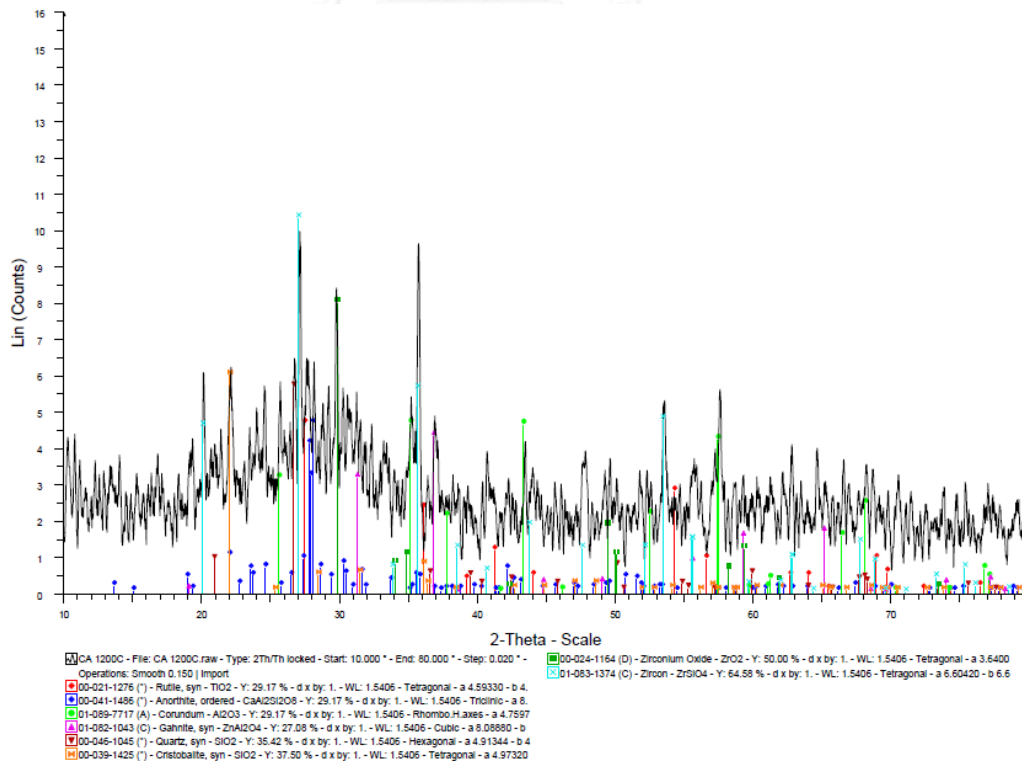
ภาพที่ ข.7 องค์ประกอบทางเฟสของกากของเสียที่ผ่านการเผาแคลไซน์ที่อุณหภูมิ 1000 °C



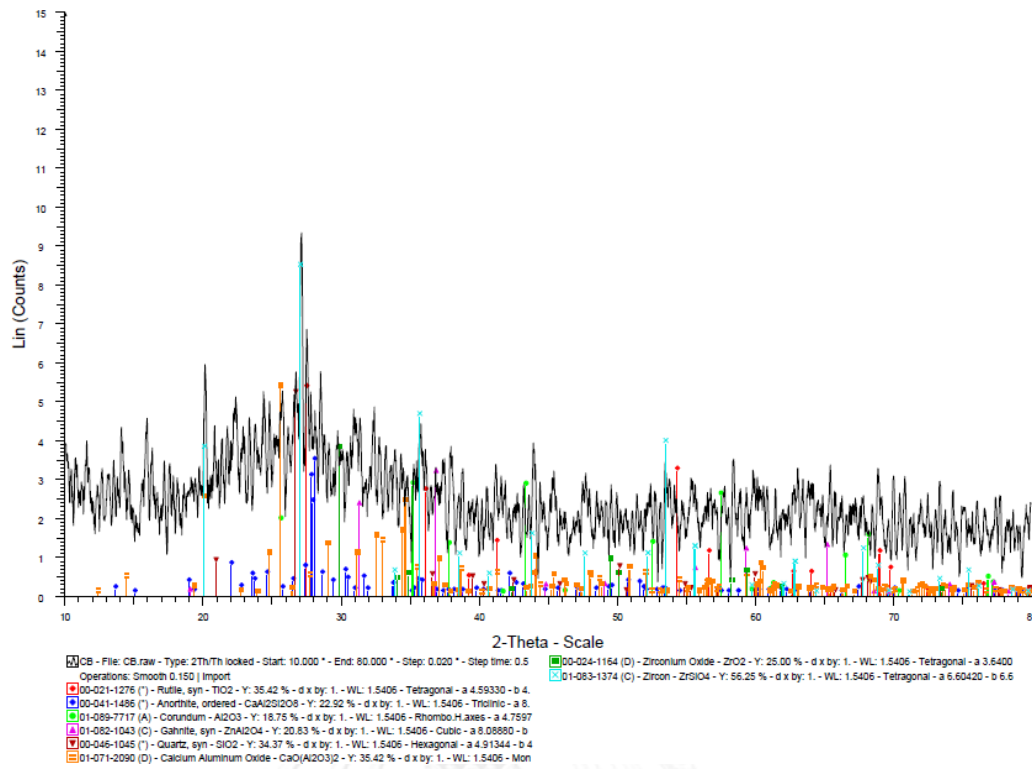
ภาพที่ ข.8 องค์ประกอบทางเฟสของกากของเสียที่ผ่านการเผาแคลไซน์ที่อุณหภูมิ 1100 °C



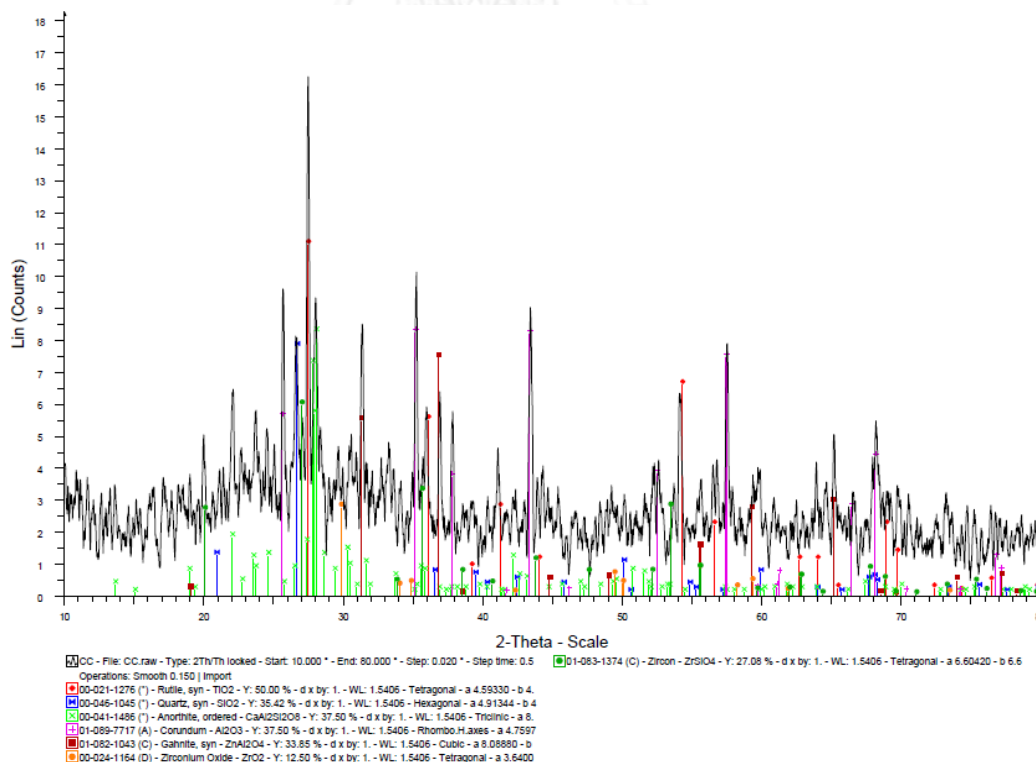
ภาพที่ ข.9 องค์ประกอบทางเฟสของเคลือบสูตรมาตรฐาน STD ที่เผาที่อุณหภูมิ 1250 °C



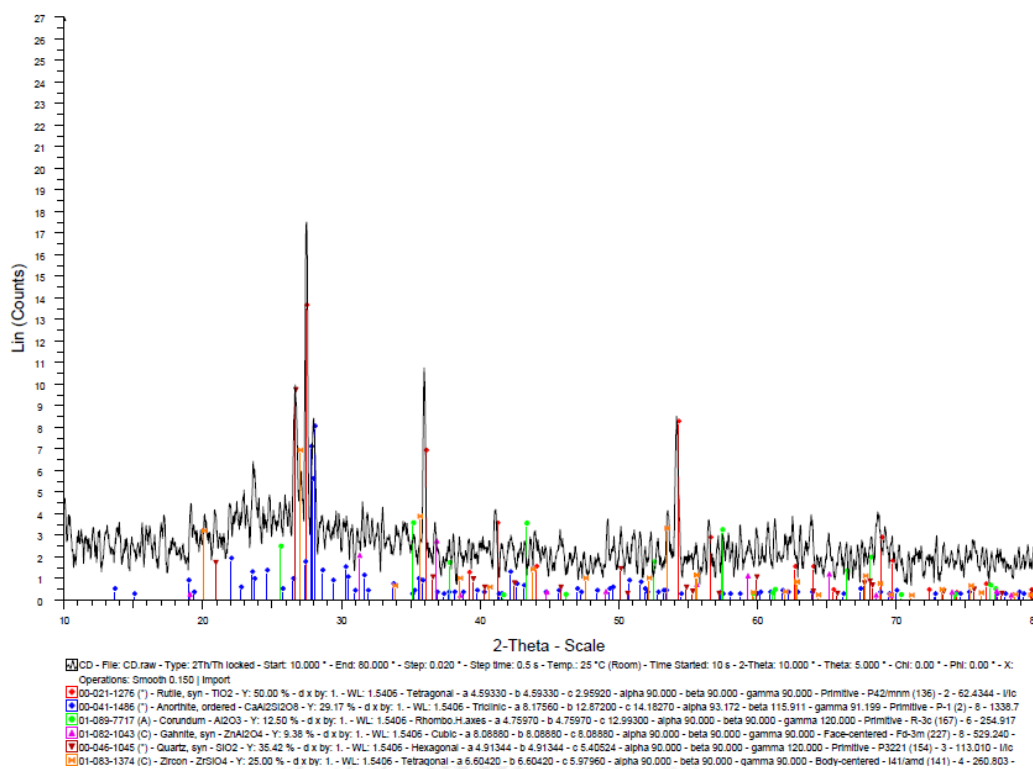
ภาพที่ ข.10 องค์ประกอบทางเฟสของเคลือบที่มีการใช้กากของเสียเป็นวัตถุดิบสูตร A ที่เผาที่อุณหภูมิ 1200 °C



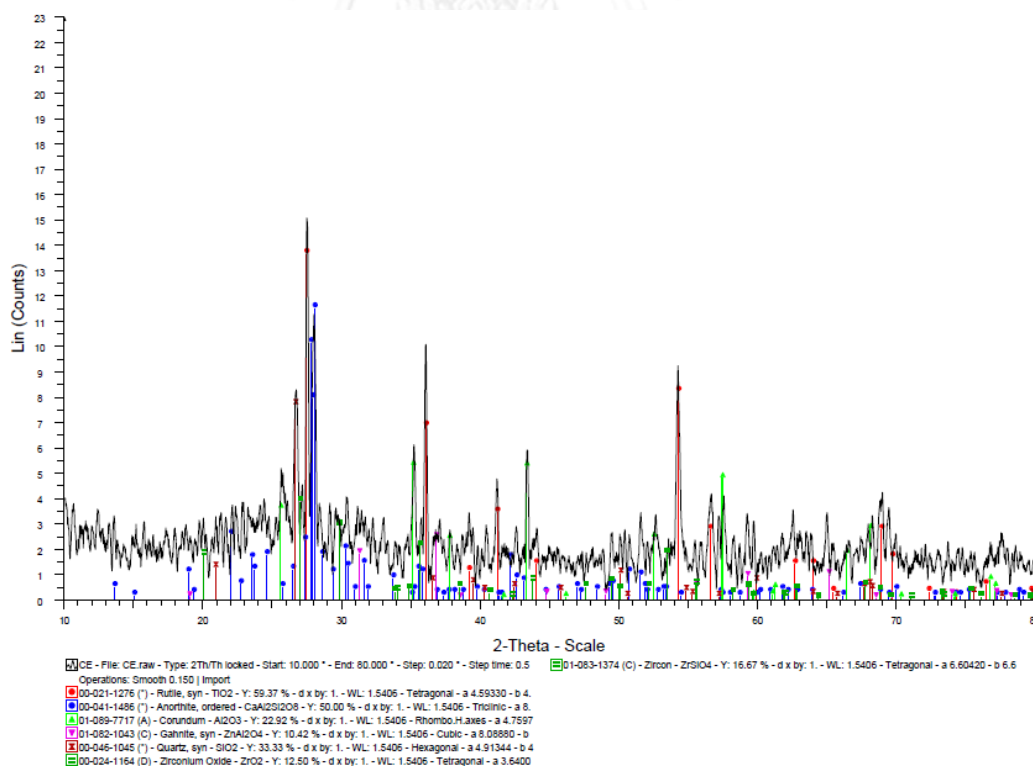
ภาพที่ ข.11 องค์ประกอบทางเฟสของเคลือบที่มีการใช้กากของเสียเป็นวัตถุดิบสูตร B ที่เผาที่อุณหภูมิ 1200 °C



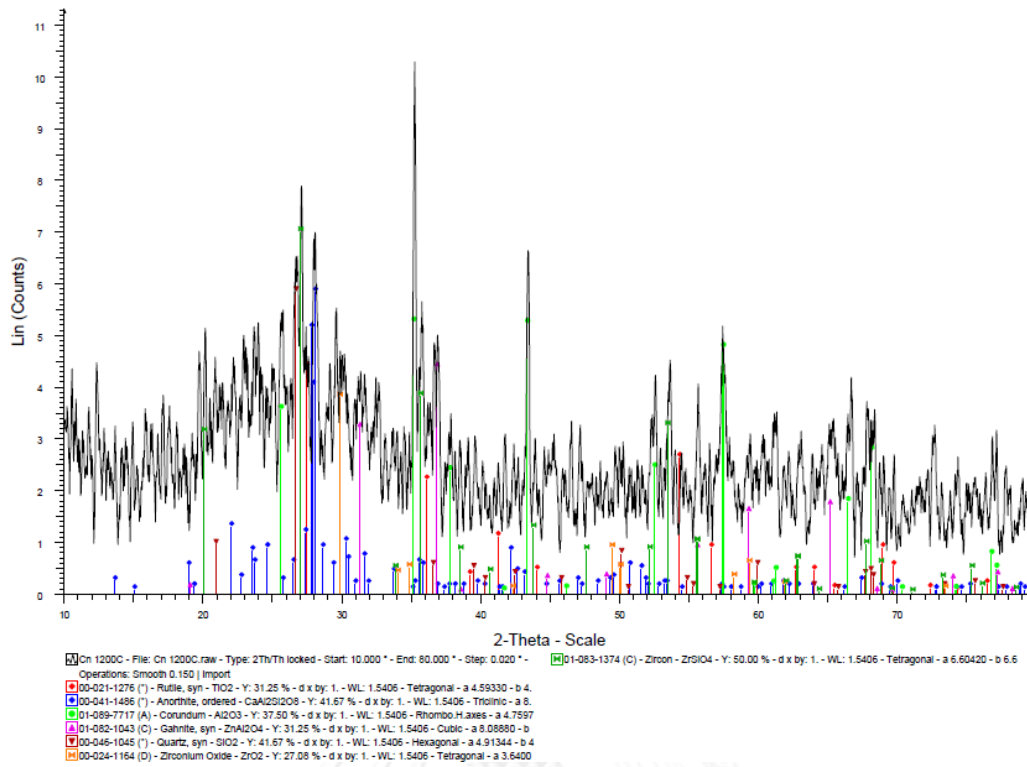
ภาพที่ ข.12 องค์ประกอบทางเฟสของเคลือบที่มีการใช้กากของเสียเป็นวัตถุดิบสูตร C ที่เผาที่อุณหภูมิ 1200 °C



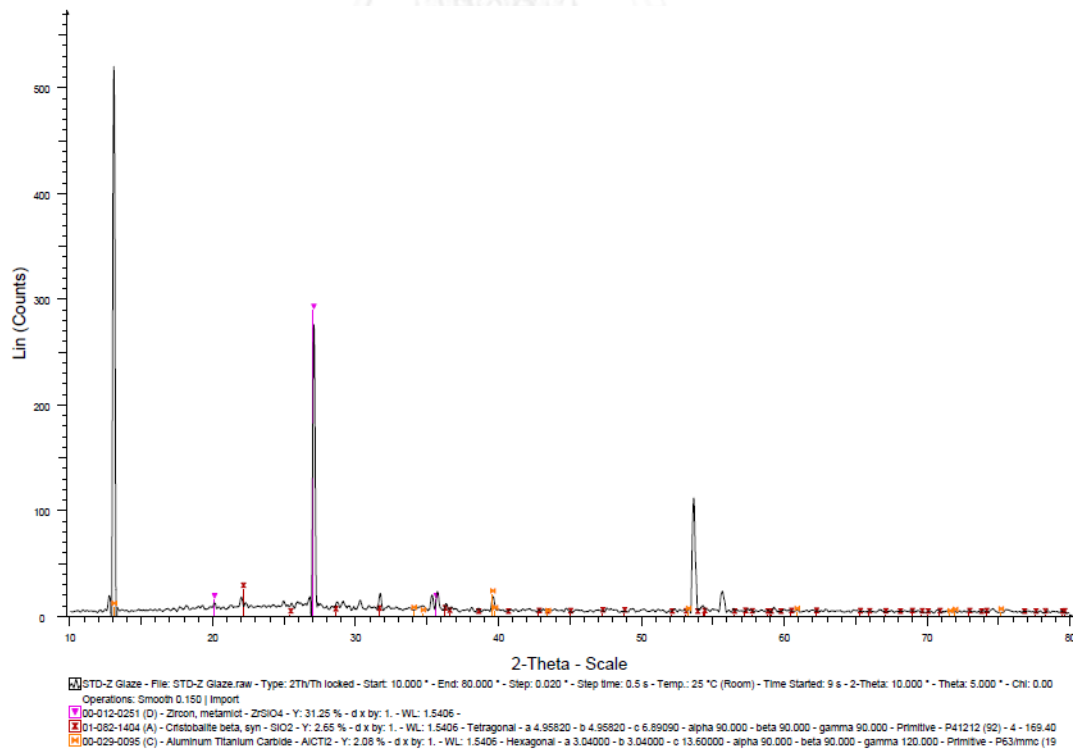
ภาพที่ ข.13 องค์ประกอบทางเฟสของเคลือบที่มีการใช้กากของเสียเป็นวัตถุดิบสูตร D ที่เผาที่อุณหภูมิ 1200 °C



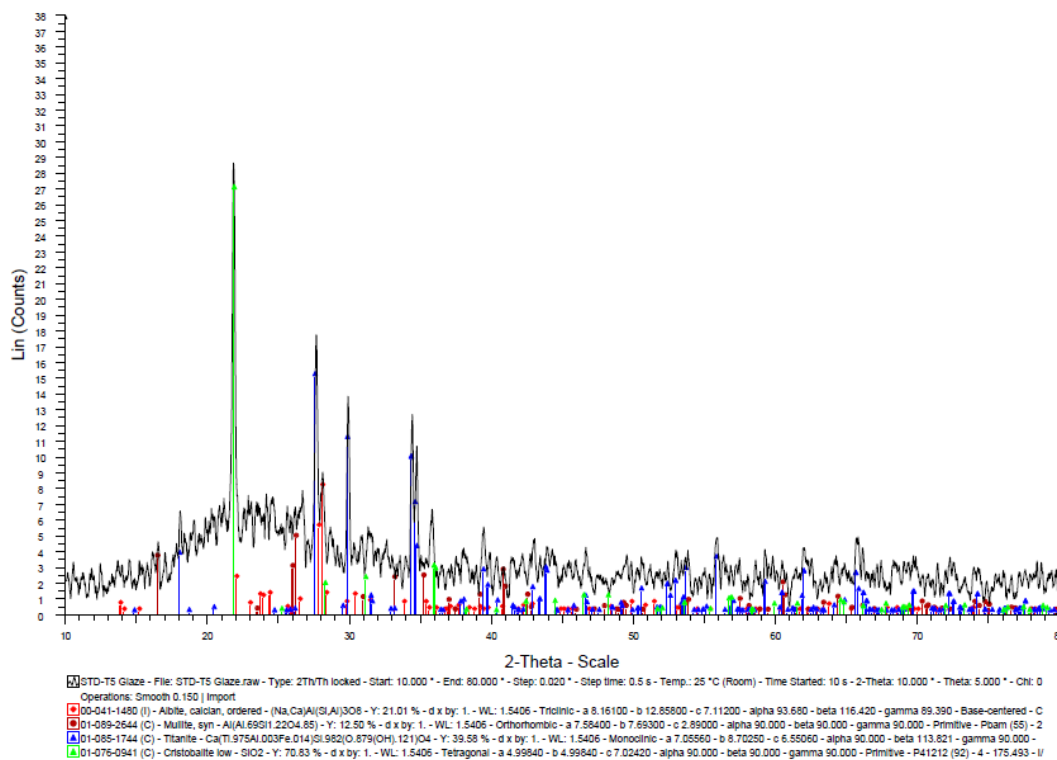
ภาพที่ ข.14 องค์ประกอบทางเฟสของเคลือบที่มีการใช้กากของเสียเป็นวัตถุดิบสูตร E ที่เผาที่อุณหภูมิ 1200 °C



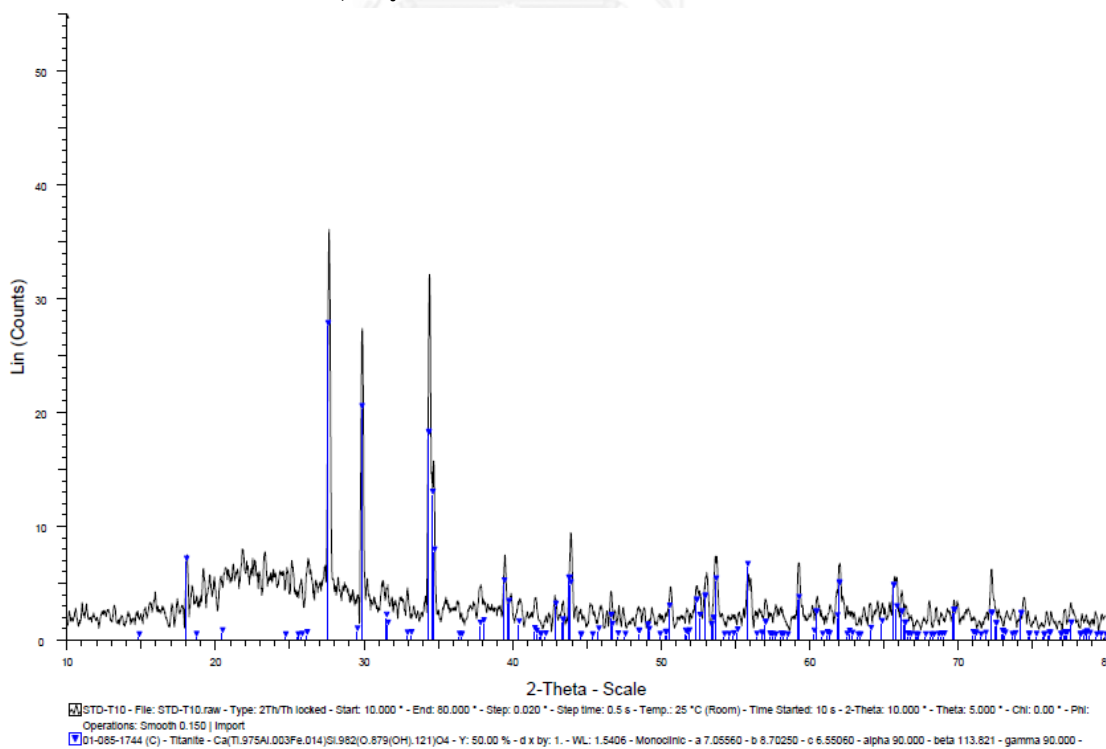
ภาพที่ ข.15 องค์ประกอบทางเฟสของเคลือบที่มีการใช้กากของเสียเป็นวัตถุดิบสูตร a ที่เผาที่อุณหภูมิ 1200 °C



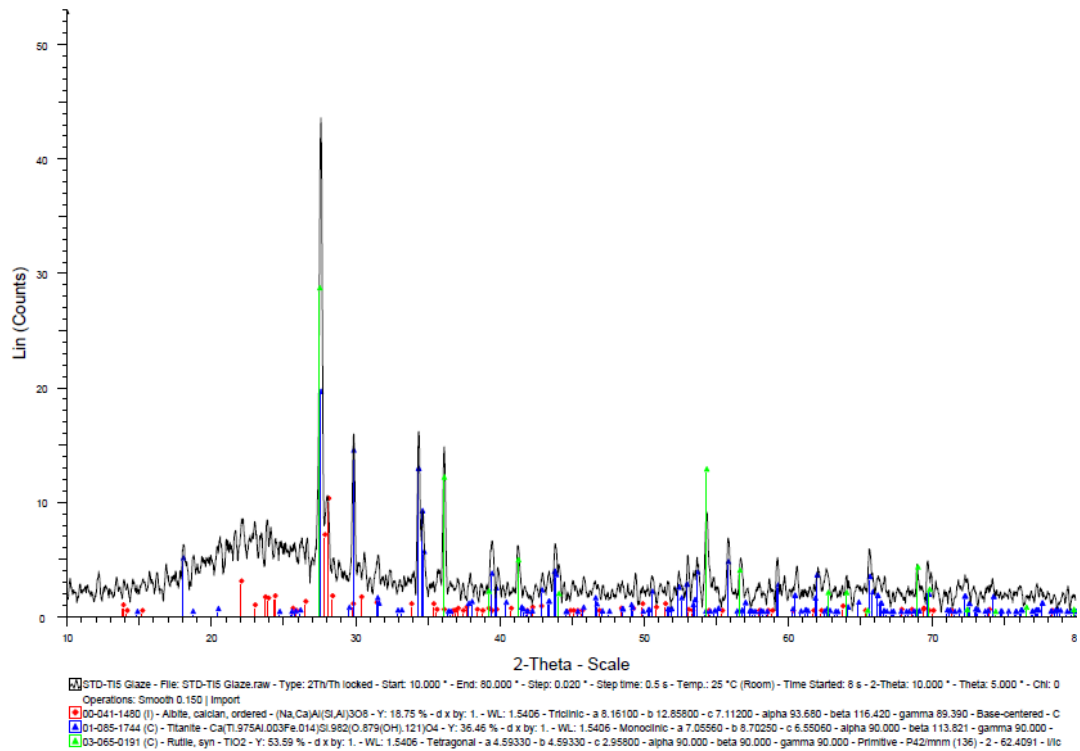
ภาพที่ ข.16 องค์ประกอบทางเฟสของเคลือบพริตมาตรฐาน STD-Z ที่มีเซอร์โคเนียมซิลิเกตเป็นตัวทึบแสง ที่เผาที่อุณหภูมิ 1120 °C



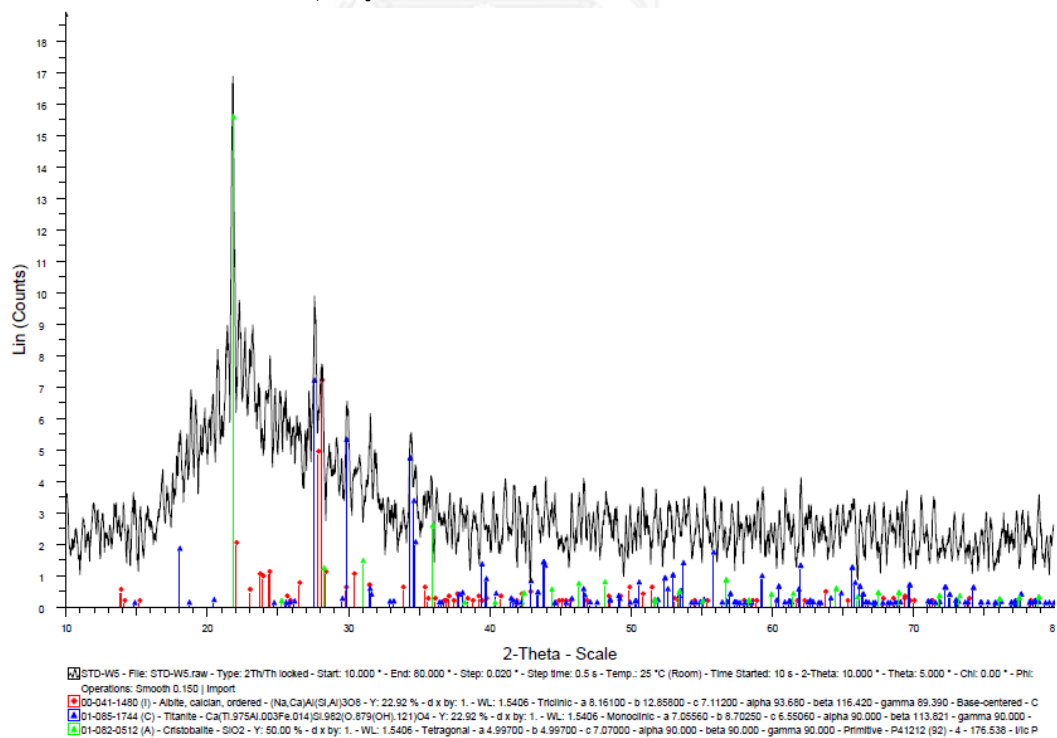
ภาพที่ ข.17 องค์ประกอบทางเฟสของเคลือบฟrit T5 ที่มีไทเทเนียมไดออกไซด์ทางการค้าเป็นตัวให้ความทึบแสง แทนที่เซอร์โคเนียมซิลิเกต ที่เผาที่อุณหภูมิ 1120 °C



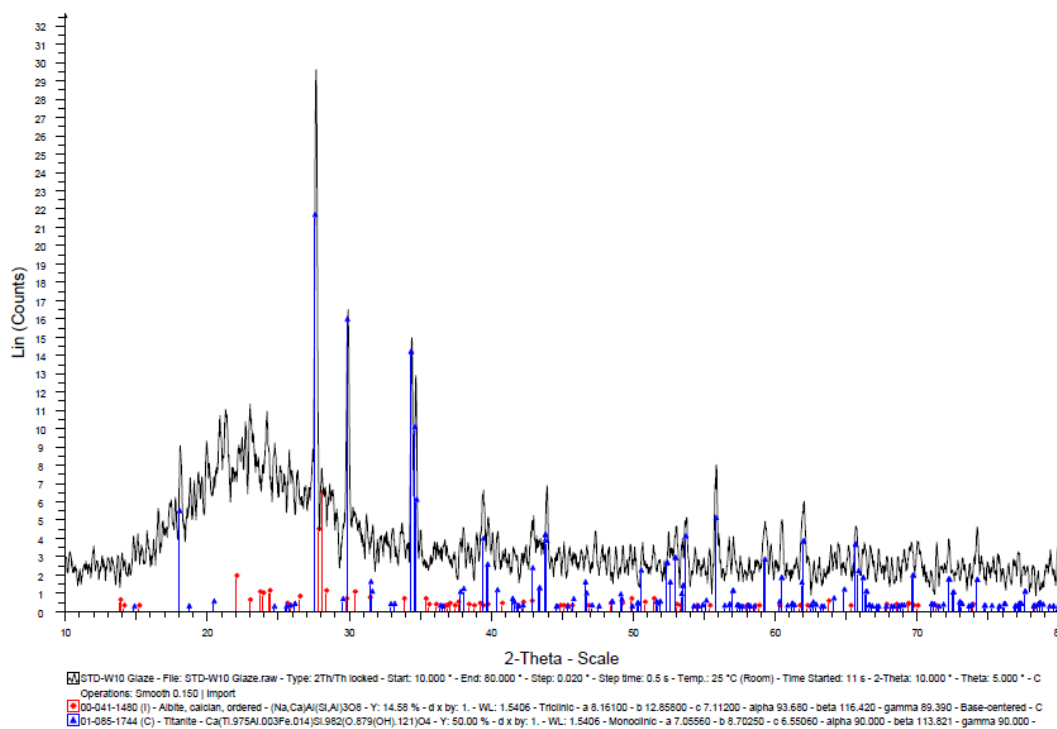
ภาพที่ ข.18 องค์ประกอบทางเฟสของเคลือบฟrit T10 ที่มีไทเทเนียมไดออกไซด์ทางการค้าเป็นตัวให้ความทึบแสง แทนที่เซอร์โคเนียมซิลิเกต ที่เผาที่อุณหภูมิ 1120 °C



ภาพที่ ข.19 องค์ประกอบทางเฟสของเคลือบฟริต T15 ที่มีไทเทเนียมไดออกไซด์ทางการค้าเป็นตัวให้ความทึบแสง แทนที่เซอร์โคเนียมซิลิเกต ที่เผาที่อุณหภูมิ 1120 °C

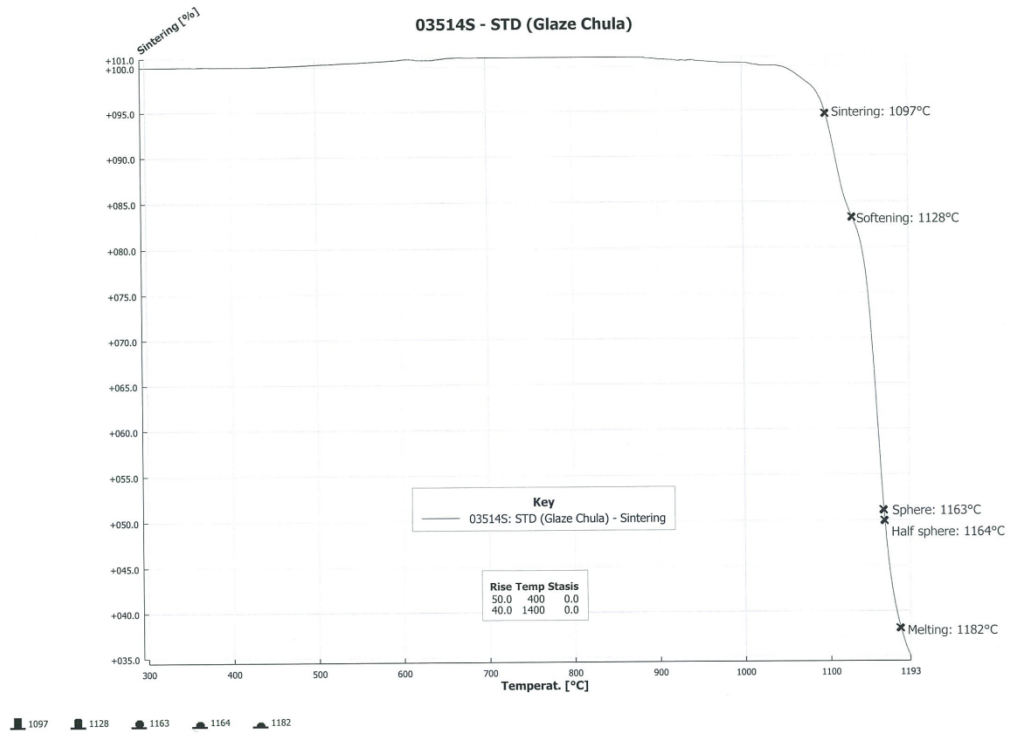


ภาพที่ ข.20 องค์ประกอบทางเฟสของเคลือบฟริต W5 ที่มีการใช้กากของเสียทดแทนไทเทเนียมไดออกไซด์ทางการค้าในสูตรฟริต T5 ที่เผาที่อุณหภูมิ 1120 °C

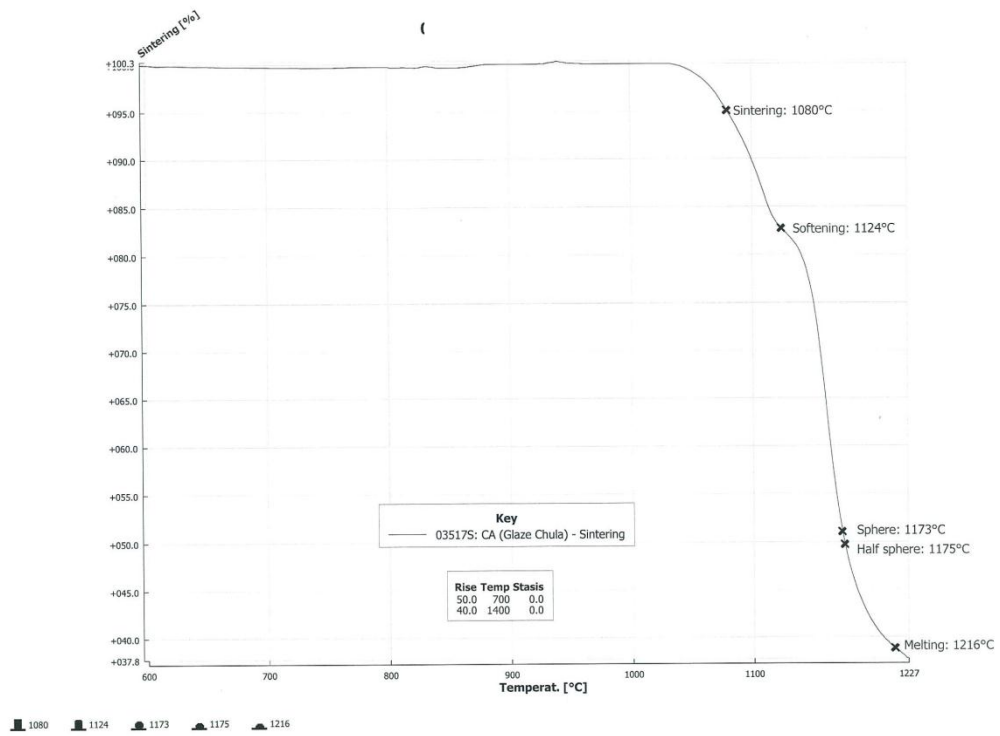


ภาพที่ ข.21 องค์ประกอบทางเฟสของเคลือบพริต W10 ที่มีการใช้กากของเสียทดแทนไทเทเนียมไดออกไซด์ทางการค้าในสูตรพริต T10 ที่เผาที่อุณหภูมิ 1120 °C

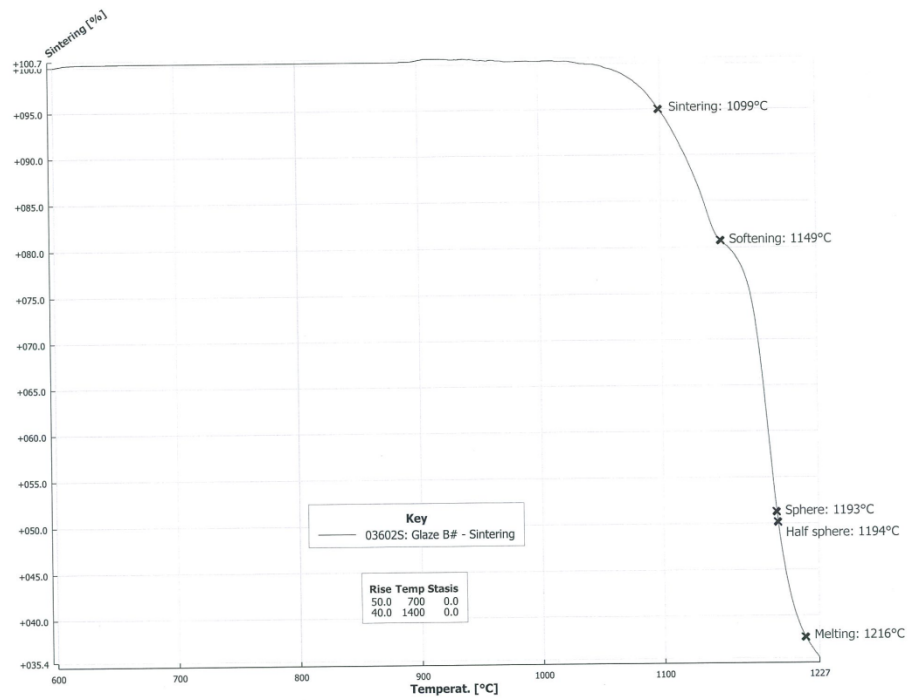
ภาคผนวก ค
 อุณหภูมิการหลอมตัวเฉพาะ



ภาพที่ ค.1 อุณหภูมิการหลอมตัวเฉพาะของเคลือบมาตรฐาน STD

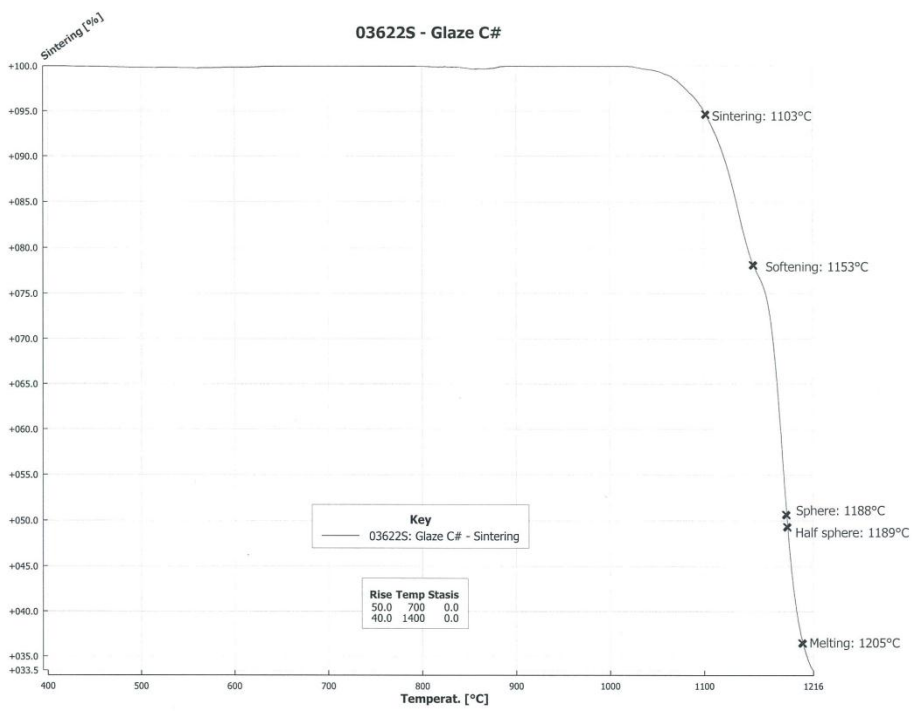


ภาพที่ ค.2 อุณหภูมิการหลอมตัวเฉพาะของเคลือบที่มีการใช้กากของเสียเป็นวัตถุดิบสูตร A



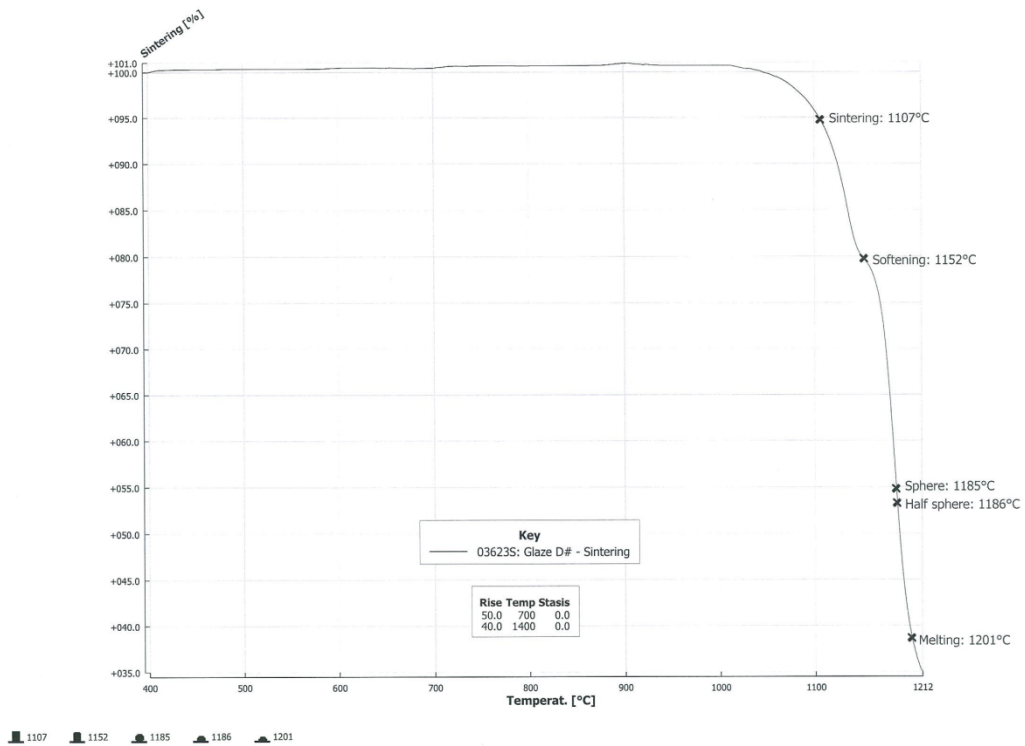
1099 1149 1193 1194 1216

ภาพที่ ค.3 อุณหภูมิการหลอมตัวเฉพาะของเคลือบที่มีการใช้กากของเสียเป็นวัตถุดิบสูตร B*

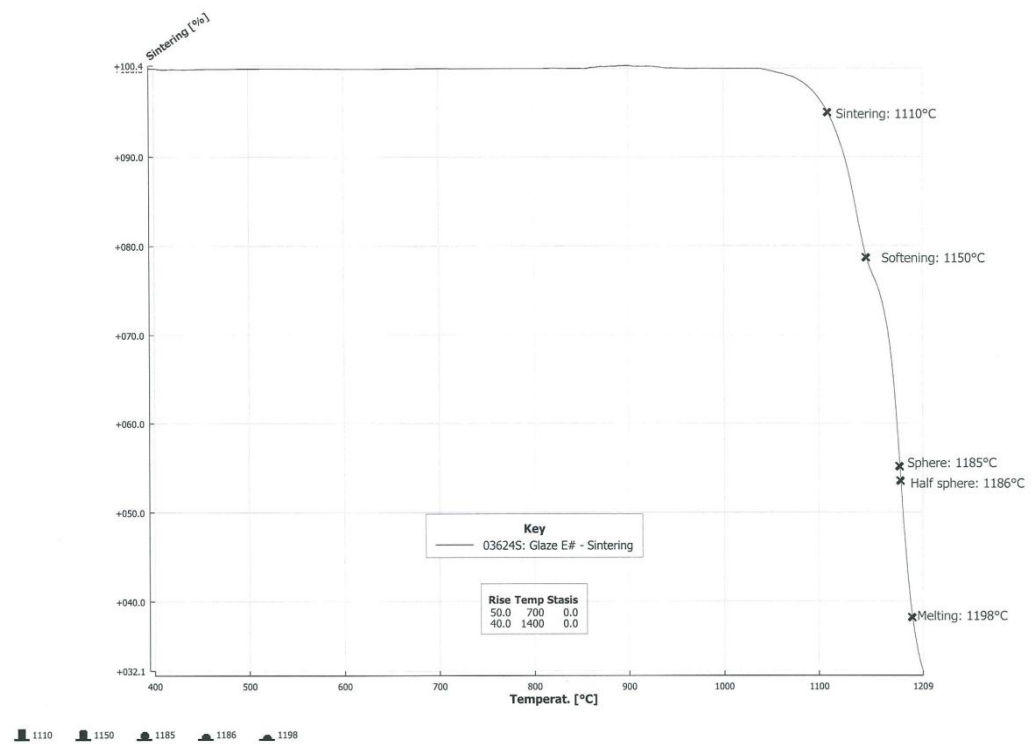


1103 1153 1188 1189 1205

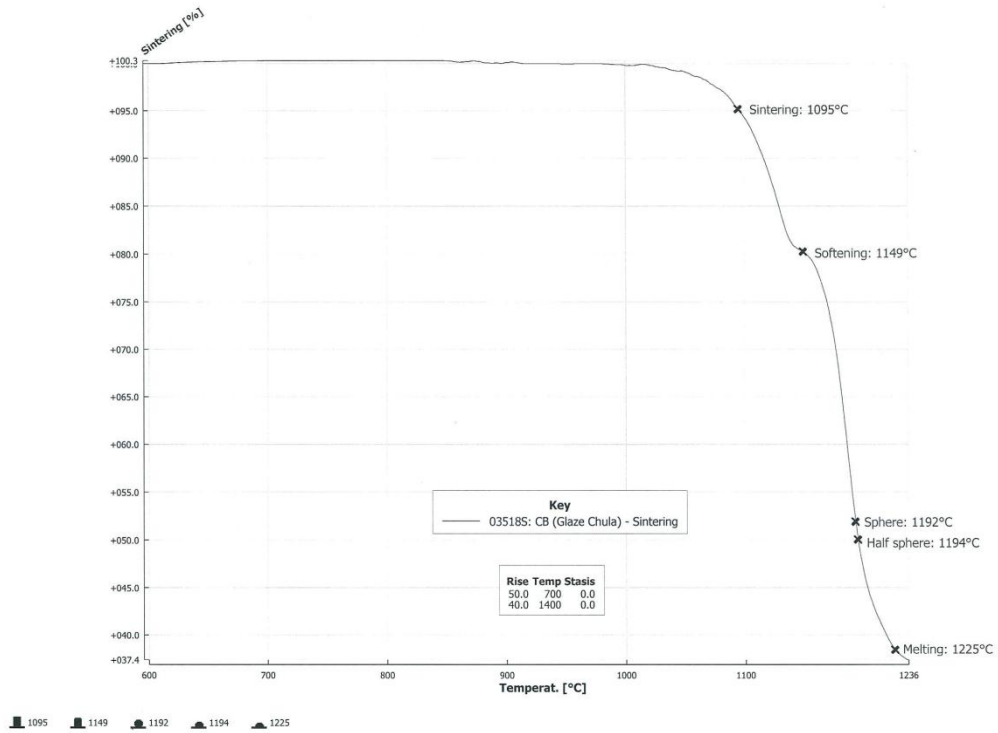
ภาพที่ ค.4 อุณหภูมิการหลอมตัวเฉพาะของเคลือบที่มีการใช้กากของเสียเป็นวัตถุดิบสูตร C*



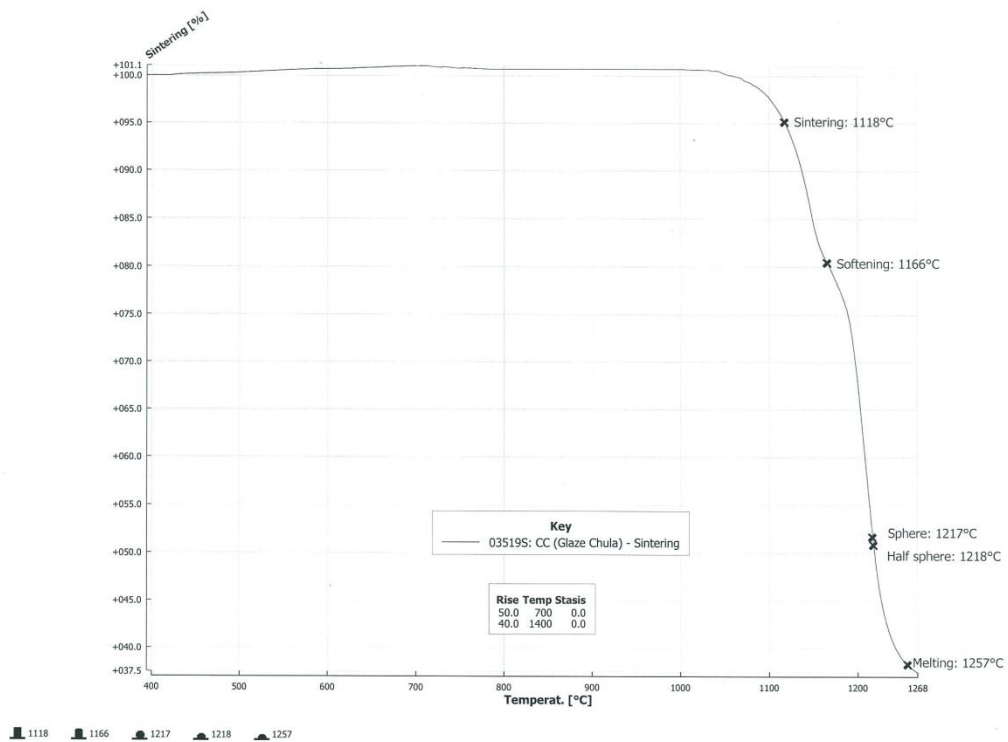
ภาพที่ ค.5 อุณหภูมิการหลอมตัวเฉพาะของเคลือบที่มีการใช้กากของเสียเป็นวัตถุดิบสูตร D*



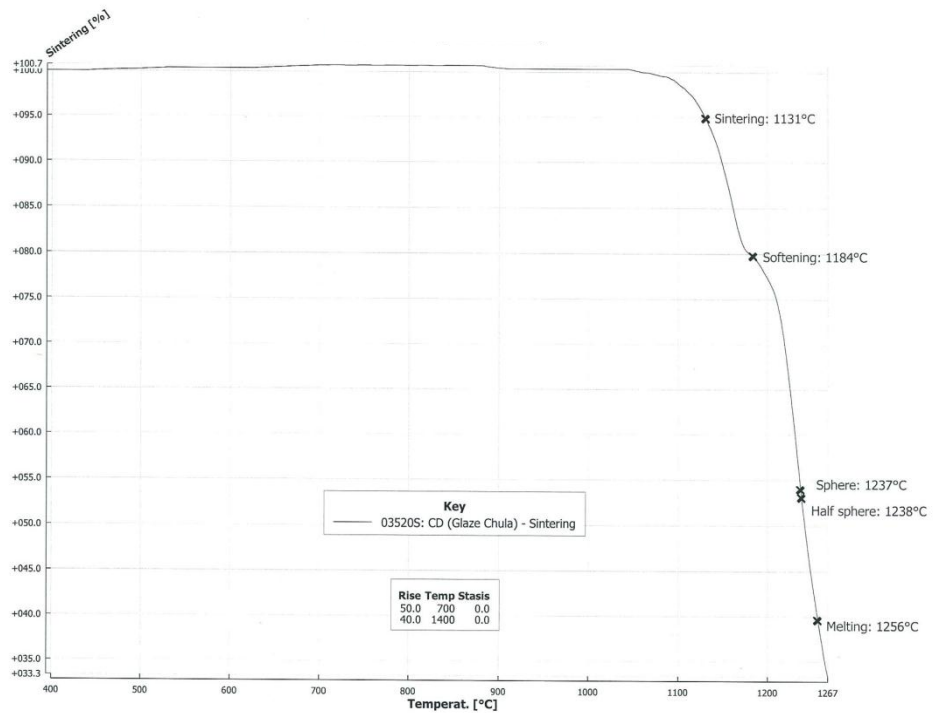
ภาพที่ ค.6 อุณหภูมิการหลอมตัวเฉพาะของเคลือบที่มีการใช้กากของเสียเป็นวัตถุดิบสูตร E*



ภาพที่ ค.7 อุณหภูมิการหลอมตัวเฉพาะของเคลือบที่มีการใช้กากของเสียเป็นวัตถุดิบสูตร B

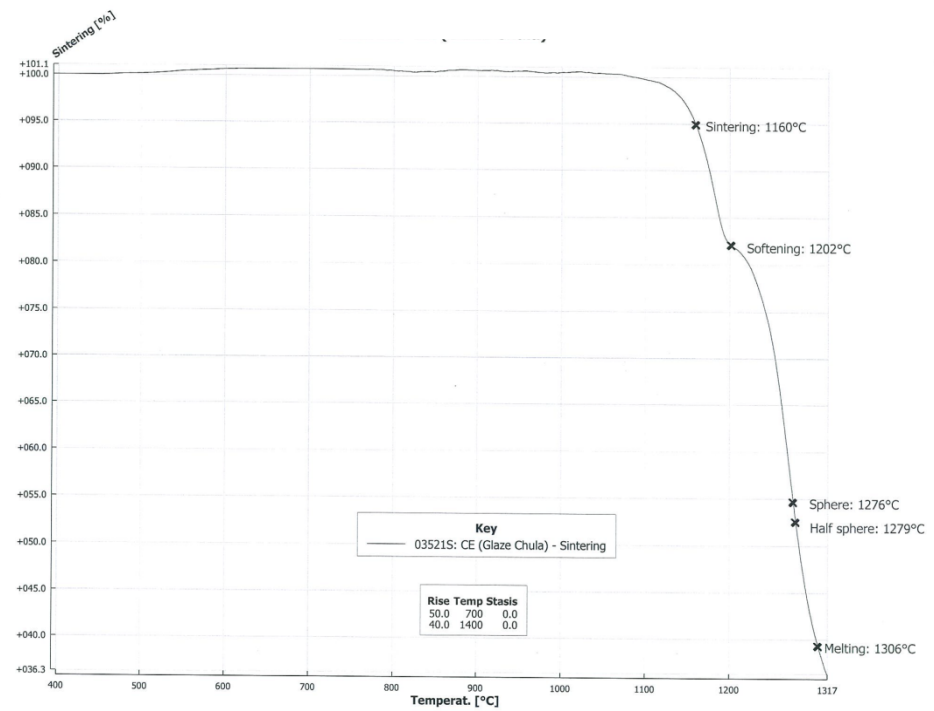


ภาพที่ ค.8 อุณหภูมิการหลอมตัวเฉพาะของเคลือบที่มีการใช้กากของเสียเป็นวัตถุดิบสูตร C



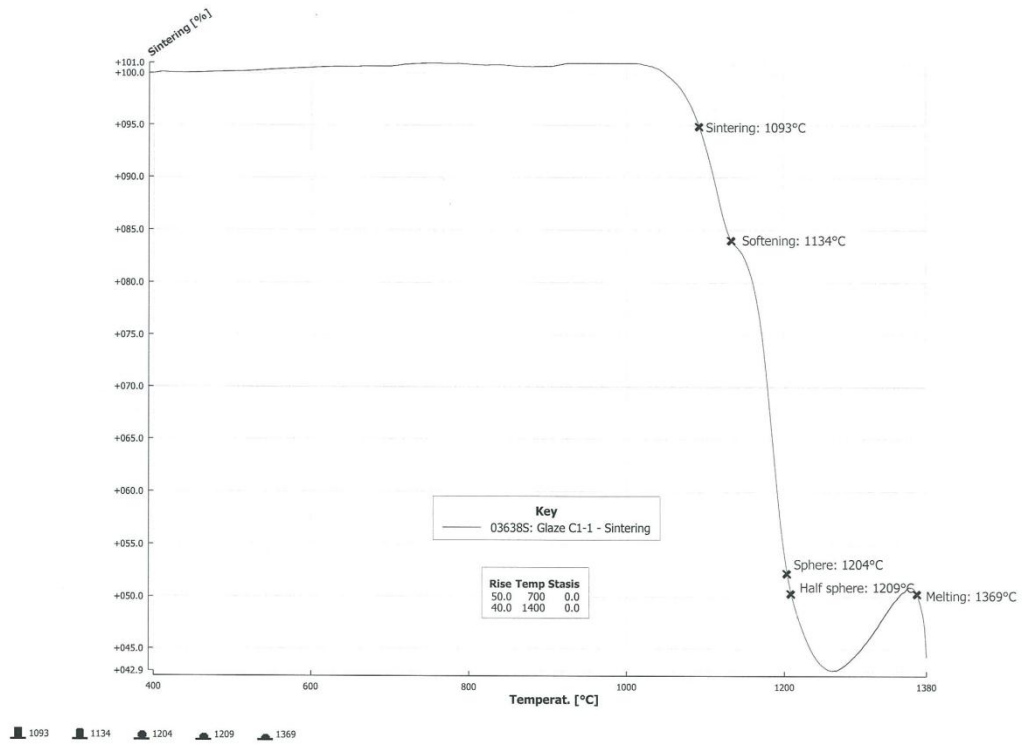
■ 1131 ■ 1184 ■ 1237 ■ 1238 ■ 1256

ภาพที่ ค.9 อุณหภูมิการหลอมตัวเฉพาะของเคลือบที่มีการใช้กากของเสียเป็นวัตถุดิบสูตร D

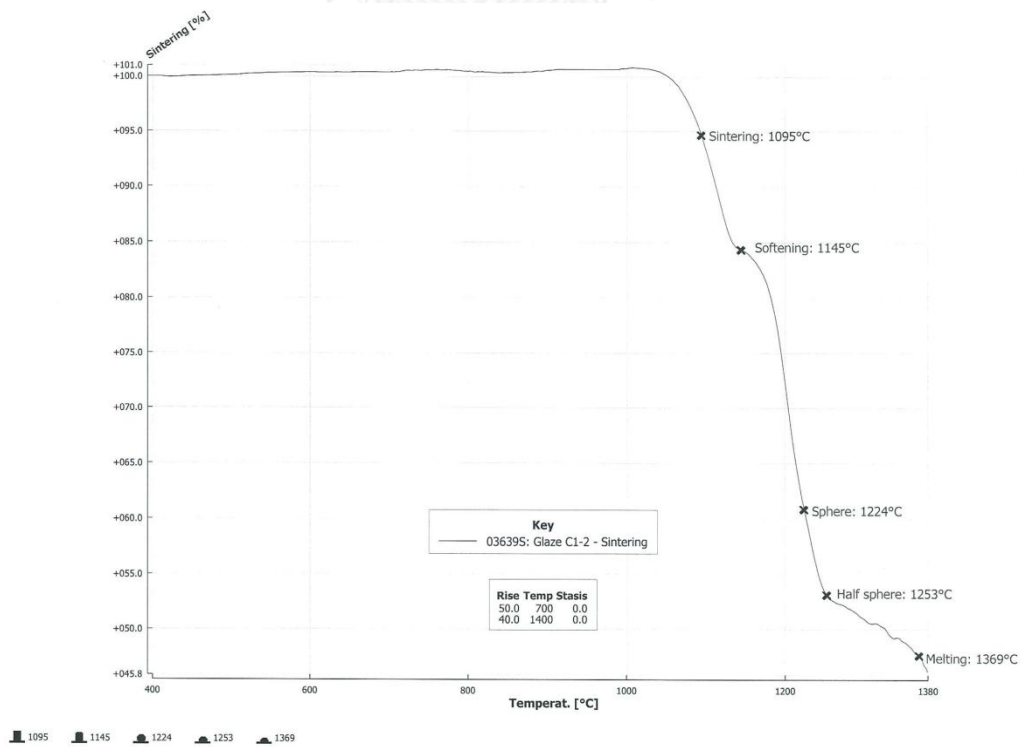


■ 1160 ■ 1202 ■ 1276 ■ 1279 ■ 1306

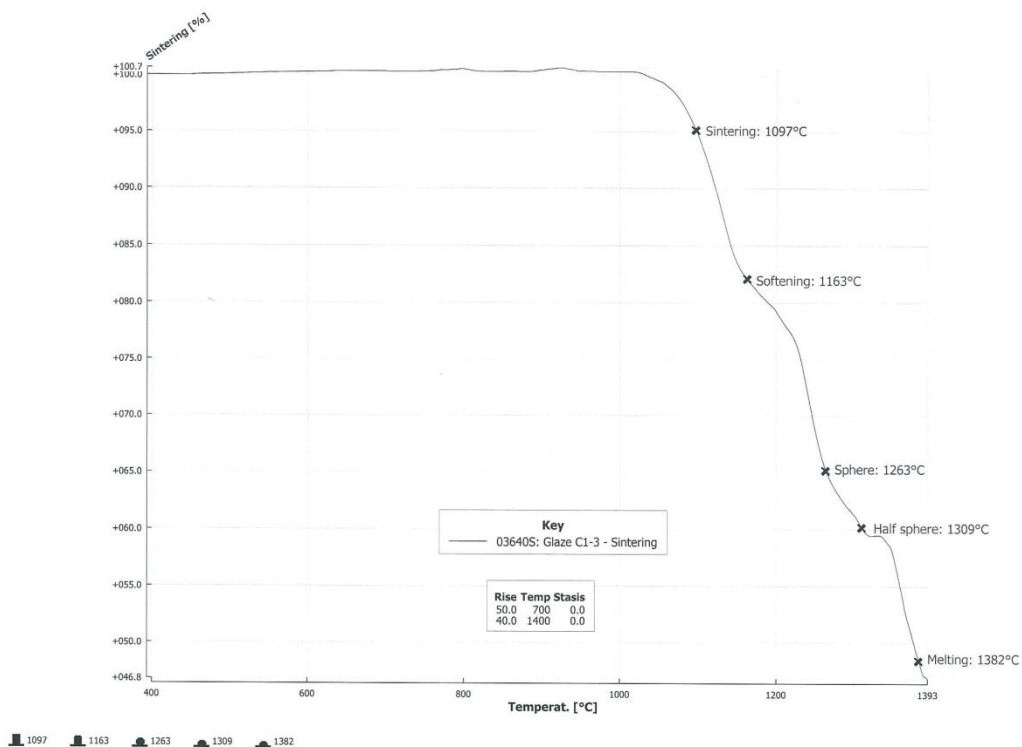
ภาพที่ ค.10 อุณหภูมิการหลอมตัวเฉพาะของเคลือบที่มีการใช้กากของเสียเป็นวัตถุดิบสูตร E



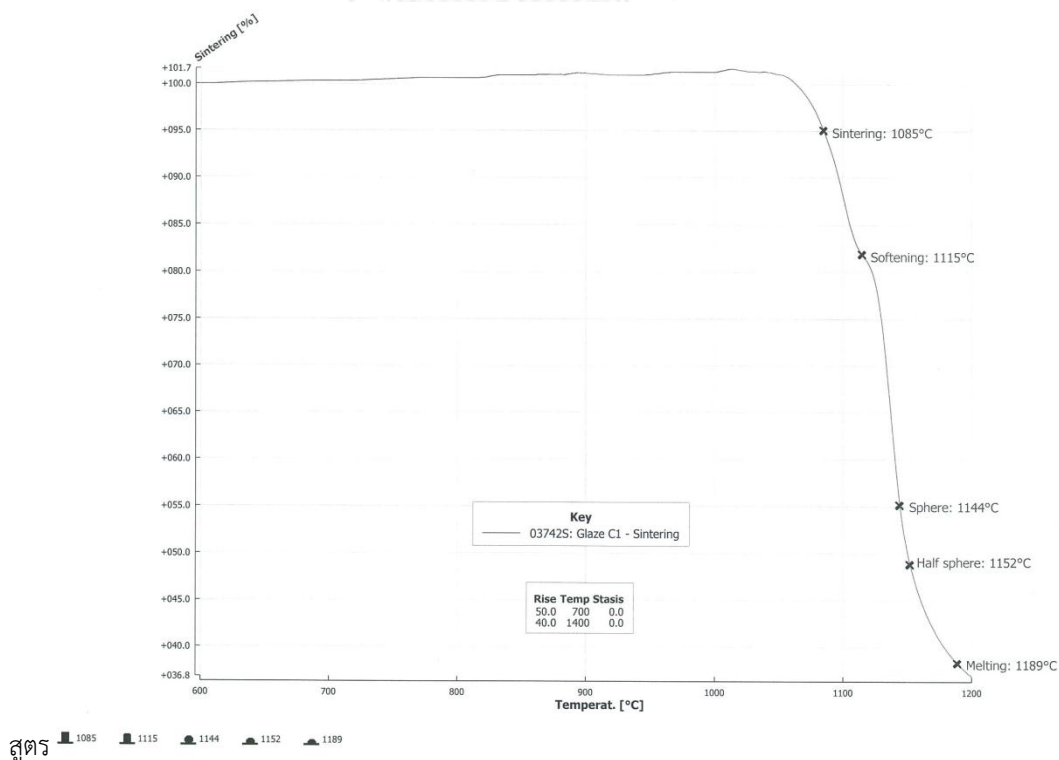
ภาพที่ ค.11 อุณหภูมิการหลอมตัวเฉพาะของเคลือบที่มีการใช้กากของเสียเป็นวัตถุดิบสูตร a



ภาพที่ ค.12 อุณหภูมิการหลอมตัวเฉพาะของเคลือบที่มีการใช้กากของเสียเป็นวัตถุดิบสูตร b

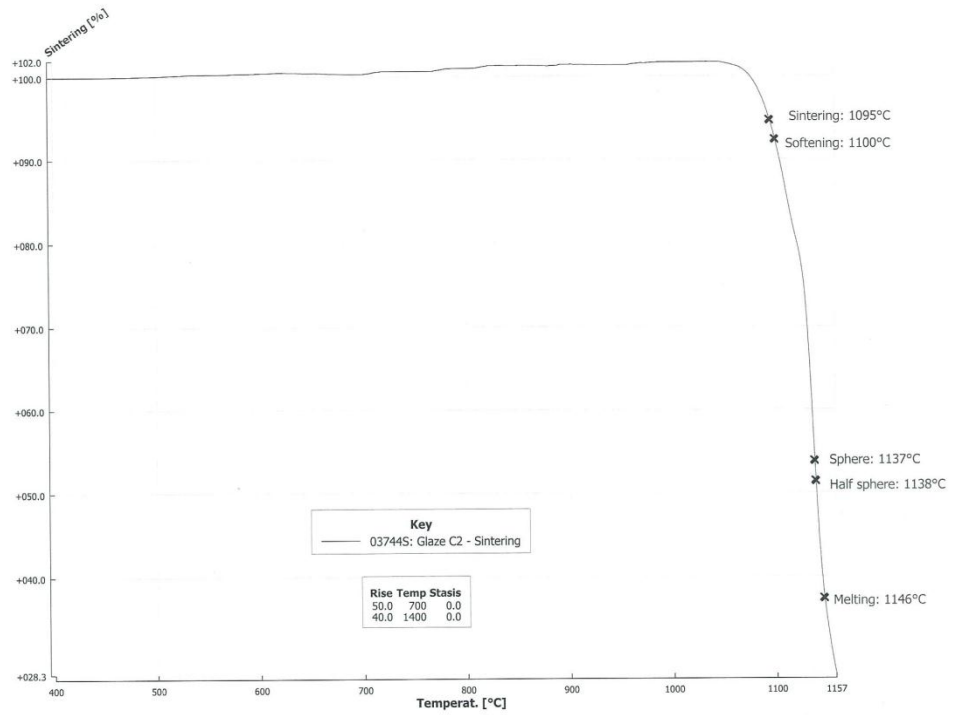


ภาพที่ ค.13 อุณหภูมิการหลอมตัวเฉพาะของเคลือบที่มีการใช้กากของเสียเป็นวัตถุดิบ c



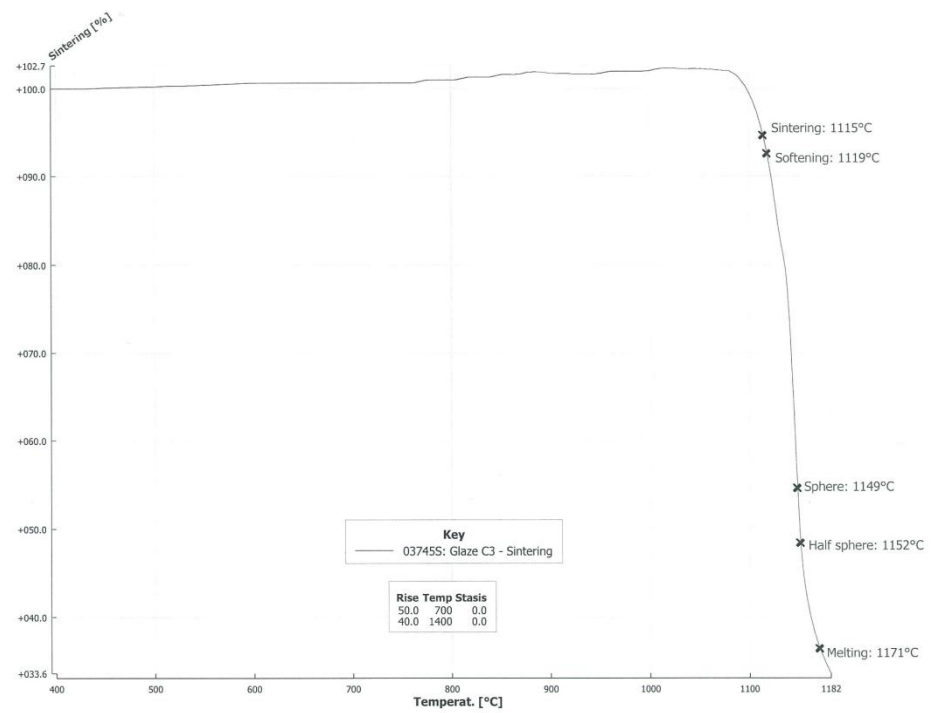
สูตร

ภาพที่ ค.14 อุณหภูมิการหลอมตัวเฉพาะของเคลือบที่มีการใช้กากของเสียเป็นวัตถุดิบสูตร d



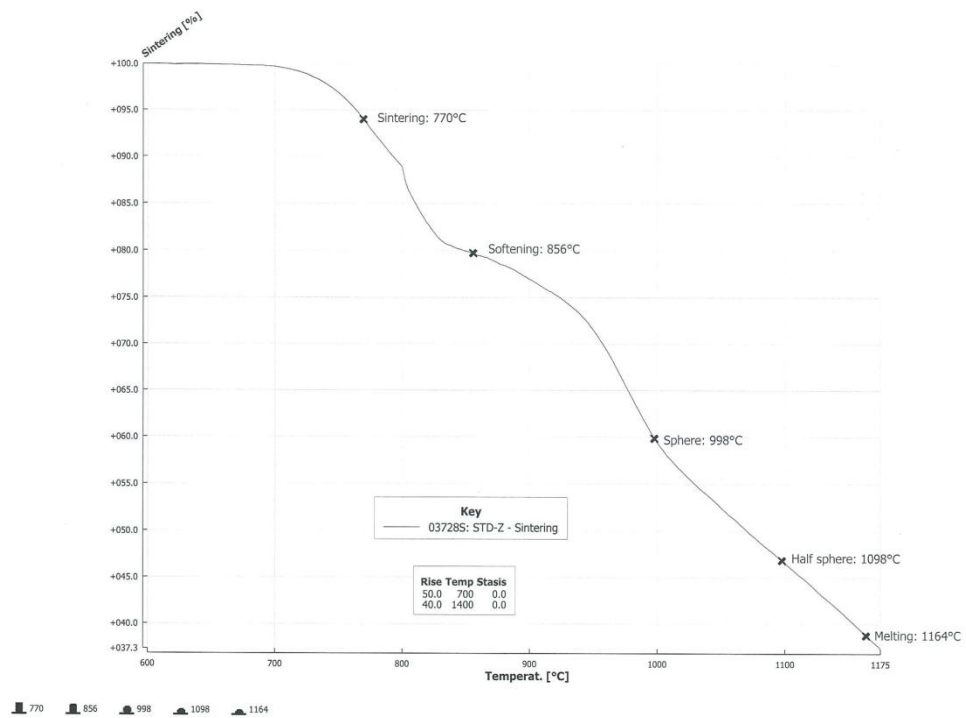
■ 1095 ■ 1100 ■ 1137 ■ 1138 ■ 1146

ภาพที่ ค.15 อุณหภูมิการหลอมตัวเฉพาะของเคลือบที่มีการใช้กากของเสียเป็นวัตถุดิบสูตร e

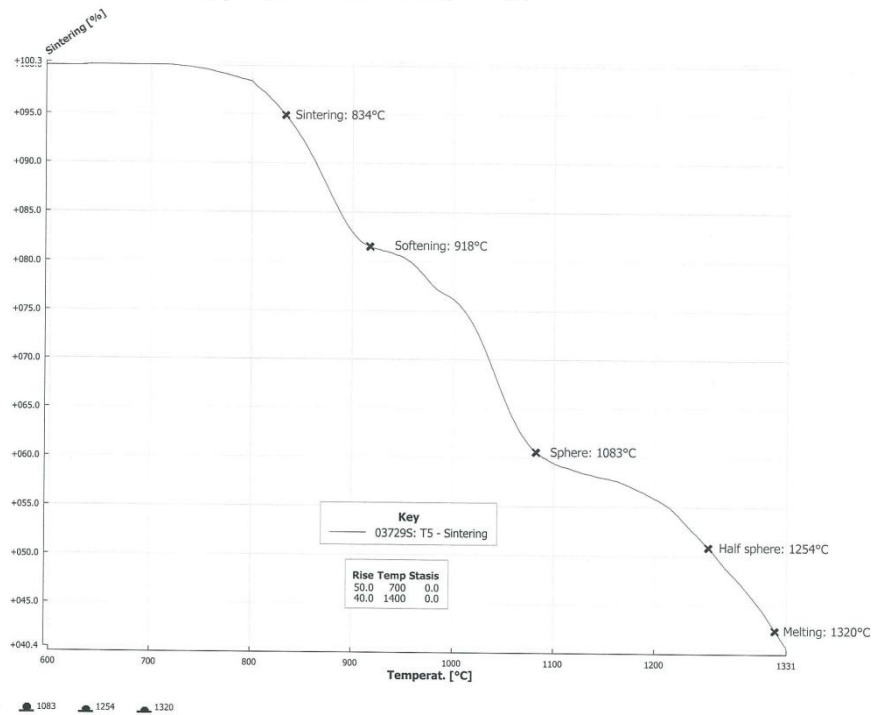


■ 1115 ■ 1119 ■ 1149 ■ 1152 ■ 1171

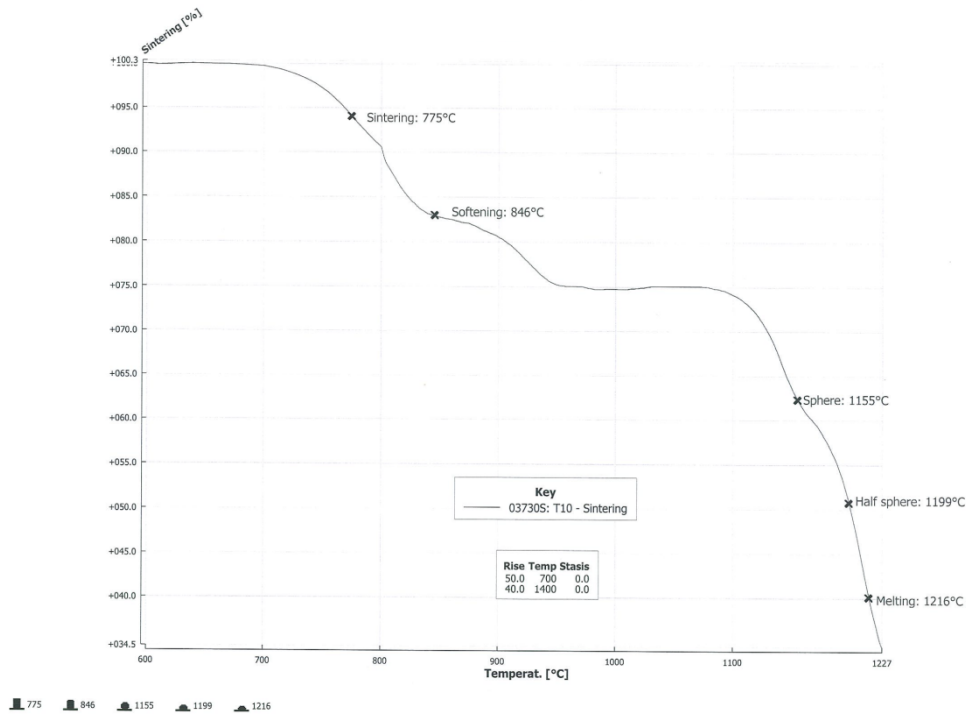
ภาพที่ ค.16 อุณหภูมิการหลอมตัวเฉพาะของเคลือบที่มีการใช้กากของเสียเป็นวัตถุดิบสูตร f



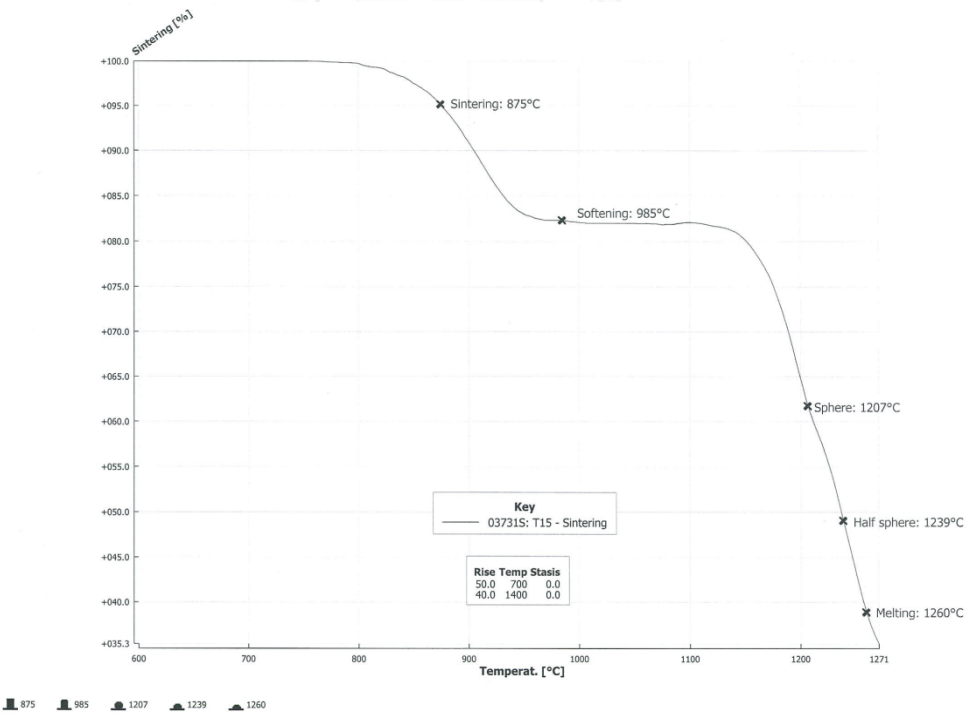
ภาพที่ ค.17 อุณหภูมิการหลอมตัวเฉพาะของพริตมาตรฐาน STD-Z ที่มีเซอร์โคเนียมซิลิเกตเป็นตัวให้ความร้อนที่แสง



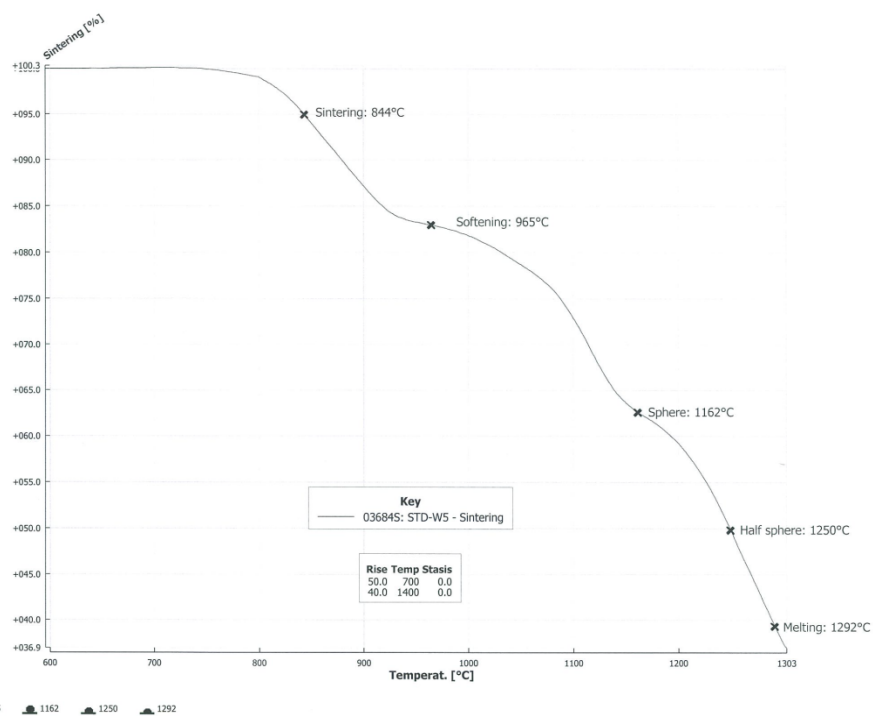
ภาพที่ ค.18 อุณหภูมิการหลอมตัวเฉพาะของพริตสูตร T5 ที่มีไทเทเนียมไดออกไซด์ทางการค้าเป็นตัวให้ความร้อนที่แสงแทนที่เซอร์โคเนียมซิลิเกต



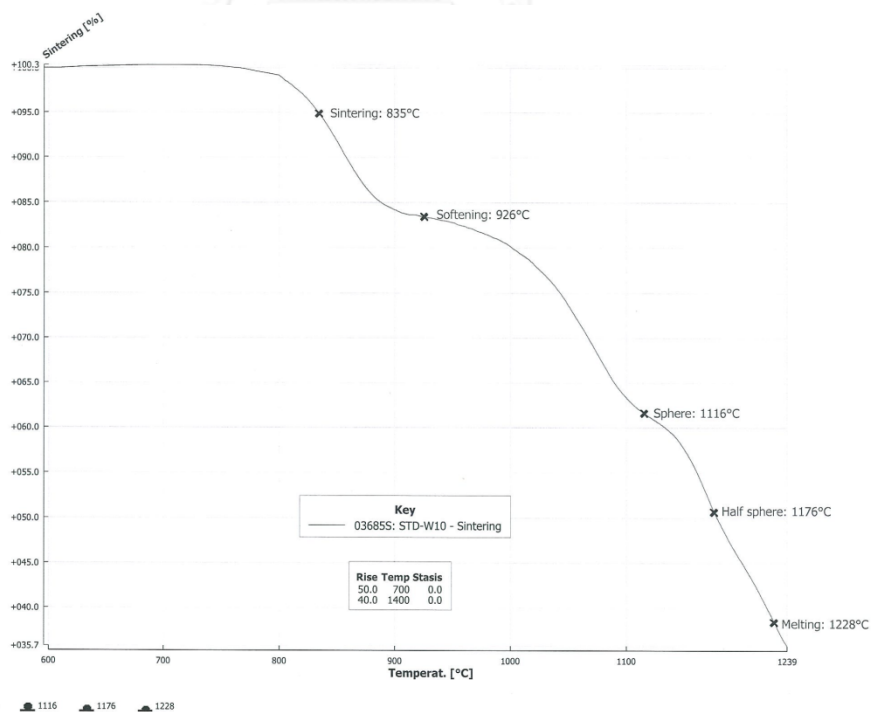
ภาพที่ ค.19 อุณหภูมิการหลอมตัวเฉพาะของฟrittสูตร T10 ที่มีไทเทเนียมไดออกไซด์ทางการค้าเป็นตัวให้ความทึบ แสงแทนที่เซอร์โคเนียมซิลิเกต



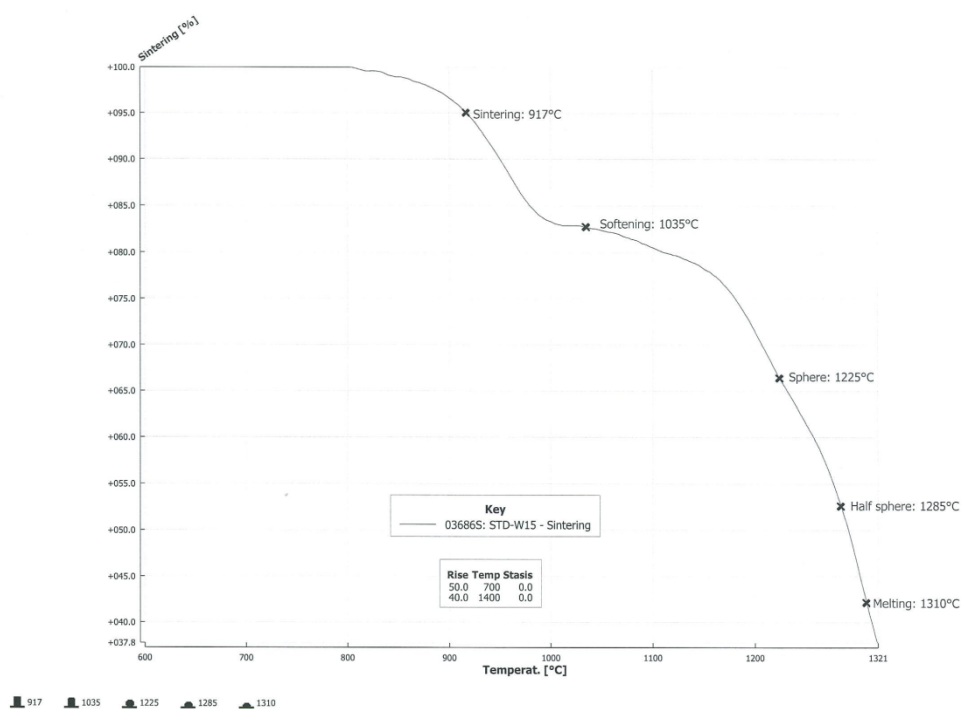
ภาพที่ ค.20 อุณหภูมิการหลอมตัวเฉพาะของฟrittสูตร T15 ที่มีไทเทเนียมไดออกไซด์ทางการค้าเป็นตัวให้ความทึบ แสงแทนที่เซอร์โคเนียมซิลิเกต



ภาพที่ ค.21 อุณหภูมิการหลอมตัวเฉพาะของฟริต W5 ที่มีการใช้กากของเสียทดแทนไทเทเนียมไดออกไซด์ทางการค้าในสูตรฟริต T5



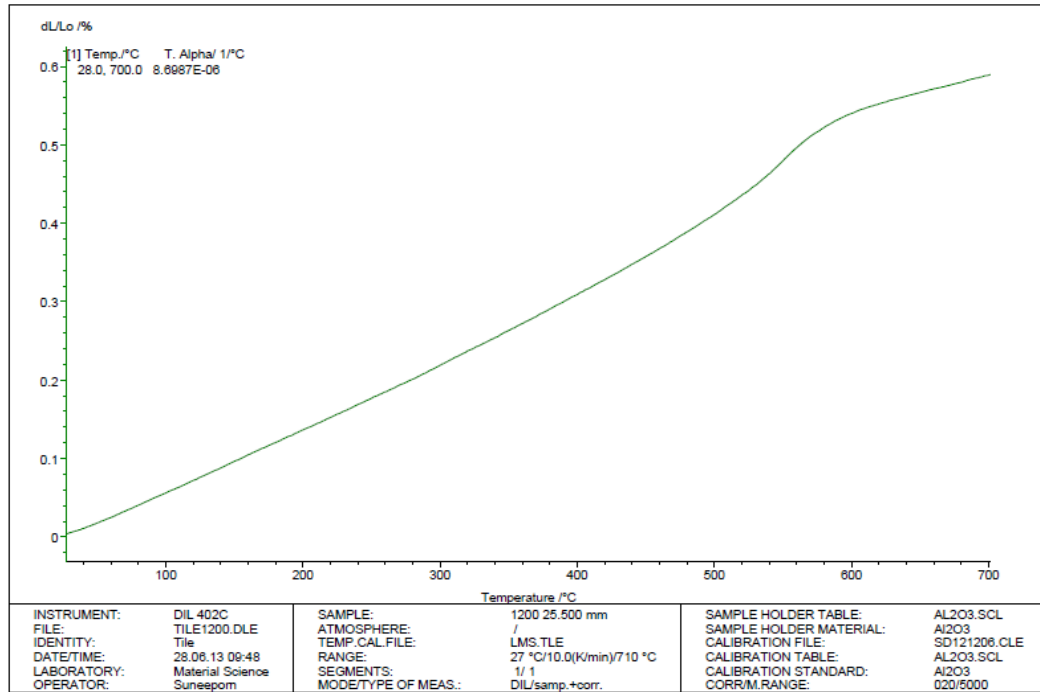
ภาพที่ ค.22 อุณหภูมิการหลอมตัวเฉพาะของฟริต W10 ที่มีการใช้กากของเสียทดแทนไทเทเนียมไดออกไซด์ทางการค้าในสูตรฟริต T10



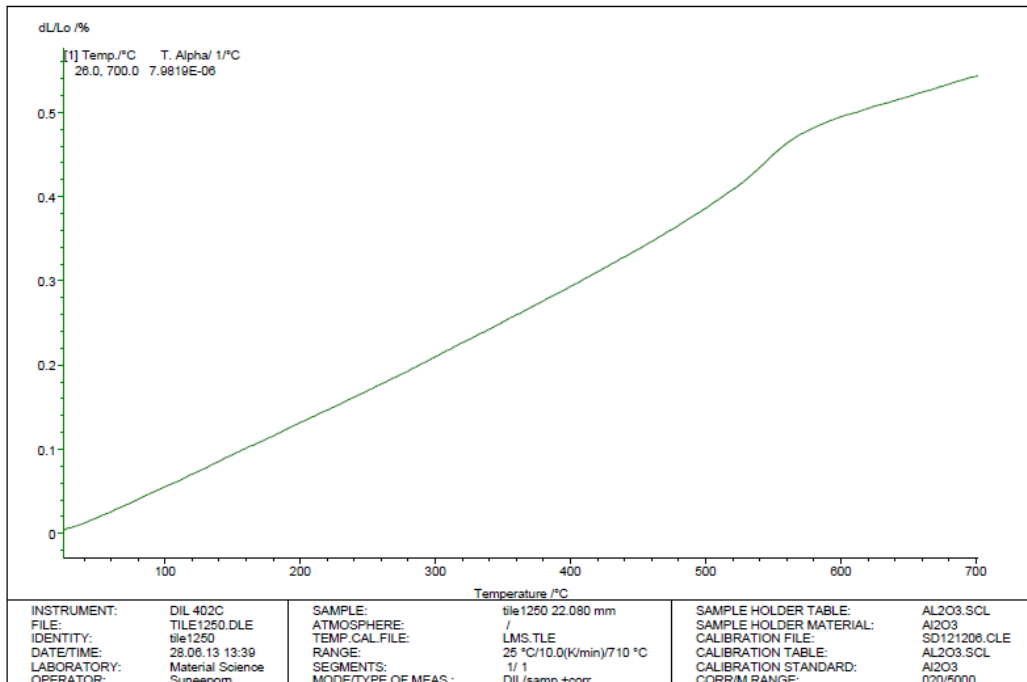
ภาพที่ ค.23 อุณหภูมิการหลอมตัวเฉพาะของฟريت W15 ที่มีการใช้กากของเสียทดแทนไทเทเนียมไดออกไซด์ทางการค้าในสูตรฟريت T15

ภาคผนวก ง

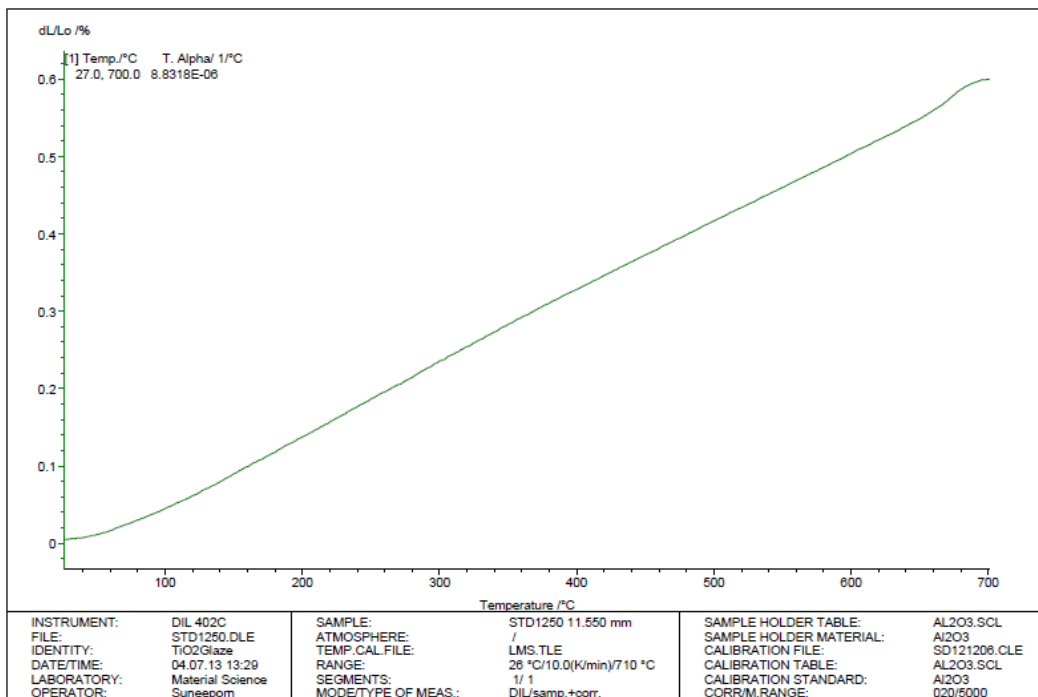
สัมประสิทธิ์การขยายตัวทางความร้อนของเนื้อกระเบื้องและเคลือบเซรามิก



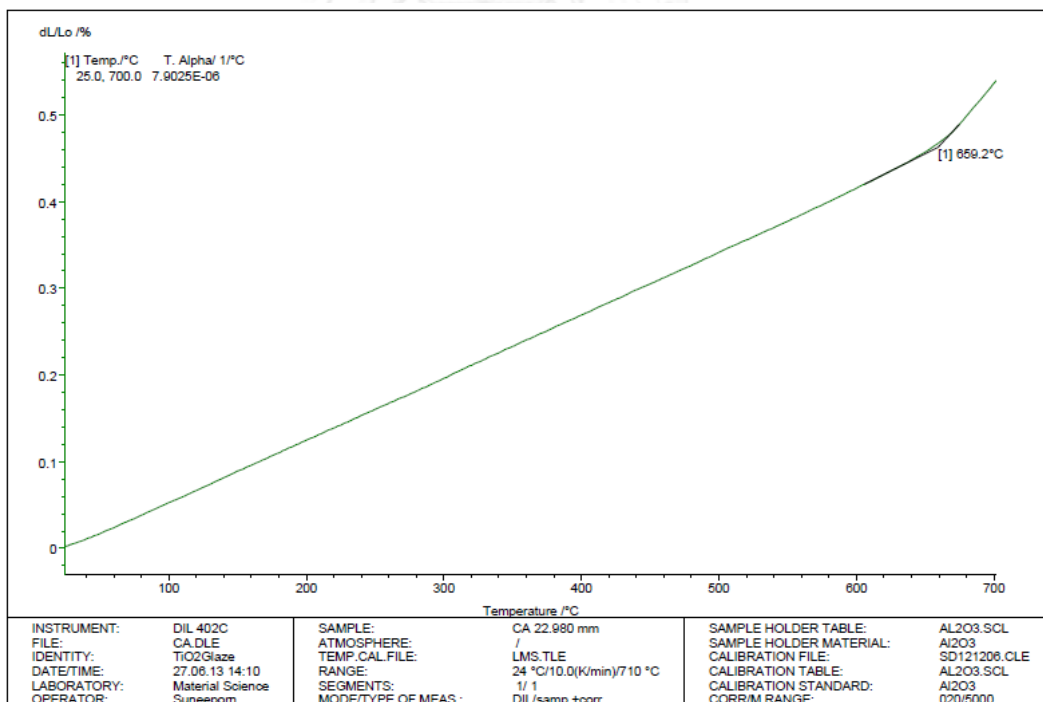
ภาพที่ ง.1 สัมประสิทธิ์การขยายตัวทางความร้อนของเนื้อกระเบื้องที่เผาที่อุณหภูมิ 1200 องศาเซลเซียส



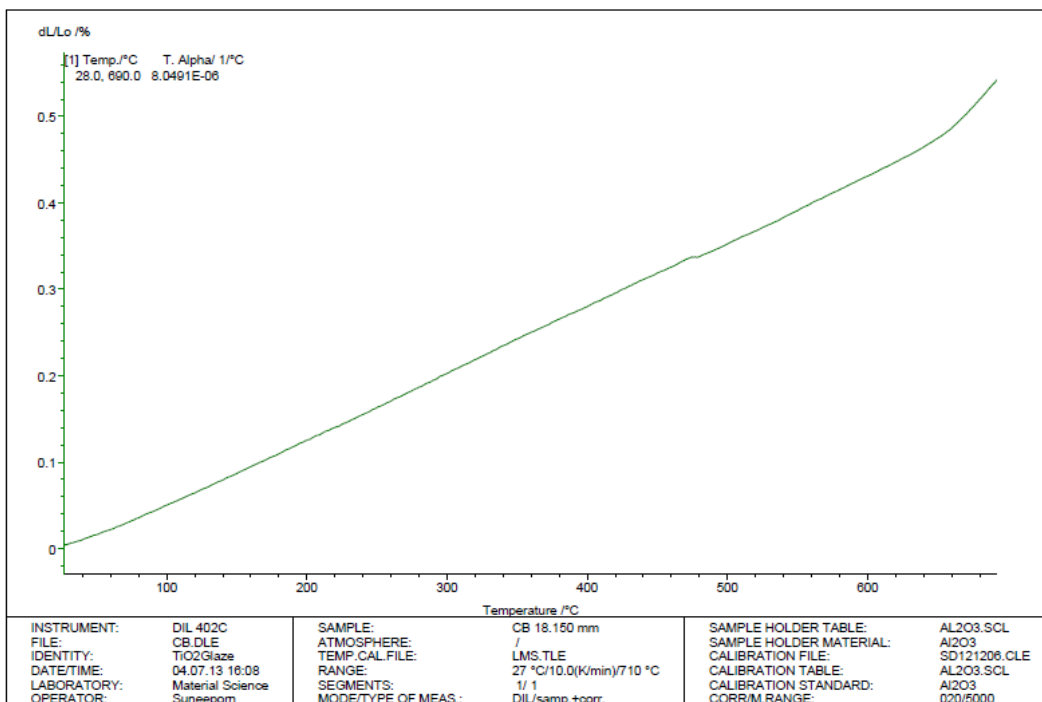
ภาพที่ ง.2 สัมประสิทธิ์การขยายตัวทางความร้อนของเนื้อกระเบื้องที่เผาที่อุณหภูมิ 1250 องศาเซลเซียส



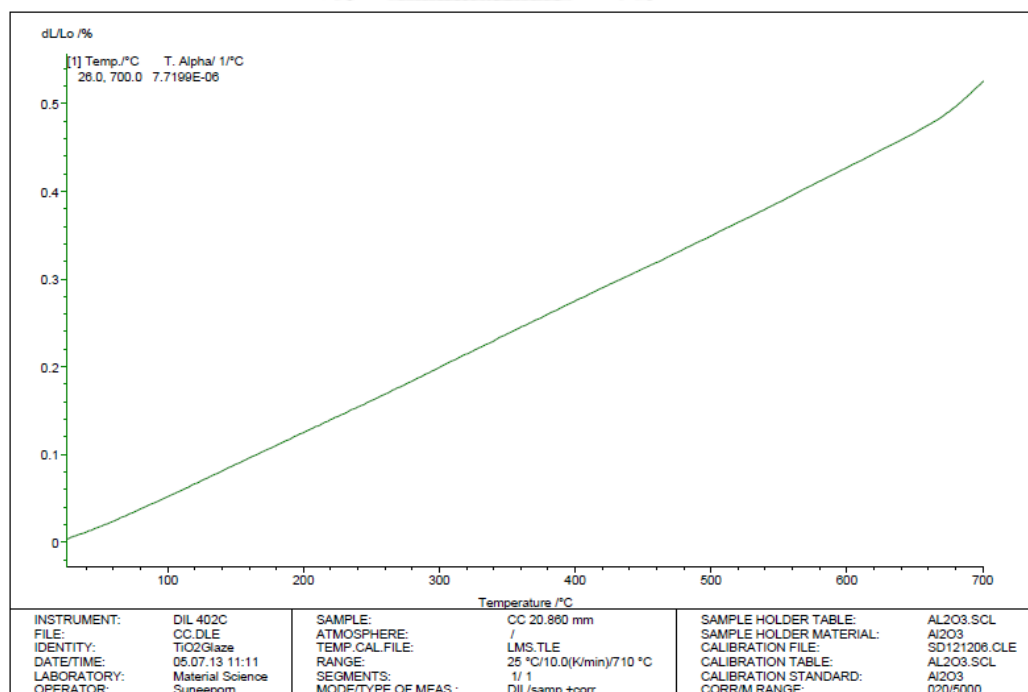
ภาพที่ ง.3 สัมประสิทธิ์การขยายตัวทางความร้อนของเคลือบสูตรมาตรฐาน STD ที่เผาที่อุณหภูมิ 1250 °C



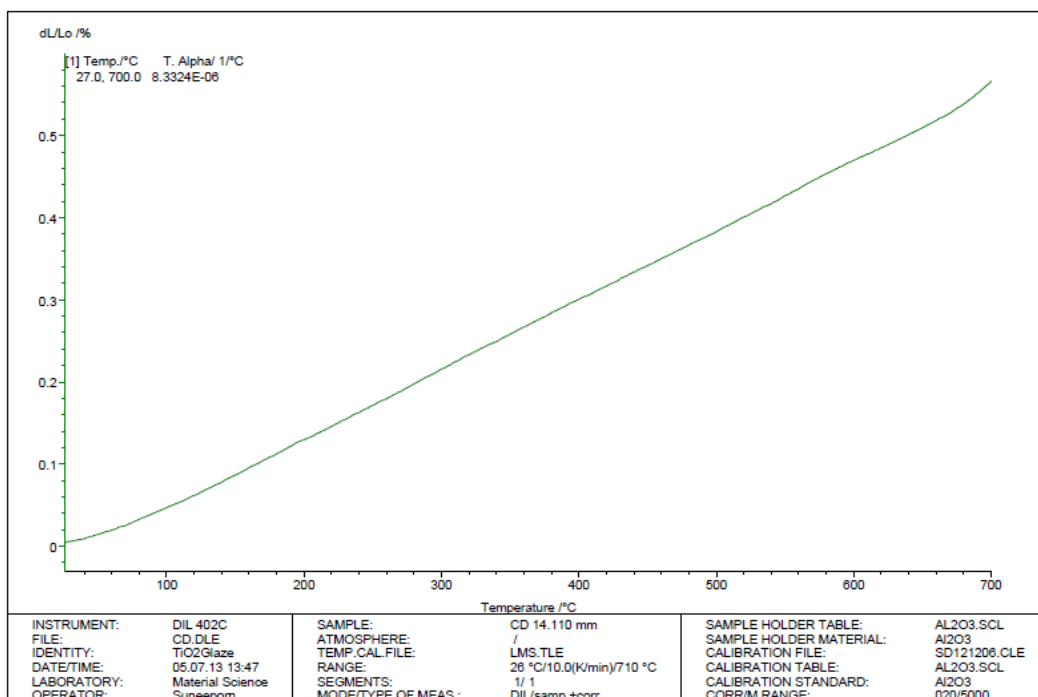
ภาพที่ ง.4 สัมประสิทธิ์การขยายตัวทางความร้อนของเคลือบที่มีการใช้กากของเสียเป็นวัตถุดิบสูตร A ที่เผาที่อุณหภูมิ 1200 °C



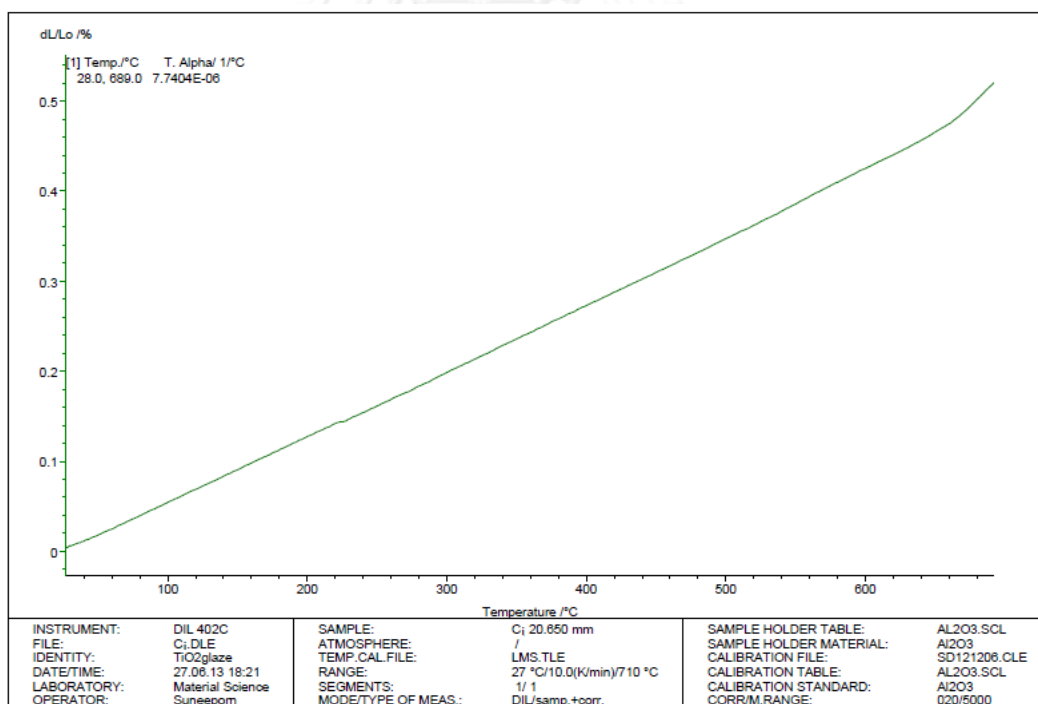
ภาพที่ ๖.5 สัมประสิทธิ์การขยายตัวทางความร้อนของเคลือบที่มีการใช้กากของเสียเป็นวัตถุดิบสูตร B ที่เผาที่อุณหภูมิ 1200 °C



ภาพที่ ๖.6 สัมประสิทธิ์การขยายตัวทางความร้อนของเคลือบที่มีการใช้กากของเสียเป็นวัตถุดิบสูตร C ที่เผาที่อุณหภูมิ 1200 °C



ภาพที่ ๗.7 สัมประสิทธิ์การขยายตัวทางความร้อนของเคลือบที่มีการใช้กากของเสียเป็นวัตถุดิบสูตร D ที่เผาที่อุณหภูมิ 1200 °C



ภาพที่ ๗.8 สัมประสิทธิ์การขยายตัวทางความร้อนของเคลือบที่มีการใช้กากของเสียเป็นวัตถุดิบสูตร a ที่เผาที่อุณหภูมิ 1200 °C

ประวัติผู้เขียนวิทยานิพนธ์

นางสาวสุนีย์พร โพธิ์แก้ว เกิดวันที่ 3 เมษายน พ.ศ. 2532 ที่จังหวัดนครราชสีมา สำเร็จ การศึกษาระดับปริญญาตรี หลักสูตรวิทยาศาสตร์บัณฑิตเซรามิกส์และวัสดุศาสตร์ ภาควิชาวัสดุ ศาสตร์ คณะวิทยาศาสตร์ จุฬาลงกรณ์มหาวิทยาลัย ในเดือนพฤษภาคม พ.ศ. 2554 และเข้าศึกษาต่อ ในระดับปริญญาโทวิทยาศาสตรมหาบัณฑิต วิทยาศาสตรมหาบัณฑิต หลักสูตรเทคโนโลยีเซรามิก ภาควิชาวัสดุ ศาสตร์ คณะวิทยาศาสตร์ จุฬาลงกรณ์มหาวิทยาลัยในเดือนมิถุนายน พ.ศ.2554 และสำเร็จการศึกษา ในปีการศึกษาปี 2556

การนำเสนอผลงานทางวิชาการระดับนานาชาติแบบ Poster presentation เรื่อง “The Use of Electric Arc Furnace Dust from Steel Recycling in Ceramic Glaze” ในการประชุม ทางวิชาการ The 8th Mathematics and Physical Sciences Graduate Congress (MPSGC) ระหว่างวันที่ 8-10 ธันวาคม พ.ศ. 2555 จัดโดย จุฬาลงกรณ์มหาวิทยาลัย

การนำเสนอผลงานทางวิชาการระดับนานาชาติแบบ Poster presentation เรื่อง “Effect of Waste from HDPE Catalyst Production on Melting Behaviour and Thermal Properties of White Opaque Glazes” และได้รับรางวัล Outstanding Poster Awards ในการ ประชุมทางวิชาการ International Conference on Traditional and Advanced Ceramics (ICTA2013) ระหว่างวันที่ 11-13 กันยายน พ.ศ. 2556 ณ ศูนย์ไบเทคบางนา และได้รับการตีพิมพ์ใน วารสาร Key Engineering Materials Volume 608 ปี 2014 หน้า 97-102

การนำเสนอผลงานทางวิชาการระดับนานาชาติแบบ Poster presentation เรื่อง “Melting Characteristics of White Opaque Glaze Prepared from HDPE Catalyst Production By-product” ในการประชุมวิชาการ The 9th Mathematics and Physical Science Graduate Congress (MPSGC) ระหว่างวันที่ 8-10 มกราคม พ.ศ. 2557 ณ ประเทศ มาเลเซีย